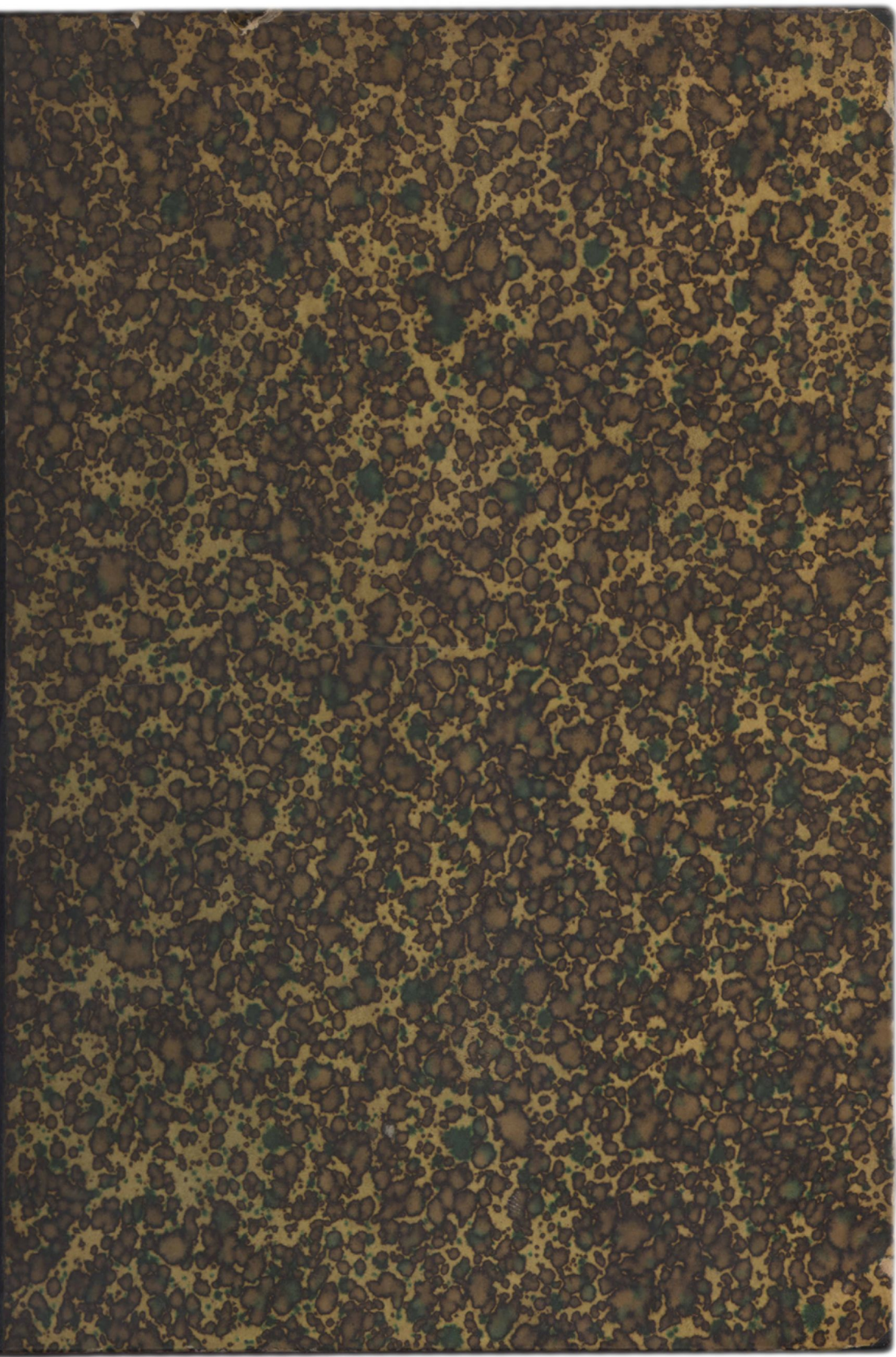
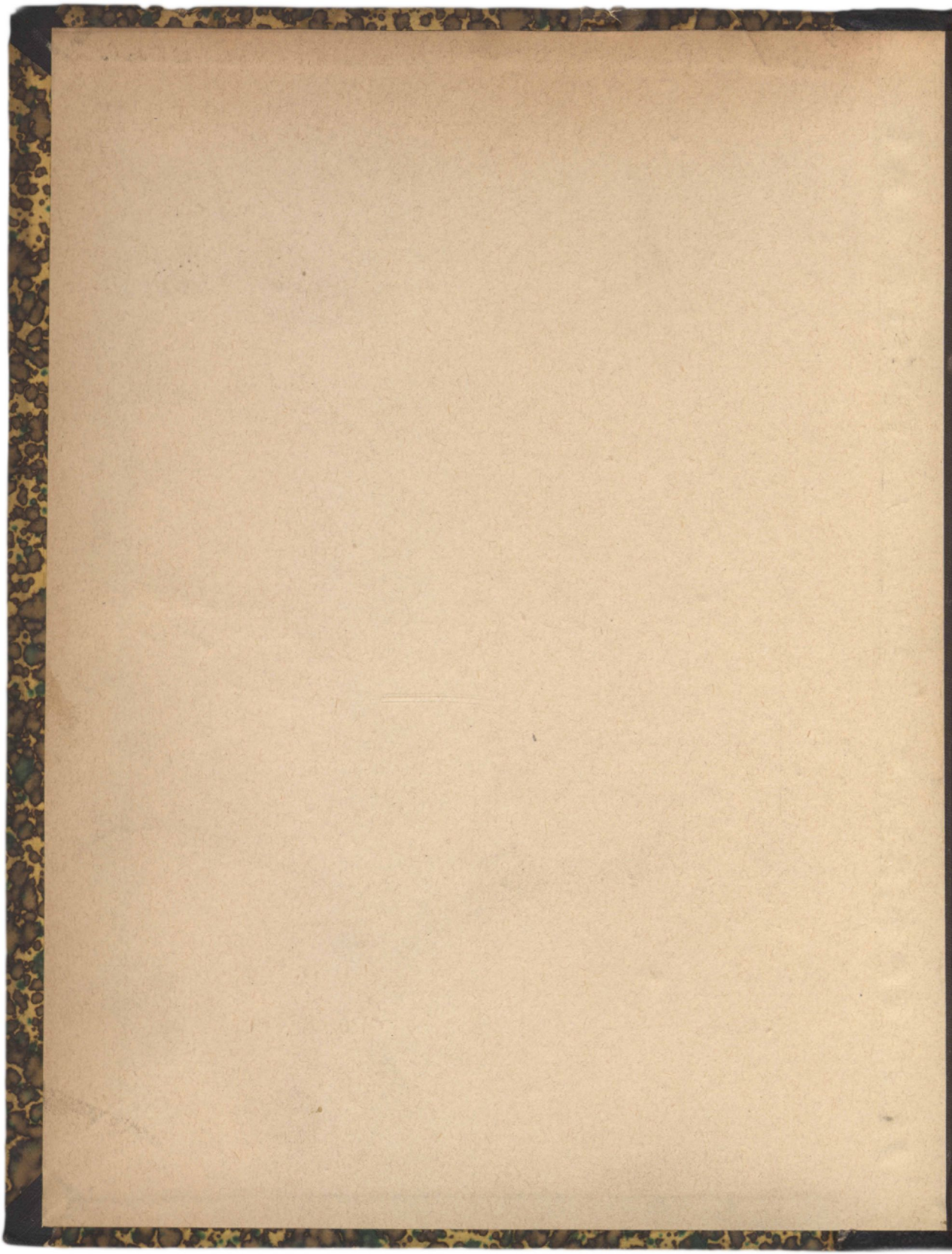


KLEIN

Differential





J. Winkler



1000

Kant.

Ausgewählte Kapitel aus der Theorie der linearen  
Differentialgleichungen  
zweiter Ordnung  
II.

Vorlesung

von  
F. Klein.

gehalten während des Sommersemesters 1891.

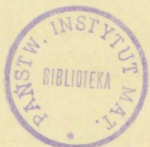
Göttingen. 1891.

~~GABINET MATEMATYCZNY  
Towarzystwa Naukowego Warszawskiego~~

~~L. inw. 449~~

~~GABINET MATEMATYCZNY  
Towarzystwa Naukowego Warszawskiego~~

opus nr: 46807



4449/II

Einleitung.

Die folgenden Vorlesungen sollen sich auf dieselben Differentialgleichungen beziehen, mit denen wir uns nun schon seit zwei Semestern beschäftigt haben, nämlich auf die linearen Differentialgleichungen zweiter Ordnung:

$$0 = P'' + \left( \frac{1-\lambda^2-\lambda''}{x-a} + \dots \right) P' + \left( \frac{\lambda' \lambda'' (a-b) \dots (a-n)}{x-a} + \dots + Q_{n-2}(x) \right) \frac{P}{(x-a) \dots (x-n)}$$

durch die wir die allgemeinen P. functionen definieren, oder auch auf die zugehörigen Differentialgleichungen dritter Ordnung:

$\frac{\eta''''}{\eta'} - \frac{3}{4} \left( \frac{\eta''}{\eta'} \right)^2 = \left( \frac{1-\lambda^2}{x} \frac{\lambda' \lambda'' (a-b) \dots (a-n)}{x-a} + \dots + \lambda Q_{n-2}(x) \right) \frac{1}{(x-a) \dots (x-n)}$ ,  
denen ein beliebiger Quotient  $\eta = \frac{P}{P'}$  genügt. Und zuvor denken wir uns dabei die sämmtlichen Constanten: die Verzweigungsweite  $a, b, c, \dots$ , die Exponenten  $\lambda', \lambda'', \dots$  (deren Summe  $= n-2$ ), oder doch die Exponenten-Differenzen  $\lambda, \mu, \dots$ , endlich die accessorischen Parameter  $\lambda, \beta, \dots$  (die Coefficienten von  $Q$ ) zumeist als reell, so dass die Halbebene  $x$  vermöge  $\eta$  auf ein Kreisbogen- $n$ -Eck mit den Winkeln  $\lambda\pi, \mu\pi, \dots$  abgebildet erscheint. In dem besonderen Falle  $n=3$  haben wir die Existenz dieser Abbildung bereits im vorigen Semester an die Spitze der Betrachtung gestellt. Unsere Aufgabe soll es jetzt sein, analoge Überlegungen für beliebigen Werth von  $n$  durchzuführen. Wir gehen also darauf aus, eine allgemeine Theorie unserer Differentialgleichungen auf die Betrachtung der Kreisbogen- $n$ -Ecke zu gründen. Ich kann zwar kaum hoffen, das hiermit bezeichnete Programm in diesem Semester irgendwie in abschliessender Weise zur Geltung zu bringen: die Schwierigkeit, welche einer solchen Absicht entgegensteht, liegt, so viel ich sehen kann, auf rein geometrischem Gebiete und kommt darauf hinaus, dass es

zur Zeit noch unmöglich sein dürfte, sich von der allgemeinen Gestalt eines Kreisbogen. n. Ecks sine adaequate Vorstellung zu bilden. Immer aber denke ich einzelne Punkte des bezeichneten Programm's zu erledigen, und ich verspreche mir, dass dadurch allein schon die Theorie unserer Differentialgleichungen einen neuen Aufschwung nehmen soll. —

Ich recapitulire hier zunächst die Hauptresultate, die wir für  $n=3$  gefunden hatten, soweit dieselben für unsere ferneren Betrachtungen wesentlich scheinen, in möglichst übersichtlicher Form:

1/ Von der wirklichen Gestalt des Kreisbogendreiecks  $\lambda\pi$ ,  $\mu\pi$ ,  $\nu\pi$ .

Wir denken uns  $\lambda, \mu, \nu$  so geordnet, dass  $\lambda \geq \mu \geq \nu$  und unterscheiden nun Kreisbogendreiecke erster oder zweiter Art, je nach dem  $\lambda \leq a + \nu$ , oder  $\lambda \geq \mu + \nu$ . Wir bilden uns ferner den Begriff des reducirten Dreiecks. Hr. Schilling hat die Festsetzungen, welche ich in dieser Hinsicht früher traf (vergl. auch Annalen 37), etwas vereinfacht. Wir nennen dementsprechend jetzt ein Dreieck  $\lambda_0, \mu_0, \nu_0$  ( $\lambda_0 \geq \mu_0 \geq \nu_0$ ) reducirt, wenn  $\lambda_0 < 2$ ,  $\mu_0 < 2$ .

Unter  $a, b, c, A$  beliebige ganze Zahlen verstanden, ergibt sich aus dem reducirten Dreieck das allgemeinste Dreieck erster Art, indem wir schreiben:

$$\begin{aligned} \lambda &= \lambda_0 + b + c, \\ \mu &= \mu_0 + c + a, \\ \nu &= \nu_0 + a + b, \end{aligned}$$

das allgemeinste Dreieck zweiter Art aber, indem wir setzen:

$$\begin{aligned} \lambda &= \lambda_0 + 2A + b + c, \\ \mu &= \mu_0 + c, \\ \nu &= \nu_0 + b. \end{aligned}$$

Dam entsprechen die folgenden beiden geometrischen Sätze:

Das allgemeinste Dreieck erster Art entsteht aus dem reducirten Dreieck

\* Allerdings ist der Schilling'sche Reductionsprocess unter Umständen nicht eindeutig.



dadurch, dass man an dessen 3 Seiten beliebig viele Kreisscheiben ( $a, b, c$  Kreisscheiben) lateral anhängt.

Das allgemeine Dreieck zweiter Art aber dadurch, dass man an eine Ecke des reducirten Dreiecks, und ferner an die beiden von der Ecke auslaufenden Seiten, beliebig viele Kreisscheiben ( $A, B, C$  Kreisscheiben) polar, beziehungsweise lateral anhängt.

2) Von der Bedeutung der unter 1) entwickelten Sätze.

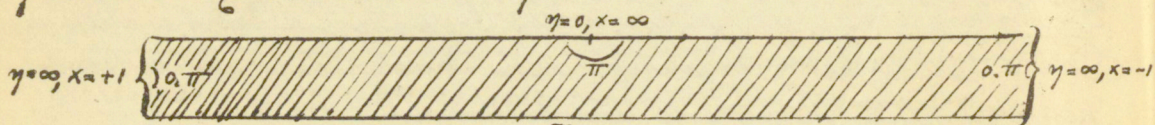
Die aufgestellten Sätze gewinnen insbesondere Bedeutung, wenn man fragt, wie oft irgend ein Functionenzweig  $\eta$ , den wir für die positive Halbebene  $x$  definiert haben, innerhalb dieser Halbebene oder auf Eden drei dieselbe begränzenden Stücken der reellen  $x$ -Achse, einen bestimmten Werth, z. B. den Werth 0, annimmt?

In der That lässt sich diese Frage in jedem Falle so beantworten, dass man zunächst untersucht, wie das zu unserem Functionenzweige gehörige reducirte Dreieck gegen den Nullpunkt der  $\eta$ -Ebene liegt, und dass man dann untersucht, wie oft der Nullpunkt von den anzuhängenden Kreisscheiben überdeckt wird oder auf deren Rande liegt. Meine Entwicklungen in Bd. 37 der Annalen, wo ich auf diese Weise die Anzahl der reellen Nullstellen bestimme, die  $F(l, m, n, x)$  zwischen  $x=0$  und  $x=1$  besitzt, sind nur eine einzelne Anwendung des hiermit bezeichneten Principes. —

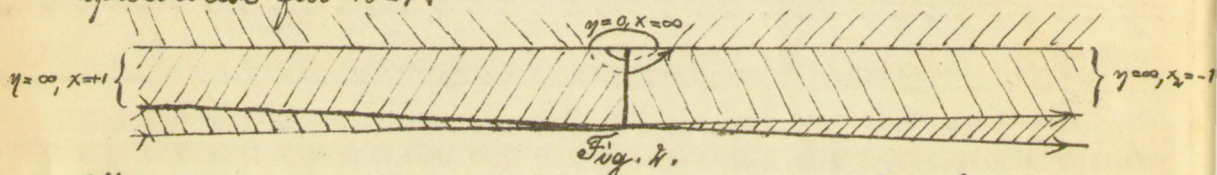
Alle Sätze, welche man über das Verschwinden irgend welcher Particularlösung der hypergeometrischen Differentialgleichung aufstellen kann, müssen sich aus unserem Princip ableiten lassen.

Ich betrachte beispielsweise die Frage nach den Nullstellen der Kugelfunctionen 2<sup>ter</sup> Art, welche Hermite und Stieltjes neuerdings (1891) in den Annales de Toulouse bearbeitet haben. Wir haben da auf der  $x$ -Achse die 3 singulären Punkte bei  $\infty$  und  $\pm 1$ , die zugehörigen Exponentendifferenzen sind  $2n+1, 0, 0$ , geben also ein Dreieck mit den Winkeln  $(2n+1)\pi, 0, \pi$ , dessen

„reducirt“ Gestalt die Winkel  $\pi, 0, 0$  aufweist. Wir setzen jetzt  $\eta = \frac{Q^n(x)}{P^n(x)}$ , wo  $P^n(x)$  die Kugelfunction erster Art:  $Q^n(x)$  wird überall verschwinden, wo dieses  $\eta$  zu Null wird, es sei denn, dass das Nullsein von  $\eta$  durch das Unendlich werden von  $P$  hervorgerufen wird. Wir betrachten zunächst, in der positiven wie in der negativen Halbebene  $x$ , denjenigen Zweig von  $Q^n(x)$ , welcher längs der Stücke der  $x$  Axe, die von  $\pm 1$  ins Unendliche laufen, reell ist. Hier die Gestalt und Lage desjenigen reducirtten Dreiecks, welches unter dieser Voraussetzung der positiven Halbebene  $x$  entspricht:



Wir steigen zu dem wirklichen Dreiecke auf, welches den Verlauf unseres  $\eta$  angibt, indem wir an die Ecke  $\eta = 0$  der so gezeichneten Halbebene polar anhängen. So entsteht beispielsweise für  $n=1$ :



Wir erhalten die gewünschte Fig. für die negative Halbebene, indem wir das so erhaltene Dreieck an seiner oberen Begrenzungsgeraden spiegeln. Man sieht: die Gesamtdfig., welche solcherweise entsteht, überdeckt den Nullpkt. der  $\eta$ -Ebene nur vermöge des vielfachen Windungspktes., der  $x = \infty$  entspricht und zwar  $(2n+1)$ -fach. Dieser Nullpkt. von  $\eta$  ist aber zum Teil auf Rechnung von  $P(x)$  zu setzen (welches für  $x = \infty$   $n$  fach unendlich wird) Daher wird der zunächst betrachtete Zweig von  $Q^n(x)$  innerhalb der positiven, wie innerhalb der negativen Halbebene  $x$  nirgends zu Null, ausser  $(n+1)$  fach bei  $x = \infty$ . — Ziehen wir jetzt einen weiteren Zweig von  $Q^n(x)$  in Betracht, den wir erreichen, indem wir den bislang untersuch-

den Zweig von der positiven Halbebene aus über das Intervall der  $x$ -Achse, welches von  $-1$  bis  $+1$  hinreicht, hinaus über in die negative Halbebene fortsetzen. Wollen wir uns die  $x$ -Ebene längs des Stückes von  $-1$  bis  $+1$  aufgeschnitten denken! Das Bild, welches unser neuer Zweig, oder vielmehr der mit diesem Zweige gebildete Quotient  $\eta$ , von der so zerschnittenen Ebene entwirft, ergibt sich aus der eben betrachteten Gesamtfig. indem wir dieselbe um die doppelte Breite des in Fig. 1 gezeichneten Streifens nach

abwärts schieben. Hier wird nun diejenige Hälfte der neuen Fig., welche der positiven Halbebene  $x$  entspricht, vermöge der  $n$  an ihren Scheitel angehängten Halbebenen den Nullpt. der  $\eta$ -Ebene  $n$ -fach überdecken; die andere Hälfte (welche der negativen Halbebene  $x$  entspricht) wird sich an den Nullpt. der  $\eta$ -Ebene überhaupt nicht heranziehen. Der neue Zweig von  $\eta$

wird also  $n$ -mal in der positiven Halbebene  $x$  und zwar an lauter getrennten Stellen zu Null, keinmal aber in der negativen Halbebene. — Man sieht, wie man in solcher Weise fortfahren kann. Die Sätze aber, welche man so erhält, sind eben diejenigen, welche Hermite u. Biotjes l. c. entwickeln.

3.) Welche Form nimmt die Theorie der verwandten Functionen vermöge unserer Dreiecksfiguren an? Es ist dies eine Frage, welche ich wohl im Sommersemester 1890 gestreift habe, die dann aber im vergangenen Semester nicht weiter discutirt wurde.

Gauss nennt solche hypergeometrische Reihen  $F(l, m, n, x)$  und  $F(l', m', n', x)$  verwandt, deren Elemente  $l, m, n$  und  $l', m', n'$  sich bez. nur um ganze Zahlen unterscheiden. Es kommt dies darauf hinaus, dass zwei  $\eta$ -Functionen.

$$\eta(\lambda, \mu, \nu, x) \text{ und } \eta(\lambda', \mu', \nu', x)$$

verwandt genannt werden, sobald man setzen kann  $\lambda' = \lambda \pm A, \mu' = \mu \pm B, \nu' = \nu \pm C$ , unter  $A, B, C$  drei ganze Zahlen verstanden, deren Summe gerade ist.

Wie aber drückt sich dies für die zugehörigen Dreiecke aus? In Bd. 25 der math. Annalen (1884) hat Hr. Papperitz das betr. einfache Resultat entwickelt. Zwei  $\eta$ . Functionen heissen verwandt, wenn man ihre Dreiecke in eine solche gegenseitige Lage bringen kann, dass sie von denselben Kreislinien umgränzt werden. Beispielsweise ist das reducirte Dreieck, das wir unter 1) betrachten, mit den sämtlichen aus ihm abzuleitenden Dreiecken verwandt. Aber ebensowohl ist dasselbe mit seinen „Nebendreiecken“ verwandt, etc., etc.

Offenbar werden alle solche verwandten Dreiecke durch die nämlichen Spiegelungen symmetrisch vervielfältigt. Aus diesen Spiegelungen aber erwächst, wie wir wissen, durch Combination und Wiederholung die Gruppe der  $\eta$ . Function. Verwandte  $\eta$ . Functionen haben also identische Gruppen. Dieser schon von Klein aufgestellte Satz geht natürlich tiefer, als der Satz von den Kreislinien, weil er auch den Fall complexer  $\lambda, \mu, \nu$  umfasst, ist aber minder anschaulich. Immer wollen wir ihn benutzen, um den Begriff der Verwandtschaft zu erweitern. Zwei  $\eta$ . Functionen sollen im allgemeinen line verwandt heissen, wenn ihre Gruppen commensurabel sind, d. h. eine gemeinsame Untergruppe haben. Diese allgemeinere Art der Verwandtschaft tritt beispielsweise ein, wenn man aus den Dreiecken der einen  $\eta$ . Function ein Polygon zusammensetzen kann, das von denselben Kreislinien begränzt ist, wie ein aus Dreiecken der anderen  $\eta$ . Function zusammengesetztes Polygon. Sind die beiden Polygone identisch und nur aus einer endlichen Zahl von Dreiecken der einen wie der anderen Art zusammengesetzt, so hat man einen Specialfall der sogenannten algebraischen Transformation (die allgemein von Papperitz und Goursat bearbeitet ist), d. h.  $\eta(\lambda' \mu' \nu' x')$  geht aus  $\eta(\lambda \mu \nu x)$  hervor, indem man  $x'$  als eine geeignete algebraische Func.

tion von  $x$  einführt. Die algebraische Transformation wird zur ra-  
dionalen Transformation, wenn das in Rede stehende Polygon nur  
aus einem Dreiecke  $\eta$  (oder  $\eta'$ ) besteht.

Die hiermit berührten Probleme verdienen wohl eine erneute  
Bearbeitung. Bei Herstellung der zugehörigen Formeln wird es  
zweckmässig sein, durchweg von der Spaltung des  $\eta$  in homo-  
gene Bestandtheile  $\Pi$  Gebrauch zu machen, die wir im vori-  
gen Semester entwickelten. Dadurch werden alle die Aufgaben  
über rationale oder algebraische Functionen besonderer Art,  
mit denen man sich bei diesen Untersuchungen zu beschäf-  
tigen hat, von vornherein in die ihnen am Besten entspre-  
chende formentheoretische Gestalt gesetzt.

4.) Die analytische Fortsetzung der  $\eta$ . Function lässt sich (Mi. 49. 4. 91.  
von der Dreiecksfig. aus besonders bequem übersehen; wir haben  
nur das anfängliche Dreieck immer wieder erneuert nach dem  
Princip der Symmetrie zu reproduciren. Hr. Schwarz hat die-  
sen von ihm aufgestellten Grundsatz in der grundlegenden Abhand-  
lung in Bd. 75 des Journals (1872) insbesondere nach 2 Seiten hin  
verfolgt:

a) Aufzählung aller  $\eta(\lambda, \mu, \nu, x)$ , die von  $x$  algebraisch  
abhängen,

b) Nachweis, dass  $x$  in  $\eta(\lambda, \mu, \nu, x)$  dann u. nur dann eindeutig  
wird, wenn  $\lambda = \frac{1}{l}$ ,  $\mu = \frac{1}{m}$ ,  $\nu = \frac{1}{n}$ , unter  $l, m, n$  ganze  
Zahlen verstanden. Hiermit hatten wir den ein-  
fachsten Fall derjenigen eindeutigen Functionen  
vor Augen, die wir als automorphe F. bezeichnen.

Wir selbst haben den gleichen Process dann noch für zweierlei  
Zwecke benutzt:

c) Nachweis, dass sich  $\eta(\lambda, \mu, \nu, x)$ , reelle  $\lambda, \mu, \nu$  voraus-  
gesetzt, dann u. nur dann auf ein unbestimmtes Integral reducirt, wenn  
sich das zugehörige Dreieck durch Inversion in ein geradliniges

Dreieck verwandeln lässt.

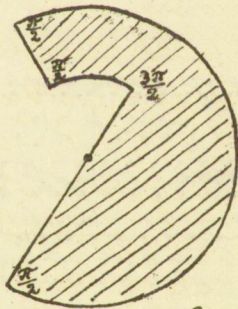
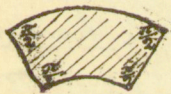
d) Nachweis, dass  $\eta(\lambda, \mu, \nu, x)$  in  $\eta(\frac{1}{l}, \frac{1}{m}, \frac{1}{n}, x)$  eindeutig ist, sobald die  $\lambda, \mu, \nu$  ganzzahlige Multipla von  $\frac{1}{l}, \frac{1}{m}, \frac{1}{n}$  sind. Dies gab das einfachste Beispiel homomorpher Functionen.

Wir knüpfen hier noch folgende besondere Bemerkung an. Die Voraussetzung d) ist insbesondere erfüllt für alle diejenigen  $\eta(\lambda, \mu, \nu, x)$ , die mit  $\eta(\frac{1}{l}, \frac{1}{m}, \frac{1}{n}, x)$  verwandt sind. Daher nimmt die Theorie der verwandten Functionen bei Zugrundelegung eines  $\eta(\frac{1}{l}, \frac{1}{m}, \frac{1}{n}, x)$  eine besonders einfache Form an. In seiner Leipziger Dissertation (1885: conforme Abbildung sphärischer Dreiecke auf einander mittelst algebraischer Functionen) hat O. Fischer die betr. Untersuchung für den besonderen Fall des Fuchs'soeders durchgeführt, d. h. für  $\eta(\frac{1}{2}, \frac{1}{3}, \frac{1}{5}, x)$ ; die Sache wird da besonders einfach, weil es sich um lauter algebraische Functionen handelt; man sollte aber wohl in demselben Sinne das allgemeine  $\eta(\frac{1}{l}, \frac{1}{m}, \dots)$  behandeln.

5) Wir erinnern endlich davon, dass wir im vorigen Semester doch auch den Fall complexer  $\lambda, \mu, \nu$  beiläufig in Betracht zogen, wo dann an Stelle des Dreiecks mit den Winkeln  $\lambda\pi, \mu\pi, \nu\pi$ , — oder vielmehr der aus zwei nebeneinander liegenden Dreiecken gebildeten Fig., — ein allgemeiner gestalteter „Fundamentbereich“ trat. Eine ganz analoge Verallgemeinerung wird bei den Untersuchungen, die wir nun über Kreisbogenpolygone folgen lassen, möglich sein u. späterhin durchgeführt werden müssen. In der That betrachten wir die Beschränkung auf reelle  $\lambda, \mu, \dots; a, b, \dots; A, B, \dots$  durchaus als eine vorläufige; unsere Absicht muss sein, auf dem Wege der geometrischen Betrachtung eine ganz allg.

meine Theorie der P. functionen zu schaffen.

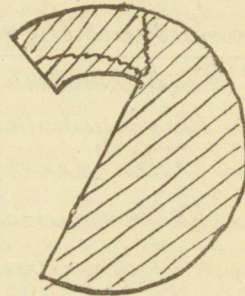
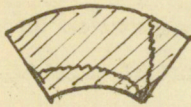
So viel über  $n=3$ . Aber auch den Fall  $n=4$  haben wir schon in speciellen Fällen im vorigen Semester in Betracht gezogen. Es handelte sich uns dabei allerdings noch nicht um eine selbständige Theorie des Kreisbogenvierecks, vielmehr benutzten wir die Vierecke wesentlich nur dazu die bei der Hermité-Laméschen Gleichung hervortretenden Resultate geometrisch zu veranschaulichen. Immer sind uns dabei eine Reihe geometrischer Verhältnisse entgegengetreten, welche es verdienen, als solche hervorgehoben zu werden. Ich will hier von dem besonderen Falle, der den Laméschen „Polynomen“ entspricht u. uns deshalb vorwiegend interessirte, der Kürze halber ganz absehen. Es war das der Fall, wo alle Seiten des Vierecks verlängert durch einen gemeinsamen Punkt liefen, das Viereck also geradlinig gewählt werden konnte. Von den übrigen Vierecken kann man sich folgendermassen eine Vorstellung machen. Wir zeichnen uns 2 Vierecke folgender Art



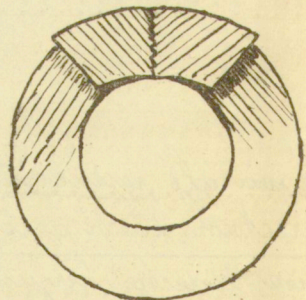
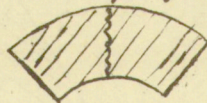
die wir als reducirte Vierecke bezeichnen. Es gilt, aus diesen Vierecken durch geeignete „Erweiterungen“ in allgemeiner Weise Vierecke herzustellen, welche die Winkel

$\frac{\pi}{x}, \frac{\pi}{x}, \frac{\pi}{x}, (2v + \frac{1}{2})\pi$  resp.  $\frac{\pi}{x}, \frac{\pi}{x}, \frac{\pi}{x}, (2v + \frac{3}{2})\pi$   
aufweisen.

Laterale Anhängungen von Kreisscheiben können wir dabei nicht gebrauchen, weil dabei immer 2 Winkel geändert werden würden. Dagegen kann polare Anhängung von Kreisscheiben von der einen Ecke aus sehr wohl erfolgen, u. zwar können wir dabei den für die einzelne Anhängung maassgebenden Verzweigungsschnitt von der bez. Ecke aus ganz nach Belieben nach der einen oder der anderen der beiden nicht angränzenden Seiten hinüberlaufen lassen:



Von dieser Möglichkeit der Erweiterung haben wir den auch in ausgiebiger Weise Gebrauch gemacht. — Aber es gab noch eine andere Art der Erweiterung, die unter Umständen eintreten konnte u. für die beim Dreieck noch kein Raum war. Ich bezeichne sie als transversale Anhängung eines Kreisringes. Die betr. Operation wird hinreichend durch die folgenden beiden Figuren gekennzeichnet sein:



Dabei kann der Verzweigungsschnitt ersichtlich nur solche zwei Gegenseiten verbinden, die, verlängert gedacht



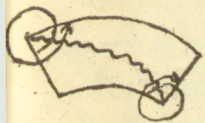
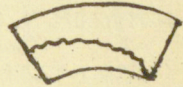
sich nicht schneiden. Die neue Operation lässt sich sehr wohl mit derjenigen Art der polaren Anhängung verbinden, deren Verzweigungsschnitt so liegt:



nicht aber mit der anderen, durch folgenden Verzweigungsschnitt gegebenen polaren Anhängung:

An sich wäre nun noch eine vierte Art der Er-

weiterung unseres Vierecks denkbar: die diago-  
nale Anhängung einer Vollkugel, wie sie durch  
folgende Fig. wohl hinreichend gekennzeichnet sein wird:



Nur ist deren Auftreten gerade im Hermite-Lamé'schen Falle wieder von vornherein ausgeschlossen, weil doch nur ein Winkel von  $\frac{\pi}{2}$  verschieden werden darf. —

Wir beginnen nunmehr unsere neue Entwicklung.

Zur geometrischen Theorie der allgemeinen Kreis-  
bogenpolygone.

Unter einem Polygon versteht man wohl zumeist einen Linienzug: wie hier verstehen darunter natürlich ein Flächenstück. Wir denken uns dasselbe zunächst immer als einfach zusammenhängend u. als durchaus schlicht, d. h. ohne inneren Verzweigungspkt. Dagegen können die Eckenwinkel gerne  $> 2\pi$  sein (also Verzweigungspkte vorstellen), auch dürfen sich die Seiten beliebig oft überschlagen. Es ist eine durchaus elementargeometrische Aufgabe, sich über die allgemeinste Gestalt eines diesen Forderungen entsprechenden Kreisbogenpolygons Rechenschaft zu geben. Trotzdem scheint es, dass keinerlei Vorarbeiten in dieser Richtung vorliegen (wie überhaupt die Vertreter der Elementargeometrie es vorziehen, immer wieder den hergebrachten Lehrstoff ihrer Disciplin auf's neue zu systematisiren, statt den vielen u. interessanten Anregungen nachzugehen, die z. B. aus der Riemann'schen Functionentheorie fließen).

Wir denken unsere Polygone in der Ebene oder besser gleich auf der  $(x+iy)$ -Kugel gelegen. Der functionentheoretischen Verwendung entsprechend, die wir im Linearen haben, werden wir alle diejenigen Polygone als äquivalent ansehen, die aus einem einzelnen durch lineare Transformation  $z' = \frac{\alpha z + \beta}{\gamma z + \delta}$  hervorgehen, die also geometrisch, um mit Möbius zu reden, Kreisverwandt (direct-Kreisverwandt) sind. Die  $\infty^6$  Umformungen der Kugelfläche in sich selbst, welche durch diese Transformationen vorgestellt werden, lassen sich auf andere Weise durch

die  $\infty^6$  Raum-Collineationen definiren, welche die Kugel in sich selbst überführen. Diese wieder stellen die  $\infty^6$  Bewegungen derjenigen projectiven (Cayley'schen) Maassbestimmung vor, die man auf die Kugel als Fundamentalfäche gründen kann. Daher werden die Definitionen dieser Maassgeometrie hier für uns von Wichtigkeit. In dieser Hinsicht recapitulire ich aus den ausführlichen Entwicklungen, welche ich hierüber in meiner Vorlesung über Nicht-Euklidische Geometrie (1889-90) gegeben habe, folgendes:

1) Der Winkel zweier Geraden eines Büschels oder zweier Ebenen eines Büschels oder auch der Abstand zweier Pkte einer Pktreihe ist gleichförmig durch

$$c \cdot \log D$$

zu definiren, wo  $c$  irgend eine Constante,  $D$  dasjenige Doppelverhältniß bezeichnet, welches die beiden in Betracht kommenden Elemente mit denjenigen Elementen ihres Trägers einschliessen, die der Kugel angehören (dieselbe betreffen).

2) Wir werden zumeist mit solchen Geraden oder Ebenen zu thun haben, die sich innerhalb der Kugel schneiden. Dann ist  $\log D$  rein imaginär, daher zweckmässig  $c$  ebenfalls rein imaginär anzunehmen, also etwa, der gewöhnlichen Definition entsprechend,  $= i/4$ . Der Winkel erhält dadurch (der Periode  $i\pi$  des Logarithmus entsprechend) die reelle Periode  $\pi$ , - d. h. der Winkel zweier sich schneidender unbegrenzter Geraden (oder Ebenen), der Winkel zweier Halbgeraden wird die Periode  $i\pi$  haben.

3) Was Punkte angeht, so werden wir meist mit solchen 2 Pkten zu thun haben, die entweder beide innerhalb oder beide ausserhalb der Kugel gelegen sind. Dann ist  $D$

reell u. positiv, also ein Werth von  $\log D$  dadurch ausgezeichnet, dass er reell ist. Der Bequemlichkeit halber setzen wir also  $c = k$ , gleich einer reellen Constanten; die wir nicht weiter specificiren. Zwei reelle Pkte, die durch die Kugel von einander getrennt werden, haben dann einen Abstand, dessen imaginärer Theil die Form  $(2h+1)k i \pi$  hat.

Zunächst noch eine Bemerkung zur Nicht. Eukli. So. 2. Met. 1891  
 dischen Geometrie. Wenn der Winkel  $\varphi$ , den zwei Halbgerade mit einander bilden, reell ist (vergl. die Fig.):

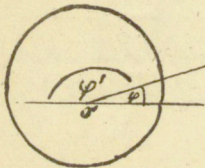


Fig. 1.

so ist sein Nebenwinkel  $\varphi' \equiv \pi - \varphi \pmod{2\pi}$ . In derselben Formel werden wir festhalten, falls der Winkel imaginär sein sollte. Wenn beispielsweise

in der nachstehenden Fig.  $\varphi \equiv i \psi \pmod{2\pi}$ :

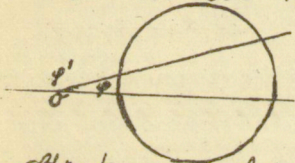


Fig. 2.

so werden wir  $\varphi' \equiv \pi - i \psi \pmod{2\pi}$  setzen. In Fig. 1 sind den beiden

Winkeln  $\varphi, \varphi'$  zwei wohlbestimmte

Stücke des absoluten Kegelschnitts zugeordnet, die insoweit um  $2\pi$  modificirt werden können, als man sie um volle Multipla der Kegelschnittperipherie vermehren kann:

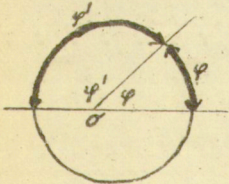
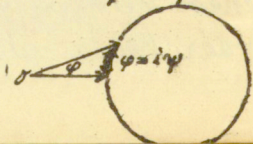


Fig. 3.

wir lassen dabei jedem Halbgeraden denjenigen Schnittpkt mit dem absoluten Kegelschnitt entsprechen, in welchem er denselben

zuerst trifft. Ganz ähnlich wollen wir es bei Fig. 2 machen. Dem Winkel  $\varphi$  wird also das in der folgenden Fig. bezeichnete Kegelschnittstück (vorbehaltdlich der Zufügung irgend welcher Multipla der Gesamtperipherie) zugeordnet sein:

dem Winkel  $\varphi' \equiv \pi - \varphi$  aber das folgende: Fig. 4.



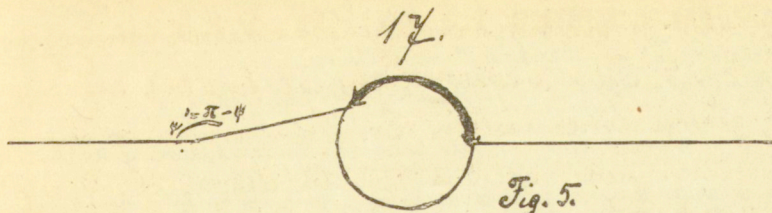


Fig. 5.

Rückt der Schnitt  $p$  ket  $O$  der beiden Halbstrahlen auf den Kegelschnitt selbst, so wird der Winkel  $\psi$ , wie er in der Fig. sammt dem zugehörigen Stücke des Absolutkegelschnittes dargestellt ist, unendlich klein sein: wir drücken dies aus, indem wir schreiben

$$\psi = \epsilon \psi.$$

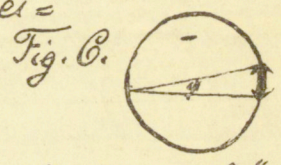


Fig. 6.

Unter  $\pi - \psi$  werden wir dann wieder den Nebenwinkel verstehen, dem wir dasjenige Stück des Absolutkegelschnittes zuordnen, welches wir nunmehr durch die Pfeilspitzen markiren:

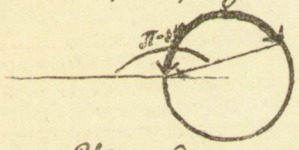


Fig. 7.

Von den  $2n$  Maasszahlen unseres Kreisbogenpolygons.

Einem ebenen geradlinigen Polygon ordnet man in der elementaren Geometrie natürlich  $2n$  Maasszahlen zu: seine  $n$  Winkel und seine  $n$  Seitenlängen zwischen denen dann die gewöhnlichen polygono-metrischen Relationen bestehen, in welche die Winkel, da sie ja nur mod.  $2\pi$  definit sind, nur mit ihren Sinus u. Cosinus eintreten; Wenn wir dann später das Polygon nicht mehr als einen blossen Linienzug, sondern als eine von dem Linienzug begränzte Fläche auf,

fassen wollen, so werden damit die Winkel  $\lambda\pi, \mu\pi, \dots$  der einzelnen Ecken absolut festgelegt werden:

$$\frac{\lambda}{2} = \mathcal{E}(\nu_x) + (\nu_x), \quad \mu_x = \mathcal{E}(\mu_x) + \mu_x,$$

zugleich werden die Seiten jede mit einer gewissen Zahl von Selbstüberschlagungen in Rechnung zu stellen sein. Den gewöhnlichen polygonometrischen Relationen trete, den dann neue an die Seite, welche ich die Ergänzungstheoreme nenne, - Theoreme, durch welche die absoluten Beträge der Winkel mit den Selbstüberschlagungszahlen (oder „Charakteristiken“) der einzelnen Seiten verbunden werden.

Genau so werden wir bei unseren Kreisbogenpolygonen  $3n$  Maasszahlen einführen. Um dies in gleichförmiger Weise zu thun, denken wir uns das Polygon auf der Kugel gelegen u. die Ebenenconstruirt, welche die Begrenzungskreise des Polygons aus der Kugel ausschneiden. Je zwei aufeinanderfolgende Ebenen (oder „Seitenflächen“) haben eine Kante gemein, je drei aufeinanderfolgende eine Ecke; die Configuration, welche von diesen Seitenflächen, Kanten, Ecken gebildet wird, nenne ich den Kern des Polygons. Diesem Kern nun legen wir  $3n$  Maasszahlen bei, indem wir die zur Kugel gehörige projective Maassbestimmung heranziehen. Es sind dies

- 1)  $n$  Kantenwinkel, längs der einzelnen Kante von den beiden durch dieselbe gehenden Seitenflächen gebildet. - Dieselben erscheinen auf die Eckenwinkel unseres Polygons bezogen, u. wenn letztere ohne Weiteres absolut bestimmte Grössen sind (insofern wir uns das Polygon als eine Membran denken), so werden unsere Kantenwinkel immer noch modulo  $2\pi$  bestimmt sein.
- 2)  $n$  Seitenwinkel, innerhalb der einzelnen Seitenfläche des Kerns von den beiden sich dort kreuzen,

den Kanten gebildet. Wir wollen uns vorstellen, dass man diese Kanten zum Zwecke der Bestimmung der in Rede stehenden Seitenwinkel so als Halbstrahlen von ihrem Kreuzungspunkte auslaufen lässt, dass sie den zugehörigen Eckpunkte des Polygons erreichen, ohne vorher schon in einem anderen Punkte die Kugel durchsetzt zu haben. Unsere Seitenwinkel sollen die Winkel der beiden <sup>hiermit</sup> definierten Halbstrahlen sein; sie sind also auch modulo  $2\pi$  definiert.

3)  $n$  Kantenlängen. Ich werde zwischen den beiden Stücken, in welche die Kante durch die beiden auf ihr liegenden Eckpunkte zerlegt wird, nicht weiter unterscheiden. Diese Kantenlängen sind also nur modulo  $2k_i\pi$  (und nicht etwa modulo  $4k_i\pi$ ) festgelegt.

Diese  $3n$  Maasszahlen übertragen wir nun mit geeigneten Modificationen auf unser Kreisbogenpolygon. Wir bemerken bereits, dass den

$n$  Kantenwinkeln die  $n$  Eckenwinkel  $\lambda\pi, \mu\pi, \dots$   
des Kerns des Polygon

mit der Maassgabe entsprechen, dass sie absolut bestimmte Zahlen sind. Wir werden nun ferner

die  $n$  Seitenwinkel als die  $n$  Seitenlängen  $l\pi, m\pi, \dots$   
des Kerns des Polygon

bezeichnen, indem wir letztere wieder, entsprechend der Anzahl der Selbstüberschlagungen, welche die einzelne Seite darbietet, als absolut bestimmte Zahlen einführen.

Endlich werden wir

die  $n$  Kantenlängen des Kerns  
ebenfalls als Maasszahlen des Polygon gelten lassen;

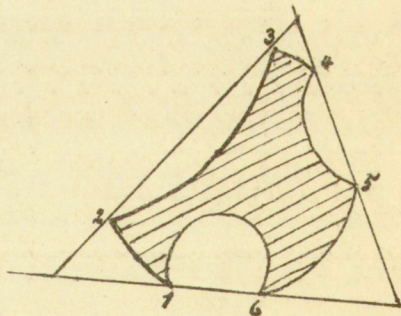
ohne sie bei diesem neu zu definieren u. ohne dieselben also auch als absolute Zahlen festzulegen. Ich bezeichne sie fernerhin als  $L, M, \dots$ .

Hier einige Polygonformen, mit denen wir uns weiter, hin besonders viel zu beschäftigen haben:

I. Polygone, bei denen alle Ecken des Kern's in einen Pkt. zusammengefallen sind, (so dass  $L, M, \dots \equiv 0, 0, \dots \pmod{2k\pi}$ ).

- elliptische Polygone. — Das Centrum liegt innerhalb der Kugel, z. B. im Mittelpkt. derselben, wo dann alle Polygonseiten Stücke grösster Kugelkreise werden.
- parabolische Polygone. — Centrum auf der Kugel. — Durch stereographische Projection in ebene gerad. linige Polygone verwandelbar.
- hyperbolische Polygone. — Centrum ausserhalb der Kugel. — Können im elementaren Sinne durch sog. pseudosphärische Polygone versinnlicht werden.

II. Kreisscheibenspolygon. Wir nennen ein Polygon ein Kreis-scheibenspolygon, wenn die geraden oder die ungeraden Seiten alle in eine Ebene fallen (die Seitenzahl ist dabei natürlich als gerade Zahl vorausgesetzt). Man vergl. die Fig. Die Kanten sind hier paarweise zusammengefallen u. bilden eine ebene Fig. Die Seitenlängen  $14, 34, 56$  sind rein imaginär, die Seitenlängen  $23, 45, 61$  alle gleich  $\pi$ .

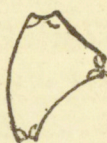
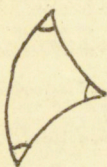


Ganz besonders werden wir nun weiter:

III. Durchaus rechtwinklige Polygone ins Auge fassen. Es entspricht dies der besonderen Wichtigkeit, die wir im vorigen Semester denjenigen Differentialgleichungen beilegte, deren Exponentendifferenzen



alle  $= \frac{1}{2}$  waren. Wir konnten damals die Fälle anderer Exponentendifferenzen dadurch entstehen lassen, dass wir bei einer Differentialgleichg. der genannten Art (einer „Laméschen“ Gleichg. in dem damals festgehaltenen Sinne) zwei singuläre Punkte zusammenrücken liessen. Dementsprechend können wir Polygone mit beliebigen Eckenwinkeln immer als Gränzfälle durchaus rechtwinkliger Polygone gelten lassen. Man vergleiche das nachstehende Dreieck u. das daneben gesetzte Sechseck:



Wir bemerken folgende Sätze: Ein durchaus rechtwinkeliges Polygon ist für  $n=3$  notwendig elliptisch (Kugelschnitt „Band“), für  $n=4$  parabolisch (geradliniges Rechteck), für  $n > 4$  hyperbolisch, - sofern wir überhaupt verlangen, dass sich der Kern auf einen Pkt zusammenziehen soll. - Es hat keinen „bei Schwierigkeit sich ein Kreisscheibenspolygon von beliebiger (gerader) Seitenzahl als ein durchaus rechtwinkeliges Polygon zu denken.

Zwischen den  $3n$  Maasszahlen des Kerns, die wir definierten, werden jetzt polygonometrische Relationen bestehen müssen, zu denen dann, wenn wir zu den absolut definierten Maasszahlen des Polygons übergehen, Ergänzungstheoreme treten. Aber ehe wir hiervon handeln, müssen wir fragen, wie weit Kern u. Polygon durch ihre  $3n$  Maasszahlen definiert sind. Obne Weiteres sieht man:

Der Kern ist durch seine  $3n$  Maasszahlen durchaus festgelegt (abgesehen davon, dass man ihn natürlich durch die zur projectiven Maassbestimmung gehörigen Bewegungen

in  $\infty^6$  äquivalente Lagen bringen kann). Man kann nämlich zuerst eine Kante beliebig annehmen. Auf ihr sucht man sich dann einen beliebigen Pkt als ersten Eckpkt: innerhalb oder außerhalb der Kugel, je nachdem der abzutragende Seitenwinkel reell oder imaginär ist. Verschiebe dieses Seitenwinkels kommt man dann zur 2. Kante, etc. etc. — Ferner sieht man:

Hat man unter den beiden Schnittpkten, welche die erste Kante des Kerns mit der Kugel gemein hat, einmal gewählt so sind damit alle Eckpkt unseres Polygons auf der Kugel festgelegt. Denn die Winkel, welche 2 Kanten mit einander bilden, waren ja mit Rücksicht auf die Auswahl der Eckpkt, welche sie aus der Kugel ausschneiden sollen, modulo  $2\pi$  festgelegt worden.

Aber nun kommt die Frage, die ich bis jetzt noch nicht habe entscheiden können, während doch andererseits ersichtlich ist, dass deren Beantwortung das eigentliche Fundament einer allgemeinen Theorie der Kreisbogenpolygone ausmachen muß:

Wird das Polygon (dessen Seitenflächen u. Ecken wir vom Kern aus bereits kennen, durch Angabe der zugehörigen also, hundert Wörthe der  $\lambda, \mu, \dots$  und der  $l, m, \dots$  sindeutig bestimmt sein?

oder anders ausgedrückt, indem wir 2 Polygone, welche dieselben Seitenflächen u. dieselben Eckpkt darbieten, „im engeren Sinne verwandt“ nennen:

Können 2 im engeren Sinne verwandte Polygone dieselben  $\lambda, \mu, \dots, l, m, \dots$  besitzen, ohne identisch zu sein?

Ich muß die Frage leider durchaus unentschieden lassen. Ferner werden wir uns weiterhin so ausdrücken, als wenn das Polygon durch seine  $3n$  Maasszahlen wirklich vollständig bestimmt wäre.

Von den Relationen zwischen den Maasszahlen des  
Polygons.

Eine blosser Abzählung belehrt uns, dass zwischen den  $3n$  Maasszahlen eines Kreisbogen- $n$ -ecks 6 Relationen bestehen müssen. Das Polygon als solches, individuell genommen, hängt nämlich nur von  $3n$  Constanten ab, indem wir auf jede seiner Begrenzungs-ebenen drei Constanten zu rechnen haben. Die  $3n$  Maasszahlen aber sind allen den  $\infty^6$  Polygonen gemeinsam, welche aus dem einzelnen durch die  $\infty^6$  projectiven Bewegungen hervorgehen. Daher also nothwendig 6 Relationen zwischen den  $3n$  Maasszahlen.

Beschränken wir uns auf elliptische, parabolische, hyperbolische Polygone u. sehen deren Fixpht als bekannt an, so stellt sich die Abzählung so: Auf jede der  $n$  Seitenebenen können jetzt 2 Constanten, andererseits haben wir noch  $\infty^3$  Bewegungen um den Fixpht. Daher werden zwischen den  $2n$  Maasszahlen, welche wir im vorliegenden Falle unter Beiseite-  
setzung der  $n$  verschwindenden Kantenlängen noch zu betrachten haben, drei Relationen bestehen.

Sei endlich  $n = 2n'$  und nehmen wir ein Kreisscheiben-polygon. Indem wir dessen ausgezeichnete Begrenzungs-ebene wieder als bekannt gelten lassen, hängt das Polygon noch von  $3n'$  Constanten ab. Aber es gibt wieder  $\infty^3$  in Betracht kommende Bewegungen (die Bewegungen der ausgezeichneten Ebene in sich). Das Kreisscheiben-polygon hängt also von  $3n' - 3$  absoluten Constanten ab.

Es ist am bequemsten, die Definition derselben nicht aus den allgemeinen Festsetzungen der vorigen Stunde sondern direct aus der Fig. zu entnehmen:  $n'$  absolute Constante kommen auf die  $n'$  Winkel, welche die ungeraden Begrenzungs-ebenen mit der Hauptebene bilden,  $2n' - 3$  weitere Maasszahlen

sind auf das ebene Polygon zu rechnen, in denen die ungeraden Begrenzungsebenen die Hauptebene durchdringen. Unmittelbar bietet dieses Polygon natürlich  $n'$  Seitenlängen u.  $n'$  Winkel, also  $2n'$  Maasszahlen dar; zwischen diesen bestehen dann eben drei Relationen.

Handelt es sich nun um wirkliche Aufstellung der stattfindenden Relationen, so müssen wir, wie wir schon früher andeuten, zwischen den gewöhnlichen polygonometrischen Relationen u. den Ergänzungstheoremen unterscheiden. Bei ersteren kommen die  $\lambda, \mu, \dots, l, m, \dots$  etc. nur mod.  $2\pi$  in Betracht; sie enthalten nur die trigonometrischen Functionen Sinus u. Cosinus, also  $\sin \lambda, \cos \lambda, \dots$  und gelten darum gleichmässig für alle Polygone, die zu demselben Kern gehören. Die Ergänzungstheoreme geben dann an, wie beim einzelnen Polygon die absoluten Werthe der  $\lambda, \mu, \dots; l, m, \dots$  mit einander verknüpft sind.

Was nun die Aufstellung der gew. polygonometrischen Relationen angeht, so erinnere man sich, wie wir beim Dreieck die bez. Relationen aus einem Ansatz von  $\text{Lac}$ ,  $\text{milton}$  abgeleitet hatten: Wir hatten das Dreieck mit seinen 3 Spiegelbildern umgeben:



u. nun die Drehungen betrachtet, welche um die 3 Ecken des Dreiecks (um die zugehörigen  $\text{Kern}$  des Dreiecks) durch die doppelten Winkel  $2\lambda\pi, 2\mu\pi, 2\nu\pi$  stattfinden. Mögen dieselben  $A_{2\lambda}, B_{2\mu}, I_{2\nu}$  heissen.  $A_{2\lambda}$  führt dann das Spiegelbild  $2$  in  $3$  über,  $B_{2\mu}$   $3$  in  $1$ ,  $I_{2\nu}$   $1$  in  $2$ . Dann ist:

$$I_{2\nu} B_{2\mu} A_{2\lambda} = 1,$$

u. die trigonometrischen Formeln der gew. Theorie ergeben sich, indem wir diese eine Gleichg. entwickelten. Genau so werden wir nun unser Polygon von  $n$  Seiten mit  $n$  Spie-

gelbildern umgeben u. mit Hilfe derselben erkennen, dass

$$N_{2\varrho} \dots I_{2\nu} B_{2\mu} A_{2\lambda} = 1$$

sein muss, unter  $N, \dots I, B, A$  Drehungen um die  $Kan.$  den des zugehörigen Kerns je durch den Doppelten Winkel  $2\varrho\pi, \dots 2\nu\pi, 2\mu\pi, 2\lambda\pi$  verstanden. Operiren wir allgemein, so gibt uns diese eine Formel gerade 6 Relationen, in dem doch die allgemeine Bewegung des Raumes von 6 Con., Standen abhängt. Es kann natürlich sehr complicirt sein, diese 6 Relationen zu entwickeln, aber eine principielle Schwierigkeit dürfte in dieser Hinsicht nicht vorliegen.

Ganz anders ist es nun aber mit den Ergänzungs-  
Theoremen:

Wollen wir auch da die Analogie mit den früheren Dreiecksbetrachtungen voranstellen, so werden wir zu, erst die Reductionsprocesse aufzählen, die ~~was~~ bei unseren Polygonen zur Verfügung stehen:

Laterale } Abtrennung von Kreisscheiben  
Polare

Transversale Abschmürung von Kreisringen

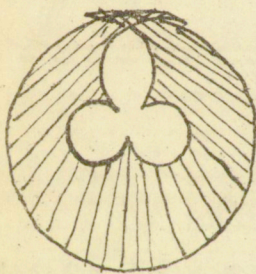
Diagonale " " " von Vollkugeln.

Dann werden wir ein Polygon reducirt nennen, wenn es durch keinen dieser Processe mehr vereinfacht werden kann, u. natürlich den Satz haben, das umgekehrt aus einem reducirtten Polygon das allgemeinste Polygon durch beliebig wiederholte Anwendung der Anhängungsprocesse entsteht, welche die ~~inversen~~ der gerade genannten Processe sind.

Aber nun ist die Schwierigkeit die, dass wir von der Ge.,  
Statt eines reducirtten  $n$ . Eck's uns bislang keine adäqua,  
te Vorstellung bilden können (~~was~~ doch nöthig wäre, um  
zu erfahren, welche Ergänzungstheoreme beim reducirtten  
 $n$ . Eck Platz greifen, u. wie man das reducirtte  $n$ . Eck

durch irgendwelche Anhängungen erweitern kann). Hier zwei einfache Beispiele, welche zeigen sollen, wie verschiedene Mögl. lichkeiten in dieser Hinsicht vorliegen. Ein reducirtes Dreieck überdeckt die Ebene nirgends doppelt, so lange nicht eine Seite desselben sich selbst überschlägt, u. Selbstüberschlagungen einer Seite kamen nur vor, wenn ein Winkel überstumpft wurde. Hier nun das Beispiel eines durchaus rechtwinkligen Fünfecks, welches zweifellos reducirt ist, bei dem sich keine Seite überschlägt u. welches dennoch einen Theil der Ebene mehrfach bedeckt.

Hier ferner das Beispiel eines reducirtten Fünfecks, dessen sämtliche Winkel gleich Null sind u. bei dem sich doch eine Kreisbogenseite selbst überschlägt:

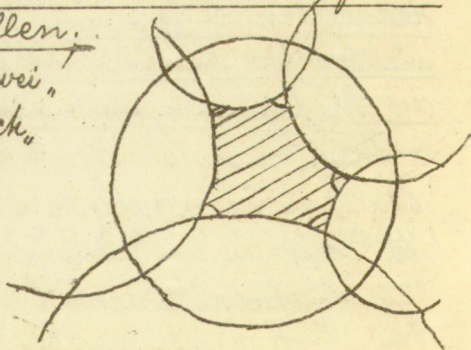


Bei dieser Sach-

lage sehen wir uns genöthigt, von einer allgemeinen Aufstellung der Ergänzungstheoreme abzusehen u. denselben nur in einzelnen Fällen nachzugehen!

Wir betrachten insonderheit ein reducirtes Polygon, welches keinen Theil der Ebene mehrfach überdeckt u. von dessen Begrenzungskreisen sich immer nur die unmittelbar auf einander folgenden schneiden sollen.

ein solches Polygon kann beispielsweise als hyperbolisches Polygon gezeichnet werden:



Wie viele Arten transversaler Anhängung von Kreisringen sind bei einem solchen Polygon nebeneinander möglich? Und

wie viele Typen simultaner Anhängungen lassen sich dabei unterscheiden?

Wir werden die einzelne Anhängung von Kreisringen wieder dadurch bezeichnen, dass wir in unserem Polygon eine Querlinie ziehen, u. dann durch einen zugesetzten Buchstaben  $p, q, \dots$  andeuten, wie viele Kreisringe eingehängt werden sollen. Da ist der allgemeine Grundsatz, dass man nur solche Anhängungen neben einander ausführen kann, deren Querlinien so angeordnet werden können, dass sie sich wechselseitig nicht schneiden. Uebrigens aber kann man bei wachsendem  $n$  auf die verschiedenste Weise Systeme von  $(n-3)$  einander nicht schneidenden Querlinien ziehen. —

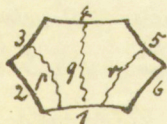
Nehmen wir zuerst  $n=5$ , so wird folgendes die schematische Anordnung zweier verträglichen Anhängungen sein: Zugleich sieht man, dass bei  $n=5$  kein anderer Typus der in Betracht kommenden Fig. existiert, als eben dieser. Nennen wir  $X, \dots, X_5$  die Charakteristiken der Seiten des erweiterten Polygon's, so haben wir offenbar

$$X_1 = p + q, X_2 = 0, X_3 = p, X_4 = q, X_5 = 0,$$

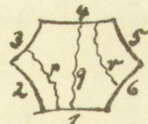
daher in diesem Falle als „Ergänzungstheoreme“:

$$X_2 = 0, X_5 = 0, X_1 = X_3 + X_4. —$$

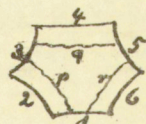
Bei  $n=6$  sind drei einander nicht schneidende Querlinien zu ziehen. Ich finde, dass sich dies auf 3 verschiedene Weisen ermöglicht:



a)



b)



c)

Im Falle a) haben wir:

$$x_2 = 0, x_6 = 0, x_1 = x_3 + x_4 + x_5.$$

Im Falle b) dagegen:

$$x_2 = 0, x_5 = 0, x_1 - x_3 = x_4 - x_6.$$

Im Falle c) endlich:

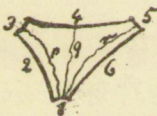
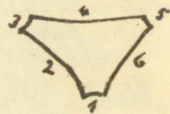
$$x_2 = 0, x_4 = 0, x_6 = 0,$$

Daneben aber die Ungleichungen:

$$x_1 < x_3 + x_5, x_3 < x_5 + x_1, x_5 < x_1 + x_3.$$

So particularär diese Beispiele sein mögen, so genügen sie doch, um auf unsere frühere Theorie der Dreiecke, bez. der Hermite - Laméschen Vierecke ein neues Licht zu werfen. Man lasse das Sechseck der vorstehenden Figuren in folgender Weise in ein Dreieck ausarten:

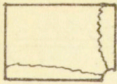
Man geht der Anhängungsmodus b) vor, loren, weil sich die Kreislinien 4 u. 6, wenn wir zum Dreieck übergehen, selbstverständlich schneiden müssen. Fig. a) und c) aber ergeben gerade diejenigen beiden Erweiterungsprozesse des Dreiecks, die wir früher ohne hin studirt haben:



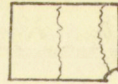
In der That haben wir linker Hand die Fig. vor uns stehen, wo an das Dreieck zwei laterale u. eine polare Anhängung gemacht werden, rechter Hand die andere, bei der drei laterale Anhängungen stattfinden. Analog ist es beim Hermite - Laméschen Viereck. Wenn wir bei diesem die „ausgezeichnete“ Ecke durch einen kleinen Kreisbogen ersetzen u. nun die Figuren der zweierlei Anhängungen zeichnen, die wir da in Betracht gezogen hatten, so



erhalten wir:



a

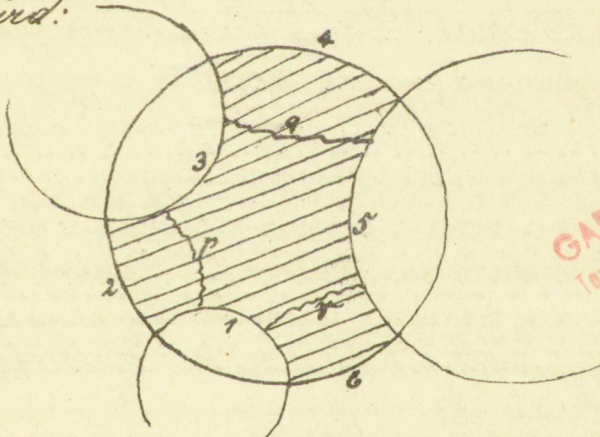


b

Man erkennt in den beiden Figuren Specialfälle der auf p. 25. für das Fünfeck gezeichneten Figur. Offenbar werden wir zusammenfassend sagen dürfen:

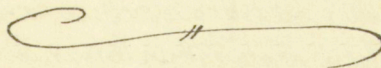
Schließen wir uns der wiederholt berührten Auffassung an, und betrachten Polygone mit beliebigen Winkeln als Grenzfälle von durchaus rechtwinkligen Polygonen, so werden die verschiedenen auf p. 23 namhaft gemachten Anhängungsprozesse als Grenzfälle eines einzigen Anhängungsprozesses, nämlich der transversalen Anhängungserscheinung.

Wir könnten die Erweiterungsprozesse jetzt beispielsweise weiter beim Kreiseckpolygon untersuchen. Beispielsweise gebe ich folgende Figur für  $n=6$ , die ohne Weiteres verständlich sein wird:



GABINET MATEMATYCZNY  
Towarzystwa Naukowego Warszawskiego

Doch ist es Zeit, diese geometrischen Betrachtungen abzubringen.



## Uebergang zu den Differentialgleichungen.

Die charakteristische Wendung, welche wir nunmehr unseren Betrachtungen geben, ist die, dass wir uns das Kreisbogenpolygon der  $\eta$ . Ebene (oder  $\eta$ . Kugel) nunmehr auf eine Halbebene  $x$  conform abgebildet denken (was nach der Theorie der conformen Abbildung immer möglich sein muss), u. dass wir diese conforme Abbildung dazu benutzen, um  $\eta$  als eine Function von  $x$  zu definiren.

Besagte Definition weist natürlich zunächst nur den Punkten  $x$  unserer Halbebene (sagen wir der „positiven“ Halbebene) je einen Werth  $\eta$  zu: sie gibt, für die Halbebene, den Verlauf eines einzelnen Functionszweigs. Aber diesen Zweig werden wir nun analytisch fortsetzen, indem wir einerseits das Polygon, andererseits die Halbebene an den verschiedenen Stücken ihrer Begrenzung spiegeln (symmetrisch vervielfältigen). Dadurch werden jedem  $x$  eine ganze Reihe von Werthen  $\eta$  zugewiesen, die in der Ebene  $\eta$  durch solche Punkte vorgestellt werden, welche an correspondirenden Stellen direct Kreis verwandter Polygone liegen.  $\eta$  wird also eine solche Function von  $x$ , deren verschiedene Werthe sich aus einem derselben durch eine bestimmte Gruppe linearer Substitutionen  $\eta' = \frac{\alpha_i \eta + \beta_i}{\gamma_i \eta + \delta_i}$  ergeben. Wir schliessen daraus, dass der Differentialausdruck dritten Grades  $[ \eta ]_x$  eine eindeutige Function von  $x$  ist:  $[ \eta ]_x = F(x)$ .

Aber diese  $F(x)$  kann nur an den singulären Stellen  $a, b, c, \dots$  der  $x$ -Axe unendlich werden, die den Ecken unseres Polygon's entsprechen, weil dort allein eine Abweichung der Abbildung von dem eigentlichen conformen Verhalten eintritt. Ingleichen erfahren wir durch die nähere Betrachtung dieser Abweichung,

dass  $F(x)$  an der einzelnen singulären Stelle nur zweifach  $\infty$  wird u. zwar mit einem gegebenen Coefficienten. Von hier aus schliessen wir dann, dass  $F(x)$  eine rationale Function von  $x$  von der folgenden Bauart sein muss:

$$F(x) = \frac{1}{(x-a)(x-b)\dots} \left\{ \frac{1-\lambda^2}{x} \cdot \frac{(a-b)(a-c)\dots}{x-a} + \dots + x G_{n-2}(x) \right\},$$

wo  $G_{n-2}(x)$  eine ganze Function  $Ax^{n-4} + Bx^{n-5} + \dots$  bezeichnet. Unsere Function  $\eta$ , die wir durch die conforme Abbildung definirten, genügt also eben einer solchen Differentialgleichg. 3<sup>ter</sup> Ordnung, wie wir sie in diesem Semester betrachten wollten.

Und damit ist ersichtlich ein neuer Ansatz zum Studi., um dieser Differentialgleichg. (wie der zugehörigen linearen Differentialgleich. 2<sup>ter</sup> Ordnung) gewöhnen. Zunächst erscheinen diese Differentialgleichungen bestimmt durch die in ihnen unmittelbar auftretenden Constanten, die wir die algebraischen Parameter nennen wollen:

- die Exponentendifferenzen  $\lambda, \mu, \dots$
- die Verzweigungswerte  $a, b, \dots$
- die accessorischen Parameter  $A, B, \dots$

jetzt treten uns statt dessen die Maasszahlen des Polygons, die wir die transcendenten Parameter nennen wollen, entgegen. Um den Vergleich genauer durchzuführen, müssen wir natürlich beachten, dass sich die Abbildung des  $\eta$ . Polygons auf die positive Halbebene  $x$  auf  $\infty$  Weisen bewerkstelligen lässt, entsprechend einer linearen Transformation  $x' = \frac{ax+b}{cx+d}$  mit reellen Coefficienten (u. positiver Determinante), durch die wir unsere Halbebene auf sich selbst abbilden können. Es sind darum nicht sowohl die  $a, b, \dots$  selbst, die zu Vergleich stehen, als die Doppelverhältnisse der  $a, b, \dots$ . Neben diese stellen sich dann die  $A, B, \dots$ . Uebrigens bemerken wir ausdrücklich, dass die  $\lambda, \mu, \dots$  gleich,

zeitig algebraische u. transcendente Parameter sind, in dem sie ja nicht nur die Exponentendifferenzen unserer Differentialgleichg, sondern ebensowohl die Eckenwinkel unseres Polygons messen.

Vermöge unserer neuen Auffassung treten also wesentlich den Invarianten der  $a, b, \dots, A, B, \dots$  die Seitenlängen unseres Polygons, bez. die Seitenlängen seines Kerns als neue, transcendente Bestimmungsstücke gegenüber.

Wir werden übrigens weiterhin diese neue Auffassung nicht rein zur Geltung bringen (ausser bei Gelegenheit zwischendurch), vielmehr zwischen ihr u. der älteren Auffassung einen gewissen Mittelweg wählen, der zunächst der interessanteste scheint: wir werden nämlich die Verzweigungswerte  $a, b, \dots$ , bez. ihre Doppelverhältnisse, als solche vorgeben, und dann nur fragen, wie weit wir noch über die Maassverhältnisse des zugehörigen Polygons verfügen dürfen, um dadurch die accessorischen Parameter festzulegen. Näheres darüber bald. Bemerken wir nur noch, dass für  $n=3$  alle diese verschiedenen Ansätze zusammenfallen, so dass Riemann's ursprüngliche Behandlung des Falles  $n=3$  weder zu Gunsten des einen noch zu Gunsten des anderen Ansatzes herangezogen werden kann. In der That: bei  $n=3$  bestimmen sich durch die  $\lambda, \mu, \nu$  die übrigen transcendente Parameter von selbst, accessorische Parameter aber und Doppelverhältnisse der  $a, b, \dots$  gibt es überhaupt nicht. So bleiben für  $n=3$  als einzige Bestimmungsstücke, mögen wir die Sache so oder anders wenden, die von Riemann benutzten  $\lambda, \mu, \nu$  übrig.

Immer will ich an die Auffassung des unabhängig gegebenen  $\eta$ . Polygon's folgende Bemerkung anschliessen: An

das gegebene Polygon können wir durch Anhängung oder Abtrennung von Kreisseiben etc.  $\infty$  viele andere verwandte Polygone schliessen. Wie hängen die zugehörigen Differentialgleichungen 3. Ordnung, wie insbesondere ihre Verzweigungstellen von einander ab? Dies scheint ein interessantes Problem zu sein.

Zur Rechtfertigung des „Mittelweges“, den wir am So. 9. Mai 1892. Schlusse der vorigen Stunde bezeichneten, können wir zunächst etwa anführen, dass wir denselben im Falle der Hermite-Lamé'schen Gleichg. in der That benutzt haben. Dachten wir doch dort die Verzweigungstellen  $e_1, e_2, e_3, \infty$  als von vorneherein gegeben, um dann die volle Bestimmung der Differentialgleichg. aus allgemeinen Eigenschaften des Polygons, die wir verlangten, abzuleiten. - Wir dürfen uns aber ferner auf die Analogie mit Riemann's Theorie der Abel'schen Integrale berufen. In letzterer gelten die Riemann'sche Fläche, welche das Integral trägt, und die Unendlichkeitsstellen des Integrals als das zunächst Gegebene, - das entspricht genau dem, dass wir für die  $\eta$ -Fct. die Verzweigungspkte geben; die Analogie wird noch deutlicher hervortreten, wenn wir demnächst Gelyenheit nehmen,  $\eta$ -Fctoren nicht auf der schlichten Ebene, sondern auf vorgeschriebener Riemann'scher Fläche zu betrachten (auf der dann wieder bestimmte Verzweigungspkte gegeben sein können. Riemann untersucht dann des Weiteren die transcendenten Eigenschaften des Integrals, d. h. die Perioden, die es bei Umläufen über die Fläche hin zeigt. Dem entspricht, dass wir die conforme Abbildung in Betracht ziehen, welche  $\eta$  von der zerstückelten Ebene oder

Riemann'schen Fläche entwirft. Und nun benutzt R. die  $\eta$ -Perioden, um mit ihrer Hilfe durch irgendwelches  $\beta$ -Bedingungssystem die  $p$ -accessorischen Parameter, welche das Integral (von der Integrationsconstante abgesehen) noch einschliesst, sündäufig festzulegen! Er zeigt beispielsweise, dass man zu diesem Zwecke die reellen  $\beta$ -Standtheile der  $2p$  Perioden beliebig annehmen darf. Genau das Entsprechende ist nun, was wir beim  $\eta$  anstreben.

Allerdings müssen wir einstweilen auf eine allgemeine Erledigung des sonach gestellten Problems durch  $\eta$  aus verzichten. Ich werde Ihnen vielmehr nur einzelne Fälle transcendenten Bedingungssysteme vorführen können, welche das Gewollte leisten, d. h. die accessorischen Parameter festlegen. Dieselben gruppieren sich um drei Sätze, über die ich vorab das Historische mittheilen will.

- 1) das Kreisscheibentheorem,
- 2) das hyperbolische Theorem,
- 3) das Oscillationstheorem.

Nr. 1 u. 2 beziehen sich auf die Untersuchungen, welche ich mit Poincaré zusammen in den Jahren 1881-82 über automorphe Functionen ausführte, Nr. 3 wurde kurz vorher (Frühjahr 1881) von mir durch physikalische Beobachtung gefunden.

Ehe ich 1) u. 2) bespreche, will ich doch, um den Bericht zu eine gewisse Allgemeinheit zu geben, von den  $\eta$ -Functionen auf einer Riemann'schen Fläche Näheres erzählen. Eine solche  $\eta$ -Function wird auf der  $R$ -Fläche bestimmten Punkte  $a, b, \dots$  in endlicher Zahl ( $n$ ) zu singu-

lären Pkten haben, deren nähere Natur durch gewisse Exponentendifferenzen  $\lambda, \mu, \dots$  festgelegt ist, übrigens aber wird sie überall auf der  $R$ . Fl. regulär verlaufen u. die charakteristische Eigenschaft besitzen, sich nach Durchlaufung irgend welchen auf der Riemann'schen Fläche gelegenen geschlossenen Weges jedesmal in der Gestalt  $\frac{\alpha\eta + \beta}{\gamma\eta + \delta}$  zu reproduciren. Ist  $p$  das Geschlecht der Riemann'schen Fläche, so findet man, dass in der Differentialgleichg. 3. Ordg. der dieses  $\eta$  bezüglich irgend, welcher auf der  $R$ . Fl. existirender algebraischer Function  $x$  genügt:  $[\eta]_x =$  Algebraische Function der  $R$ . Fl., genau  $n + 3p - 3$  accessorische Parameter enthalten sind. Diese  $n + 3p - 3$  accessorischen Parameter werden dann aus der Gestalt des „Fundamentaltbereichs“ festzulegen sein, auf welche unser  $\eta$  die zweckmässig zerschnittene  $R$ . Fl. abbildet. — Man sieht übrigens, dass für  $p > 0$  der Werth  $n = 0$  zulässig ist: es gibt dann überall unverzweigte  $\eta$ . Functionen, ihre Anzahl ist (die 3 Integrationsconstanten des einzelnen  $\eta$  nicht mit eingerechnet)  $\infty^{3p-3}$ . Diese unverzweigten  $\eta$ . Functionen sind offenbar das Analogon der  $\infty^p$  überall endlichen Integrale, die zu der  $R$ . Fl. gehören. —

Ich wende mich nun zunächst zu Nr. 1.

### Nr. 1. Das Kreisschreibentheorem.

Möge auf der  $x$ . Axe eine gerade Anzahl von singulären Punkten  $a, b, \dots$  vorgegeben sein, durch welche die, selbe in die Segmente 1, 2,  $\dots$  &  $m$  zerfällt. Möge ferner die Exponentendifferenz einer jeden dieser singulären Pkte  $= \frac{1}{2}$  genommen werden. Das Kreisschreibentheorem behauptet dann:

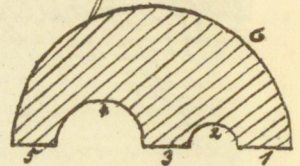
Man kann über die  $2m - 3$  in der Differentialgleichg.

aufstrebenden accessoirischen Parameter immer u. nur auf eine Weise so verfügen, dass unser  $\eta$  die Halbebene  $X$  auf ein. ke.,  
 ducirtes Kreisscheibepolygon von  $2m$  Seiten abbildet,  
 dessen Hauptkanten den Segmenten  $1, 3, 5, \dots$  der  $X$ . Acee  
 entsprechen.

Als „reducirtes“ Kreisscheibepolygon soll dabei ein sol.,  
 ches bezeichnet werden, welches keine sich selbst über.,  
 schlagende Kante hat, d. h. ein solches, wie es für  $n=6$   
 die nachstehende Fig. darstellt:

Ich habe dabei der Einfach.,  
 heit halber den das Polygon  
 ungeschlossenen Hauptkreis  
 zur geraden Linie gestreckt, auch die Nummern der einzel.,  
 nen Segmente der  $X$ . Acee an die zugehörigen Polygonkan.,  
 ten angeschrieben. —

Fig. 1.



Das so formulirte Theorem ist ein sehr specieller Fall  
 eines Satzes, den ich ursprünglich im Herbst 1881 (als  
 ich mit meiner Schrift über Riemann's Theorie beschäf.,  
 tigt war) u. den ich dann im 19ten Bande der Annalen  
 unter dem 12. Jan. 1882 publicirte. Dieser Satz bezieht  
 sich auf die  $\infty^{3p-3}$   $\eta$ -Functionen, welche auf einer ge.,  
 gebenen Riemann'schen Fläche unverzweigt sind, u. be.,  
 sagt Folgendes:

Hat man die Riemann'sche Fläche irgendwie durch  
 p. einander nicht kreuzende Rückkehrschnitte zerschnitt.,  
 den, so gibt es unter den  $\infty^{3p-3}$   $\eta$ -Functionen eine u. nur  
 eine, welche die zerschnittene Fläche auf einen zusammenhän.,  
 genden Bereich der  $\eta$ . Ebene abbildet, der letztere nirgend.,  
 wo mehrfach überdeckt. Der betr. Bereich hat den  $2p$  Ufern,  
 welche unsere Rückkehrschnitte auf der Riemann'schen  
 Fläche darbieten, entsprekend natürlich  $2p$  Begränzungs.,



curven, die durch lineare Substitutionen von  $\eta$  zusammengeordnet werden. Man kann diesen Begrenzungscurven durch geeignete Wahl der Rückkehrschnitte, durch welche wir die gegebene  $K. Fl.$  zerschneiden, allemal kreisförmige Gestalt ertheilen.

Die folgenden Figuren mögen diese Verhältnisse schematisch erläutern: Wir zeichnen zuerst eine  $K. Fl.$   $p=3$  in Gestalt einer mehrfachen Ringfläche u. bringen auf ihr 3 Rückkehrschnitte an: (I, II, III):

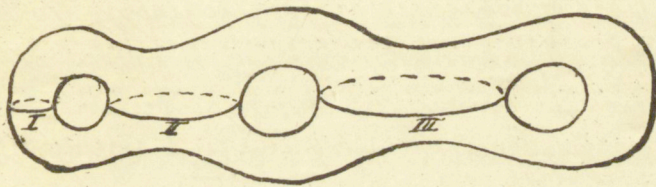


Fig. 2.

Ferner aber einen Bereich der  $\eta$  Ebene, der von 6 paarweise zusammengeordneten Kreisen begrenzt ist:

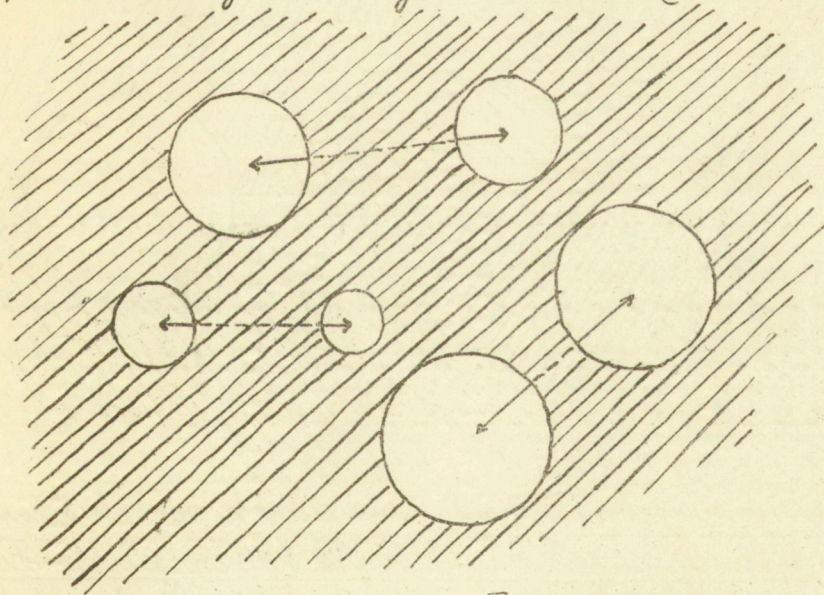
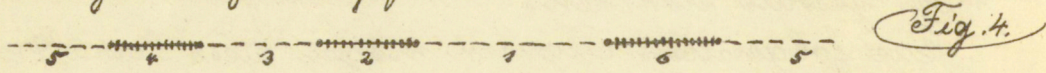


Fig. 3.

Wie nun hängt das Kreisscheibentheorem mit diesem allgemeinen Satze betr. beliebige  $K. Fl.$  zusammen?  
Wir müssen, um den Zusammenhang zu verstehen, die

x. Ebene des Kreisscheibentheorems mit einer zweiblättrigen (hyperelliptischen) Fläche bedecken, deren beide Blätter an den vorgegebenen Verzweigungsstellen a, b, - zusammenhängen. - Also, um an die Verhältnisse der Fig. 1 anzuknüpfen:



(hier sollen 2, 4, 6 diejenigen Stücke der x-Axe sein, längs deren sich die beiden Blätter der Fläche durchdringen, 1, 3, 5 aber die Stücke, längs deren die beiden Blätter getrennt über einander hinlaufen). Wollen wir uns nun zur Fig. 1) zurückwenden, u. diese einmal am Hauptkreise, d. h. an der horizontalen Begrenzungslinie, dann aber am Kreise 6 durch Symmetrie vervielfachen. So entsteht folgende Fig:

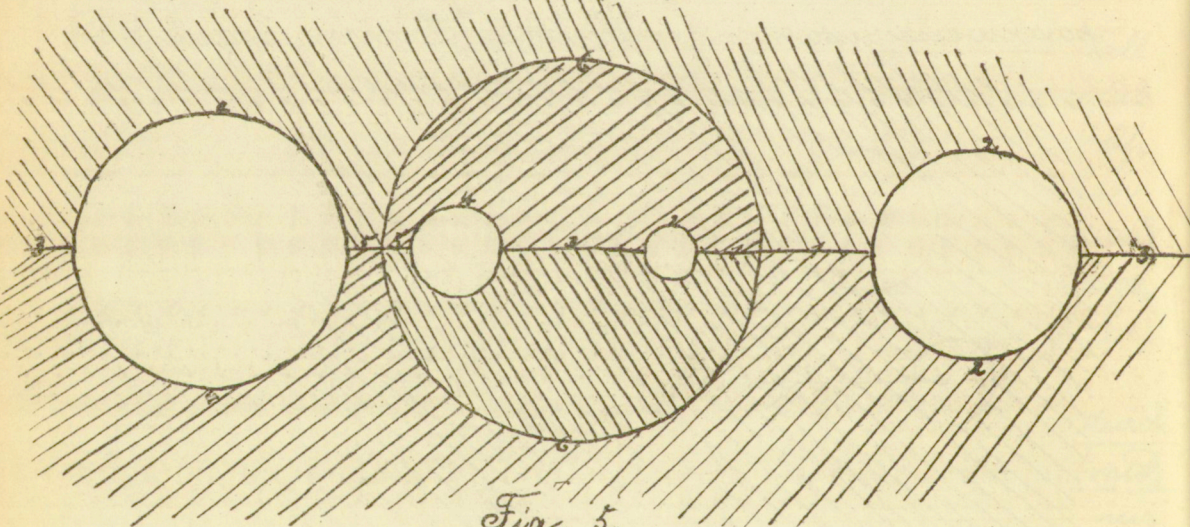


Fig. 5.

deren einzelne Bestandtheile wir durch verschiedenartige Schraffirung gekennzeichnet haben. Diese Fig. ist nun eine Abbildung unserer hyperelliptischen Fläche, wobei wir uns nun denken müssen, dass wir

dieselbe längs der Stücke 2, 4 der  $X$ . Axe, d. h. längs zweier auf der hyperelliptischen Fläche einander nicht kreuzen, der Rückkehrschnitte aufgeschlitzt haben. Eben darum aber haben wir es mit einem Specialfall der allgemeinen Fig. 3 zu thun (nur dass wir jetzt  $p=2$  angenommen haben). Wir steigen von Fig. 5 zu Fig. 1. herüber, indem wir bemerken, dass Fig. 5, ebenso wie die zerschnittene hyperelliptische Fläche aus 4 zu einander symmetrischen Theilen besteht. Das Kreiszeichentheorem entsteht also aus dem allgemeinen Theorem von An. 14. indem man den Umstand benützt, dass eine hyperelliptische Fläche 4 eindeutige Transformationen in sich besitzt, u. auf der hyperelliptischen Fläche die  $p$  Rückkehrschnitte so wählt, dass sie bei diesen Transformationen in sich selbst übergehen. —

Fig. 1, resp. Fig. 5 werden analytisch fortgesetzt werden, indem man sie immer auf's Neue an den begrenzten Kreisbogen spiegelt, Fig. 3, indem man die Fig. den durch die Doppelpfeile angedeuteten linearen Substitutionen immer wieder auf's Neue unterwirft. Dass die neuen Figuren, welche man solcherweise erhält, sich glatt neben einander legen, ohne irgend welchen Theil der  $\eta$ -Ebene mehrfach zu überdecken, dass also die Riemann'sche Fl., Fig. 2 resp. Fig. 4, in  $\eta$  eindeutig - automorph wird, dürfte deutlich sein. Die allgemeinen automorphen Functionen, auf die wir hier kommen, wurden im Anschluss an einen Brief, den ich Poincaré geschrieben, zuerst von Letzterem in den Comptes Rendus vom 27. Juni 1881 (t. 92, p. 1484) betrachtet. Den symmetrischen Fall der Fig. 2 (dessen Fundamentalle,

reich aus einem von  $p+1$  Kreisen begrenzten Stück der  $\eta$ . Ebene durch einmalige Spiegelung entsteht) war schon vorher in Anknüpfung an physikalische Fragestellungen von Krieman betrachtet worden (cf. Nr. 25 des Nachlasses in den 1876 herausgegebenen „Werken“), dann auch von Schottky in seiner Dissertation (1876, Breslau) u. bald darauf in einer Abhandlung in Bd. 83 des Fourm. nals (1877).

### Nr. 2. Das hyperbolische Theorem.

Wieder beginnen wir mit der schlichten  $x$ -Ebene mit  $n$  der reellen Axe angehörig singulären Punkten  $a, b, \dots$ , denen wir jetzt Exponentendifferenzen  $1/l, 1/m, \dots$  beilegen wollen (unter  $l, m, \dots$  ganze Zahlen verstanden, die auch  $\infty$  sein können). Das Theorem lautet:

Man kann die  $n-3$  accessorischen Parameter unter diesen Umständen gerade auf eine Weise so bestimmen, dass die Halbebene  $x$  auf ein reducirtes hyperbolisches Polygon der  $\eta$ . Ebene abgebildet sind:

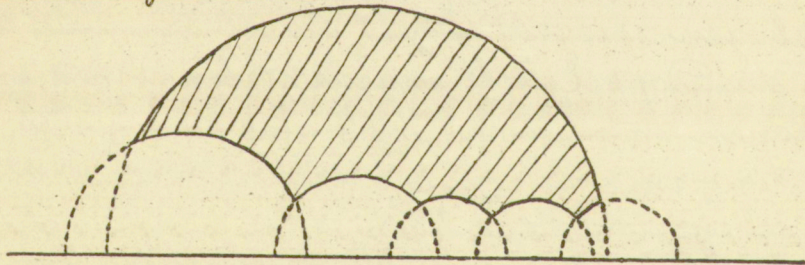


Fig. 6.

Nehmen wir insbes  $l = m = \dots = \infty$ , so entsteht folgende Fig., die der Auffassung besonders zugänglich ist:

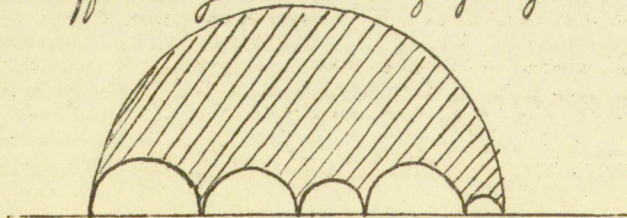


Fig. 7.

Was die Entdeckung des Theorems angeht, so wurde der Fall der Fig. 7 zuerst von Poincaré aufgestellt, vergl. t. 92 der Comptes Rendus vom 18. April 1881 (p. 957), der allgemeine Fall der Fig. 6 ergab sich erst später aus der Verallgemeinerung der Fig. 7, die ich mittlerweile für beliebige algebraische Gebilde gegeben hatte. Es handelt sich hier um das allgemeine Theorem, welches ich in Annalen XX unter dem 27. März 1882 veröffentlichte. Wir denken uns wieder eine beliebige R. Fl. vom Geschlechte  $p$  mit irgendwelchen singulären Punkten  $a, b, \dots$  gegeben, denen wir die Exponentendifferenzen  $\lambda = \frac{1}{l}, \mu = \frac{1}{m}, \dots$  zuweisen. Wir denken uns die R. Fl. irgend, wie durch  $ip$  Querschnitte und  $n$  nach den Verzweigungsphänomenen hinlaufende Einschnitte in eine einfach zusammenhängende Fläche zerschnitten. Das allgemeine Theorem besagt dann, dass man unter den zugehörigen  $\infty^{n+3p-3} \eta$ -Functionen gerade eine ausfindig machen kann, welche die zerschnittene R. Fl. auf einen reducirten hyperbolischen Fundamentallbereich abbildet, d. h. auf ein nirgends mehrfach bedecktes Stück der Kalbsebene  $x$ , dessen Begrenzungskanten paarweise durch Substitutionen zusammengehören, bei denen die reelle  $x$ -Achse in sich selbst übergeht\*. Dieses Theorem ist um so wichtiger, als sich die  $\eta$ -

\*In Ann. XX habe ich nur den Fall  $l = m = \dots = \infty$  berücksichtigt, obgleich ich den allgemeinen Fall künde, der Fall beliebiger  $l, m, \dots$  ist dann von Poincaré in der Abtheilung an die Comptes Rendus vom 11. April 1882, in der er an meine Note anknüpft, hinzugefügt worden (C. R. t. 93, p. 1039). Unser persönliches Verhältniss hat sich damals so gestaltet: Poincaré hatte schon in den Comptes Rendus von Aug. 1881 (t. 93, p. 301) bemerkt, dass man beliebige algebraische Gebilde durch die automorphen Functionen des hyperbolischen Falles eindeutig darstellen kann, aber er gebraucht dazu aber die etwa vorgeschriebenen Verzweigungsphänomene allgemein zu reden eine grosse Zahl weiterer, erst aus seinem Ansatz der endstehender Verzweigungsphänomene. Meine oben genannte Note in Ann. 19 hatte ihm dann veranlasst, auch seinerseits über  $\eta$ -Functionen nachzudenken, durch welche man beliebig vorgegebene R. Flächen in der Art eindeutig automorph darstellen kann, dass keine anderen Verzweigungsphänomene auftreten, als die vorgegebenen, eventuell also alle Verzweigungsphänomene fehlen. Er war dabei gerade auch zum Theorem von Ann. XX gekommen, als ich ihm mit meiner Publication zuvorkam. (Briefliche Mittheilung von 1882, mündliche von 1883). So gern ich dies anführe, so hat ich nicht zugeben, dass Poincaré, wie es in Franzreich u. andern Ländern wohl geschieht, als alleiniger Entdecker des Theorems genannt wird! — ... sogar des Theorems von Ann. 19!

Function, von der es handelt, als unabhängig von der Zerschnei-  
dung erweist, die wir für die Riemann'sche Fl. wählen mögen:  
sie hängt nur von der R. Fl. als solcher u. von den auf ihr ge-  
gebenen Verzweigungspunkten, bez. den zugehörigen  $l, m, \dots$  ab.  
Nimmt man überhaupt keine Verzweigungspunkte an, so  
hat man ein  $\eta$  welches durch die R. Fl. selbst eindeutig be-  
stimmt ist!

Um die Beziehung dieses allgemeinen Satzes zu dem  
„hyperbolischen“ Theoreme, welches uns hier eigentlich beschäf-  
tigt, bez. zu den Figuren 6 u. 7 zu kennzeichnen, genügt es,  
letztere Figuren durch Spiegelung an irgend einem ihrer  
Begrenzungskreise zu verdoppeln u. dann die Beziehung zur  
 $x$ -Ebene ins Auge zu fassen. Wählen wir z. B. bei Fig. 6 den  
äusseren Begrenzungskreis als Spiegelkreis, so erhalten  
wir folgenden Bereich:

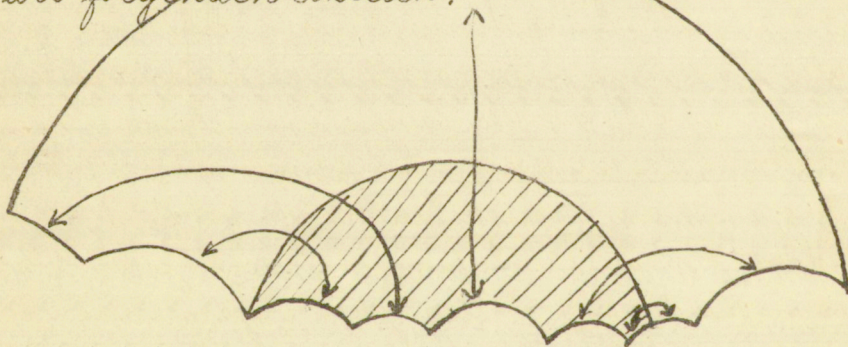


Fig. 8.

dessen Enden in der Art paarweise zusammengehören, wie  
es durch die Doppelpfeile angedeutet ist. Offenbar ist dies ein  
„reducirter, hyperbolischer“ Bereich, der ein Bild der „Gesamt-  
ebene“  $x$  vorstellt, die letztere längs des Stückes 1-2-3-4-5  
-6 der reellen Axe zerschritten gedacht:

Fig. 9.

Eben einen solchen Bereich soll man noch dem allgemeinen  
Theoreme allemal finden können, wenn man in der  $x$ -Ebene

irgend welche (nicht notwendig reelle) Verzweigungspkte 1, 2, 3, 4, 5, 6 annimmt u. diese durch einen Einschnitt verbindet. Die Besonderheit der Fig. (8) besteht nur darin, dass sie sich aus 2 zu einander symmetrischen Hälften zusammensetzt. In diesem Sinne können wir sagen:

Unser Theorem vom hyperbolischen Polygon ist derjenige Specialfall des allgemeinen Theorems, der sich für  $p=0$  im Falle der Symmetrie einstellt.

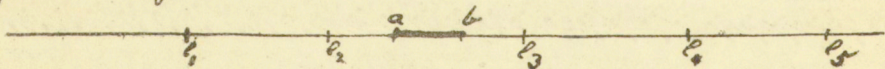
Bemerken wir wieder kurz, dass die reducirten hyperbolischen Bereiche, welche uns das allgemeine Theorem vor Augen stellt, sowie insbesondere die hyperbolischen Polygone unseres Specialfalles analytisch reproduzirt eine Ueberdeckung der  $\eta$ -Ebene ergeben, welche sich auf die positive Halbebene  $\eta$  beschränkt u. nirgendwo mehrfach ist. Indem wir  $\eta$  als unabhängige Variable einführen, entspringen also eindeutige automorphe Darstellungen unserer Riemann'schen Fl., bez. der Ebene  $x$ , welche nur in der positiven Halbebene  $x$  existiren. Ein ganz specieller Fall derselben wird durch die Dreiecksfunctionen gebildet, die wir vor Weibachden ausführlich in Betracht zogen. Offenbar wird man für die hier vorliegenden allgemeineren Functionen ganz ähnliche Entwicklungen verlangen können, wie wir sie damals für die Dreiecksfunctionen gaben; es ist dies nur erst zum Theil von Poincaré ausgeführt. —

Uebrigens bemerke ich, dass die beiden Sätze über automorphe Functionen, die ich nunmehr besprach, (die Sätze von Bd. 19 u. 20, oder das Kreisscheibentheorem u. das hyperbolische Theorem), als Specialfälle eines umfassenderen Theorems angesehen werden können, welches ich in Annalen 41 (Neue Beiträge zur Riemann'schen Functionentheorie, p. 206 ff) formulirt habe. Ich gehe hierauf an gegenwärtiger Stelle

nicht ein, weil ich im Augenblicke nichts Anderes bezwecke, als Ihnen eine vorläufige Vorstellung von der Art der hier in Betracht kommenden Sätze zu geben, u. dieses wird hinreichend durch die beiden Beispiele, die ich anführte (u. die in der That die einfachsten sind), erreicht sein.

### Nr. 3. Das Oscillationstheorem.

Ich habe das Oscillationstheorem ursprünglich (1881, An. 18: Ueber Körper, welche von confocalen Flächen zweiten Grades begrenzt sind) an die Hermite - Lamésche Gleichg. angeknüpft; in meiner Vorlesung vom Winter 1889-90 (Ueber Lamésche Functionen) behaupte ich dasselbe sodann auf allgemeine Lamésche Functionen, dieses Wort in dem damals entwickelten Sinne genommen, aus. Wir haben bei letzteren  $n$  singuläre Punkte, die alle als reell vorausgesetzt werden, u. bei jedem derselben die Exponenten differenz  $\frac{1}{2}$ . Daneben dann  $n-3$  accessorische Parameter. Während wir nun früher darauf ausgingen, zuzusehen, wie die Oscillationen der Curven  $y = P(x)$  von den Werten dieser Parameter abhängen, geht das "Oscillationstheorem" davon aus, umgekehrt gewisse Oscillationen der Curven zu verlangen u. hierdurch die accessorischen Parameter festzulegen. Die Curven  $y = P(x)$  bilden eine zweifach unendliche Schaar (wir haben ausführlicher geschrieben,  $y = c_1 P_1(x) + c_2 P_2(x)$ , wo  $P_1(x), P_2(x)$  irgend 2 Particulärlösungen der linearen Differentialgleichg.) Wenn wir also irgend ein Segment der  $x$ -Axe in's Auge fassen, z. B. ab



so können wir immer eine solche Curve  $y = P(x)$  aussuchen,



welche durch den einen Endpnt dieses Segmentes, z. B. durch den Pnt  $a$ , hindurchgeht. Das Oscillationstheorem in seiner ursprünglichen Fassung verlangt nun, dass dieselbe Curve auch durch den anderen Endpnt  $b$  gehen soll, nachdem sei von  $a$  bis  $b$  eine gewisse Anzahl von Halboscillationen ausgeführt hat. Und zwar verlangt dasselbe das hiermit bezeichnete Verhalten gleichmässig bei  $(n-3)$  irgendwie gelegenen (aber von einander getrennten, über keinen singulären Punkt hinweggreifenden) Intervallen der  $x$ -Axe. Das Theorem behauptet dann, dass durch die so bezeichnete Forderung die  $n-3$  accessorischen Parameter der Laméschen Gleichg. gerade eindeutig bestimmt sind. Wir geben dem Theorem mit Rücksicht auf eine Form, die unseren sonstigen, auf die  $\eta$ -Ebene bezüglichen Betrachtungen besser entspricht. Wenn die Curve  $y = P(x)$  von  $a$  bis  $b$  irgendwelche Zahl, sagen wir  $k$ , Halboscillationen ausführt, so wird das Kreisbogenstück, welches dem Segment  $ab$  der  $x$ -Axe in der  $\eta$ -Ebene entspricht, sich genau  $k$  mal überschlagen ( $k$  mal eine volle Kreisbogenperipherie umspannen). Das Oscillationstheorem besagt also, dass man die  $n-3$  accessorischen Parameter eindeutig festlegen kann, indem man von den Kreisbogenstücken, die  $n-3$  getrennten, über keinen singulären Pnt hinweggreifenden Segmenten der  $x$ -Axe entsprechen, je eine bestimmte Zahl genauer Selbstüberschlagungen verlangt. Indem wir das Theorem solcherweise aussprechen, bietet sich wie von selbst eine Verallgemeinerung (deren Richtigkeit zu prüfen bleibt): warum sollen wir von den genannten Kreisbogenstücken genaue Selbstüberschlagungen verlangen? Werden die  $n-3$  accessorischen Parameter nicht auch eindeutig festgelegt sein, wenn wir die Längen der Kreisbogenstücke, gemessen in

unserer Nichteuklidischen (projectiven) Maassbestimmung, in  
gewisser vorschreiben? Immer haften auch diese Verallge-  
 mainerung noch an der Betrachtung reeller Segmente,  
 bez. reeller Differentialgleichem. Wir werden für unser  
 Oscillationstheorem eine allgemeine functionentheore-  
 tische Bedeutung erst dann gewonnen haben, wenn es ge-  
 lingt, dasselbe auf complexe Bestimmungsstücke u. zuletzt  
 auch auf die Fälle  $p > 0$  auszubilden.

Ueberhaupt aber stellen wir es als die Aufgabe der  
 folgenden Vorlesungsstunden hin, nicht nur die bis jetzt  
 gemachten Angaben über die Theoreme Nr. 1, 2, 3 des Kap.  
 heren auszuführen, sondern diese Theoreme daneben zu  
 entwickeln u. zu verallgemeinern, so dass sie womöglich  
 in Wechselwirkung treten. In demselben Maasse, als uns  
 dies gelingt, können wir einer allgemeinen Beantwor-  
 dung des auf p. 30 aufgestellten Grundproblems näher.

---

GeometrischeAusführungen zum Kreisscheibentheorem und hyperboli-  
schen Theorem.

Abi. 27/91.

Indem wir jetzt dazu übergehen, zunächst die beiden Theoreme 1 u. 2 näher zu entwickeln, lassen wir die Verallgemeinerungen auf unsymmetrische Bereiche eines beliebigen  $p$ , die wir vor Pfingsten zur Sprache brachten, nunmehr bei Pette: das Kreisscheibepolygon als solches, u. das hyperbolische Polygon werden uns hinreichenden Stoff zu ferneren Betrachtungen liefern. Diese Betrachtungen kann man dann freilich immer auf die höheren Fälle ausdehnen, aber wir werden uns dabei nicht aufhalten, vielmehr die Ausführung der hier mit angedeuteten allgemeineren Betrachtungen späteren Semestern überlassen.

Wir handeln zunächst von den automorphen Figuren, welche aus dem Kreisscheibepolygon, bez. dem hyperbolischen Polygon bei unbeschränkter wiederholter Anwendung des Spiegelungsprocesses entstehen, dann von den automorphen Functionen, die sich an diese Figuren anschließen. Dabei wolle man das, was im vorigen Wintersemester über Dreiecksfunctionen gesagt wurde, gegenwärtig halten u. insbesondere auch die einschlägigen Kapitel des Buches über Modulfunctiven (wo die Darstellung viel ausführlicher angelegt ist) zum Vergleich heranziehen.

Mögen die Lanten der Kreisscheibe, bez. des hyperbolischen Polygons mit Ziffern 1, 2, 3 . . . benannt werden, also z. B. in den beiden hier gezeichneten Beispielen mit 1, 2, 3, 4, 5, 6:

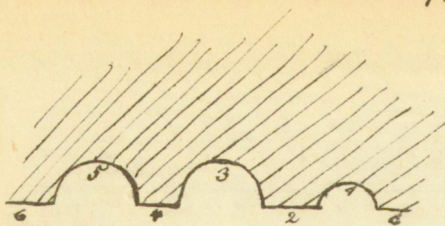


Fig. 1. a

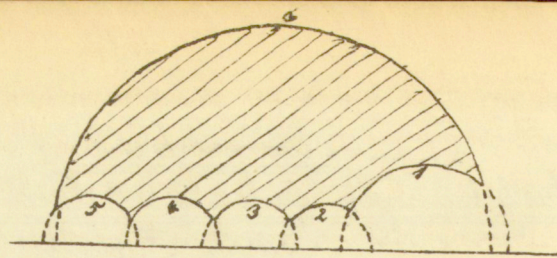


Fig. 1, b

(Ich habe dabei die Kreisscheibe so gewählt, was für die folgenden Zeichnungen bequem ist, dass sie sich ins Unendliche erstreckt). Wir haben dann beidemal 6 Spiegelungen

$$A_1, A_2, A_3, A_4, A_5, A_6$$

in Betracht zu ziehen, wobei natürlich im Falle der Kreisscheibe  $A_2 = A_4 = A_6$  ( $= A$ , wie wir kurzweg sagen wollen). Es handelt sich nun darum, die Gruppe der Operationen zu betrachten, welche aus diesen  $A_i$  als erzeugenden Operationen entspringt, u. die einzelnen Operationen der Gruppe durch die Fig., welche aus dem vorgegebenen Polygon durch die wiederholten Spiegelungen entsteht, zum geometrischen Verständnis zu bringen. Wir wollen dabei, wie wir es früher thaten, alle die Polygone, welche aus dem anfänglichen durch eine gerade Anzahl von Spiegelungen entstehen, schraffieren, die anderen freilassen.

Es ist jedenfalls ausserordentlich leicht, alle möglichen Operationen der in Betracht kommenden Gruppen aufzuzählen. Da für ein beliebiges  $A_i$

$$A_i^2 = 1,$$

so brauchen wir aus den  $A_1, \dots, A_6$  nur alle möglichen Produkte zu bilden, bei denen niemals zwei gleiche Factoren unmittelbar hinter einander stehen. Aber wir können im Falle der Kreisscheibe auch erreichen, dass wir keine der in Betracht kommenden Operationen mehrfach aufzählen.

Man hat zu dem Zwecke nur zu beachten, dass bei ihr  $A$  mit  $A_1, A_2, A_3$  vertauschbar ist.

$$AA_1 = A_1A, AA_2 = A_2A, AA_3 = A_3A,$$

während zwischen den  $A_1, A_2, A_3$  selbst keinerlei  $S$ -den.  $\Sigma$ -Verhältnis besteht. Wir werden daher alle möglichen Operationen der Gruppe u. jede nur einmal erhalten, wenn wir erstens alle Producte von Factoren  $A_1, A_2, A_3$  bilden, in denen keine 2 auf einanderfolgende Factoren gleich sind:  $\Pi(A_1, A_2, A_3)$  u. dann eben diese Producte noch einmal hinzusetzen, nachdem wir den Factor  $A$  vorausgestellt haben:  $A \Pi(A_1, A_2, A_3)$ .

Im hyperbolischen Falle ist die Sache etwas complicirter u. soll hier der Kürze halber übergangen werden.

Unter den Operationen der Gruppe werden wir jetzt solche der 1. Art unterscheiden, die aus einer geraden Anzahl der  $A_i$  erzeugt sind, — wir nennen sie  $S$  — u. solche der 2. Art  $\Sigma$ , die aus einer ungeraden Anzahl der  $A$  erzeugt sind. Die  $S$  werden analytisch durch lineare Substitutionen schlechtweg vorgestellt:

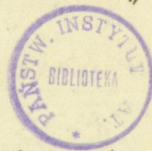
$$\eta' = \frac{\alpha\eta + \beta}{\gamma\eta + \delta}$$

die  $\Sigma$  durch Substitutionen der anderen Art:

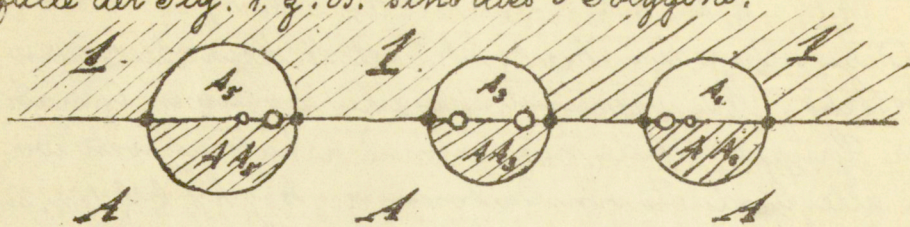
$$\eta' = \frac{\alpha\eta + \beta}{\gamma\eta + \delta} \quad (\text{Kreisverwandtschaft mit Umlegung der Winkel}).$$

Die  $S$  bilden für sich eine Gruppe, u. diese Gruppe der  $S$  ist es, über die wir jetzt einige Angaben machen wollen. In der Fig., die wir uns aus dem Polygone 1 construirt denken, wird dieselbe durch die Gesamtheit der schraffirten Polygone vorgestellt.

Mögen wir unser anfängliches Polygon zunächst mit einem vollen Kranze nicht schraffirter Polygone umgeben. Die einfachsten  $S$  sind dann diejeni-



gen, welche solche schraffierte Polygone liefern, die sich an diesen Kreis unmittelbar anlehnen. Im Kreiseiben, fälle der Fig. 1, z. B. sind dies 3 Polygone:



(Fig. 2)

nämlich

$$S_1 = A A_1, \quad S_2 = A A_2, \quad S_3 = A A_3$$

(wir benennen die Polygone immer durch diejenigen Operationen, durch welche sie aus dem Anfangspolygon 1 hervor gehen). Die so gewonnenen  $S$  sind dann die erzeugenden Operationen für die ganze Gruppe der  $S$ .

Uebrigens ist es im Falle der Fig. 2 sehr einfach, sich die Bedeutung der  $S_1, S_2, S_3$  klar zu machen. Jedenfalls ist

$$S_i^2 = A A_i A A_i = A^2 A_i^2 = 1.$$

die  $S_1, S_2, S_3$  sind also elliptische Substitutionen von der Periode Zwei. Zugleich erkennt man in den beiden Punkten, in welchen der Kreis 1 von der  $X$ -Achse getroffen wird (in Fig. 2 sind dieselben besonders markirt) die beiden Fixpunkte von  $S_1$ ; denn diese beiden Punkte werden weder bei  $A$  noch bei  $A_1$  geändert. Wir haben uns  $S_1$  als eine Drehung um  $180^\circ$  Grad um diese beiden Punkte vorzustellen. Genau so haben wir die beiden Fixpunkte von  $S_2, S_3$  auf dem Kreise 2, bez. 3. Aber es ist ersichtlich: wenn wir die Fig. (2) in die kleinen Öffnungen hinein, die bei ihr noch vorhanden sind, durch wiederholte Spiegelung fortsetzen, so werden die beiden Punkte in denen irgend einer der kleinen Kreise von der  $X$ -Achse begrenzt werden,

immer wieder die Fixpunkte einer elliptischen Substitution von der Periode 2 sein. Damit sind denn aber auch sämtliche elliptische Substitutionen, welche in der Gruppe der  $S$  vorkommen, aufgezählt. Denn die Fixpunkte irgend welcher elliptischer Substitution können immer nur da liegen, wo mehrere schraffierte (oder nicht schraffierte) Polygone zusammensetzen u. es gibt keine anderen Stellen dieser Art, als die Schnittpunkte der  $X$ . Axe mit unsern kleinen Kreisen. Eben darum kann es unter den  $S$  auch keine parabolischen Substitutionen geben: denn im Fixpunkte der parabolischen Substitution müssten  $\infty$  viele schraffierte (oder nicht schraffierte) Polygone zusammensetzen. Die sämtlichen übrigen  $S$  können also nur hyperbolische Substitutionen sein u. ihre Fixpunkte müssen unter den  $\infty$  vielen Gränzpunkten zu suchen sein, denen die immer zahlreicher u. immer kleiner werdenden Öffnungen unserer Fig. zustreben.

Ich habe diese Erläuterungen zunächst an die Kreisreihe angeknüpft, wo sie sich am einfachsten gestalten. Beim hyperbolischen Polygon werden wir als die einfachsten  $S$  diese haben:

$$A_i, A_k.$$

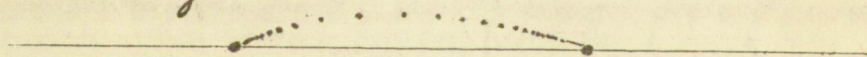
Unter ihnen sind elliptisch diejenigen, deren Indices  $i, k$  consecutive Zahlen vorstellen, also

$$A_i, A_{i+1}, \text{ und } A_i, A_{i-1};$$

derjenige Eckpunkt des Polygons, in welchem die Handen  $i, i+1$  bez.  $i, i-1$  zusammensetzen, ist ein zugehöriger Fixpunkt; der andere Fixpunkt liegt symmetrisch zu diesem in Bezug auf die  $X$ . Axe. Ist  $\frac{\pi}{2}$  der Winkel, unter welchem die beiden Handen  $i, i+1$  zusammensetzen, so ist die Periode von  $S = A_i, A_{i+1}$  gleich  $l$ . Feder

Eckpunkte des hyperbolischen Polygons ist also Fixpunkte für eine l. gliedrige Gruppe elliptischer Substitutionen:  $1, S, S^2, \dots, S^{l-1}$ . Das Analoge gilt wieder für die Eckpunkte aller anderen Polygone, welche aus dem Ausgangspolygon vermöge unserer Spiegelungen entstehen. Damit sind die sämtlichen elliptischen Substitutionen unserer Gruppe aufgezählt. Parabolische Substitutionen können nur im Grenzfall vorhanden sein, wenn das anfängliche Polygon, u. also alle aus ihm hervorgehenden Polygone, sich mit einem Winkel  $= 0$  (mit einem sog. Gipfel) an die  $X$ . Achse heranzieht. Alle anderen  $S$  sind hyperbolisch.

Mögen wir nun insbesondere die Fixpunkte der hyperbolischen  $S$  betrachten. Wenn wir eine beliebige hyperbolische Substitution positiv oder negativ genommen immer auf's Neue wiederholen, so rückt ein irgendwie in der  $\eta$ . Ebene angenommener Punkt auf den einen oder anderen der beiden Fixpunkte immer näher zu:



(Fig. 3)

Setzt man der hyperbolischen Substitution  $S$  die beiden Fixpunkte der gleichfalls hyperbolischen Substitution  $S'$ . Wir erhalten 2 neue Punkte, welche ihrerseits ebenfalls Fixpunkte einer hyperbolischen Substitution sein werden, nämlich der Substitution  $S^{-1} S'$  ( $S$  von links nach rechts zu lesen). Derselbe Schluss bleibt bestehen, wenn wir die Fixpunkte von  $S'$  der Substitution  $S$  beliebig oft unterwerfen. Daher der Satz:



Die Fixpunkte unserer hyperbolischen Substitutionen haben jedenfalls die Eigenschaft, sich in der Nähe eines beliebigen derselben unbegrenzt zu häufen.

Wollen wir tiefer in das Wesen des solcherweise endlichen Punctaggregates eindringen, so müssen wir an die Begriffsbestimmungen Anschluss nehmen, welche Georg Cantor in seinen Aufsätzen über endliche lineare Punctmännigfaltigkeiten in den Bänden 15, 17, 20, 21, 22 der Math. Annalen (1878-1883) entwickelt hat (vergl. auch dessen zusammenfassende Schrift: Grundlagen einer allgemeinen Mannigfaltigkeitslehre, Leipzig 1883, sowie die Uebersetzungen in Bd. II der Arb. Math.). Cantor nennt eine Punctmenge abzählbar, wenn man ihre Punkte einzeln den Zahlen 1, 2, 3, ... der natürlichen Zahlenreihe zuweisen kann, u. es ist eines seiner wesentlichsten Resultate, dass zwar gewisse Punctmengen, von denen man es kaum erwarten sollte, abzählbar sind (z. B. die Gesamtheit der rationalen Punkte, wie die Gesamtheit der algebraischen Punkte), dass es aber ebensowohl nicht abzählbare Punctmengen gibt (z. B. die Gesamtheit aller irrationalen Punkte). Unsere hyperbolischen Fixpunkte sind im Kreisscheibenfalle wie im hyperbolischen Falle abzählbar. Denn man kann überhaupt die Gesamtheit der  $S$  in eine abzählbare Reihenfolge bringen, indem man etwa beginnt (wie wir es eben thaten), zuerst diejenigen schraffirten Polygone aufzuzählen, welche das Ausgangspolygon am engsten umgeben, dann diejenigen, welche sich um die somit aufgezählten am nächsten herumlegen, etc, etc.

Cantor nennt eine Punctmenge in seinem 1. §.

mente der  $X$ . Axe überall dicht, wenn man in dem Segmen-  
 te kein endliches Intervall finden kann, welches nicht irgend  
 einen Punkt der Menge enthielte. Die hyperbolischen Fixpunkte  
des Kreisscheibenfalles sind in keinem Theile der  $X$ . Axe über-  
all dicht. Denn die sämtlichen Fixpunkte sind, wie wir bemerk-  
 ten, alle innerhalb der „Öffnungen“ zu suchen, welche die Po-  
 lygonfig. nach Ausübung einer beliebigen Anzahl von Spie-  
 gelungen noch zulässt. Nun werden diese Öffnungen  
 zwar immer zahlreicher, je weiter man mit den Spiege-  
 lungen fortschreitet, aber zugleich wird die Summe ih-  
 rer Durchmesser immer geringer u. sinkt schliesslich auf  
 Null herab. Die hyperbolischen Fixpunkte des hyperbolischen  
Falles dagegen überdecken die  $X$ . Axe überall dicht. Wir  
 sehen dies z. B. schon bei den Modellfunctionen. Eben-  
 darum ist die  $X$ . Axe für die bez. automorphen Functio-  
 nen eine „natürliche Gränze“.

Condor nennt eine unendliche Punktmenge perfect, wenn  
 sie alle ihre Gränzpunkte enthält. Nun haben wir zwar  
 eben gesehen, dass jedes einzelne unserer hyperbolischen  
 Fixpunkte Gränzpunkt unendlich vieler anderen ist, aber eben  
 so leicht ist es, Gränzpunkte unserer  $\infty$  vielen Fixpunkte auf-  
 zusuchen, welche selbst keine Fixpunkte sind. Die Mannig-  
faldigkeit der hyperbolischen Fixpunkte ist daher weder im  
Kreisscheibenfalle noch im hyperbolischen Falle eine per-  
fecte Mannigfaltigkeit. —

Ich verzichte darauf, diese Angaben über unsere auto-  
 morphen Figuren noch weiter auszuführen, u. knüpfe  
 daran nur noch 2 Bemerkungen:

1) Bei der Unmöglichkeit, unsere unendlichen Pkttaggre-  
 gate, oder überhaupt die unendliche Zahl unserer Polygone  
 anschauungsmässig zu überblicken, tritt uns der Unterschie-

entgegen zwischen der naiven Geometrie, welche nur mit der Anschauung operirt u. die man unwillkürlich bei den Anwendungen der Mathematik zu Grunde legt, u. der dialectisch zugespitzten begrifflichen Geometrie, auf welche sich die Sätze der reinen Mathematik beziehen. Wenn ich bei meinen Vorlesungen von der geometrischen Anschauung so ausgiebigen Gebrauch mache, so geschieht es nicht, weil ich meine, dass sie die strengen Betrachtungen anderer Mathematiker ersetzt, sondern weil ich der Ansicht bin, dass sie den Zugang zu den strengen Betrachtungen erleichtert.

2) Die sogenannten Paradoxien der neueren Mathematik (unendliche Pktgruppen, stetige Functionen ohne Differentialquotienten etc.) erscheinen in der That wohl nur deshalb dem Anfänger so schwierig oder auch so nutzlos, weil man sie gewöhnlich an rein analytische Formeln anknüpft, die eigens zu dem Zwecke construirt zu sein scheinen. Dem gegenüber ist das Auftreten solcher Pktgruppen u. weiterhin auch von Curven etc. bei unseren automorphen Figuren besonders lehrreich. Denn diese Figuren entstehen aus ganz elementaren Polygonen durch Wiederholung des elementaren Processes der Spiegelung. Man erkennt, dass man bei ihnen die Betrachtung unendlicher Pktgruppen gar nicht vermeiden kann, hat aber zugleich alle Mittel vor Augen, um die Eigenschaften dieser Pktgruppen zur Discussion zu bringen. Die Pktgruppen liegen dabei über die Anschauung hinaus, aber die Anschauung giebt die beste Anleitung, um sie zu verstehen. Indem ich also die Beschränktheit der Anschauung durchaus anerkenne, breche ich auf

das Lebhafteste für ihre Benutzung auch bei den Fragen der hier vorliegenden Art ein.

Wir fahren heute fort, zwecks einer ersten So. 30. M.  
1891.  
Übersicht über den Gegenstand gewisse wesentliche Punkte aus der Theorie der automorphen Functionen zu besprechen.

Wir berühren zuerst eine zahlentheoretische Frage: Welches ist, bei unseren Gruppen  $\eta' = \frac{\alpha_i \eta + \beta_i}{\gamma_i \eta + \delta_i}$  das zahlentheoretische Gesetz der Coefficienten? Es ist natürlich nicht schwer, im einzelnen Falle die erzeugenden Substitutionen wirklich hinzuschreiben u. es dem Leser zu überlassen sich die  $\alpha_i, \beta_i, \gamma_i, \delta_i$  daraus zusammzusetzen (vergl. Kausenberger in den Math. Ann. 20, 21, 25). Aber man möchte mehr. Man möchte die  $\alpha_i, \beta_i, \dots$ , welche bei einer Gruppe auftreten, explizit zahlentheoretisch charakterisieren, so wie wir das im Falle der Modulgruppe können, wo die  $\alpha_i, \beta_i, \dots$  einfach durch die Gesamtheit der ganzen Zahlen vorgestellt werden, deren Determinante = 1 ist. Aber mit den heutigen Mitteln der Zahlentheorie erscheint es unmöglich, das hiermit gestellte Problem allgemein zu erledigen; wir werden es als eine wesentliche Aufgabe ansehen dürfen, die Zahlentheorie in dieser Hinsicht auszubilden. Wir müssen uns einstweilen begnügen die Sache umzukehren, u. uns zu fragen: Lehrt uns die heutige Zahlentheorie vermöge der in ihr fertig vorliegenden Entwicklungen nicht wenigstens einige Gruppen mit übersichtlich gebildeten Coefficienten  $\alpha_i, \beta_i, \gamma_i, \delta_i$  kennen? In dieser Hinsicht hat Poincaré einen besonders schönen Ansatz gegeben (L'arithmétique et les fonctions fuchsiennes, Journal de Math. sér 4, t. 3, 1887), der neuer-

dings von Fricke in nähere Durchführung gebracht ist (Math. Ann. 38, I, 1891, sowie demnächst in 39, I)\*. Sei

$$F = ax^2 + 2bxy + \dots + fz^2$$

eine indefinite ternäre quadratische Form, die also, gleich 0 gesetzt, einen eintheiligen Kegelschnitt der Ebene vorstellt. Man lernt in der Zahlentheorie alle ganzzahligen ternären Substitutionen der  $xyz$  kennen, welche  $F$  in sich überführen. Aber für den Parameter  $\eta$ , durch den man die Pkte des Kegelschnittes  $F=0$  eindeutig darstellen kann, gewinnen diese ternären Substitutionen von selbst die Bedeutung linear gebrochener Transformationen  $\eta' = \frac{\alpha_i \eta + \beta_i}{\gamma_i \eta + \delta_i}$ , die natürlich eine Gruppe bilden. Da kennen wir also in der That eine solche Gruppe in zahlentheoretischer Form, u. es bleibt uns unbenommen, nun hinterher (wie dies Hr. Fricke in Beispielen ausführt) deren Fundament. polygon u. sonstige geometrische Eigenthümlichkeiten zu finden.

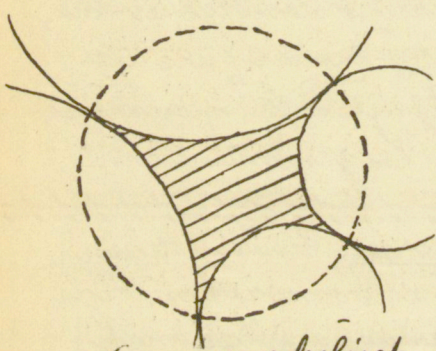
Wir schreiben zu neuen geometrischen Entwicklungen. Die Verallgemeinerung der automorphen Figuren, die wir aus unseren Kreisbogen polygonen durch wiederholte Spiegelungen ableiden (man könnte sie regulär-symmetrische Figuren nennen) auf nur reguläre, sowie auf höhere  $p$ , haben wir vor Pfingsten kurz gestreift. Wir werden jetzt 2 andere Verallgemeinerungen geben, bei denen wir an der Erzeugung der Fig. durch Spiegelung von einem Kreisbogen polygon festhalten. Es sind dies:

a) Die Variation der hyperbolischen Polygone (vergl.

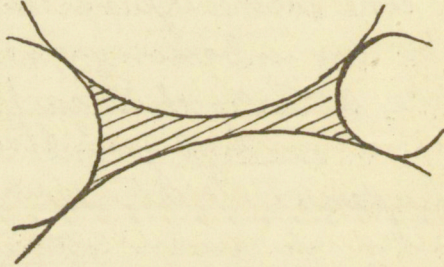
\*) vergl. auch eine Arbeit von Stouff in den Annales de Toulouse 1891: Sur certains groupes fuchsien formés avec les racines d'équations binômes.

GABINET MATEMATYCZNY  
Towarzystwa Naukowego Warszawskiego

meinen Brief an Poincaré, von letzterem in den Comp. des Rendus vom 27. Juni 1881 zum Theil reproducirt) — Man variire ein hyperbolisches Polygon unter Festhaltung seiner Winkelgrößen so, dass seine Begrenzungskreise nicht mehr auf einem Hauptkreis senkrecht stehen. So lange hierbei keine neuen Schnittpunkte der Begrenzungskreise auftreten, werden die  $\infty$  vielen Polygone, die man aus dem 1. durch wiederholte Spiegelung ableitet, sich auch noch, ohne irgendwo zu collidiren, glatt neben einander legen u. also in ihrer Gesamtheit eine automorphe Fig. vorstellen. So sind beispiels. die beiden Vierecke:



hyperbolisch; die 4  
(Ecken auf einem Hauptkreis)



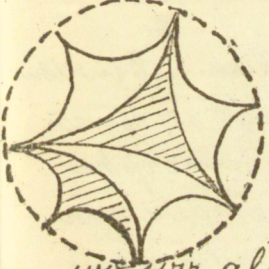
(nicht hyperbolisch; die 4  
Ecken liegen sicher nicht  
auf Kreis.)

zur Erzeugung einer automorphen Fig. gleich brauchbar. Aber welches wird im Falle des variirten Polygons die Gränzcurve sein? Wäre sie analytisch, so könnte man in Anbetracht der  $\infty$  vielen linearen Transformationen, durch welche sie in sich übergeht, leicht beweisen, dass sie ein Kreis sein muss. Aber ein Kreis kann sie nicht sein; deßhalb ist sie eine nicht-analytische Linie (cf. Poincaré, Acta math. III, p. 37ff.) Es liegt hier eines der einfachsten Beispiele vor, dass eine rein geometri.

sche Fragestellung zu einer nicht analytischen Curve hinführen kann. Wir merken uns:

Die automorphen Functionen mit Gränzkreis sind nur ein specieller Fall der automorphen Functionen mit Gränzkurve. Die letztere ist von den hyperbolischen Fixpunkten der Gruppe, ebenso wie von den parabolischen (sofern es deren gibt) überall dicht überdeckt.

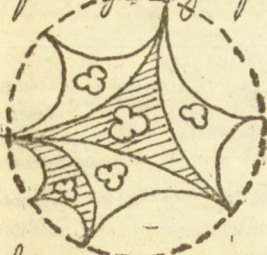
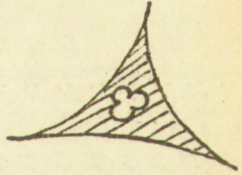
b) Der Process der Freinanderschiebung (vergl. meinen Aufsatz in Math. Annalen Bd. 21) (1882). — Man denke sich in futherer Weise eine automorphe Fig. entworfen, in dem man z. B. von einem Dreieck ausgeht, dessen 3 Winkel = 0 sind:



Jetzt aber versetze man das Ausgangsdreieck mit einem inneren Rande, der selbst ein solches Polygon vorstellt, welches, nach innen hin vervielfältigt, eine automorphe Fig. liefert, — also etwa folgendermassen,

wo wir als diese neue Begränzung abermals ein Dreieck mit verschwindenden Winkeln wählen:

Nun können wir diese Fig. gleichzeitig an ihrem äusseren u. inneren Rande vervielfältigen, — u. da jedes abgeleitete Polygon selbst wieder eine innere Oeffnung trägt, immer auch da hinein die Vervielfältigung fortsetzen:



Wir bekommen in der Ebene eine automorphe Fig., welche im Falle des Beispiels augenscheinlich von  $\infty$  vielen Gränzkreisen begränzt ist. Hätten wir statt eines hyperbolischen Polygons ein „variirtes“ Polygon genommen, so würden wir statt der  $\infty$  vielen Gränzkreise

$\infty$  viele nicht analytische Gränzcurven bekommen. Daher:  
Die automorphen Figuren mit Gränzcurve sind speciell  
der Fall der automorphen Figuren mit  $\infty$  vielen Gränzcur-  
ven.

Kann man insbesondere die „ineinandergeschobenen“  
 Ränder des Ausgangspolygons als Vollkreise, so werden  
 sich die  $\infty$  vielen Gränzcurven auf  $\infty$  viele Gränzpunkte  
 zusammenziehen u. wir kommen zu der Riemann-Schott,  
Kry'schen Fig. zurück, die wir vor Pfingsten bespra-  
 chen.

Die beiden Prozesse a, b wollen natürlich neben den  
 früheren Verallgemeinerungen berücksichtigt sein, wenn  
 wir uns die Aufgabe stellen, sämtliche automorphe  
 Figuren (sämtliche regulär-symmetrische oder nur  
 reguläre Einteilungen der Kugelfläche, oder von  
 Stücken der Kugelfläche) aufzuzählen. Dieses allge-  
 meine Problem hat inzwischen durch Poincaré eine  
 neue Formulierung gefunden, welche die Uebersicht wesent-  
 lich erleichtert. Poincaré stellt nämlich neben die  
Kugelhtheilungen die zugehörigen Raumeinteilungen  
(hervorgebracht von den Ebenen, welche die Kugel in deren  
Begränzungskreisen der äquivalenten Bereiche schneiden.)

<sup>\*)</sup> Poincaré operirt selbst allerdings nicht mit der  $x + iy$ -Kugel u. dem  
 im Text genannten Ebenen, sondern mit den  $x + iy$  Ebene u. den Halbkugeln,  
 welche aus dieser die Begränzungskreise der Bereiche ausschneiden (Comptes Rend.,  
 dus vom 11. Juli 1881; Acta Math. III, 1882). Es ist dies aber, wie in der nichtdeutli-  
 chen Vorlesung ausgeführt wurde, nur eine andere Ausdrucksweise.  
 Vergl. hierzu Dyck in den sächs. Berichten vom Dec. 83 [Ueber  
 regulär-symmetrische Raumeinteilungen.].



Diese Raumeintheilungen sind im Sinne der zur Kugel gehörigen Nicht-Euklidischen Geometrie selber regulär, bez. regulär-symmetrisch. Die Aufgabe wird sein, alle solche regulären etc. Raumeintheilungen aufzuzählen.

Die Raumeintheilung, welche zu einer Kugelhtheilung gehört, macht man sich am besten zuerst am hyperbolischen Falle klar: der Raum wird da in äquivalente Pyramiden mit gemeinsamer Spitze zerlegt (diese Spitze ist der Pol des bei der hyperbolischen Theilung aufzudrehenden Gränzkreises). Hierbei erkennt man auch sofort, wann umgekehrt eine Raumeintheilung zu einer Kugelhtheilung Anlass gibt. Es ist dies offenbar dann u. nur dann möglich, wenn sich das Ausgangspolyeder der Raumeintheilung mit einem endlichen Gebiete durch die Kugelfläche hindurchzieht. In dieser hinzuzutredenden Bedingung liegt die besondere Schwierigkeit des Problems der Kugelhtheilung. Wollen wir nur Raumeintheilung haben, können wir viel allgemeinere Sätze aussprechen. Beispielsweise werden wir immer eine brauchbare Raumeintheilung bekommen, wenn wir von einem ebenen Polyeder ausgehen, dessen sämtliche Seitenflächen die Kugel treffen, u. die mit einander Winkel einschliessen, die, soweit sie reell sind, aliquote Theile von  $\pi$  sind. (Die Idee ist, dass wir dieses Polyeder immer wiederholt an seinen Seitenflächen spiegeln).

Uebrigens könnte man dieses Problem der Raumeintheilung als das Problem der Nicht-Euklidischen Krystallographie bezeichnen (vergl. was die gew. Krystallographie angeht, die neueren Arbeiten von Schönflies in den Math. Annalen u. anderwärts). Diese Nicht-Euklidische Krystallographie ist allerdings viel complicirter, als die gewöhnliche,

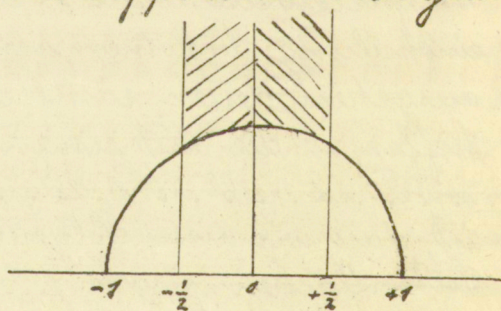
insoweit die 6. fach unendliche Bewegungsgruppe des Euklidischen Raumes eine 3. fach unendliche ausgezeichnete Untergruppe, die Gruppe der  $\infty^3$  Translationen, enthält. Mit dieser wird man beginnen, um alle automorphen Raumtheilungen zu construiren, u. dater erhält man die Fundamentallräume eines beliebigen Krystallsystems, indem man den Raum zunächst einmal in lauter congruente Parallelepipede zerlegt, u. es dann unternimmt, das einzelne Parallelepipeden wieder in kleinere äquivalente Bereiche zu spalten. —

Von den so erhaltenen Raumtheilungen sind unmittelbar functionentheoretisch brauchbar natürlich nur diejenigen, welche von einer zugehörigen Kugeltheilung begleitet sind. Aber kann man darum die anderen Raumtheilungen nicht vielleicht für allgemeinere Zwecke der Analysis, bez. Functionentheorie benutzen? Dies ist in der That der Fall, wie ich durch 2 Bemerkungen belegen will:

1/ Man erinnere sich, dass das Doppeldreieck der gewöhnlichen Modultheilung:  
(d. h. der Raum, der durch folgende Ungleichungen festgelegt ist:

$$-\frac{1}{2} \leq x \leq +\frac{1}{2}, \quad x^2 + y^2 \leq 1)$$

Fundamentallbereich der Substitutionsgruppe



is, deren Coefficienten  $\alpha, \beta, \gamma, \delta$  als reelle ganze Zahlen definiert sind. Bianchi hat neuerdings gefunden, dass ein ganz entsprechendes Raumpolyeder als Fundamentallbereich derjenigen Gruppe:

$$\eta' = \frac{\alpha\eta + \beta}{\gamma\eta + \delta}, \quad \alpha\delta - \beta\gamma = 1$$

angesehen werden kann, deren  $\alpha, \beta, \gamma, \delta$  complexe ganze Zahlen (von der Form  $m + ni$ ) sind. {Vergl. Math. Annalen 38, III, 1891}. Indem wir  $\eta$  in der  $x + iy$ . Ebene deuten, handelt es sich einfach um das Polyeder:

$$0 \leq x \leq +\frac{1}{2}, \quad -\frac{1}{2} \leq y \leq +\frac{1}{2}, \quad x^2 + y^2 + z^2 \geq 1.$$

Die Raumtheilung, welche sich an dieses Polyeder anschliesst, ist dann in demselben Sinne z. B. für die Theorie der binären quadratischen Formen mit complexen ganzen Zahlen als Coefficienten brauchbar, wie dies die gew. Modultheilung der Ebene für die gewöhnlichen reellen, ganzzahligen binären quadratischen Formen ist.

2) Sei  $\eta' = \frac{\alpha_i\eta + \beta_i}{\gamma_i\eta + \delta_i}$  irgend eine Gruppe, welche zwar zu einer Raumtheilung aber nicht zu einer Kugelh. Theilung führt. So betrachte ich 2 cogrediente complexen Veränderliche  $\eta, \zeta$ , d. h. 2 Veränderliche, welche simultan immer dieselbe Substitution

$$\eta' = \frac{\alpha_i\eta + \beta_i}{\gamma_i\eta + \delta_i}, \quad \zeta' = \frac{\alpha_i\zeta + \beta_i}{\gamma_i\zeta + \delta_i}$$

erfahren sollen. Ich sage, dass vermöge dieser Substitutionen der vierfach ausgedehnte Raum der  $\eta, \zeta$  in äquivalente Bereiche von endlicher Ausdehnung zerlegt wird u. dass also die Möglichkeit vorliegt, Functionen der 2 Veränderlichen  $\eta, \zeta$  zu bilden,  $f(\eta, \zeta)$ , welche gegenüber den simultanen Transformationen der  $\eta, \zeta$  automorph sind. Man deute nämlich  $\eta$  und  $\zeta$  durch 2 Pkte unserer Kugelfläche. Der in Rede stehende vierfach ausgedehnte Raum wird dann durch die  $\infty$  Raumgeraden vorgestellt, welche die Kugel in allen möglichen Punktepaaren  $\eta, \zeta$  treffen. Nun wird aber doch vermöge unserer

Gruppe der dreifach ausgedehnten Raum bereits in äqui-  
valente Bereiche von endlicher Ausdehnung zerlegt. Es  
scheint es selbstverständlich, dass das Gleiche für den vier-  
fach ausgedehnten Linienraum gilt.

Es scheint mir nützlich, die Stellung der von Mi. 3. Juni  
uns betrachteten Substitutionsgruppen innerhalb 91.  
des Gesamtgebietes der Gruppentheorie kurz zu  
charakterisieren.

Als eine Transformationsgruppe überhaupt werden  
wir jedes Aggregat von Transformationen

$$z' = f_i(z)$$

bezeichnen, so beschaffen, dass

$$f_i f_s = f_u.$$

Unter ihnen ziehen wir aber nur diejenigen näher in Be-  
tracht, welche zu jeder Operation  $f_i$  auch die inverse enthal-  
ten:

$$z' = f_i^{-1}(z).$$

(Es ist dies, sobald man Gruppen mit unendlich vielen  
Operationen betrachtet, eine wirkliche Einschränkung des  
Gruppenbegriffs).

Wir unterscheiden nun vor allen Dingen continuier-  
liche u. discontinuierliche Transformationsgruppen. Die  
ersteren sind diejenigen, deren  $f_i$  ein Continuum bilden  
(vermöge der in ihnen enthaltenen, continuierlich ver-  
änderlichen Parameter); sie bilden den Gegenstand  
der Lie'schen Untersuchungen. Unsere functionenthe-  
oretischen Betrachtungen beziehen sich umgekehrt nur  
auf discontinuierliche Gruppen. Natürlich kann man auch  
Gruppen von gemischtem Charakter aufstellen. Betrach-  
ten wir z. B. die Gesamtheit der linearen Transfor-

mationen erster u. zweiter Art:

$$I. \eta' = \frac{\alpha\eta + \beta}{\gamma\eta + \delta}, \quad II. \eta' = \frac{\alpha\bar{\eta} + \beta}{\gamma\bar{\eta} + \delta},$$

so haben wir in I allein eine kontinuierliche Gruppe, in I+II eine gemischte Gruppe:

Eben dieses Beispiel gibt uns Anlaß, einen Pkt. zur Sprache zu bringen, der für die Theorie der kontinuierlichen Gruppen wesentlich scheint u. wohl noch nicht hinreichend bearbeitet ist. Die Formel I enthält in den Verhältnissen der  $\alpha : \beta : \gamma : \delta$  drei complexe Constante, d. h., wenn wir reell u. imaginär trennen, sechs reelle Constanten. Stellen wir nun das Problem, alle kontinuierlichen Untergruppen aufzuzählen, welche in I enthalten sind, so wird es einen Unterschied machen, ob wir die genannten Constanten als untrennbare complexe Grössen oder vielmehr ihre reellen u. imaginären Bestandtheile als selbständige Parameter ansehen wollen. Ersteres ist der Standpkt von Lie, der z. B. den Satz gibt:

Es existiren innerhalb I vor 3 Arten kontinuierlicher Untergruppen, nämlich eine zweigliedrige Gruppe, der man die Gestalt geben kann:

$$\eta' = \alpha\eta + \beta,$$

u. 2 Arten singliedriger Untergruppen, die bez. folgende kanonische Form haben:

$$\eta' = \alpha\eta, \quad \eta' = \eta + \beta.$$

Die andere Auffassung liegt uns näher. Wir sind gewohnt, die Substitutionen I als die  $\infty^6$  Bewegungen des Nicht-euklidischen Raumes zu deuten u. innerhalb dieser Bewegungen insbesondere diejenigen ins Auge zu fassen, welche irgend einen Raumpkt festlassen, — mag nun der letztere außerhalb der Kugel, auf der Kugel, innerhalb der Kugel liegen. Analytisch werden diese Gruppen bekanntlich dar-

gestellt:

1) durch  $\eta' = \frac{a\eta + b}{c\eta + d}$ , wo die  $a, b, c, d$  reell,

2) durch  $\eta' = e^{i\varphi} \eta + b' + i b''$ , wo  $\varphi, b', b''$  reell.

3) durch  $\eta' = \frac{(a+id)\eta + (b+ic)}{(-b+ic)\eta + (a-id)}$ , wo die  $a, b, c, d$  reell;

sie sind also in der That analytisch definiert, indem man die reellen u. imaginären Bestandteile der  $\alpha, \beta, \gamma, \delta$  gesonderten Bedingungen unterwirft. — Es muß möglich sein, die sämtlichen Stücke der Lie'schen Theorie von hieraus auszuarbeiten u. zu erweitern.

Was nun die allgemeinste discontinuirliche Gruppe angeht, die in I+II enthalten ist, so werden wir diese einfach erhalten, wenn wir irgendwelche Substitutionen erster oder zweiter Art:

$$S_1, S_2, \dots$$

herausgreifen u. beliebig wiederholen, bez. combinieren. Es wird für unsere Zwecke ausreichen, uns die Zahl dieser erzeugenden Operationen als endlich vorzustellen. Daß wird die Zahl der erzeugten Operationen, auch wenn sie unendlich sein sollte, doch immer abzählbar sein.

Die erste Einteilung dieser discontinuirlichen Gruppen (die man übrigens auch bei Aufzählung der „gemischten“ Gruppen aufrecht erhalten kann), ist die in Gruppen der ersten u. der zweiten Art. Gruppen erster Art enthalten nur Operationen I, Gruppen zweiter Art daneben Operationen II (vergl. den Unterschied der bloss regulären, u. der regulär-symmetrischen Raumbteilungen). Und welches ist das Verhältniss dieser beiden Arten? Man findet sofort:

Die Gruppen 2. Art enthalten immer eine Gruppe 1. Art als ausgezeichnete Untergruppe vom Indese 2.

Aber das Umgekehrte findet keineswegs immer statt: eine Gruppe erster Art kann keineswegs immer zu einer Gruppe 2. Art

Art erweitert werden. Die Gruppen 1. Art sind also im Grunde die allgemeineren.

Schwerer zu verstehen ist die Einteilung der discontinuirlichen Gruppen in eigentliche u. uneigentliche. Wir betrachten etwa vorab die Gruppe, welche aus der einzelnen elliptischen Substitution

$$\eta' = e^{i\varphi} \eta$$

durch unbegrenzte Wiederholung entsteht. Ist  $\varphi$  comensurabel mit  $\pi$ , so wird diese Gruppe nur eine endliche Zahl von Operationen umfassen. Wie aber steht die Sache, wenn  $\varphi$  zu  $\pi$  incommensurabel? Dann werden die  $\infty$  vielen Transformationen:

$$\eta' = \alpha \cdot \eta,$$

die erzeugt werden, den Raum aller Transformationen

$$\eta' = \alpha \cdot \eta$$

überall dicht ausfüllen (ohne darum, wohlverstanden, diesen Raum zu erschöpfen). Die Gruppe enthält, können wir sagen, infinitesimale Substitutionen, d. h. solche, welche beliebig wenig von der identischen Substitution abweichen. Sie kommt also einer continuirlichen Gruppe gewissermaßen nahe, u. eben darum nennen wir sie uneigentlich discontinuirlich. Wir können sagen:

Die eigentlich discontinuirlichen Gruppen sind dadurch charakterisirt, dass sie nur solche elliptische Substitutionen enthalten, welche periodisch sind.

Natürlich sind für unsere Raumeinteilungen nur die eigentlich discontinuirlichen Gruppen brauchbar, diese aber auch alle. Für die Kugelteilungen müssen wir freilich, wie wir früher ausführten, die brauchbaren Gruppen noch erst vermöge einer Nebenbedingung aussuchen.

Beschränken wir uns, wie dies Poincaré zuerst that, auf hyperbolische Gruppen, d. h. auf Substitutionen

$\eta' = \frac{a\eta + b}{c\eta + d}$ , so ist jede eigentlich discontinuirliche Gruppe direct zur Kugelhteilung verwendbar. Denn die Fundamentalkugeltheile, in welche eine solche Gruppe den Raum zerlegt sind, wie wir lernten, Pyramiden, durchziehen also ein jeder unsere Kugel in endlichen Gebieten. Von hier aus wird nun die Terminologie verständlich, welche Poincaré ursprünglich gebrauchte, u. die immer noch hier u. da verwandt wird. Von den uneigentlich discontinuirlichen Gruppen sah P. überhaupt ab; er betrachtete sie wohl als continuirliche Gruppen. Andererseits beschränkte er sich, wie wir sagten, auf Substitutionsgruppen mit reellen Coefficienten. Desswegen bezeichnete er damals die functionentheoretisch brauchbaren Gruppen schlechweg als groupes discontinus. Später hat er seine Betrachtungen natürlich ausgedehnt u. es dürfen seine Entwicklungen in Bd. III der Acta (1883), die hier hauptsächlich in Betracht kommen, von den jetzt von mir gegebenen nicht so sehr verschieden sein!

### Zur Entwicklungsgeschichte der automorphen Functionen:

Poincaré hat, wie Sie wissen, zur Bezeichnung der einzelnen Gruppenarten Personalbenennungen gewählt (gr. *fractisims*, *kleineins*): die Fuchs'schen Gruppen sind diejenigen, die er zuerst hatte, d. h. die hyperbolischen Gruppen, die Klein'schen die allgemeinen. Ich habe diese Benennungen in Bd. IV der *Anal.*

\*1) Vielleicht wäre es zweckmässig, die direct functionentheoretisch brauchbaren Gruppen, wie dies *Bloch* e. g. thut, schlechweg als automorphe Gruppen zu bezeichnen; das kann jedenfalls im Zusammenhange kein Missverständnis geben.



(1881-2, p. 564) als unzuweckmässig bezeichnet u. den Vorschlag gemacht, von jeder Personalbenennung abzusehen. Es hat mich dies in eine Polemik mit Fuchs verwickelt, auf die ich nun kurz eingehen will, weil Sie doch nicht vermeiden können, gelegentlich von derselben Act zu nehmen, u. weil ich hoffen darf, durch die folgende ausführliche Auseinandersetzung meine Auffassung ein für allemal hinreichend dargelegt zu haben. In der That will ich versuchen, Ihnen eine zusammenhängende Uebersicht über die Entstehungsgeschichte der automorphen Functionen zu geben. Endliche Gruppen u. dementsprechend algebraische automorphe Functionen will ich dabei zur Seite lassen. In der That habe ich ja von den Irrationalitäten der regulären Körper, die hier zu betrachten sein würden, früher schon ausführlich gehandelt: wollte ich aber den Ausblick auf endliche Gruppen linearer Substitutionen mehrerer Veränderlichen nehmen, so müsste ich auch ganz fernliegende Dinge, wie die Theorie der symmetrischen Functionen beliebig vieler Variablen, herannehmen, was zu weit abführen würde<sup>\*)</sup>. Die unendlichen Gruppen mehrerer Variablen können wir leichter besprechen, weil da nur erst wenig gearbeitet ist. In diesem Sinne berichte ich also über die unendlichen automorphen Gruppen schlechweg, bez. über die transcendenten automorphen Functionen, wobei ich die Hauptpunkte, die ich zu berühren habe, numerire:

1) Die ältesten transcendenten automorphen Functionen sind natürlich die einfach periodischen Functionen einer Variablen, wie  $\sin \eta$ ,  $\cos \eta$ ,  $e^\eta$ ; man

<sup>\*)</sup> Vergl. übrigens die Vorlesungen über das Fuchs'sche, p. 123 ff.

hat sie von je in der Analysis gebracht.

2) Dañ war es in den zwanziger Jahren dieses Jahrhunderts, dert, dass Abel u. Jacobi durch Umkehr der Theorie der elliptischen Integrale die Theorie der doppelperiodischen Functionen geschaffen haben. Die Gruppe hat hier folgende einfache Form:

$$\eta' = \eta + m_1 \omega_1 + m_2 \omega_2;$$

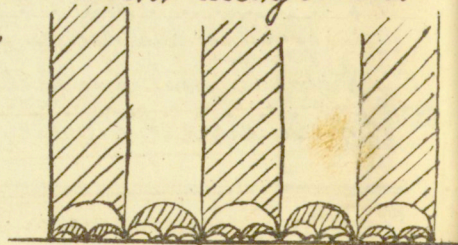
$\omega_1, \omega_2$  sind Constanten, deren Quotient nicht reell sein darf,  $m_1$  u.  $m_2$  sind beliebige ganze Zahlen.

3) Aber die nähere Betrachtung der doppelperiodischen Functionen mußte von selbst zu einer neuen Art automorpher Functionen, zu den elliptischen Modulfunctionen hinleiten. Die charakteristische Stelle, bei welcher Jacobi die bez. Wendung nimmt, findet sich in den Notices sur les fonctions elliptiques (Oeuvres III, 1828), (Werke I, p. 263): Unter  $K^2$  die Constante (das Modulquadrat) des elliptischen Integrals verstanden, erscheint

$$K^2(w), \quad \text{— wo } w = \frac{\omega_1}{\omega_2} \text{ — ,}$$

als eine eindeutige Function von  $w$ , welche bei allen ganzzahligen linearen Substitutionen  $w' = \frac{aw+b}{cw+d}$ , welche die Determinante  $ad - bc = 1$  haben u. überdies modulo 2 zur Identität congruent sind, un geändert bleibt. Inzwischen bot diese Function  $K^2(w)$  damals, als die geometrischen Methoden der Functionentheorie deren wir uns heute bedienen, noch nicht ausgebildet waren, des Räthselhaften Vieles.

Wir wissen jetzt, dass wir die Ebene  $w$  der Ebene  $K^2$  entsprechend in unendlich viele Kreisbogendreiecke zu zerlegen haben,



die sich aus einem ersten durch fortgesetzte Spiegelung ergeben:

Wie will man die Verhältnisse dieser Fig.<sup>x/</sup>, insbesondere ihr Verhalten bei Annäherung an die reelle Axe, ohne Zuhilfenahme geometrischer Vorstellungen verständlich machen? Deshalb sehen wir auch, dass die namhaftesten Analytisten, die bei dem Jacobischen Ideenkreis, so stehen geblieben sind, wie z. B. Hermité, Schwierigkeiten finden, wo für denjenigen, der die Kreisbogendreiecke versteht, überhaupt kaum Fragenstellungen vorliegen, weil Alles an sich klar ist. Ich möchte dies an einem besonderen Satze erläutern. Es wird  $K^2(w') = K^2(w)$  sein, sobald, wie wir bemerken, dass,

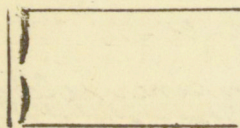
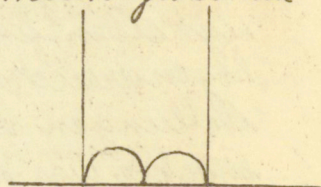
$$w' = \frac{aw+b}{cw+d} \equiv w \pmod{2}; \quad ad-bc=1.$$

Aber folgt umgekehrt, dass  $w'$  mit  $w$  in einer solchen linearen Beziehung stehen muss, sobald  $K^2(w) = K^2(w')$ ? Die Theorie der Kreisbogendreiecke bejahet diesen Satz unmittelbar, weil nämlich das einzelne Dreieck das eindeutige (conforme) Abbild der Halbebene  $x$  ist u. die linearen Substitutionen  $w' = \frac{aw+b}{cw+d}$  etc. eben daraus erwachsen, dass man dieses 1. Dreieck nach dem functionentheoretischen Gesetz der Symmetrie vervielfältigt. Indem wir das Doppeldreieck betrachten, welches aus 2 nebeneinanderliegenden Einzeldreiecken besteht, können wir den wahren Grund des Satzes prägnant dahin bezeichnen: der Satz besteht, weil dasselbe Doppeldreieck erzeugendes Polygon der Gruppe u. eindeutiges Abbild der  $x$ . Ebene ist.

<sup>x/</sup> oder vielmehr die entsprechenden Eigenschaften der Function  $K^2(w)$ .

4) Wir müssen nun einer Stelle bei Gauss gedenken, die in Bd. III der Werke p. 477 - 478 abgedruckt ist u. die wohl zuerst nicht verstanden wurde oder doch nicht beachtet wurde, als Bd. III 1869 erschien. Nach den Bemerkungen des Herausgebers dabei dieselbe wahrscheinlich aus 1827. Es ist ganz unverkennbar, dass Gauss dort genau die geometrische Schlussweise im Sinne hat, für die wir soeben eintraten. Es wird nämlich zweimal das Doppeldreieck gezeichnet:

(nur dass die Figur um  $90^\circ$  gedreht ist u. ~~die~~ der beiden begrenzenden Kreise beim Druck klammern gesetzt sind;



und das einemal demselben der Zusatz gemacht (den ich gleich in unsere Zeichnung umsetze):

„Raum für  $w$  und  $-\frac{1}{w}$ “

das andere Mal aber angegeben,

„dass  $K^2$  in diesem Raume jeden Werth einmal u. nur einmal annimmt.“

5) Aber abgesehen von dieser Stelle im Gaussischen Nachlasse ist die erste Arbeit, in welcher das Wesen der elliptischen Modulfunctionen geometrisch klar gestellt wurde, die Arbeit von Schwarz über die hypergeometrische Reihe im 75 ten Bande des Journals (1871-72). Ihrer Ueberschrift nach bezieht sich die Arbeit zwar nur auf die algebraisch bestimmbaren Fälle der hypergeometrischen Reihe, u. wir sind der dabei entwickelten Theorie der regulären Körper bereits anderweitig gerecht geworden. Thatsächlich aber bietet die Arbeit bezüglich der transcendenten Fälle mindestens gerade so

Wichtiges. Indem sie die Betrachtung des Kreisbogen-  
dreiecks u. dessen Reproduktion durch Symmetrie voranstellt,  
entdeckt Schwarz die eindeutige umkehrbaren Dreiecks-  
functionen - also eine neue, allgemeinere Art eindeuti-  
ger automorpher Functionen u. giebt damit zugleich  
die geometrische Theorie des speciellen Falles der ellipt.

Modulfunctionen. (vergl. Journal Bd. 45, p. 319 ff.; Ges.  
Abt. I, p. 239 ff.). Eben hier habe ich später mit mei-  
nen Untersuchungen über elliptische Functionen  
angeknüpft (nachdem ich vorher, wie früher ange-  
geben, auf eigenem Wege zu den regulären Körpern  
geführt worden war).

6) Wir sind damit bis zu den Jahren 1876-77 <sup>20.6.1891</sup>  
gekommen, in denen von verschiedenen Seiten her  
unabhängig eine ganze Reihe von Arbeiten zur The-  
orie der automorphen Functionen veröffentlicht wur-  
de.

Vor allen Dingen erschienen 1876 Riemann's Ge-  
sammelte Werke u. in diesen unter N. XXV die schon  
früher genannte Untersuchung über die Verteilung  
der Electricität auf Rotationscylindern mit paral-  
lelen Axen, -

andererseits auch Schottky's Dissertation (Breslau),  
in der dieselbe Art automorpher Functionen (die durch  
fortgesetzte Spiegelung eines von irgend welchen Voll-  
kreisen begränzten ebenen Bereiches entsteht) ein-  
gehender untersucht wurde. Weiter ausgeführt erschien  
Schottky's Arbeit im folgenden Jahre (1877) in Crelle 83.

Das Jahr 1877 brachte sodann:

1) in Crelle 83 einen Brief von Fuots an Hermite  
über die elliptischen Modulfunctionen (geschr. Nov. 76),

2) ebenfalls in Crelle 33 seinen Brief von Dedekind an Borchardt über denselben Gegenstand,

3) in den Memorie della R. Accademia dei Lincei t. I, eine Abhandlung von Stephen Smith, vorgelegt im Februar, gleichfalls auf elliptische Modulfunctionen bezüglich.

Dedekind u. Smith verbinden in diesen Arbeiten Beide die Dreiecks-Etheilung der  $w$ . Ebene mit der Zahlen-Theorie: Dedekind in mehr elementarer Weise mit der Theorie der binären quadratischen Formen von negativer Determinante, Smith auf eine sehr interessante Art mit der Theorie der bin. qu. Formen von positiver Determinante. Beide Autoren haben sich augenscheinlich schon länger mit dem Gegenstande beschäftigt, wie denn Smith später angiebt, dass seine Abhandlung ursprünglich 1874 der Pariser Akademie vorgelegt war. Dedekind erläutert auch ausführlich den auf p. 68 besprochenen Fundamentalsatz der Modulfunctionen. Smith hatte denselben schon 1865 in seinem letzten Report „on the theory of numbers“ (Reports, British Association) dahin verallgemeinert, dass er nicht nur  $K^2(w)$ , sondern  $K(w)$ ,  $\sqrt{K(w)}$ ,  $\sqrt[3]{K(w)}$  in Betracht zog.

Fuchs beginnt die Theorie von der Differentialgleichg. für  $w$  aus von Neumann u. erläutert einmal, wie die Substitutionen des  $w$  bei den Umläufen des  $K^2$  um die singulären Werte 0, 1,  $\infty$  zu Stande kommen, dann, dass die reelle Axe der  $w$ . Ebene eine natürliche Gränze der Function  $K^2(w)$  wird. Beides ist, wie wir wissen, nicht neu: wegen der Substitutionen des  $w$  wollte man Riemann's Arbeit von 1857 (über die P. function)

vergleichen, oder auch die speciell auf Modulfunctionen bezüglichen Ausführungen von Schläfli, 1870 (in Crelle 72 u. in Annalen 3), wegen der Bedeutung der reellen Ace Schwarz. Aber Fuchs bildet den Gegenstand nicht etwa so mit durch, wie Lezderer, indem er nämlich die Zerlegung der  $w$ . Ebene in äquivalente Dreiecke bei Seite lässt. In Folge dessen bleibt ihm das Zusammenkommen der natürlichen Gränze einigermaßen unverständlich u. er macht die falsche Angabe, dass  $k^2$  in den Punkten der Gränze abwechselnd 1 oder  $\infty$  wird, während es in den rationalen Punkten der Gränze abwechselnd 0 oder 1 oder  $\infty$  wird, in den irrationalen Punkten aber durchaus unbestimmt bleibt. Hier, nach kennzeichnet sich der Aufsatz von Fuchs als ein zwar in richtiger Richtung, aber mit ungenügender Literaturkenntnis unternommener Versuch, der hinter dem, was bereits bekannt war, zurückblieb. Ich würde von dem Aufsätze darum hier kaum gesprochen haben, wenn derselbe nicht in den Discussions, in die ich verwickelt wurde, eine Rolle spielte, u. durch den Umstand, dass er an Hermite adressirt war u. mit Bemerkungen desselben begleitet veröffentlicht wurde, eine erhöhte Bedeutung gewonnen hätte.

Es ist hier der Platz, um den Einfluss den Hermite in allen diesen Fragen vermöge seiner auf anderen Gebieten wohlverdienten Autorität u. seiner weitreichenden Lehrthätigkeit ausübt, zu charakterisiren.

Im Allgemeinen wird man sagen müssen, dass Hermite in dem wohlwollenden Bestreben, fremdes Ver-

\*) So fragt Hermite l.c. (unter der Seite) ob man auf diesem Wege nicht auch den Fundamentalsatz (p. 68) der Modulfunctionen beweisen könne? Gewiss kann man es, aber es war schon lange durch Schwarz geschehen.

diensd anzuerkennen, ohne tiefere Kritik inner denjeni-  
gen Mathematikern zu einseitiger Geltung geholfen  
hat, denen er pers6nlich n6her getreten ist.

Im Speciellen aber m6ssen es die Sch6ler von Rie-  
man beklagen, dass er die Bedeutung der geome-  
trischen Functionentheorie niemals richtig verstanden  
hat. Er hat die Bedeutung der letzteren geradezu  
getr6mt, indem er an Stelle der auf Riemann zur6ckge-  
henden tief eindringenden Theorien z. B. der Quer-  
schnitte, der beweglichen Integrationswege man-  
gelhafte Formulierungen gesetzt hat, aus denen das  
mathematische Publicum die Bedeutung der Sache  
niemals entnimmt (Vergl. Hermite's „Coupures“). Ins-  
besondere hat er auf dem Gebiete der linearen Dif-  
ferentialgleichgen die fundamentale Bedeutung  
von Riemann's Arbeit 6ber die P. function (1857, an  
die doch Fuochs 1865/66 mit seinen Untersuchungen  
ankn6pft) niemals erkannt. Es ist mir kein Zweifel,  
dass man die heutige Theorie der linearen Differential-  
gleichgen folgendermassen historisch festlegen muss:

Riemann 1857

(weit umfassende Ideen im spec. Falle)

Fuochs 1865/66  
(allgemeiner Fall, aber Be-  
schr6nkung auf die singu-  
l6ren Punkte)

Schwarz 1871/72  
(Tiefere Eindringen in das  
Wesen des speciellen Falles durch  
das Aneinanderreihen der  
Dreiecke)

Statt dessen nimmt bei Hermite u. seinen Sch6lern die  
Sache eine solche F6rbung an, als w6nde Fuochs selbst6n-  
dig an der Spitze der ganzen Theorie (die man dann  
am liebsten auch auf ein Studium der einzelnen sin-



gulären Pkte einschränkt). Ein charakteristischer Repräsentant dieser Auffassung ist das neue Buch von Craig. Da ist p. 212 genau wiedergegeben, was Gouraud 1881 in seiner Dissertation hatte drucken lassen, dass man in dem Lichte der neueren Analysis (der linearen Differentialgleichungen) vermöge Fannery's Theorem einen wesentlich verbesserten Zugang zur Theorie der Riemann'schen  $\mathcal{F}$ -function erhält!

7. In den Jahren 1878-79 folgen nunmehr meine eigenen Arbeiten zur Theorie der elliptischen Modulfunctionen (vergl. zumal Bd. 14, 15, 17 der mathematischen Annalen u. den im vorigen Jahre erschienenen Band I meiner Vorlesungen, bearbeitet von Fricke). Dazu dann die Arbeiten von Dyck, Gierster, Hurwitz (auch Bianchi). Als deren Grundgedanke kann wohl bezeichnet werden, aus den Moduldreiecken grössere Polygone, „Fundamentalpholygonen“ zusammensetzen, die ich einerseits gruppentheoretisch (bei der Definition der Untergruppen) verwende, andererseits functionentheoretisch, unter Heranziehung der Riemann'schen Existenzsätze.

Ich möchte bei der Gelegenheit kurz berichten, welche Stellung das allgemeine Problem, alle automorphen Functionen einer Veränderlichen aufzuzählen, damals u. schon vorher in meinen eigenen mathematischen Ueberlegungen gespielt hat, - einmal, weil ich die Fehler, in welche ich damals zunächst gerieth, jetzt mit einem gewissen Behagen betrachte, da ich glaube, dass dieselben charakteristisch sind, indem sie zeigen, wie wenig eine bloss algebraische Bildung, wie ich sie ausschliesslich zu Beginn meiner Laufbahn

besass, zur allseitigen Erfassung mathematischer Probleme ausreicht.

Ich habe in der That schon 1874 einen Versuch gemacht, die Gesamtheit der automorphen Functionen zu bestimmen, gleich nachdem ich die Gesamtheit aller endlichen Gruppen linearer Substitutionen aufgefunden hatte. Indem ich damals von der Möglichkeit der Häufung der singulären Pkte, insbesondere von der Möglichkeit natürlicher Gränzen keine Ahnung hatte, war mein Resultat sehr einfach: ich fand die periodischen Functionen u. die anderen, die Krausenberger später die multiplicativ periodischen Functionen genannt hat. Diese Theorie sandte ich nach Leipzig an die Anstalt Druckeret, u. ich verdanke es nur dem günstigen Umstande, dass damals in Folge des grossen Pötzner - Strikes sehr langsam gedruckt wurde, dass ich meine Abhandlung noch schliesslich zurückziehen konnte, als ich zufällig im Nov. 1874 Schwarz' Theorie der hypergeometrischen Reihe kennen lernte!

Ich habe dann 1879 etwa die Fragestellung wie der aufgenommen. Die Publicationen in Riemann's Werken, bez. Schottky's Arbeit hatte ich damals noch nicht bemerkt (ich lernte Schottky's Resultat erst Ostern 1881, Riemann's Aufsatz 1882 kennen). Daher schien mir jetzt selbstverständlich, dass die singulären Punkte, wenn sie in unendlicher Zahl auftreten, eine Curve überdecken müssen, u. da ich ebensowenig daran zweifelte, dass diese Curve eine analytische sein müsse, so wurde mir nicht schwer, zu zeigen, dass diese Curve auf alle Fälle einen Kreis vorstellt. Ich war also zur Betrachtung genau dem be-

sonderen Art automorpher Functionen geführt, mit der auch Poincaré zuerst begann. Aber nun wurde ich, indem ich versuchte, den allgemeinsten Fundamentalaum einer solchen Function zu construiren, durch einen merkwürdigen Irrthum aufgehalten. Selbstverständlich kannte ich damals die Gebiets-eintheilungen regulär-symmetrischer Art, die aus einem hyperbolischen Kreisbogenpolygon durch fortgesetzte Spiegelung hervorgehen. Andererseits hatte ich gefunden, dass unter den Fundamentaldolygonen 7<sup>ter</sup> u. 11<sup>ter</sup> Ordg. in der Theorie der elliptischen Modulfunctionen unsymmetrische vorhanden sind (vergl. Vorl. I p. 252, 253). Ich glaubte nun, dass alle bloss regulären Gebiets-eintheilungen aus regulär-symmetrischen sich durch Untergruppenbildung würden ergeben müssen<sup>x/</sup>. Indem ich versuchte, dies zu beweisen, verstrich mein erster Leipziger Winter (80-81) u. es erschien die 1. Mittheilung von Poincaré, aus der die Schämlichkeit meines Ansatzes ohne Weiteres hervorging.

8. Weiterhin ist jetzt eine ganze Reihe von Fuchs'schen Abhandlungen zu nennen. Es sind:

- a) Zwei Notizen in den Göttinger Nachrichten von 1880,
- b) die ausgeführte Abhandlung dazu in Crelle 89 (1880): "Ueber eine Classe von Functionen mehrerer Variablen, welche durch Umkehr der Integrale von Lösungen der linearen Differentialgleichungen mit rationalen Coefficienten entstehen," - hierzu die Erwiderung auf einen Einwand von Poincaré in Crelle 90 (1880),
- c) eine Abhandlung in Bd. XVII der Göttinger Abh.

<sup>x/</sup> vergl. übrigens, was unten (p. 120ff.) über Poincaré's "Lemma" gesagt wird. Das ist nicht ganz dasselbe, aber liegt in ähnlicher Richtung.

handl., 1881: Ueber Functionen zweier Variablen, welche durch Umkehrung der Integrale zweier gegebener Functionen entstehen.

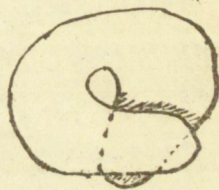
- d) Mitttheilung: Ueber Functionen einer beliebigen Anzahl unabhängiger Variablen, Berliner Sitzungsberichte 1883,
- e) Ueber eine Classe linearer Differentialgleichgen, Crelle 100/1886/.

Wie man sieht, handelt es sich hier zunächst um Functionen mehrerer Variablen. Diese Functionen mehrerer Variablen, sofern sie existiren, sind die wahren Fuchs'schen Functionen. Näheres über sie werden wir erst weiter unten bemerken können, wo wir von den automorphen Functionen mehrerer Variablen im Zusammenhange handeln werden. Aber beiläufig kommt Fuchs in a), b) gerade auf die Fragestellung, die uns hier interessirt, indem er sich nämlich eine lineare Differentialgleichg.

$$y'' + p.y' + q.y = 0$$

gegeben denkt u. fragt, wann die unabhängige Variable  $x$  eine eindeutige Function des Quotienten  $\eta$  zweier Particularlösungen  $y_1, y_2$  dieser Gleichg. sein mag? Er betrachtet die verschiedenen Abbildungen, welche die successiven Zweige  $\eta$  von der in richtiger Weise zerschneidenden  $x$  Ebene entwerfen, u. bemerkt durchaus richtig, dass diese Abbildungen sich um ihre einzelnen (den singulären Punkten der  $x$ . Ebene entsprechenden) Lücken glatt herumgruppiren müssen, dass also  $x$  vor allen Dingen eine unverzweigte Function von  $\eta$  sein muss. Dies ist richtig u. wird in richtiger Weise formulirt. Aber nun hält Fuchs diese notwendige Bedingung für eine aus-

reichende! Festhaltend an der Gewöhnung, die aus der ausschliesslichen Betrachtung algebraischer Functionen entspringt, - dass eine Function für alle Werthe der unabhängigen Variablen eine Definition zulässt -, verwechselt er die unverzweigten Functionen mit den eindeutigen! Ich brauche sie nur auf das Beispiel einer Function aufmerksam zu machen, die innerhalb der nebenstehend gezeichneten Contour durchaus unverzweigt ist, u. die diese Contour zur natürlichen Gränze hat, um Sie erkennen zu lassen, dass da in der That ein grosser Unterschied ist. Auch kann das, was Fuchs in Bd. 90 auf einen bezüglichen Einwand von Poincaré erwiedert, nicht als Erledigung der Sache angesehen werden.



An diese Ueberlegungen von Fuchs hat nun Poincaré seine eigenen Speculationen angeschlossen. Er bemerkte, dass die Einwände gegen die Eindeutigkeit hinfällig werden, sobald man sich, um hier die früher gebrauchte Terminologie zu verwenden, auf reduzierte hyperbolische Bereiche beschränkt, u. nennt die solcherweise entstehenden eindeutigen automorphen Functionen, unbekannt (oder doch nicht hinreichend bekannt), mit der Vorgeschichte, die wir hier gegeben haben, entsprechend der grossen Geltung, welche der Name von Fuchs in Frankreich besass, fonctions fuchsianes.

J. Poincaré's erste hierher gehörige Mittheilung erschien in Bd. 91 der Comptes Rendus, p. 393 (14. Febr. 1881), u. enthält die beiden fundamentalen Leistungen:

a) dass er den allgemeinen hyperbolischen Fundamentalbereich des bloss regulären (nicht regulär-symmetrischen) Falles aus independenten geometri-

schon Stricken construirte.

b) dass er für die zugehörigen automorphen Functionen ein analytisches Bildungsgesetz aufstellte (die im vorigen Winter im Falle der Dreiecksfunctionen näher betrachtet werden sog. O. Reihen).

Inzwischen ist es hier nicht meine Absicht, in die Einzelheiten der bald in grosser Zahl folgenden Poincaréschen Entwicklungen einzugehen, — davon handelt diese Vorlesung immer auf's Neue —, sondern nur einige mich persönlich betreffende Momente ausdrücklich herauszuheben. Ich wünsche vor allen Dingen zu betonen, dass Poincaré's bezügliche Arbeiten & Ansichten, die wir Anderen immer verbreiten haben, in unwiderleglicher Weise zur Geltung gebraucht haben:

- a) die Geometrie ein überaus wesentliches Hilfsmittel der Functionentheorie ist,  
 b) dass neben der Kritik die eigentliche mathematische Erfindungsgabe ihr volles Recht auch in der modernen Analysis behauptet.

Poincaré's Auftreten bedeutet eben ein selbständiges Aufleben der Riemann'schen Schule in Frankreich. — Weiter aber nun von den durch Poincaré gewählten Personalbenennungen. Ich hatte die Poincaréschen Arbeiten <sup>x/</sup>erst im Sommer 1881 bemerkt u. ihm dann einen Brief geschrieben, in welchem ich ihn auf allerlei frühere Literatur, auf die Berechnung des  $p$  seiner Riemann'schen Fl. etc. aufmerksam machte u. dann, um doch etwas Neues zugeben, auf die Möglichkeit der automorphen Figuren aufmerksam machte, die ich auf p. 55 durch „Variation“

<sup>x/</sup> vergl. die volle Liste in Bd. 21 der Annalen, p. 142.

der hyperbolischen Polygone" erhielt. Dies wurde ihm zum Anlaß, nicht etwa, wie ich erwartet hatte, die „fonctions fuchsiennes“ zurückzuziehen, sondern die Gesamtheit der hier, über hinaus existirenden automorphen Functionen einer Veränderlichen als fonctions kleinéennes zu bezeichnen.

Ich habe dann später, als Poincaré in den Math. An. 19 einen Abriss seiner Theorien gab (Dec. 1881), in einem Anhang dazu (p. 564) mit seinem Vorwissen auseinander, gesetzt, wesshalb es mir wünschenswerth scheint, gleich, zeitig von beiden so geschaffenen Personalbenennungen abzusehen. Ich habe den, wie ich meine, durchaus zutreffenden Ueberlegungen auch heute noch kein Wort zugesetzt oder wegzunehmen. Dieselben haben mir aber eine scharfe Replik von Herrn. Fuchs in den Göttinger Nachrichten vom 4. März 1882 eingebracht, durch die ich mich nun meinerseits veranlaßt sah, als ich im Herbst 1882 meine grosse Abhandlung: Zur Riemann'schen Functionentheorie schrieb (Math. An. 21.) in längerer Auseinandersetzung die hier in Betracht kommenden Arbeiten von Fuchs zu besprechen (p. 214 — 216. daselbst), genau so, wie es in etwas ausführlicherer Weise hier vorstehend geschehen ist.

Es ist nun nicht uninteressant zu sehen, wie diese meine Auseinandersetzungen gewirkt haben.

Was zunächst Schottky u. Schwarz angeht, für deren Prioritätsrechte ich eingedrungen war, so zeigten sich diese mit meiner Erklärung bis auf Nebenpunkte sehr zufrieden. — Poincaré dagegen bestand auf dem Rechte des „Erfinders“, die von ihm entdeckten Functionen zu benennen, wie ihm beliebt, er hat diesen Standpunkt denn auch in seinen grossen Abhandlungen, die 1883-

84 in Acta I, III, IV, V erschienen festgehalten. — In Berlin hat man jedenfalls die „Fuchs'schen Functionen“ acceptirt, dagegen scheint dort die Tendenz zu bestehen, uns Anderen lieber gar nicht zu nennen. Man möchte dies wenigstens schliessen, wenn man die Arbeit von Schlesinger in Crelle 105 (1889) sieht; obgleich der Verf. genau die von Schwarz u. mir gegebenen Methoden gebraucht (sogar meine Terminologie, wie Fundament, Polypolygon, ausgezeichnete Untergruppe) u. obgleich er sonst merkwürdig zahlreiche Citate gibt, so kommen die Namen von Schwarz u. mir darin nicht vor! Uebri-  
 gens versendet Teubner eben den Prospect eines von Schlesinger u. Günter zu bearbeitenden 2 Bd. Werkes über lineare Differentialgleichungen, in welchem auch die automorphen Functionen besprochen werden sollen; es wird interessant sein, die Auffassung der Gegenseite im Zusammenhang zu lernen. — Ich selbst hatte bei der Fertigstellung meiner Abhandlung in Bd. 21 mich endgültig überarbeitet (immer errieth ich, dass die Separat-  
 abzüge Anfang December 1882 versandt werden könnten, also geraume Zeit vor dem Erscheinen der ersten Poincaré'schen Arbeit in den Acta, was festzustellen wir selbstverständlich wesentlich ist). Das Bedürfniss nach ruhigerer Thätigkeit, wie der Wunsch, meine eigene Auffassung der Theorie zur vollen Geltung zu bringen, liess in mir den Entschluss entstehen, eine zusammenhängende Bearbeitung derselben zu veröffentlichen. In der That erschien der erste Band einer solchen, das Fuchs'sche betreffend, 1884. Der 2. Band sollte die Theorie der ellips.

\*) Die Arbeit von Schlesinger ist an sich nicht schlecht, enthält aber allerdings einen principellen Fehler, aus welchem hervorgeht, dass der Verf. mit den Riemann'schen Flächen doch erst unvollkommen vertraut ist; ich werde dieselbe weiter unten noch besprechen.



rischen Modulfunctionen bringen. Aber ich fand es noch  
 wendig, vorab eine Reihe einzelner dahin gehöriger Fragen  
 in meinem Seminar bearbeiten zu lassen, u. als ich in der  
 Lage war, über die erhaltenen Resultate einen zusammen-  
 hängenden Bericht zu veröffentlichen (Herbst 1885, An. 16:  
 Neue Untersuchungen im Gebiete der elliptischen Functionen),  
 hatte sich mein Interesse bereits wieder anderen Aufga-  
 ben zugewandt. Ich habe den Plan der Redaction erst  
 wieder aufgenommen, als ich im Herbst 1887 dafür die Un-  
 tersützung von Herrn Dr. Fricke gewann, durch dessen thä-  
 tige Mitwirkung dann in der That, wie Sie wissen, im vorigen  
 Herbst (1890) der 1. Theil der Modulfunctionen publicirt wer-  
 den konnte, während der zweite Theil eben in Vorbereitung  
 ist u. hoffentlich 1892 erscheint. Von dem Augenblicke ab,  
 dass das Erscheinen der Modulfunctionen in sicherer Aus-  
 sicht stand, habe ich dann in meinen Vorlesungen die Dar-  
 stellung der allgemeinen Theorie der automorphen Func-  
tionen in Vorbereitung genommen. In der That waren die  
 Vorlesungen über Nicht-Euklidische Geometrie u. über La-  
 mé'sche Functionen die ich im Winter 1889-90 gab,  
 neben ihrem unmittelbaren Zwecke dafür bestimmt, für  
 jene allgemeine Theorie gewisse Hilfsanschauungen be-  
 reit zu stellen. Auch führte ich damals, um meiner  
 alten Auffassung eine positive Wendung zu geben,  
 die Benennung der automorphen Functionen ein. Immer  
 wird noch eine Reihe von Specialvorlesungen in verwan-  
 der Richtung zu halten sein, es werden gleichzeitig eine  
 Anzahl besonderer Pkte von jüngeren Mitarbeitern klar  
 zu stellen sein, ehe der Stoff für die Ausarbeitung des ab-  
 schliessenden Werkes, für welches mir Hr. Dr. Fricke wie-  
 derum seine Mitwirkung zugesagt hat, in fertiger Form

bereit liegt.

Nun noch einige Worte über automorphe Functionen mehrerer Variablen.

Da haben wir vor allen Dingen

1) Die Abel'schen Functionen zu nennen, die ihren Ausgangspunkt von dem in Crelle 13 (De functionibus quadrupliciter periodicis etc., 1834) aufgestellten Jacobischen Umkehrprobleme nehmen. Indem ich mir gestatte, den Gegenstand gleich so allgemein zu fassen, wie er später von anderen Seiten entwickelt wurde, werden wir das Jacobische Umkehrproblem so formuliren: Auf einem algebraischen Gebilde irgend welchen Geschlechtes  $p$  seien  $p$  über- all endliche Integrale  $v_1, v_2, \dots, v_p$ . Man wähle nun (bei beliebig angenommenen unteren Gränzen)  $p$  dem algebraischen Gebilde angehörige obere Gränzen  $x_1, x_2, \dots, x_p$  und schreibe:

$$v_1 = \int^{x_1} \xi v_1 + \int^{x_2} dv_1 + \dots + \int^{x_p} dv_1,$$

$$v_2 = \int^{x_1} \xi v_2 + \int^{x_2} dv_2 + \dots + \int^{x_p} dv_2,$$

$$v_p = \int^{x_1} \xi v_p + \dots + \int^{x_p} dv_p.$$

Das Jacobische Umkehrproblem verlangt dann, die  $x$  als Functionen der  $v$  zu bestimmen. Die symmetrischen Functionen der  $x$  erscheinen dabei als eindeutige  $2p$ -fach periodische Functionen der  $v_1, v_2, \dots, v_p$ ; eben diese Functionen sind die Abel'schen Functionen. Für  $p=1$  enthalten dieselben als Specialfall die doppelt periodischen Functionen einer Veränderlichen. Sowie bei letzteren die complexe Ebene der einen Variablen in lauter äquivalente Parallelogramme geteilt erscheint, so im allgemeinen Falle der  $2p$ -fach ausgedehnte Raum der  $p$  complexen Variablen  $v_1, \dots, v_p$  in äquivalente,  $2p$ -dimensionale Parallelepipede. Ue.

brigens sind die so definirten Abel'schen Functionen nicht ohne weiteres mit den allgemeinsten  $2p$ -fach periodischen Functionen von  $p$  Variablen identisch, hängen aber mit ihnen nahe zusammen, wie hier nicht weiter ausgeführt werden kann.

Mit den Abel'schen Functionen hängen nun aufs engste zusammen:

#### 1) Die Abel'schen Modulfunctionen.

Dieselben entstehen, wie die elliptischen Modulfunctionen im Falle  $p=1$ , sobald man die wesentlichen Constanten („Moduln“) des algebraischen Gebildes als abhängig von den Dimensionen der zugehörigen Periodenparallelepiped, da ansieht. Auch sie sind automorphe Functionen (vergl. z. B. Bürkhardt in An. 36, 38 (1890, 91), wo der Fall  $p=2$  näher untersucht wird). Inzwischen ist die Art dieser Functionen doch etwas complicirter, als man zuerst annehmen möchte. Bei  $p=2$  z. B. hat man drei algebraische Moduln. Dieselben hängen aber eindeutig automorph nicht etwa von 3 unabhängigen Variablen ab, oder den von 4 Verhältnissgrößen  $w_1 : w_2 : w_3 : w_4$ , vielmehr von 5 Verhältnissgrößen, zwischen denen eine quadratische Relation besteht. Diese Complication steigt mit wachsendem  $p$ . Demgegenüber ist ein besonderer Fall, den Hr. Thomae 1879 studirt (Ueber eine spezielle Classe Abel'scher Functionen vom Geschlecht 3. Halle), bemerkenswerth. Es wird dort das folgende algebraische Gebilde zu Grunde gelegt.

$$y = \sqrt{x(x-1)(x-u)(x-v)},$$

welches augenscheinlich (da  $y$  auch bei  $x = \infty$  einen Verzweigungspunkt aufweist) 2 algebraische Moduln besitzt:  $u$  und  $v$ , oder, wenn man lieber will, die symmetrischen Functionen  $u+v$  und  $uv$ . Dabei zeigt sich nun, dass diese  $u+v$ ,

ur als eindeutige (automorphe) Functionen dreier unabhän-  
giger Verhältnisse  $w_1 : w_2 : w_3$  anzusehen sind!

Wieder besprechen wir nun:

### 3. Die schon oben genannten Arbeiten von Fuochs.

Es handelt sich bei ihnen um einen Ansatz, der dem Jaco-  
bischen Umkehrproblem sehr analog ist, nur dass nicht  
von einem algebraischen Gebilde sondern von einer  
algebraischen Differentialglch. ausgegangen wird:

$$y'' + p \cdot y' + q \cdot y = 0,$$

(die Fuochs noch mannigfach specialisirt wählt). Es sei,  
em  $y_1, y_2$  2 Particularlösungen dieser Glch. so führt  
Fuochs die Integrale  $\int y_1 dx, \int y_2 dx$  in die Betracht-  
ung ein (die auch schon bei Abel u. Jacobi eine gewis-  
se Rolle spielen; vergl. hierzu Fuochs in Crelle 76, 1873),  
u. schreibt:

$$v_1 = \int y_1^{x_1} dx + \int y_1^{x_2} dx,$$

$$v_2 = \int y_2^{x_1} dx + \int y_2^{x_2} dx.$$

Wieder gilt es, die symmetrischen Functionen der  $x_1, x_2$   
als Functionen der  $v_1, v_2$  aufzufassen u. insbesonde-  
re zu untersuchen, wann dabei eindeutige Functionen  
herauskommen.

Ersichtlich erleiden (allgemein zu reden), die  $y_1, y_2$   
bei einem Umlaufe des  $x$  eine lineare Substi-  
tution:  $\left| \begin{array}{l} y_1' = \alpha y_1 + \beta y_2 \\ y_2' = \gamma y_1 + \delta y_2 \end{array} \right|$ , während gleichzeitig die Inte-  
grale  $\int y_1 dx, \int y_2 dx$  noch um  
Constante (Periodicitätsmodulen) wachsen werden.

Die neuen Functionen werden also, sofern sie ein-  
deutig sind, durch eine Gruppe linearer Substitutio-  
nen der  $v_1, v_2$  von folgender Bauart in sich überge-  
hen:

$$v_1' = \alpha v_1 + \beta v_2 + C_1, \text{ u. man wird also die}$$

$$v_2' = \gamma v_1 + \delta v_2 + C_2, \text{ Untersuchung der neu-}$$

en Functionen in der Art beginnen können, dass man

zuerst alle Gruppen der hiermit bezeichneten Art aufsucht,  
 welche eine Zerlegung des Raumes ( $V_1, V_2$ ) in endliche Fun-  
 damentallbereiche liefern. Diese Fragestellung hat eine ge-  
 wisse Analogie mit derjenigen der gewöhnlichen (Euklidi-  
 schen) Krystallographie, sofern man bei letzterer den  
 $K_3$  zuerst in congruente Parallelepipeda zerlegt denkt,  
 u. man nun fragt, ob die Dimensionen der letzteren nicht  
 insbesondere so gewählt werden können, dass das System  
 auch durch Drehungen um die Ecken der Parallelepi-  
 peda mit sich zur Deckung kommt? Ich setze nicht,  
 dass eine principielle Schwierigkeit vorläge, diese neue Fra-  
 gestellung durchzuführen. Jedenfalls hat aber Fuohs die  
 Betrachtung von dem anderen Ende begonnen, nämlich  
 von der Differentialgleichg. aus. Und hier ist es, dass er  
 zwischendurch die oben besprochene Frage beantwortet,  
 wen muss, wann  $x$  im Quotienten  $\eta = \frac{y}{x}$  eindeutig sein  
 mag. Wir haben hervor, dass er diese Frage nur dahin  
 beantwortet, dass er die Bedingungen feststellt, un-  
 ter denen  $x$  eine unverzweigte Function von  $\eta$  ist. Hier-  
 nach scheint es sehr zweifelhaft, ob seine Angaben über  
 die Functionen von  $V_1, V_2$  irgend zutreffend sind, bez.  
 welche Bedeutung sie haben mögen. So viel ich  
 weiß, ist dies auch noch von keiner Seite klar gestellt  
 worden, trotz der Frage, welche in dieser Hinsicht  
 das Preis Ausschreiben des Königs von Schweden (1885,  
 Acta VII) unter Nr. 2 enthielt. Auch scheint mir be-  
 merkenswerth, dass Picard bei seinen Untersuchungen  
 über automorphe Functionen mehrerer Veränderlicher,  
 über die wir nun zu berichten haben, an die in Pic-  
 de stehende Fragestellung von Fuohs überhaupt  
 nicht anknüpft.

4. Picard's Untersuchungen.

Picard hat im Wesentlichen 2 Arten automorpher F. mehrerer Veränderlichen:

a) die hyperfuchs'schen Functionen („Fuchs“ im Sinne der Poincaré'schen Terminologie genommen)

b) die hyperabel'schen Functionen.

a) Ersteren widmet er 2 Abhandlungen in Acta I, V (1883, 84). Es handelt sich dabei um Functionen zweier Variablen  $x, y$ , welche bei einer ternären Substitutionsgruppe:

$$x' = \frac{ax + by + c}{a''x + b''y + c''} \quad y' = \frac{a'x + b'y + c'}{a''x + b''y + c''}$$

ungeändert bleiben. Ähnlich wie Poincaré nach unserem früheren Berichte binäre Substitutionsgruppen aus der Betrachtung der ternären indefiniten quadratischen Formen ableitet, so gewinnt auch Picard bei „spielen“ der von ihm benutzten ternären Gruppen durch geeignete Anlehnung an die Zahlentheorie. Es sind die ternären quadratischen Formen mit 2 Reihen conjugirt imaginärer Variabler, die er zu dem Zwecke benützt (solche Formen mit conjugirten Veränderlichen betrachtet man in der Zahlentheorie seit Hermité; ihr geometrisches Studium hat erst ganz neuerdings Lege in Angriff genommen). Endlich zeigt Picard, dass man von der Gruppe aus in ganz ähnlicher Weise, wie Poincaré bei seinen Gruppen, zugehörige automorphe Functionen construiren kann, indem er unendliche Ketten von folgendem Typus aufbaut:

$$\theta(x, y) = \sum R \left( \frac{ax + by + c}{a''x + b''y + c''}, \frac{a'x + b'y + c'}{a''x + b''y + c''} \right) \cdot \frac{1}{(a''x + b''y + c'')^{2n}}$$

b) Mit den „hyperabel'schen“ Functionen beschäftigt sich Picard im Journal des Math., sér. 4, Bd. I

(1895). Es handelt sich dabei darum, dass 2 Variable  $\xi, \eta$  nach irgend welchem Gesetze simultanen Substitu-  
tionen

$$\xi' = \frac{\alpha \xi + \beta}{\gamma \xi + \delta}, \quad \eta' = \frac{a \eta + b}{c \eta + d}$$

unterworfen werden. Geeignete Beispiele solcher Gruppen gibt die Theorie der gewöhnlichen indefiniten quadratischen Formen mit 4 Veränderlichen. Um zugehörige Functionen zu construiren, werden 2 Reihen folgender Art betrachtet:

$$\theta(\xi, \eta) = \sum \sum R\left(\frac{\alpha \xi + \beta}{\gamma \xi + \delta}, \frac{a \eta + b}{c \eta + d}\right) \frac{1}{(8\xi + \delta)^{2m} (c\eta + d)^{2m}}$$

Hierüber hinaus hat Picard dann noch in Acta II, 1883 seinen Aufsatz: Sur les fonctions de deux variables analogues aux fonctions modulaires.

Aber es sind dies im Wesentlichen dieselben Functionen, die bereits 1879 bei Thomas auftreten, wie wir p. 85 besprochen. Es ist jetzt auf die Eigenart dieser Abel'schen Modulfunctionen nur mehr principielle Nachdruck gelegt.



Von der Bedeutung der automorphen Functionen §. 13. 6. 91.  
u. von ihrem Bildungsgesetz.

Nach unserer Abschweifung auf die allgemeine Geschichte der automorphen Functionen, wollen wir die Besonderen automorphen Functionen, zu deren Betrachtung wir zunächst Anlaß hatten, d. h. die automorphen Functionen, die sich an die Fig. des Kreisschreibepolygons, bez. des hyperbolischen Polygons anschließen, noch nach 2 Richtungen näher betrachten. Es wird sich

1) um die Bedeutung handeln, welche die Einführung des betr.  $\eta$  in functionentheoretischer Hinsicht besitzt,

2) um die zugehörigen formentheoretischen Formulierungen, insbesondere um das Bildungsgesetz der automorphen Formen.

Ad I) mögen wir daran erinnern, welchen Vortheil man in der Astronomie bei der Lehre von der elliptischen Bewegung der Planeten erreicht, wenn man mit Kepler die excentrische Anomalie  $u$  als unabhängige Variable einführt: man erreicht, dass die sonstigen Variablen, deren Zusammenhang zunächst durch complicirte Formeln gegeben ist, in dieser Hilfsgröße  $u$  alle eindeutig werden;  $u$  ist „la variable uniformisante.“

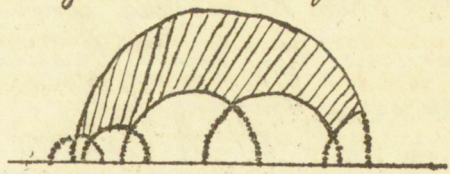
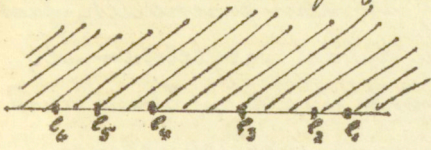
Genau so wird man es nun als eine Hauptaufgabe aller Functionentheorie betrachten dürfen, bei irgendwie vorgelegten functionellen Abhängigkeiten derartige „eindeutig-machende“ Hilfsgrößen einzuführen. —

Die Bedeutung unseres  $\eta$  wird nun gerade darin liegen, für eine ausgedehnte Functionenklasse in



der That die eindeutige Darstellung zu leisten.

Beginnen wir in dieser Hinsicht mit dem hyperbolischen Fall, den wir durch folgende 2 Figuren näher fixiren wollen:



x. Ebene

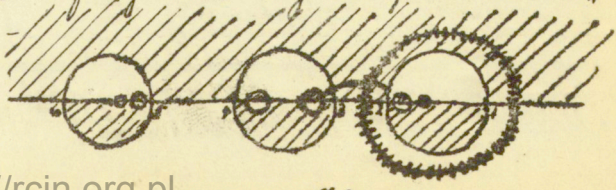
η. Ebene.

Wir haben da 6 singuläre Pkte, die Winkel des Polygon's der η. Ebene werden sein  $\lambda_1 \pi, \dots, \lambda_6 \pi = \frac{\pi}{l_1}, \dots, \frac{\pi}{l_6}$ . Ich sage, dass nicht nur x, sondern auch beispielsweise folgende Function:

$$\sqrt[l_1]{(x-e_1)^{\alpha_1}} \cdot \sqrt[l_2]{(x-e_2)^{\alpha_2}} \cdot \dots \cdot \sqrt[l_6]{(x-e_6)^{\alpha_6}}$$

(unter  $\alpha_1, \alpha_2, \dots, \alpha_6$  ganze Zahlen verstanden, welche der Bedingung unterliegen:  $\frac{\alpha_1}{l_1} + \frac{\alpha_2}{l_2} + \dots + \frac{\alpha_6}{l_6} =$  ganze Zahl, damit nämlich bei  $x = \infty$  keine Verzweigung vorhanden sei) eindeutig in η ist. Ueberhaupt aber sage ich, dass in η eindeutig ist jede Functionen x, welche bei  $e_1, e_2, \dots, e_6$  so verzweigt ist, dass sie sich nach  $l_1, \dots, l_6$ -maligem Umlaufe dieser Pkte ungeschädigt reproducirt, u. die natürlich keine anderen Verzweigungspkte besitzen soll. In der That jede solche Function wird, wie sofort ersichtlich, in η unverzweigt sein, u. aus dieser Thatsache folgt im vorliegenden Falle ohne Weiteres die Eindeutigkeit, weil das Gesamtgebiet der Variablen η ein einfach zusammenhängendes Gebiet ist, welches die Ebene η nirgends mehrfach überdeckt.

Vergleichen wir nun hiermit den Kreisscheibenfall. Mögen wir uns zu dem Zwecke folgendes Figurenpaar vor Augen halten:



x. Ebene

η. Ebene.

Ersichtlich ist hier das Gesamtgebiet der Variablen  $\eta$  (die Gesamtebene  $\eta$ , nach Abzug der  $\infty$  vielen in dieselbe eingesprengten singulären Pkte, die je in den kreisförmigen Öffnungen der Fig. zu suchen sind) hier keinesweg einfach-, sondern unendlich-fach zusammenhängend. Um hier Uebersicht zu haben, vergleichen wir, was aus gewissen Umgängen der  $x$ . Ebene in der  $\eta$ . Ebene wird. Ich habe in der  $x$ . Ebene zweierlei Umgänge gezeichnet, von denen der eine (der gestrichelte) um 1 u. 2, der andere um 2-3 herumführt. Da ist nun leicht zu sehen, dass dem Umgange  $\overline{12}$  in der  $\eta$ . Ebene eine ebenfalls geschlossene Curve entspricht (die in der Fig. durch Strichelung kenntlich gemacht ist), dem Umgange  $\overline{23}$  aber eine offene Curve (die unbegrenzt auf einen singulären Pkt der  $\eta$ . Ebene zustreben wird, wenn man  $\overline{23}$  in der  $x$ . Ebene immer wieder auf's Neue durchläuft; die Curve ist in der Fig. durch ein horizontales Linienstück angedeutet)<sup>x</sup>. Soll nun eine Function von  $x$  in  $\eta$  eindeutig werden, so darf sie gewiss nur bei  $e_1, e_2, \dots, e_6$  verzweigt sein u. muß natürlich nach zweimaliger Umlaufung jedes Verzweigungsplatzes zu ihrem Anfangswerte zurückkehren. Aber offenbar kommt noch die weitere Bedingung hinzu, dass die Function auch bei Durchlaufung der Wege  $\overline{12}, \overline{34}, \overline{56}$  je zu ihrem Anfangswerte zurückkommen muß, während für die Wege  $\overline{23}, \overline{45}, \overline{61}$  keinerlei derartige Bedingung eintritt. Zugleich hat man hiermit die Gesamtheit der notwendigen Bedingungen, insofern alle geschlossenen Wege der  $x$  Ebene sich aus den Wegen, die wir hiermit berücksichtigen haben, zusammensetzen lassen. — Beispielsweise wird also in unserem Kreiszeichnenfalle

$$\sqrt{\frac{x-e_1}{x-e_2}} \text{ eindeutig, } \sqrt{\frac{x-e_2}{x-e_3}} \text{ mehrdeutig in } \eta \text{ sein.}$$

<sup>x</sup> Beim hyperbolischen  $\eta$  würden wir auch für  $\overline{12}$  eine solche offene Curve erhalten; das ist der Unterschied!

Im hyperbolischen Falle würden sie (sofern alle  $\lambda_1, \dots, \lambda_6$  gerade Zahlen sind) beide eindeutig sein. Die „auflösende Kraft“ des hyperbolischen  $\eta$  reicht eben viel weiter als die des Kreis-scheiben- $\eta$ . Am grössten ist die auflösende Kraft desjenigen hyperbolischen  $\eta$ , dessen  $\lambda_1 = \lambda_2 = \dots = \lambda_6 = 0$ .

Wir wollen das hiermit Gesagte doch noch an dem hyperbolischen Falle  $\lambda_1 = \lambda_2 = \dots = \lambda_6 = \frac{1}{2}$  etwas weiter verfolgen. Als eindeutige Functionen von  $\eta$  haben wir da beispielsweise

1) die gerade betrachteten Quotienten  $\frac{\sqrt{x-e_1}}{x-e_n}$ ;

2) die beiden überall endlichen hyperbolischen Integrale

$$\begin{cases} u_1 = \int \frac{dx}{\sqrt{(x-e_1) \dots (x-e_6)}} \\ u_2 = \int \frac{dx \cdot x}{\sqrt{(x-e_1) \dots (x-e_6)}} \end{cases}$$

3) den Quotienten  $\frac{\xi_1}{\xi_2}$  zweier Particularlösungen irgend welcher zu den Verzweigungspunkten  $e_1, \dots, e_6$  gehörigen allgemeinen Laméschen Gleichg. (mit beliebig anzunehmenden accessorischen Parametern; unser hyperbolisches  $\eta$  selbst ist ein solcher Quotient, aber die ihm zugehörigen accessorischen Parameter sind natürlich völlig bestimmt.)

Wir haben damit offenbar die lang gesuchte Verallgemeinerung derjenigen Sätze, welche Hermite im Fal.  $n=4$ , wie wir im Wintersemester ausführlich berichtet haben, an das überall endliche elliptische Integral  $u$  angeschlossen hat. Dieses  $u$  ist ja in der That der  $n=4$  entsprechende Gränzfalle des hier in Betracht gezogenen hyperbolischen  $\eta$ . Wir hatten ursprünglich die Möglichkeit erwogen, dass für  $n=6$  die auflösende Kraft des elliptischen  $u$  auf die hyperelliptischen Integrale  $u_1, u_2$  übergehen möchte, u. hatten gezeigt, dass das unmög.

lich sei. Jetzt sehen wir, wie die Verallgemeinerung liegt: aus dem  $u$  entwickelt sich ein  $\eta$ , u. die  $u_1, u_2$ , welche an „dererseits bei der Verallgemeinerung aus dem  $u$  entstehend werden in diesem  $\eta$  selber eindeutig! Was aber die Natur der unter 1), 2), 3) aufgeführten eindeutigen Functionen von  $\eta$  angeht, so darf man sie wohl alle 3 als homomorphe Functionen bezeichnen, d. h. als Functionen, welche lineare Transformationen erfahren, sobald man das  $\eta$  einer linearen Transformation seiner Gruppe unterwirft. Nun sind die bez. Transformationen in den Fällen 1), 2) besonders einfach: in den Fällen 1) handelt es sich nur um das Zutreten des Factors  $\pm 1$ , in den Fällen 2) um das additive Zutreten von Periodicitätsmodulen. Im Uebrigen aber möchte ich folgendem Gedanken Ausdruck geben:

„Man darf hoffen, dass durch die Darstellung der hyperelliptischen Integrale sowie der Laméschen Functionen als homomorpher Functionen unseres  $\eta$  viele Probleme der Mechanik u. mathematischen Physik, deren Lösbarkeit man zwar einsieht aber bis jetzt noch nicht mit genauen Formeln verfolgen kann, einer einfachen analytischen Behandlung zugänglich werden.“

Ad II). Wollen wir statt der automorphen, resp. homomorphen Functionen Formen haben, so werden wir nach den in Wintersemester entwickelten Grundsätzen  $\eta$  so in  $\eta_1, \eta_2$  spalten müssen, dass  $\eta_1, \eta_2$  als Zweige eines sog. „Normal- $\pi$  2ter Art“ erscheinen:

$$\pi \left| \begin{array}{cccc} \lambda_1 & \lambda_2 & \dots & \lambda_n \\ x_1 & x_2 & \dots & x_n \end{array} \right|.$$

Damit sind die  $\eta_1, \eta_2$  als Formen vom Grade  $\sum \lambda - n + 2$  in  $x_1, x_2$  definiert; das ist für  $\lambda_1 = \dots = \lambda_n = \frac{1}{2}$  u.  $n = 6$  gleich  $-\frac{1}{2}$ ;  $x_1, x_2$  sind also im letzteren Falle automorphe Formen der  $\eta_1,$

$\eta_2$  vom Grade  $-2$ . Die einfachsten algebraischen au,  
homomorphen Formen sind natürlich:

$$\phi_1 = \sqrt{(x_1)}, \dots \phi_n = \sqrt{(x_{2n})},$$

die allgemeine

$$\phi_1^{\alpha_1} \phi_2^{\alpha_2} \dots \phi_n^{\alpha_n} \in \mathbb{R}(x_1, x_2).$$

Man wird verlangen müssen, alle diese Formen aus  $\eta_1, \eta_2$   
durch unendliche Prozesse wirklich herzuleiten. Da bieten  
sich zunächst die Poincaréschen Theoreme, die wir im  
vorigen Wintersemester kennen lernten. Und in der That  
stellen sie eine gewisse Zahl unserer Formen in sehr  
schöner Weise dar, keineswegs aber alle. Ich halte mich  
hier nicht eingehender mit der näheren Darlegung auf,  
da dieser Gegenstand ja jetzt anderweitig (durch Kon-  
rithor) in Bearbeitung genommen ist. Vielmehr berich-  
te ich gleich über anderweitige Versuche zur Aufstel-  
lung unserer Formen, nämlich über Versuche von  
Productdarstellungen.

Wir haben in dieser Hinsicht zunächst 2 Arbeiten  
zu nennen, die sich auf den Fall des Kreisschreibepoly-  
gons beziehen, nämlich

Weber in den Göttinger Nachrichten von 1886 (Ein Bei-  
trag zu Poincarés Theorie der Fuchs'schen Functionen)

Schottky in Crelle 105, 1886 (Ueber eine Function, die  
bei einer linearen Substitution ungeändert  
bleibt). — (Diese Arbeit von Schottky bezieht  
sich übrigens nicht nur auf den Fall der Kreis-  
schreibe, sondern auf jene allgemeineren Func-  
tionen, die ich auf p. 35 besprach; wir können  
hier darauf nicht eingehen).

Weber entwickelt, indem er bei der einfachen Functionentheore-  
tischen Auffassung bleibt, ein ausserordentlich einfaches Result.

Aut. Wir construirten soeben, dass im Falle der Kreis-  
scheibe die Wurzelfunctionen  $\sqrt{\frac{x-e_1}{x-e_2}}$ ,  $\sqrt{\frac{x-e_3}{x-e_4}}$ , etc. ein-  
deutig in  $\eta$  sind. Eben diese Functionen stellt nun  
Weber durch  $\infty$  Producte dar. Es seien  $a_1^{(i)}$ ,  $a_2^{(i)}$  die verschie-  
denen Punkte der  $\eta$ . Ebene, welche  $x=e_1, e_2$  in den aufeinander-  
derfolgenden Polygonen entsprechen. Dann hat man einfach:

$$\sqrt{\frac{x-e_1}{x-e_2}} = \prod \left( \frac{\eta - a_1^{(i)}}{\eta - a_2^{(i)}} \right)!$$

wobei das unendliche Product ohne Weiteres absolut con-  
vergirt, wenn man nur Sorge trägt, dass jeder Zähler mit  
seinem Nenner untrennbar vereinigt bleibt.

Um die Einfachheit dieses Resultates ganz zu verde-  
hen, müssen wir uns einen Augenblick die allgemeinen Mi 17.  
Funi  
1891  
Gesetze für die Productdarstellungen transcenden-  
ter Functionen vergegenwärtigen. Diese Gesetze  
sind zunächst für ganze Functionen von  $x$  von  
Weierstrass aufgestellt worden (Abhandlungen der Ber-  
liner Akademie, 1876: Zur Theorie der eindeutigen ana-  
lytischen Functionen) u. von Anderen <sup>\*)</sup>, insbesondere Mitt-  
ler u. Leffler, auf beliebige eindeutige Functionen ausgedehnt  
worden (vergl. des Letzteren zusammenfassende Abhandlung  
in Acta Mathematica II, 1884: Sur la représentation  
analytique des fonctions monogènes uniformes). Man  
kann diesen Untersuchungen zufolge jede eindeutige ana-  
lytische Function als den Quotienten zweier absolut conver-  
genter Producte darstellen:

$$\prod \left[ \left(1 - \frac{\eta}{a_i}\right) e^{P_i(\eta)} \right] : \prod \left[ \left(1 - \frac{\eta}{b_i}\right) e^{Q_i(\eta)} \right],$$

die aber so gebildet werden müssen, dass man jeden Linear-  
factor, z. B.  $\left(1 - \frac{\eta}{a_i}\right)$  mit dem beigeetzten Factor  $e^{P_i(\eta)}$ , dem

\*) Functionen mit natürlicher Gränze betrachtet in dieser Hinsicht  
wohl zunächst Picard: Comptes Rendus 92, März 1881: Sur la décompo-  
sition en facteurs primaires des fonctions uniformes ayant une  
ligne de points singuliers essentiels.

convergenz - erzeugenden Zusatzfactor, untrennbar beisammen lässt. Handelt es sich darum, eine gegebene transcendente Function in dieser Weise darzustellen, so ist die Schwierigkeit natürlich die, diese Zusatzfactoren richtig u. möglichst einfach zu wählen. Die Einfachheit der Weber'schen Formel aber - um zu dieser zurückzukehren - ist nun die, dass man bei ihr alle Zusatzfactoren einsparen kann, sofern man nur, wie schon gesagt, jeden Factor des Zählers mit dem zugehörigen Factor des Nenners untrennbar verbunden denkt.

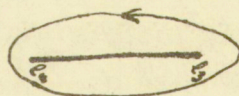
Den gleichen Grad der Einfachheit hat durch geschickte Zusammengruppierung seiner Factoren auch Schottky l.c. erreicht. Inzwischen müssen wir, um über sein Resultat Bericht zu erstatten, etwas weiter ausholen, u. über die Formen von  $x_1, x_2$ , die auf einer beliebigen über der  $x$ -Ebene ausgebreiteten Riemann'schen Fl. existieren, oder doch über diejenigen, die auf der zweiblättrigen Fläche  $V(x-e_1) \dots (x-e_6)$  existieren, Einiges angeben. Den rationalen Formen von  $x_1, x_2$ , die man in der schlichten Ebene betrachtet, entsprechen natürlich auf der Riemann'schen Fl. algebraische, auf der Fl. eindeutige Formen. Jetzt ist es ein Hauptsatz, dass man alle rationalen Formen  $R(x_1, x_2)$  in Zähler u. Nenner aus lauter Linearfactoren  $(x-y) = x_1 y_2 - x_2 y_1$  zusammensetzen kann, deren jeder natürlich nur an einer Stelle der  $x$ -Ebene verschwindet u. nirgends unendlich wird; da der einzelne Linearfactor nicht weiter zerlegbar ist, hat das eine gewisse Ähnlichkeit mit der Spaltung einer ganzen Zahl in ihre Primfactoren. Wird man nun eine entsprechende Theorie für die auf einer Riemann'schen Fl. in Betracht kommende Formen aufstellen können? Finden man

einen Grundgedanken von Weierstraß aufnimmt, ihn aber durch Einführung homogener Veränderlicher noch reiner ausgedrückt, kann man das in der That erreichen, wie ich in Math. An. 36. p. 10ff. (1889, Für Theorie der Abel'schen Functionen) gezeigt habe. Ich bezeichne die betreffenden „Primformen“ mit dem Zeichen  $\mathcal{A}(x, y)$ .

Der Grad dieser Primformen ist im Allgemeinen eine gebrochene Zahl; für die zweiblättrige Fl.  $\sqrt{(x-e_1)\dots(x-e_6)}$  ist er  $-\frac{1}{2}$ . Dabei sind die Primformen nicht etwa algebraische, sondern transcendente Formen, sie sind auch auf der Riemann'schen Fl. nicht eindeutig, sondern ändern sich, wenn  $x$  einen Umlauf macht, im allgemeinen um einen Exponentialfactor. Auch sind die Primformen nicht völlig definiert. Bleiben wir z. B. bei unserer blättrigen Fl., bei welcher wir  $z$  überall endliche Integrale haben,  $v_1$  und  $v_2$ , so werden wir aus einer beliebig angenommenen Primform  $\mathcal{A}(x, y)$  eine andere erhalten, indem wir den Factor

$$e^{c_{11} \left( \int_y^x dv_1 \right)^2 + c_{12} \left( \int_y^x dv_1 \cdot \int_y^x dv_2 \right) + c_{22} \left( \int_y^x dv_2 \right)^2}$$

(wo die  $c_{ik}$  beliebig anzunehmen sind) hinzufügen. Man kann diesen Exponentialfactor gebrauchen, um die Primform zu normiren. Speciell im Falle unserer blättrigen Fl. z. B. kann man erreichen, dass die Primform bei einem einfachen Umlaufe des  $x$  um  $e_1, e_2$ , wie um  $e_3, e_4$  u.  $e_5, e_6$ , sich eindeutig reproducirt:



Mit dem so normirten  $\mathcal{A}(x, y)$  haben wir den den Uebergang zu der Schottky'schen Arbeit.



In der That, lässt man dem  $x$  in der automorphen Ebene den Pkt  $\xi$ , dem  $y$  den Pkt  $\eta$  entsprechen, u. setzt dann homogen ma. stehend:

$$\xi = \frac{\xi_1}{\xi_2}, \quad \eta = \frac{\eta_1}{\eta_2}, \quad \left\{ \begin{array}{l} \text{wobei } \xi_1, \xi_2 \text{ in } x_1, x_2 \\ \text{vom Grade } -1/2! \end{array} \right.$$

so erkennt man, dass  $\Lambda(x, y)$  in  $\xi_1, \xi_2, \eta_1, \eta_2$  eindeutig sein wird. Sein Grad in  $\xi_1, \xi_2$ , wie in  $\eta_1, \eta_2$  wird dabei  $= +1$  sein. Und in der That hat nun Schottky gerade diese normirte Primform durch ein unendliches Product dargestellt; er hat allerdings in seiner Arbeit keine homogenen Variablen gebraucht, u. es ist darum im 1. Augenblicke etwas schwer, sich in derselben zu recht zu finden, aber es bedarf, um sein Resultat unseren Ausschauungen entsprechend zu gestalten, schliesslich nur einer ganz geringen Modification. Die einfache Formel ist schliesslich:

$$\Lambda(x, y) = (\xi \eta) \prod \left( \frac{(\xi \eta_i) (\eta \xi_i)}{(\xi \xi_i) (\eta \eta_i)} \right) \cdot (\text{normirte Primform})$$

Das Product erstreckt sich, wie ersichtlich, über lauter Doppelverhältnisse, u. ist absolut convergent, sofern man nur die 4 Factoren des einzelnen Doppelverhältnisses un trennbar beisammen lässt. Man kann das Weber'sche Resultat aus dieser Formel ableiten, indem man das  $y$  einmal in den einen, das andere Mal in den anderen Verzweigungspkt der R. Ft. rücken lässt u. dann die beiden  $\Lambda$  durch einander dividirt.

Für den hyperbolischen Fall hat man die Untersuchungen über Productbildung automorpher Functionen noch nicht zu dem hiermit bezeichnen befriedigenden Abschluss geführt. Der Zielpkt bei Aufstellung bez. Producte müsste doch sein, die Poincaré'schen Theoreme zu vermeiden: so viel ich aber sehen kann, hat man nur erst solche Producte

te aufgestellt, bei denen die Linearfactoren von solchen Con-  
vergenz-erzeugenden Zusatzfactoren begleitet sind, die selbst  
nur durch Poincaré'sche Thetareihen dargestellt werden können.  
Man vergl. hierzu:

v. Mangoldt: Ueber eine Darstellung elliptischer Modul-  
functionen durch unendliche Producte nebst einer Ausdeh-  
nung des Verfahrens auf allgemeinere Functionen. (Götting-  
ger Nachrichten 1886, p. 1. ff.; es werden dort die allgemein-  
sten hyperbolisch-automorphen Functionen mit  $p=0$  in Be-  
tracht gezogen). — Ferner:

H. Pahl: Ueber die Darstellung der eindeutigen  
Functionen, die sich durch lineare Substitutionen reproducir-  
en, durch unendliche Producte (Math. Annalen 33, 1888, p.  
291 ff. bez. p. 604, Ausdehnung auf die Fälle  $p > 0$ ).

Es wäre sehr wünschenswerth, auch im hyperbolischen  
Falle die Untersuchung bis zu einer wirklichen Darstellung  
der Primform  $N(x, y)$  durchzuführen. —

Im Uebrigen möge hier noch folgende Ueberlegung  
ihre Stelle finden. Für alle Darstellungen automor-  
pher Functionen ist es die notwendige Vorbedingung,  
dass man sich klar wird, wie man die Functionen  
auf der in Betracht kommenden Riemann'schen Fl. aus  
einfachen Elementen zusammensetzen will. Wenn wir vor-  
hin befürworteten, dieselben als Producte, bez. Quotien-  
ten aus Primformen aufzubauen, so ist das nur eine  
der in dieser Hinsicht sich darbietenden Möglichkei-  
ten. Eine andere Art, u. die ist gewissermassen bei den  
Poincaré'schen Thetareihen zu Grunde gelegt, knüpft  
an die Zerlegung der Functionen in Partialbrüche an.  
Aber man kann diese Zerlegung noch einen Schritt  
weiter führen, indem man die in Betracht kommenden

Functionen  $f$  je in ihren reellen u. imaginären Theil zerlegt:  $f = u + iv$  und nun die einzelnen Bestandtheile  $u, v$  als Potentiale auf der Riemann'schen Fl. studirt. Dies ist eine Anschauungsweise, welche ich früher mit Vorliebe benutzte habe (vergl. meine Schrift von 1881: "Über Riemann's Theorie der algebra. Functionen, meine Abhandlung von 1882 in Ann. 24, endlich meine Vorlesungen von Pomer 1888 (Potential 2, Abel'sche Functionen 1)). Und in der That führt dieselbe zu einem ausserordentlich einfachen Resultate hin, dass nämlich alle auf der R. Fl. in Betracht kommenden Potentiale sich aus einem einzigen, eindeutigen, von 4 Stellen der Fl. abhängigen Potentiale, dem „Hauptpotential“

$$H \begin{matrix} x, y \\ x', y' \end{matrix}$$

sich in einfachster Weise zusammensetzen lassen<sup>\*)</sup>. Dieses Hauptpotential wird logarithmisch unendlich, wenn man  $x$  mit  $x'$  oder  $y'$  zusammenfallen lässt, u. ändert sein Zeichen, wenn man  $x$  mit  $y$  vertauscht, wird also insbesondere gleich Null, wenn man  $x$  gleich  $y$  nimmt. — Offenbar sollte man suchen, indem man  $\eta = \zeta + i\theta$  setzt, dieses Hauptpotential als eindeutige automorphe Function von  $\zeta$  u.  $\theta$  darzustellen, u. ich kann nicht zweifeln, dass dies durch ausserordentlich einfache Formeln gelingen muss! Das gäbe dann einen neuen Eingang in die Theorie der automorphen Bildungsgesetze. Von den Beweisen des Kreisscheiben- und des hyperbolischen Theorems.

Wir kehren jetzt zu jenen Fällen zurück, welche wir vor Pfingsten vorläufig mitgetheilt haben u. die uns dann der

<sup>\*)</sup> In den „Modulfunktionen“ p. 504 ff. wird der besondere Fall dieses  $H$  als „elementares Potential 2ter Gattung“ betrachtet, der entspricht, wenn  $x'$  und  $y'$  zusammenfallen.

Anlaß zu dem allgemeinen Exkurs über automorphe Functionen geworden sind. Ich meine das Kreis-scheibentheorem u. das hyperbolische Theorem (wie wir uns damals kurz ausdrückten). Wir beschäftigten uns damals allgemein mit den Differentialgleichgen 3. Ordnung:

$$[y]_x = \frac{1}{(x-e_1) \cdot (x-e_2) \cdot \dots \cdot (x-e_n)} \left\{ \frac{1-\lambda_i^2}{2(x-e_i)} (e_2 - e_1) \cdot \dots \cdot (e_n - e_1) + \dots + 2(Ax^{n-1} + Bx^{n-2} + \dots) \right\}$$

u. hatten die Frage aufgeworfen, ob wir dem  $\eta$  solche Periodicitäts-eigenschaften auferlegen (solche Eigenschaften der conformen Abbildung vorschreiben) können, dass da, durch bei gegebenen  $e_1, \dots, e_n, \lambda_1, \dots, \lambda_n$  die accessori-schen Parameter  $A, B, \dots$  gerade eindeutig bestimmt werden? Und da behauptete nun das Kreis-scheiben-Theorem:

dass wir, falls  $n$  eine gerade Zahl ist u. alle  $\lambda_i = \frac{1}{2}$  sind, als Abbild der Halbebene  $x$  gerade eine reducirt Kreis-scheibe vorschreiben dürfen, das hyperbolische Theorem aber:

dass wir bei beliebigen  $n$ , sofern nur die  $\lambda_i = \frac{1}{2}$  sind, als Abbild der Halbebene  $x$  ein reducirtes hyperbolisches Polygon verlangen dürfen.

Die Wichtigkeit dieser Theoreme dürfte für uns jetzt ausser Zweifel stehen, denn von ihnen hängt ab, ob wir die besprochenen automorphen Darstellungen für beliebige Halbebenen ( $e_1, e_2, \dots, e_n$ ) in Anwendung bringen können. Wie aber steht es mit den Beweisen? Im allgemeinen wird man wohl sagen dürfen, dass man in verschiedener Form genügende Beweisgründe besitzt, dass aber eine genaue Durchführung der Beweise noch aussteht u. dringend zu wünschen wäre.

Die Beweismethode, auf welche Poincaré u. ich

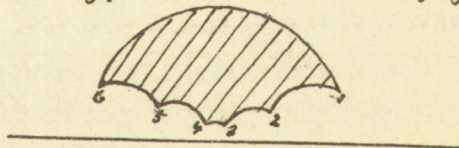
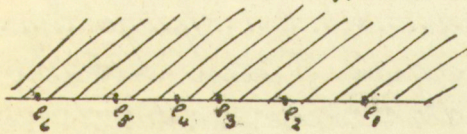
ursprünglich unabhängig gekommen sind, beruht auf Con-  
 sistentenbetrachtungen. Ich werde vorab von 2 anderen  
 Ansätzen sprechen, deren Kenntniss ich mündlicher Mitthei-  
 lung von Prof. Schwarz verdanke. Ich will dieselben  
 hier als die Methode der conformen Abbildung u. als  
 die Methode des constanten Krümmungsmaasses bezeich-  
 nen.

### 1. Die Methode der conformen Abbildung.

So. 20. Juni. 91.

Die Methode bezieht sich gleichförmig auf den Fall  
 des hyperbolischen u. des Kreisscheibentheorems, ich wer-  
 de mich zuerst auf Besprechung des hyperbolischen The-  
 orems beschränken. Die allgemeine Idee ist, die funda-  
 mentalen Sätze über die conforme Abbildung einfach  
 zusammenhängender Bereiche auf solche Gebiete auszu-  
 dehnen, welche die Ebene  $x$  in Gestalt einer unendlich-  
 blättrigen  $R. Fl.$  überdecken.

Nehmen wir zunächst an, wir haben der Halbebene  
 $x$  mit den Verzweigungsstellen  $e_1, e_2, \dots, e_n$  in der That  
 ein reducirtes hyperbolisches Polygon der  $\eta$ . Ebene zuge-  
 wiesen:



Aus letzterem entsteht dann in bekannter Weise durch  
 immer wiederholte Spiegelung eine Einteilung der  
 Halbebene  $\eta$  in unendlich viele, abwechselnd schraffir-  
 te und nicht schraffir-

\* Die bez. Ideen wurden mir von Prof. Schwarz im Jahr 1882 mitgetheilt,  
 als ich eben in Bd. 29 der Annalen das allgemeine (auf beliebiges  $p$  be-  
 zügliche) hyperbolische Theorem hätte drucken lassen, u. ich Sta-  
 tion in Göttingen machte.

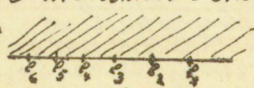
An Polygone. Der neue Gedanke, den wir jetzt erfassen, ist  
 der, dass wir diese Eintheilung der  $\eta$ . Ebene in eine über der  
 $x$ . Ebene ausgebreitete  $R$ . Fl. umsetzen, - die  $R$ . Fl., welche  
 den Verlauf der Function  $\eta(x)$  darstellt u. deren unendlich  
 viele die beiden Halbebenen  $x$  überdeckenden Halblät.,  
 der ebenso unter einander zusammenhängen, wie die un-  
 sprechenden Polygone der  $\eta$ . Ebene. Augenscheinlich kön-  
 nen wir von dieser  $R$ . Fl. eine Definition geben, ohne die  
 Existenz der Function  $\eta(x)$  zu kennen. Wir haben nur folgen-  
 dermassen zu sagen: Die Fläche hat unendlich viele Blät.,  
der, welche nur so mit einander zusammenhängen, dass  
um den einzelnen Pkt  $l_i$  herum jedesmal  $l_i$  Blätter im  
Cyclus verbunden sind. Der grösseren Deutlichkeit hal-  
 ber werden wir die Fl. nach der von mir in Bd. 14 der In-  
 nalen eingeführten Ausdrucksweise (Ueber die Transfor-  
 mation siebenter Ordg. der elliptischen Functionen, 1878)  
 als eine reguläre, oder noch besser als eine regulär-sym-  
metrische Fl. bezeichnen: die Regularität beruht da-  
 rin, dass jedes Blatt derselben genau so mit den Rich-  
 barblättern verzweigt ist, wie jedes andere. die Sym-  
 metrie darin, dass die Fl. auch noch bei Spiegelung  
 an der reellen Axe in sich übergeht. Diesen Attribu-  
 ten entsprechend gestaltet die Fläche unendlich vie-  
 le eindeutige Transformationen der einen wie der an-  
 deren Art in sich selbst (unendlich viele conforme Ab-  
 bildungen auf sich selbst, ohne u. mit Umlegung der  
 Winkel), vermöge deren einem beliebigen Halblatte  
 der Fl. ein beliebiges Halblatt zugewiesen werden kann.  
 Besagte unendlich-blättrige Fläche erscheint vermö-  
 ge der Function  $\eta(x)$  (deren Existenz wir einen Au-  
 genblick lang wieder voraussetzen) auf die Halb-

ebene  $\eta$  genau so conform abgebildet, als wenn sie eine einfach zusammenhängende einfach berandete Fläche wäre. Und nun ist der weitere Gedanke, den Prof. Schwarz in Anregung bringt, dieser, dass die Existenz der Function  $\eta(x)$  mit allen ihren Eigenschaften folgt, so bald es gelingt, die Abbildbarkeit der independent definirten unendlich blättrigen Fl. auf die Halbebene  $\eta$  darzutun! Im 1. Augenblicke scheint allerdings nur zu folgen, dass die Halbebene  $\eta$  den unendlich vielen Halbblättern unserer Fl. entsprechend in unendlich viele Bereiche getheilt sein wird, welche so neben einander liegen, wie die Halbebenen zusammenhängen, so also, dass in einem Pkte, der  $x = \epsilon_i$  entspricht, immer 2  $\epsilon_i$  Bereiche zusammensetzen, — man sieht nicht, weshalb diese Bereiche alle Kreisverwand sein sollen. Aber dies ergibt sich sofort, sobald man sich an die unendlich vielen eindeutigen Transformationen erinnert, durch welche unsere  $\infty$ . blättrige Fläche in sich überging. Diesen unendlich vielen eindeutigen Transformationen müssen natürlich ebenso viele conforme Abbildungen der Halbebene  $\eta$  auf sich selbst entsprechen, vermöge deren man jeden Bereich der  $\eta$ . Ebene jedem anderen zuordnen kann. Und nun braucht man sich nur zu erinnern, dass es keine anderen eindeutigen Transformationen der Halbebene  $\eta$  in sich gibt, als diejenigen, die durch lineare Transformation gegeben werden!

Die Existenz der  $\eta$ . Function ist so, wie man sieht, an ein bestimmtes Theorem aus der Lehre von der conformen Abbildung gebunden. Aber zugleich ergibt ein Blick auf die uns bekannte Eintheilung der  $\eta$ . Ebene einen Ansatz, wie man besagtes Theorem wird beweisen können.

Man betrachte ein erstes Polygon  $P_0$  der  $\eta$ . Ebene, u. umgebe dies successive mit einem immer breiter werdenden Kranz weiterer Polygone. Möge so aus  $P_0$  zuerst  $P_1$ , dann  $P_2, \dots$  hervorgehen. Augenscheinlich dürfen wir die Halbebene  $\eta$  als die Gränze ansehen, der diese Polygonreihe:  $P_0, P_1, P_2, \dots$  zustrebt. Man denke sich jetzt die Bereiche  $x_0, x_1, x_2, \dots$  über der  $x$ . Ebene construirt, welche diesen  $P_0, P_1, \dots$  entsprechen:  $x_0$  ist einfach die erste Halbebene  $x$  selbst,  $x_1$  ist ein Aggregat von Halbebenen,  $x_2$  ein noch zahlreicheres Aggregat, etc. etc. Augenscheinlich ist die unendlich-blättrige R. Fl., welche wir über der  $x$ . Ebene zu construiren haben, als Gränze dieser successiven Bereiche  $x_0, x_1, x_2, \dots$  anzusehen. Nun werden wir folgendermassen sagen: Nach dem Fundamentalsatz der conformen Abbildung kann man jeden einzelnen dieser Bereiche:  $x_0, x_1, x_2, \dots$ , in, sofern er einfach zusammenhängend u. einfach berandet ist, auf eine Halbebene  $\eta$  conform abbilden. Die Abbildung unserer unendlich-blättrigen Fläche auf die Halbebene  $\eta$ , deren Möglichkeit wir beweisen wollen, erscheint als Endpkt dieser ganzen Reihe conformer Abbildungen. Alles kommt also darauf an, nachzuweisen, dass die verschiedenen Bilder, welche ein beliebiges Stück von  $x_0$  bei diesen aufeinanderfolgenden Abbildungen zugewiesen erhält, einer bestimmten, wohldefinierten Gränze zustreben!

So viel über das hyperbolische Theorem. Was das Kreis-scheibentheorem angeht, so wird man den Beweis nur in 2 Punkten modificiren müssen. Nehmen wir die folgenden beiden Figuren:





Die unendlich blättrige über der  $x$ . Ebene auszubreiten, die Riemann'sche Fläche wird jetzt so definiert werden müssen, dass wir ausser cyclischem Zusammenhange von je zwei Blättern um die Punkte  $e_1, \dots, e_6$  herum auch noch verlangen, das die in der Figur angedeuteten Umgänge um 1 und 2, um 3 u. 4, um 5 u. 6 jeweils in das Blatt, von dem wir ausgingen, zurückführen. Andererseits werden wir die so entstehende unendlichblättrige Fl. nicht auf die Halbebene  $\eta$  abbilden wollen, vielmehr müssen wir versuchen, dieselbe, als wenn sie eine geschlossene Fl.  $p=0$  wäre, auf die Gesamtebene  $\eta$  abzubilden. Die unendlich vielen zugehörigen linearen Substitutionen des  $\eta$  ergeben sich dann daraus, dass das Gesamtgebiet  $\eta$ , ebenso wie vorher die Halbebene, nicht anders eindeutig auf sich selbst bezogen werden kann, als durch lineare Substitution. —

Die hiermit berührten Gedankenreihen sind nun von Poincaré aufgenommen worden<sup>7/</sup>. Aber Poincaré begnügte sich nicht damit, die Zuverlässigkeit derselben zu prüfen, vielmehr bemerkte er, dass man vermöge derselben ohne Vermehrung der eigentlichen Schwierigkeit des Beweises ein sehr viel allgemeineres Theorem beweisen könne, welches unser hyperbolisches Theorem (mitsamt seiner Erweiterung auf beliebiges  $p$ ) als ganz speciellen Fall umfasst. Hierauf bezieht sich seine Mittheilung:

Sur un Théorème de la théorie générale des fonctions  
im Bulletin de la Société Mathématique de France vom 18. Mai 1883 (p. 112-125 daselbst).

<sup>7/</sup> Nach persönlicher Besprechung mit Prof. Schwarz, Paris, Ostern: 1883.

Es handelt sich um Folgendes. Wir gedachten bereits vor Pfingsten der Erweiterung des hyperbolischen Theorems auf die Fälle  $p > 0$ . Wenn irgend eine endlichblättrige Riemann'sche Fl. über der  $x$ . Ebene gegeben ist, etwa durch eine algebraische Gleichg:  $f(y, x) = 0$ , so kann man dieselbe immer u. nur auf eine Weise (eventuell noch unter Berücksichtigung irgend welcher auf der Fl. vorgeschriebener Verzweigungspkte  $e_1, e_2, \dots$ ) auf einen reduzierten hyperbolischen Bereich der  $\eta$ . Ebene abbilden, so dass  $y$  und  $x$  reell automorphe eindeutige Functionen von  $\eta$  werden (die nur in der Halbebene  $\eta$  existiren). Auf diesen Fall über, trägt sich die Betrachtungsweise von Schwarz ohne Weiteres, nur dass nicht die  $x$ . Ebene sondern die Riemann'sche Fl.  $f(y, x) = 0$  es ist, welche man, in regulärer Weise mit der unendlich-blättrigen R. Fl. zu überdecken hat, deren Abbildung auf die Halbebene  $\eta$  zu bewerkstelligen ist. — Poincaré hat nun an Stelle der algebraischen Gl.  $f(y, x) = 0$  irgendwelche analytische Gleichg.  $f(y, x) = 0$  in Betracht gezogen. Da wird gleich die 1. Fl., welche  $y$  als Function von  $x$  definiert, unendlich viele Blätter haben können. Zeigen diese Blätter unter einander keinen anderen Zusammenhang als um ihre Verzweigungspkte herum, so wird diese Fl. selbst bereits zur Abbildung auf die Halbebene  $\eta$  geschickt sein. Wo nicht, muss man sie mit einer neuen unendlich-blättrigen Fl. überdecken, die eben dadurch definiert sein soll, dass sie ganz dieselben Verzweigungspkte besitzt, wie die ursprüngliche Fl., aber neben dem durch die einzelnen Verzweigungspkte vermittelten Blätterzusammenhänge keinen anderen Blätterzusammenhang aufweist. Diese neue Fl. bil.

den wir dann auf die Halbebene  $\eta$  ab. Dann erreichen wir offenbar, u. dies ist der neue Satz, dass die durch  $f(y, x) = 0$  irgendwie an einander geschobenen  $y, x$  beide durch eindeutige Functionen einer Hilfsgrösse  $\eta$  dargestellt sind, u. zwar durch solche eindeutige Functionen, die nur in der Halbebene  $\eta$  existiren. Dabei werden die Functionen  $y = \varphi(\eta), x = \psi(\eta)$  je, desmal dann automorphe Functionen sein, wenn die Ri. Fl.  $y(x)$  noch anderen Blätterzusammenhang besass, als den durch ihre Verzweigungspunkte direct gebotenen. —

Es ist klar, wie wichtig die hier mit angedeuteten Entwicklungen einerseits durch ihre Methode andererseits durch ihr Resultat sind. In ersterer Hinsicht bezeichnen sie durch die grosse Allgemeinheit ihrer Prämissen sozusagen den Gipfelpunkt, welchen die geometrische Functionentheorie, die von den Ri. Fl. auf die Existenz der Functionen schliesst, bis jetzt erreicht hat. In letzterer Hinsicht brauche ich nur an die frühere Bemerkung zu erinnern, der zufolge es bei beliebig vorgelegten analytischen Abhängigkeiten jedes Mal eine Hauptaufgabe ist, eine eindeutig machende Variable zu finden. Um so mehr

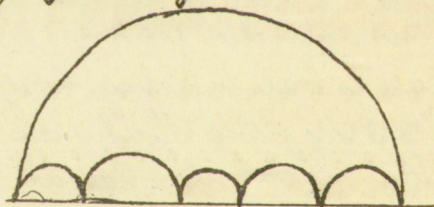
x) Ich habe dieselben gegenüber dem Poincaré'schen Originale ein wenig modificirt: P. nimmt der Einfachheit der Darstellung wegen an, dass die unendlich. blättrig. Fl., die auf die Halbebene  $\eta$  abgebildet werden soll, auch um die Verzweigungspunkte herum nie in das Anfangsblatt zurückführt.

wird zu untersuchen sein, ob die von Poincaré gege-  
benen Beweisgründe, bez. die Voraussetzungen, die  
er der Function  $\gamma(x)$  auferlegt, für die Geltung des The-  
orems ausreichend sind. /<sup>x)</sup>

Zu dem in Rede stehenden Beweise des hyperbo., Mi. 2  
lischen Theorems ist nun vor allen Dingen Poincaré in Ann.  
Sci. III (1883) zu vergleichen (Pur les groupes des équations  
linéaires, hier in Betracht komend das „Troisième pro-  
blème“, von S. 1, p. 294 beginnend). Aber wir ziehen vor,  
auf die genannte Abhandlung erst später im Zusam-  
menhang zurückzukommen, u. besprechen lieber vorab  
nur den besonderen Fall der bez. Ueberlegungen, der  
von Schlesinger in der schon genannten Arbeit: Sur  
Théorie der Fuchs'schen Functionen in Bd. 105 des Four-  
nals (1889) ausgeführt worden ist.

Schlesinger beschränkt sich auf denjenigen Fall  
 $p=0$  mit lauter reellen Verzweigungspunkten  $e_1, e_2, \dots, e_n$ ,  
wo alle  $\lambda_1, \dots, \lambda_n$  gleich Null sind, wo also das einzelne  
Polygon der  $\eta$ . Ebene etwa folgende Gestalt hat:

Nehmen wir dies ge-  
zeichnete Polygon als  
 $P_0$ , so ist die Frage,  
durch welchen bestim-  
ten Process wir von  $P_0$  zu  
 $P_1$ , weiter von  $P_1$  zu  $P_2$  etc. kommen wollen?

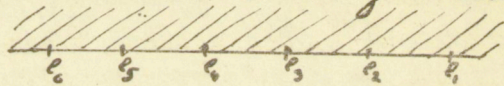


In die-  
ser Hinsicht drückt Schl. die einfache Festsetzung, dass  
 $P_1$  aus  $P_0$  u. den  $n$  Polygonen  $P_0'$  bestehen soll, wel-  
che aus  $P_0$  durch einmalige Spiegelung an seinen

x) vergl. die Bemerkungen von Klein in der Vorrede zu seiner  
Schrift: Die Grundlagen der Theorie des logarithmischen Po-  
entials u. der eindeutigen Potentialfunctionen in der Ebene  
(1882).

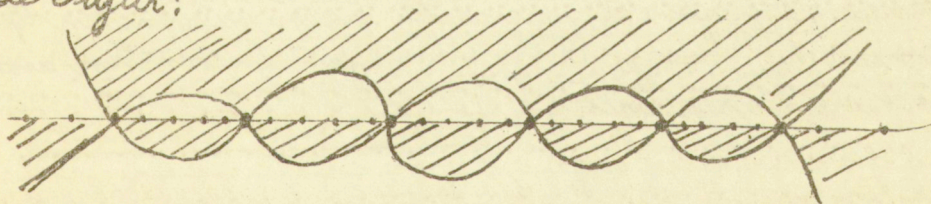
verschiedenen Seiten entstehen.  $P_1$  hat hiernach  
 $n + n(n-2) = n(n-1) = n$ , Ecken. Von  $P_1$  gehen wir dann  
 vermöge desselben Gesetzes zu  $P_2$  über (das also neben  
 $P_1$  noch  $n$ , Spiegelpolygone  $P_1'$  enthalten wird), von  $P_2$   
 abermals vermöge desselben Gesetzes zu  $P_3$ , etc. etc.  
 Es ist kaum nöthig, von den Aggregationen  $x_0, x_1, x_2, \dots$   
 von Halbebenen zu sprechen, welche diesen  $P_0, P_1, P_2, \dots$   
 über der  $x$ . Ebene correspondiren. Vielmehr  
 wollen wir gleich dazu übergehen,  $P_0, P_1, P_2, \dots$   
 auf eine einfache Halbebene abzubilden, die dann  
 beziehungsweise  $\eta_0, \eta_1, \eta_2, \dots$  heissen mag, u.  
 den Zusammenhang zwischen den aufeinander,  
 folgenden Variablen  $\eta_0, \eta_1, \eta_2, \dots$  zu erforschen,  
 deren letzte,  $\eta_n$ , eben das  $\eta$  ist, auf dessen Construc-  
 tion wir schliesslich abzielen. Die Ebene  $\eta_0$  ist natür-  
 lich keine andere als  $x_0$  u. demnach so vorzustellen:

Wir zeichnen ferner,



die Ebene  $\eta_1$  und man,

sehen, wie sie den zweierteil Halbebenen  $\eta_0$  entspre-  
 chend in  $2n+2$  Parzellen zerfällt. Es gibt dies folgen-  
 de Figur:



(bei der wir die  $n_1 = n(n-1)$  Verzweigungspkte, wel-  
 che die reelle Axe trägt, sämtlich markirt haben).  
 Diese Fig. kann natürlich dadurch ersetzt werden,  
 dass man über der Ebene  $\eta_0$  eine  $(n+1)$ . blätterige  
 Fläche dergestalt ausbreitet, dass an den Stellen  $e_1, e_2, \dots$

$e_n$  jedesmal 3 der  $(n+1)$  Blätter im Cyclus vereinigt sind; nur muß man dabei wohl auf die richtige Aufeinanderfolge der mit einander verzweigten Blätter achten, u. da diese nur complicirt zu beschreiben ist, so bleiben wir schliesslich am besten bei der gerade in der  $\eta_1$ -Ebene gezeichneten Fig., in der diese Aufeinanderfolge von selbst hervortritt. \* / Jedenfalls ist nach dem hiermit Gesagten

$$\eta_0 = R_{n+1}^{(0)}(\eta_1),$$

unter  $R_{n+1}^{(0)}$  eine rationale Function  $(n+1)$ ten Grades vorstanden, deren Coefficienten von den  $e_1, \dots, e_n$  in bestimmter Weise abhängen müssen; Schl. unternimmt nicht weiter, dieses  $R_{n+1}^{(0)}$  wirklich zu bilden. Weiterschliessend werden wir dann genau entsprechende Formeln haben:

$$\eta_1 = R_{n+1}^{(1)}(\eta_2),$$

$$\eta_2 = R_{n+1}^{(2)}(\eta_3), \dots$$

(wo die  $R^{(0)}, R^{(1)}, \dots$  alle das gleiche noch unbekanntes Bildungsgesetz haben), schliesslich ist

$x = \eta_0 = R_{n+1}^{(0)}(R_{n+1}^{(1)}[R_{n+1}^{(2)} \dots (\eta_\infty = \eta)])$  und dabei natürlich zu zeigen (was Schl. ausführt), dass die Aufeinanderfolge der unendlich vielen rationalen Operationen  $R_{n+1}^{(0)}, R_{n+1}^{(1)}, R_{n+1}^{(2)}, \dots$  einen bestimmten analytischen Limes besitzt. —

x) Auf diese Verhältnisse bezieht sich, was ich oben über eine wesentliche Unrichtigkeit in der Schlesinger'schen Arbeit sagte. Schl. drückt sich so aus, als wär die  $(n+1)$  blättrige Fl. durch die Angabe, dass an den Stellen  $e_1, \dots, e_n$  jedesmal 3 Blätter cyclisch verbunden sind, eindeutig bestimmt sei. Dies ist natürlich falsch; die Aufgabe, eine R. Fl. aus der Lage der Verzweigungsphän. in der  $x$ -Ebene u. der zugehörigen Multiplicitäten zu bestimmen, ist allgemein zu reden, eine ausserordentlich vieldeutige. In neuerer Zeit hat sich Hurwitz mit dem in dieser Hinsicht vorliegenden Problem eigens beschäftigt; die Arbeit erscheint demnächst in Ann. 39.

## 4. Die Methode des constanten Krümmungsmaasses.

Diese 2te Methode bezieht sich ausschliesslich auf den hyperbolischen Fall. Sie geht davon aus, dass man die bei ihm in Betracht kommenden linearen Substitutionen  $\eta' = \frac{\alpha \eta + \beta}{\gamma \eta + \delta}$  in bekannter Weise als Bewegungen einer nicht-Euklidischen Maassbestimmung (einer Maassbestimmung constanten negativer Krümmung) ansehen kann, für welche die reelle Axe der  $\eta$ . Ebene das Unendlich-Weite vorstellt. Setzen wir  $\eta = \zeta + i\theta$  u. verstehen wir unter  $K$  den (willkürlich anzunehmenden) Betrag des bez. Krümmungsmaasses, so wird das zugehörige Bogenelement durch folgende Formel gegeben sein:<sup>x)</sup>

$$4 ds = \frac{\sqrt{d\zeta^2 + d\theta^2}}{-K \cdot \theta^2}$$

Dieses Bogenelement betrachten wir jetzt, indem wir  $x = y + iz$  setzen, in der  $x$ . Ebene. Indem die  $\eta$ . Ebene u.  $x$ . Ebene, allgemein zu reden, conform aufeinander bezogen sind, werden wir von vornherein setzen dürfen:  $ds^2 = E(dy^2 + dz^2)$ ; es handelt sich nur noch darum, die Grösse  $E$  als reelle Function der reellen Variablen  $y, z$  zu bestimmen. Und da ist nun das Wesentliche, dass wir bei ihr ohne Weiteres das Vorhandensein gewisser einfacher Eigenschaften erkennen, welche rückwärts für dieselbe charakteristisch sind. Wir bemerken:

1) dass  $E$  als reelle Function der reellen  $y, z$  jeden falls eindeutig ist<sup>xx)</sup> (weil die unendlich vielen Stellen

<sup>xx)</sup> man kann  $E$  als Function der complexen Variablen  $y, z$  noch beliebig viel deuten, wie wir doch ausdrücklich hervorheben wollen, damit in dieser Hinsicht keine Zweifel entstehen.

<sup>x)</sup> vergl. z. B. meine nicht-Euklidische Vorlesung, Februar 1890. — Diese Formel lässt die automorphen Figuren des hyperbolischen Falles sofort in congruente Gebietsentheilungen auf Flächen constanten Krümmung übertragen, was besonders anschaulich ist. vergl. Schwarz, Abhandl. II, p. 367-368.

der  $\eta$  Ebene, oder dem der Fl. constanten negativer Krümmung, welche einer Stelle der  $x$ . Ebene entsprechen, alle dasselbe  $ds^2$  liefern!);

2) dass  $E$  in der  $x$ . Ebene überall stetig ist, ausser in den Pkten  $e_1, \dots, e_n$ , in denen es in bestimmter Weise algebraisch unendlich wird;

3) dass  $E$  für unendlich grosse Werthe der  $y, z$  in bestimmter Weise verschwindet;

4) dass  $E$  den folgenden Ausdruck für das Krümmungsmaass liefert:

$$K = \frac{\left(\frac{\partial E}{\partial y}\right)^2 + \left(\frac{\partial E}{\partial z}\right)^2}{4E^3} = \frac{\frac{\partial^2 E}{\partial y^2} + \frac{\partial^2 E}{\partial z^2}}{4E^2},$$

u. daher der durch diese Formel vorgestellten partiellen Differentialgleichg. (in der wir  $K$  als eine vorgegebene Constante ansehen werden) genügt. —

In der That, nehmen wir an, dass wir eine reelle Function  $E$  der reellen  $y, z$  kennen, welche die 4 Bedingungen befriedigt, so wird die Formel

$$ds^2 = E(dy^2 + dz^2)$$

von selbst eine Abbildung unserer  $x$ . Ebene auf die Fl. constanten Krümmung, bez. die  $\eta$ . Ebene, ergeben, welche automorph ist etc. etc. u. damit allen Anforderungen des hyperbolischen Theorems genügt. —

Damit also stellt sich der Beweis des hyperbolischen Theorems so, dass man verlangen wird, durch directe Betrachtung die Existenz einer Function  $E(y, z)$  nachzuweisen, welche den aufgezählten 4 Bedingungen genügt!

Wir vereinfachen diese Fragestellung noch so dass wir  $E = e^{u(y, z)}$  setzen. Die partielle Differentialgleichg.



4) nimmt dann die einfache Form an:

$$\frac{d^2 u}{dy^2} + \frac{\partial^2 u}{\partial z^2} = -2Ke^u$$

während sich 2) u. 3) in leicht ersichtlicher Weise modifizieren. Damit haben wir nun genau die Preisaufgabe, welche die Göttinger Societät im Dec. 1889 für 1891 gestellt hat! (vergl. G. Nachrichten von 1889, p. 560 ff.)

Hierzu ist Folgendes zu bemerken:

1) Wenn wir hier eine Frage aus der Theorie der analytischen Functionen einer complexen Veränderlichen auf die Integration einer partiellen Differentialgleichg. im Gebiete zweier reellen Veränderlichen zurückführen, so ist das genau in Uebereinstimmung mit der Rolle, welche die einfachere partielle Differentialgleichg.  $\frac{\partial^2 u}{\partial y^2} + \frac{\partial^2 u}{\partial z^2} = 0$  in den Elementen der Riemann'schen Functionentheorie spielt.

2) Man hat dabei die letztere Differentialgleichg. beinahe so zu behandeln, dass man zuerst die Randwerthaufgabe studirt, ~~d. h. die Aufgabe, u auf einer bestimmten Fl. aus den für den Randwerthaufgabe st.~~, d. h. die Aufgabe, u auf einer bestimmten Fl. aus den für den Rand vorgeschriebenen Werthen (u. d. w. im Inneren vorgeschriebenen Unendlichkeitsstellen) zu bestimmen, u. dann von der bestimmten Fl. den Grenzübergang zur geschlossenen Fl. macht. Genau so wird man bei unserer neuen partiellen Differentialgleichg. verfahren wollen (vergl. den Wortlaut der Preisaufgabe).

3) Als weitere Vergleichspunkte wird man bei dieser Aufgabe natürlich die Theorie allgemeinerer Differentialgleichgen verwandter Art in Betracht ziehen wollen. Man vergleiche in dieser Hinsicht die Festschrift von Schwarz von 1885 (Ges. Abhandl. I, p. 223 ff.) so wie das neuerdings erschienene Buch von Pochels:

Ueber die Glchg.  $\Delta u + K^2 u = 0$  und ihr Auftreten in der mathematischen Physik. (Leipzig 1891). —

In der That hat nun Picard die hiermit bezeichneten Ansätze neuerdings in Untersuchung gezogen. In den Comptes Rendus vom 23. Sept. 1889 u. 13. Juni 1890 kündigt er sogar an, dass ihm die volle Erledigung der Frage gelungen sei. Aber der Gränzübergang von der veränderten Fl. zur geschlossenen Fl. erwies sich bei näherem Zusehen noch nicht als stichhaltig. So ist den in Picard's grosser Abhandlung in t. 6 des Journal de Mathématiques (ser. 4, 1890): Sur la théorie des équations aux dérivées partielles et la méthode des approximations successives, in welcher Kap. IV speciell einer Differentialglchg. gewidmet ist, für diese nur erst die Randwerthaufgabe behandelt. —

Rückständig ist jetzt nur noch die Besprechung Mi. 8. Fol. des von Poincaré u. mir aufgestellten Condi- <sup>1891.</sup> nitionsbeweises. Wir leiten dieselbe ein, indem wir jetzt nachträglich über die schon auf p. 110 genannte Arbeit Poincarés referiren (Acta IV: Sur les groupes des équations linéaires; dat. Okt. 1883), die unter den 5 hier in Betracht kommenden Abhandlungen, welche Poincaré in den Acta veröffentlicht hat, wohl die wichtigste ist. Die Arbeit umfasst 3 Theile, die wir der Reihe nach besprechen.

Theil I, l. c. p. 201-221. Hier handelt es sich allgemein um die Zusammenhänge, welche die algebraischen Parameter einer linearen Differentialglchg. (ihre Verzweigungswerte, Exponenten, accessorischen Parameter) und die Coefficienten der bei Umläufen

von  $x$  auftretenden linearen Substitutionen (also die transcendenden Parameter) darbieten. Die Sache ist insofern allgemeiner gefasst, als in der vorliegenden Vorlesung, als immer lineare Differentialgleichungen beliebiger ( $p^{\text{ter}}$ ) Ordg. mit in Discussion gezogen werden. Auch erledigt Poincaré die analytischen Beweise der Convergenz u. Stetigkeit viel eingehender, als hier in der Vorlesung geschieht, <sup>\*)</sup> wie er den, z. B. den schönen Satz aufstellt, dass die transcendenden Parameter ganze Functionen der Exponenten u. der accessorischen Parameter sind. Aber es scheint, dass unsere Darstellung nach 2 Richtungen tiefer eindringt, als die seinige. Erstlich geschieht dies durch die Verwendung homogener Variabler u. die da durch ermöglichte Heranziehung formentheoretischer Gesichtspkte. Ich glaube allerdings, dass Poincaré den Gebrauch homogener Variabler sehr wohl kennt u. nur aus Rücksicht auf die Gewöhnung des mathematischen Publicums von ihrer Verwendung bei der Reduction seiner Arbeiten absieht! (wie er das auch mit der Nicht-Euklidischen Geometrie thut, in Übereinstimmung mit den traditionellen Redaktionsprincipien der Franzosen, welche die subjectiven Anschauungsweisen, deren sich ein Autor bei seinen Untersuchungen bedient haben mag; durchgängig zurückdrängen, dafür aber auch die eigentliche Quelle der Überlegungen vielfach verdecken). Insofern hat ihn diese Rücksichtnahme auf die Anschauungsweisen

<sup>\*)</sup> Dies gilt zugleich für alle seine folgenden Entwicklungen.

Anderer wohl getrübt, das Princip der homogenen Variablen nach allen seinen Consequenzen durchzu-, denken. — Zweitens aber verfügt unsere Darstellung, indem sie durchweg von der Fig. in der  $\eta$ . Ebene ausgeht, u. nicht bloss von den Substitutionen, durch welche deren Ränder zusammengehören, über ein neu-, es Element. Sei  $\frac{\eta' - a}{\eta' - b} = \rho e^{i\varphi}$ ,  $\frac{\eta - a}{\eta - b}$  eine der in Betracht kommenden Substitutionen. Für die Poincaré'sche Darstellungsweise ist da die Amplitude  $\varphi$  nur modulo  $(2\pi)$  bestimmt, für uns aber ist sie eine ihrem absoluten Betrage nach festgelegte Grösse. Poincaré kann also, von Seiten der transcendenden Parameter aus, nicht zwischen gleichgruppigen (verwandten Functionen unterscheiden; bei uns rückt diese Unterscheidung in den Vordergrund, u. es ist eben in dieser Hinsicht, wie sie wissen, dass ich hoffe, die Theorie der linearen Differentialgleichungen zu einer neuen Entwicklung führen zu können. Da bei können wir unsere Untersuchungen sehr wohl auf lineare Differentialgleichungen p-ter Ordg. ausdehnen. Wir müssen da nur statt der einen Complexen Grösse  $y = y_1 : y_2$ , die wir bislang zu betrachten pflegen, die  $(p-1)$  complexen Verhältnisse  $y_1 : y_2 : \dots : y_p$  in die Betrachtung einführen u. also, um geometrisch operiren zu können, einen Raum von  $2p-2$  Dimensionen zu Grunde legen. Ist  $\frac{y_v}{y_p} = \zeta_v + i \theta_v$ , so liegt es natürlich am nächsten, geradezu die  $\zeta_v$ ,  $\theta_v$  als ebensoviele Cartesische Coordinaten anzusehen. Aber schon für  $p=2$  ist dies Verfahren, wie wir wissen, unzweckmässig, wegen der besonderen u. dem Wesen der Sache nicht entsprechenden

Verhältnisse, die dabei betreffs der  $\infty$  grossen Werthe der Veränderlichen hervordreten. Eben darum führt man statt der  $(3+i0)$ -Ebene mit Riemann die  $(3+i0)$ -Kugel ein. Wie man analog hierzu im Falle einer beliebig grossen Zahl von Variablen zu verfahren hat, hat Legre neuerdings gezeigt (*Rendicanti del Circolo Matematico di Palermo*, t. V, 1891: *Pulle varietà che rappresentano le coppie di punti di due piani o spazi*).

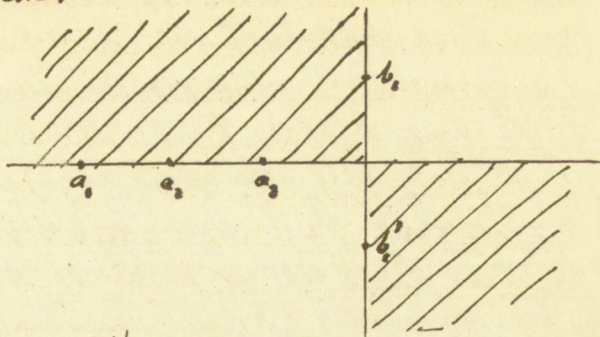
Theil II, p. 222-284. Hier entwickelt Poincaré insbesondere den Continuitätsbeweis, - unter ausschliesslicher Bezugnahme auf das hyperbolische Theorem, während ich bei meinen Erläuterungen in *Annalen* 21 (Abschnitt IV daselbst, p. 206-212) die Betrachtungen allgemeiner angelegt habe. Ich habe schon im vorigen Winter darauf hingewiesen (p. 111-112 der Autographie), dass Poincaré dabei ausführlich gewisse Gränzfälle der in der  $\eta$ -Ebene gelegenen Bereiche discutirt, bei denen sogenannte „hyperbolische Gipfel“ auftreten. Ich habe lange nicht glauben wollen, dass dies wesentlich ist u. dass die Nichtberücksichtigung der genannten Gränzfälle daher eine principielle Lücke meiner Auseinandersetzungen vorstellt. Ich habe mich aber inzwischen überzeugt, dass dem in der That so ist, u. werde dem Rechnung tragen, indem ich bei der folgenden Besprechung des Continuitätsbeweises auf diesen Pkt ganz besonders eingehen, wobei ich hoffe, das Zustandekommen u. die eigentliche Bedeutung der betreffenden Gränzfälle bis zur vollen Evidenz klar zu stellen.

\* Eine andere Frage ist, ob damit allein schon allen Anforderungen der Vollständigkeit hinsichtlich Rechnung getragen ist, obigen nicht über Poincaré hinausge-  
hend noch andere Gränzfälle, wie in Abschnitt VII oben, müssen

Hier vorab referire ich über eine besondere Entwicklung, welche Poincaré in §. 11. seiner Arbeit (p. 246 ff.) gibt. Es handelt sich dort darum (weñ ich die Sache gleich et, was allgemeiner bezeichnen darf) das Studium der unsymmetrischen  $\mathbb{R}$ -Flächen auf das Studium der symmetrischen Flächen zurückzuführen. Ist  $(x, y)$  ein Pkt. der unsymmetrischen Fl., so kann man eine symmetrische Fl.  $(X, Y)$  derart construiren, dass  $X = \mathbb{R}_1(x, y)$ ,  $Y = \mathbb{R}_2(x, y)$ , wo  $\mathbb{R}_1, \mathbb{R}_2$  rationale Functionen. Die unsymmetrische Fl. setzt sich dann also aus einer endlichen Zahl von Bereichen zusammen, deren jeder ein volles Abbild der symmetrischen Fl. ist. — Von dem allgemeinen hiermit angedeuteten Satz brachete Poincaré allerdings nur einen Specialfall, der für seine Zwecke ausreicht, u. den ich hier als Poincaré's Lemma bezeichnen will. Es ist eine Ebene  $x$  mit irgendwelchen reellen Verzweigungspunkten  $a_1, a_2, \dots, a_m$  u. anderen imaginären Verzweigungspunkten  $b_1, b_2, \dots, b_n$  gegeben, von denen der Einfachheit halber angenommen sei, dass sie keine  $\mathbb{R}$ -conjugiert-imaginären Pkte enthalten. Man kann dann  $X$  so als rationale reelle Function  $\mathbb{R}(x)$  einführen, dass den sämtlichen Pkten  $a_1, \dots, a_m, b_1, \dots, b_n$  reelle Werte  $A_1, A_m, B_1, \dots, B_n$  von  $X$  entsprechen. Denkt man sich also die  $x$ -Ebene durch ihre reelle Axe in 2 Halbebenen zerlegt, so werden diesen Halbebenen Parzellen der  $x$ -Ebene entsprechen derart, dass die Pkte  $a, b$  sämtlich auf die Abgränzungslinien der Parzellen zu liegen kommen.

Der Beweis dieses Lemmas ist so einfach wie möglich. Sei  $b'$  zu  $b$  conjugiert imaginär. So setzen wir  $x_1 = (x - b)(x - b')$ . Dann werden den Werten  $a_1, \dots, a_m, b_1$  von  $x$  bereits lauter reelle Werte von  $x_1$  entsprechen:  $a_1^{(1)}, \dots, a_m^{(1)}, b_1^{(1)}$ ;

Zerlegung der Ebene in  $x$  in Parzellen (den Halbebenen  $x$ , entsprechend) ist einfach diese:



Dagegen werden den  $b_1, b_2, \dots$  (allgemein zu reden) in der  $x$ , Ebene wieder imaginäre Pkte  $b_1^{(1)}, b_2^{(1)}, \dots, b_m^{(1)}$  correspondieren. Jetzt setzen

wir:  $X_2 = (x, -b_1^{(1)})(x, -b_2^{(1)})$  u. haben dann in der  $x_2$  Ebene noch  $m-2$  imaginäre Pkte. So fortfahrend erreichen wir offenbar unser Ziel, indem wir  $X = X_m$  nehmen. Den singulären Pkten  $A, \dots, A_n, B, \dots, B_n$  der  $x$  Ebene werden natürlich rückwärts in der  $x$  Ebene neben den vorgegebenen  $a, b$  noch eine ganze Reihe weiterer singulärer Pkte entsprechen<sup>4)</sup>.

Theil III, p. 285-309. In diesem 3ten Theile handelt es sich nunmehr um die Herstellung des hyperbolischen  $\eta$ , welches zu einer vorgegebenen Riemann'schen Fl. oder zu einer  $x$  Ebene mit vorgegebenen Verzweigungspunkten  $a, b$  gehört, — die Existenz dieses  $\eta$  ist ja schon durch Theil II sicher gestellt. Hier benutzt Poincaré nun gerade das oben geschilderte Verfahren der conformen Abbildung (p. 103-105), nur dass er den dort postulirten Convergencebeweis dafür, dass die unendliche Reihe der conformen Abbildungen einem Limes zustrebt, nicht

<sup>4)</sup> Eben auf dieses Lemma geht Poincarés ursprüngliche Methode zurück (auf welche oben, p. 39, hingewiesen wurde), beliebige algebraische Firationen ersetzen durch automorphe Functionen des hyperbolischen Typus eindeutig darzustellen: er sucht nämlich ein zur Halbebene  $x$  gehöriges hyperbolisches Polygon u. überzeugt sich dann, dass auch  $x$  und diejenigen Functionen von  $x$ , die nur an den gegebenen Stellen verzweigt sind, in diesem  $\eta$  eindeutig sind.

mehr zu führen hat, insofern er ja der Existenz dieses Limes, d. h. des  $\eta$ , von Vorneherein sicher ist. Des Näheren aber gestattet sich seine Darlegung so, dass er das genannte Verfahren direct nur für die symmetrischen Fälle benutzt (wo die in der  $x$ . Ebene gegebenen Verzweigungspcte alle reell sind) u. dann für die unsymmetrischen Fälle vermöge seines Lemmas einen indirecten Rückschluss macht. Wir werden uns leicht klar machen können, wesshalb er diesen Umweg wählt.

Betreffs der symmetrischen Fälle haben wir dabei nur Weniges zu sagen da wir uns ganz auf die Besprechung der Schlesinger'schen Arbeit zurückbeziehen können. Poincaré's Ansatz ist nur viel allgemeiner, als der von Schlesinger durchgeführte, weil er es ganz dahin gestellt sein lässt, wie wir vom ~~den~~ Polygon  $P_0$  der  $\eta$ . Ebene zu immer weiter ausgedehnten Polygonen  $P_1, P_2, \dots$  derselben übergehen wollen. Wir bekommen dann wieder entsprechend über der Ebene  $x$  gewisse Aggregate von Halbebenen:

die wir auf einfache Halbebenen  
 $x_0, x_1, x_2, \dots$   
 $\eta_0, \eta_1, \eta_2, \dots$   
 conform abbilden. Dabei ist dann

$$\begin{aligned} x &= x_0 = \eta_0, \\ \eta_0 &= r_1(\eta_1), \\ \eta_1 &= r_2(\eta_2) \\ &\vdots \\ \eta_\infty &= \eta \end{aligned}$$

unter  $r_1, r_2, \dots$  eine Reihenfolge von rationalen Functionen verstanden, u. also schliesslich  $x = r_1(r_2(r_3 \dots (\eta)))$



der gewünschte analytische Zusammenhang zwischen  $x$  und  $\eta$ .

Was jetzt die unsymmetrischen Fälle angeht, so können wir allerdings zunächst einen ganz ähnlichen Ansatz machen, wie in den symmetrischen Fällen. Nur werden wir jetzt mit  $P_0, P_1, \dots$  nicht Polygone der  $\eta$ -Ebene bezeichnen können, welche der Halbebene  $x$ , bez. Aggregationen von Halbebenen  $x$  entsprechen. Vielmehr sind jetzt  $P_0, P_1, \dots$  Bereiche der  $\eta$ -Ebene, denen die in richtiger Weise zerschnittene Vollebene  $x$ , bez. eine zerschnittene  $K, H$ . entsprechen, die einer endlichen Zahl solcher Vollebenen entspricht. Nichts hindert, diese zerschnittenen Ebenen, bez. Flächen, die wir  $x_0, x_1, x_2, \dots$  nennen mögen, je auf eine Halbebene  $\eta_0, \eta_1, \eta_2, \dots$  abzubilden. Auch wird das schließlich gewünschte  $\eta$  als  $\eta_0$  bezeichnet werden können. Aber es ist jetzt kein Grund mehr vorhanden, weshalb  $x = x_0 = y_0, \eta_0 = \eta_1(\eta_1), \dots$  sein sollte. Vielmehr sind die Funktionszeichen  $\Phi_0, \Phi_1, \dots$  in den Formeln, die wir nachherlich aufstellen können:  $x = \Phi_0(\eta_0), \eta_0 = \Phi_1(\eta_1), \eta_1 = \Phi_2(\eta_2), \dots$ , ihrer analytischen Natur nach uns ganz unbekannt u. nicht anders, als eben durch die aufeinanderfolgenden conformen Abbildungen zu definieren.

Deshalb enthält dann auch die Schlussformel:

$$x = \Phi_0(\Phi_1(\Phi_2(\dots(\eta))))$$

kein wirkliches Bildungsgesetz für die Abhängigkeit von  $x$  und  $\eta$ .

Es sind vermutlich eben die hier mit bezeichneten Schwierigkeiten gewesen, welche Poincaré zu seinem nun zu besprechenden indirecten Verfahren veranlassen haben. Es gilt, zu einem gewissen unsymmetrischen  $x$  (zu einer Ebene  $x$  mit nicht bloss reellen Verzweigungspunkten) das zu

gehörige  $\eta$  hinzuzuconstruieren. Da führt den Poincaré zunächst  $X = R(x)$  vermöge seines „Lema“ so ein, dass in der  $X$ . Ebene nur reelle Verzweigungspunkte liegen.

Jetzt construirt er vermöge der für den symmetrischen Fall geltenden Regeln das zugehörige  $H$  (welches wir mit einem grossen griechischen Buchstaben bezeichnen). In diesem  $H$  ist dann zwar das ursprüngliche  $x$  ohne weiteres eindeutig, aber  $H$  hat als Function von  $x$  noch unnötige Verzweigungspunkte, so dass es kein volles Äquivalent für das gesuchte  $\eta$  ist. Da hilft den die Bemerkung, dass  $\eta$  selbst eine eindeutige Function von  $H$  sein muss (dass  $H$  eine dem  $\eta$  „übergeordnete“ Irregularität ist). In Folge dessen kann man nämlich nun hinterher  $\eta$  dadurch gewinnen, dass man es als eindeutige (homomorphe) Function von  $H$  darstellt!

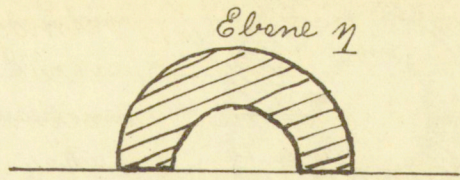
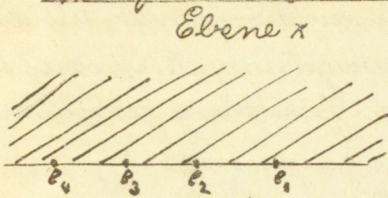
Und hierzu gibt den Poincaré noch einen neuen, besonders einfachen convergenten Ansatz, der viel Ähnlichkeit mit demjenigen Process darbietet, den wir auf pag. 101 behufs directer Darstellung des zur  $x$ . Ebene gehörigen „Hauptpotentials“ postulirten.

So weit unser Referat. Wir wenden uns nun wirklich zu dem immer wieder in Aussicht gestellten Continuitätsbeweis.

Ich will mich dabei, um nur das Wesentliche zur Geltung zu bringen, auf den einfachsten Fall der zu erbringenden Theoreme beschränken, nämlich auf das Poincaré'sche Theorem für  $n=4$  unter Mitberanziehung des unsymmetrischen Falles. Wir formuliren zunächst die bez. Behauptungen: <sup>x/</sup>

<sup>x/</sup> die wir alle, wie ohne Weiteres ersichtlich, aus der Theorie der elliptischen Functionen ableiten können, was für die Controle der mitzutheilenden Betrachtungen nicht unwesentlich scheint.

## 1) Symmetrischer Fall.



(Kreisscheibe, der Halbebene  $x$  entsprechend)

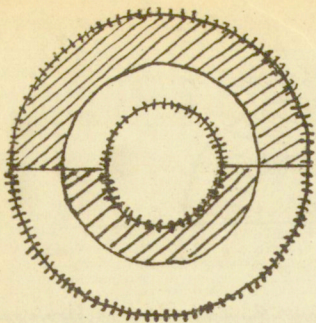
Die Behauptung ist, dass man in der zur Halbebene  $x$  gehörigen Differentialglg. 3. Ordg. den vorkommenden accessorieschen Parameter so festlegen kann, dass als Abbild der Halbebene in der  $\eta$ . Ebene eine reducierte Kreisscheibe entsteht. —

Um die Behauptung gleich so zu fassen, wie es für die Verallgemeinerung auf den unsymmetrischen Fall zweckmässig ist, wollen wir statt der Halbebene  $x$  die Vollebene, oder vielmehr gleich die blättrige  $K$ . Fl. betrachten, welche  $e_1, e_2, e_3, e_4$  zu Verzweigungspunkten hat u. deren Blätter längs der geradlinigen Stücke  $\bar{e}_1, \bar{e}_2, \bar{e}_3, \bar{e}_4$  zusammenhängen mögen:



Diese Fl. zerschneiden wir, wie in der Fig. angedeutet,

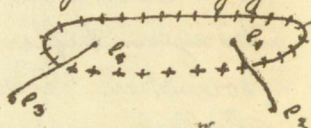
durch einen von  $e_4$  nach  $e_1$  (durch's Unendliche Laufenden) geradlinigen Schnitt, der beide Blätter durchdringt (der also auf der  $K$ . Fl. die Bedeutung eines Rückkehrschnittes hat). Der solcherweise zerschnittenen Fl. wird dann in der  $\eta$ . Ebene ein ringförmiger Raum entsprechen, welcher aus 4 Kreisscheiben zusammengesetzt ist und dessen beide kreisförmige Ränder (die den beiden Ufern unseres Rückkehrschnittes bez. entsprechen) durch eine hyperbolische Substitution zusammengehören:



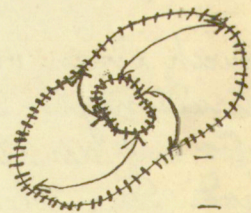
Unser zu beweisendes Theorem besagt nicht mehr u. nicht minder, als dass man die zerschnittene  $K.$  Fl. auf einen derartigen Kreisring abbilden kann.

#### 2) Unsymmetrischer Fall.

Es seien jetzt in der  $x$  Ebene die 4 Verzweigungsstellen  $e_1, e_2, e_3, e_4$  irgendwie unsymmetrisch gegeben. Wir denken uns sofort die zugehörige zweiblättrige  $K.$  Fl. konstruiert u. diese durch irgendwelchen Rückkehrschnitt (wie in der Fig. bereits angedeutet ist) zerschnitten. Die Behauptung wird sein, dass immer ein zugehöriges  $\eta$  existiert, welches die so zerschnittene Fl. auf einen einfachen Ring der  $\eta$ . Ebene abbildet, dessen Begrenzungscurven natürlich durch eine lineare Substitution zusammengeordnet sind, welche, allgemein zu reden, eine loxodromische Substitution sein wird, wie in der Fig. durch die gekrümmten Pfeile angedeutet.

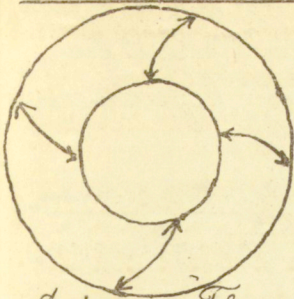


Von den Fixepunkten dieser Substitution wird der eine innerhalb der Ringöffnung, der andere ausserhalb des Ringes zu suchen sein. Natürlich kann man dem Ring ohne Weiteres die Gestalt eines Kreisringes ertheilen.



Wir brauchen nur in der  $\eta$ . Ebene irgend welchen Kreis zu ziehen, der die Fixepunkte der genannten linearen Substitution von einander trennt, u. ihn durch die Substitution zu transformieren. Der zwischen den beiden Kreisen liegende Ringraum kann

dañ sofort als Abbildung der  $x$ . Fläche angesehen werden:



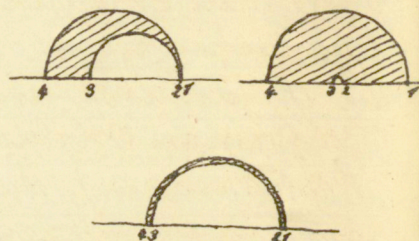
Wir haben so den Vorzug, in der  $\eta$ . Ebene eine übersichtlichere Fig. vor uns zu haben, u. dieser Vorzug ist uns so wesentlich, dass wir fernerhin von ihr ausschliesslich Gebrauch machen werden. Aber dadurch wird dann dem auf der zblättrigen Fl. zu ziehenden Rückkehrschnitt, der zunächst völlig willkürlich war, ein bestimmtes Gesetz auferlegt: er muss eine der 3fach unendlich vielen Curven der  $K$ . Fl. sein, welche den 3fach unendlich vielen Kreisen unserer  $\eta$ . Ebene entsprechen, durch welche die beiden in dieser Ebene liegenden Fixpunkte von einander getrennt werden. Und eben hiermit schaffen wir uns, wie wir bald sehen werden, die Schwierigkeit, die fernerhin in der Theorie der unsymmetrischen Fälle auftritt, u. die also nicht eigentlich die Sache betrifft, sondern die Form, in der wir dieselbe darstellen. —

Wir besprechen nun den Continuitätsbeweis zunächst für den symmetrischen Fall. Die charakteristische Gedankenwendung ist die, dass wir die Gesamtheit der Kreisscheiben einerseits, die Gesamtheit der Halbebenen  $x$  andererseits als 2 Manigfaltigkeiten einführen u. uns darüber klar zu werden suchen, wie diese beiden Manigfaltigkeiten auf einander bezogen sind.

Wir haben zunächst die Manigfaltigkeit der Kreisscheiben. Dieselbe hat zuvörderst, da man die Ecken 1, 2, 3, 4 irgendwie auf der reellen  $\eta$ . Achse annehmen darf, 4 Dimensionen. Aber da solche

$\eta$ , die linear mit einander zusammenhängen ( $\eta' = \frac{\alpha\eta + \beta}{\gamma\eta + \delta}$ , wo  $\alpha, \beta, \gamma, \delta$  reell und  $\alpha\delta - \beta\gamma = 1$  genommen sein mag) für uns gleichwertig sind, so werden wir unsere Mannigfaltigkeit lieber als eine solche von unter einer Dimension bezeichnen u. dementsprechend mit  $M_1$  bezeichnen.

Wir müssen nun ganz besonders auf die Gränzelemente dieser  $M_1$  achten. Da sind zunächst Gränzelemente 1. Stufe, welche dem Zusammenrücken zweier Eckpunkte der Kreisscheibe entsprechen, ferner Gränzelemente 2. Stufe, bei denen 2 mal 2 Wurzeln zusammenrücken. Können 3 oder mehr Wurzeln zusammen, so hat man ein uneigentliches Gränzelement.



Man kann nämlich in  $\eta' = \frac{\alpha\eta + \beta}{\gamma\eta + \delta}$  unter Aufrechterhaltung der Bedingung  $\alpha\delta - \beta\gamma = 1$  den  $\alpha, \beta, \gamma, \delta$  derartige unendlich grosse Werte beilegen, dass irgend welche vorgegebene allgemeine Kreisscheibe in eine solche mit 3 oder 4 zusammenrückenden Eckpunkten übergeht.

Bemerken wir noch, dass unsere  $M_1$  eine durchaus zusammenhängende Mannigfaltigkeit ist, d. h. dass man von jeder Kreisscheibe zu jeder anderen durch das Innere von  $M_1$  hierdurch gelangen kann, i. e., indem man stetig eine Reihenfolge nicht ausgearteter Kreisscheiben durchwandert. — Dieser  $M_1$  der Kreisbogenpolygone tritt nun die Mannigfaltigkeit der mit 4 Verzweigungspunkten ausgetasteten Halbebenen  $X$  entgegen. Auch sie bildet eine durchaus zusammenhängende Mannigfaltigkeit

einer Dimension, die wir mit  $M_1'$  bezeichnen wollen; dieselbe hat wieder Gränzelemente 1. u. 2. Stufe etc. -

Es handelt sich aber um die Beziehung der beiden Mannigfaltigkeiten auf einander.

Das Theorem, welches wir in dieser Hinsicht beweisen müssen, ist dieses: Jedem allgemeinen Pct. von  $M_1'$ , (d. h. jedem Pct., der kein Gränzelement ist) entspricht ein allgemeiner Pct. von  $M_2$ . Und nun baut sich der Continuitätsbeweis auf folgenden Überlegungen auf:

1) Zunächst ist aus den Grundsätzen der Mi. 15. Juli conformen Abbildung klar (Riemann's Exerc. 1891. Stenztheorem), dass jedem allgemeinen Pct. von  $M_1$  ein allgemeiner Pct. von  $M_1'$  entspricht.

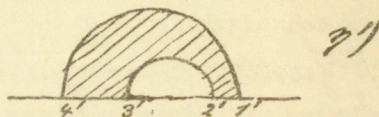
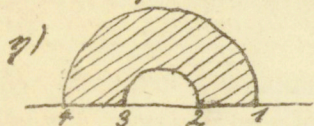
Es wird auch nicht schwer sein, zu zeigen, dass einer stetigen Verschiebung des ersteren Pctes innerhalb  $M_1$  eine stetige Verschiebung des entsprechenden Pctes innerhalb  $M_1'$  entspricht. Wie ist es, wenn der Pct. von  $M_1$  an ein Gränzelement heranrückt? Man wird unbedenklich sagen dürfen, dass dann der entsprechende Pct. von  $M_1'$  ebenfalls an einem Gränzfall heranrückt.

Dagegen würde es schwierig sein, direct behaupten zu wollen, dass jedem Gränzfall von  $M_1$  direct ein Gränzfall von  $M_1'$  entspricht. Beispielsweise lässt sich doch der auf p. 128 an 3. Stelle gemeinte Gränzfall, insofern sich dort der Fundamentbereich auf eine blosse Curve zusammengezogen hat, direct gar nicht auf eine Halbebene beziehen. Er ist aber Gränze einer Rarisscheibe, die eine Halbebene  $e_1, e_2, e_3, e_4$  entspricht, bei

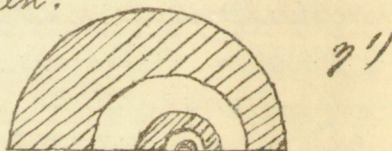
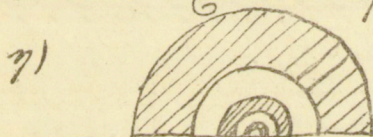
welcher  $e_1$  u.  $e_2$ ,  $e_3$  u.  $e_4$  immer näher an einander rücken.

2) An 2. Stelle werden wir folgendes Lemma aufstellen: Keinem (allgemeinen) Teile von  $M_1$  können zwei oder mehr verschiedene (allgemeine) Teile von  $M_2$  entsprechen.

$M_2$  möge nämlich der Halbebene  $x$  mit den 4 gebundenen Verzweigungspunkten  $e_1, e_2, e_3, e_4$  einerseits die Kreisscheibe  $\eta$ , andererseits die Kreisscheibe  $\eta'$  entsprechen:



Dann werden die beiden Kreisscheiben einander conform zugewiesen sein. Aber diese conforme Beziehung können wir nach dem Gesetze der Symmetrie fortsetzen, indem wir die beiden Kreisscheiben je an entsprechenden Kreisen spiegeln.



Wir erreichen so, dass die ganzen Halbebenen  $\eta, \eta'$  sich conform entsprechen mit alleiniger Ausnahme vielleicht der beiderseitigen Fixpole (denen wir bei der fortgesetzten Spiegelung unbegrenzt zustreben, ohne sie zu erreichen). Man prüfe man aber genau den Beweis des Satzes, dass 2 Halbebenen  $\eta, \eta'$  nicht anders conform auf einander abgebildet werden können, als durch eine lineare Substitution  $\eta' = \frac{\alpha \eta + \beta}{\gamma \eta + \delta}$ . Man wird finden, dass der Beweis gültig bleibt auch wenn „Randpole unbekannter Beschaffenheit“ bei der Abbildung zu



gelassen werden sollten. Daher ist auch in unserm Falle  $\eta'$  eine lineare Function von  $\eta$ , die bei den Kreissscheiben nicht wesentlich verschieden u. bezeichnen darum denselben Pct von  $M_2$ .

Nehmen wir jetzt 1) u. 2) zusammen. Da werden wir zunächst sagen (nach 1)), dass der durch aus zusammenhängenden, zwischen ihren Gränzpcden ausgespannten Mannigfaltigkeit  $M_1$ , nothwendig über  $M_2$  ein ebenfalls durchaus zusammenhängendes Stück entspricht, welches von Gränzpcden des  $M_2$  begränzt wird. Nun kann man zunächst denken, dass dieses Stück, indem es an irgend welcher Stelle von  $M_2$  umbiegt, nur einen Theil von  $M_2$  überdeckt:

Aber dann würde ein Theil von  $M_2$  eben doppelt überdeckt sein, u. das ist wegen



des Lemmas 2) nicht möglich! Daher bleibt, dass die ganze  $M_2$  von dem Bilde der  $M_1$  überdeckt sein muss, was zu beweisen war.

Dies ist, für den vorliegenden speciellen Fall, der Continuitätsbeweis. Es scheint unzweifelhaft, dass derselbe, gehörig ausgeführt, alle Elemente eines wirklichen Beweises enthält, aber freilich ist eine nähere Ausführung noch wünschenswerth. Es wird sich namentlich darum handeln, sich von der Eigenart der beiden Mannigfaltigkeiten  $M_1$ ,  $M_2$ , welche, obgleich nur 1. u. 2. Dimension, Gränzfälle 1. u. 2. Stufe enthalten, insbesondere auch von der Bedeutung der bei ihnen auftretenden uneigentlichen Gränzfälle,

ein klares Bild zu machen. Es ist dies übrigens, wie man sieht, eine Fragestellung, die eigentlich in das Gebiet der linearen Invariantentheorie hineingehört.

Wir wenden uns jetzt zum Continuitätsbeweis für den unsymmetrischen Fall, den wir zunächst in ganz entsprechender Weise gliedern.

Wir haben da zuvörderst 2 Mannigfaltigkeiten von 2 Dimensionen,  $M_2$  u.  $M'_2$ , einander gegenüber zu stellen,  $M_2$  ist die Mannigfaltigkeit der mit einer loxodromischen Substitution ausgezeichneten  $\eta$ . Ebenen. Dieselbe hat in der That 2 Dimensionen, insofern man der loxodromischen Substitution die kanonische Form ertheilen kann:

$$\eta' = g e^{i\varphi} \eta,$$

in welcher  $g$  u.  $\varphi$  wesentliche Constante sind. Ebenso ist  $M'_2$ , die Mannigfaltigkeit der mit 4 Verzweigungspunkten ausgestatteten zweiblättrigen Flächen, 2dimensional. Denn die einzelne derartige Fl. hängt wesentlich nur von dem Doppelverhältniss der 4 Verzweigungspunkte ab, u. dieses ist als complexe Grösse für 2 willkürliche Constanten zu zählen. Nun wird aber gar nicht behauptet, dass jedem Pkte von  $M'_2$  nur ein Pkt. von  $M_2$  entsprechen soll. Vielmehr müssen wir zuerst eine Unterscheidung machen zwischen den unendlich vielen Arten von Rückkehrschritten, die man auf der einzelnen Fl. von  $M'_2$  ziehen kann. Wir rechnen alle solche Rückkehrschritte zu derselben Art, die man durch arbiträre Ver-

schiebung über die Fl. hin mit einander zur Deckung bringen kann. Die Anzahl der hiernach zu unterscheidenden Arten ist hiernach (wie die Theorie der elliptischen Functionen lehrt) nun zwar immer noch unendlich, aber es ist dies eine abzählbare Unendlichkeit. Daher den die verschiedenen Arten der zerschnittenen  $R$ . Flächen immer noch nur eine Mannigfaltigkeit von 2 Dimensionen ausmachen, die wir vielleicht ( $M'_2$ ) nennen. Das Theorem, welches wir beweisen wollen, ist dann dieses:

dass jedem Pcte von ( $M'_2$ ) ein Pct von  $M_2$  zugehört.

Aber so gefasst ist das Theorem scheinbar sehr unbestimmt, insofern die Gestalt des anzuwendenden Rückkehrschnitts gar nicht specificirt ist. Wollen wir also jetzt der Bestimmtheit halber verabreden, dass der Fundamentalebene, den wir in der  $\eta$ . Ebene betrachten wollen, Kreisförmig begrenzt sein solle! Den einen Gränzkreis können wir dabei unter Berücksichtigung einfacher Ungleichungen beliebig annehmen, deren Gränzkreis wird derjenige sein, der aus ihm durch die loxodromische Substitution entsteht (vergl. Fig. auf p. 122). Die Einführung der Kreise bringt also 3 neue Constanten mit, u. wir werden sagen dürfen, dass die kreisförmigen Bereiche, welche wir fortan zu Grunde legen, eine Mannigfaltigkeit  $M_2$  von 5 Dimensionen ausmachen. Ihr Dritt dann eine Mannigfaltigkeit ( $M'_2$ ) entgegen, die aus der vorbenannten

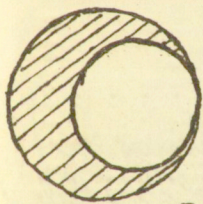
( $M'_2$ ) entsteht, indem man den Rückkehrschnitt der einzelnen in ( $M'_2$ ) vorkommenden zerschnittenen  $R$ . Fl. unter einer der  $\infty^3$  Curven wählt, welche auf der Fl. den in Betracht kommenden Kreisen der  $\eta$ . Ebene correspondiren. Die ganze Schwierigkeit, welche wir sogleich bei der Formulierung des Continuitätsbeweises antreffen werden, würde als solche fortfallen, wenn wir uns zunächst die Zeit nehmen wollten, zu untersuchen, wann für 3-fach unendlich viele Curven sind, die hiernach auf der einzelnen  $R$ . Fl. neben einander in Betracht kommen. Aber ich will die Sache so schildern, wie sie bei Poincaré zur Geltung kommt, u. beginne darum sofort mit der Beziehung der beiden Mannigfaltigkeiten  $M_2$  u. ( $M'_2$ ) auf einander.

Zuvörderst ist klar, dass wieder jedem allgemeinen Pct. von  $M_2$  ein allgemeiner Pct. von ( $M'_2$ ) eindeutig entspricht. Von der Kreisring mit losgedrömmisch zusammengeordneten Pländern, p. 122, genügt den Bedingungen, die wir auf p. 112, 113 der Autographie des Wintersemesters als hinreichend für die Brauchbarkeit eines Bereiches als functionentheoretischen Fundamentalbereichs erkennen. Auch wird man leicht beweisen können, dass es sich dabei um eine stetige Zuordnung der beiden Mannigfaltigkeiten handelt, - dass nämlich der Pct. von ( $M'_2$ ) sich stetig verschiebt, wenn man den Pct. von  $M_2$  continuirlich ändert. - Aber wie ist es nun mit den Grenzfällen der  $M_2$ ? Da oben liegt die Schwierigkeit. Bei gewissen Grenzfällen allerdings ist ganz klar, was deren

Approximierung bedeutet, aber bei anderen Gränzfällen finden wir uns in dieser Hinsicht zunächst in voller Unkenntnis.

Als ein Beispiel für einen Gränzfalle 1. Art führen wir an, dass die loxodromische Substitution in eine parabolische übergeht, so etwa, dass der Kreisring der p. 127 in einen Parallelstreif ausartet. Offenbar hat sich dann die zugehörige R. Fl. der  $(M_2)$  in eine solche mit  $p=0$  verwandelt. Vergleiche die Fig. 8. auf p. 106 der Winderautographie.

Als ein Beispiel für einen Gränzfalle 2. Art aber wählen wir den, auf welchen Poincaré bei seinen (etwas anders geordneten Betrachtungen) ausschliesslich geführt wird. Er nimmt genau den Fall, der in Fig. 9. p. 107 der Winderautographie betrachtet wird. Unser Ringraum ist in eine Sichel ausgeartet, deren Rän., der durch eine hyperbolische Substitution zusammengeordnet sind:



ist?

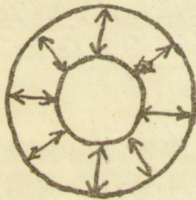
Was in aller Welt kann der hindurchgehene Gränzfalle von  $M_2$  bedeuten, nachdem wir doch l.c. (Winderautographie p. 107-110) ausführlich gezeigt haben, dass eine solche Sichel als Fundamentalbereich unzulässig

Wir könnten natürlich noch eine ganze Reihe eben, so unverständlicher Gränzfälle anführen. Was bedeutet eine Sichel, wie die auf dieser Seite gezeichnete wenn ihre Gränzkreise durch eine loxodromische Substitution zusammengeordnet werden (von welcher dann ein Fixp. ist im inneren Hohlraum, der andere im äusseren Hohlraum liegt)? Was ein Ring, p. 127, wenn die

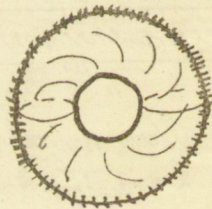
beiden Gränzkreise zusammenrücken (so dass der Ring unendlich schmal wird), während die loxodromische Substitution in eine elliptische von nicht verschwindender Amplitude ausartet? Wir gehen auf diese weiteren Gränzfälle hier nur darum nicht ein, weil die Discussion des Poincaréschen Gränzfalles bereits ausreichen dürfte, um den gemeinsamen Charakter aller Gränzfälle dieser Art erkennen zu lassen. —

Um jetzt zur Erklärung des Poincaréschen Gränzfalles übergehen, wollen wir vor allen Dingen die blättrige Fl. über der  $x$ . Ebene, was behändlich möglich ist, durch einen geschlossenen Ring (im Räume gelegen) ersetzen. Sei hier zunächst der offene Ring der  $\eta$ . Ebene u. dieser geschlossene Ring ne., beieinander gezeichnet:

$\eta$ . Ebene.



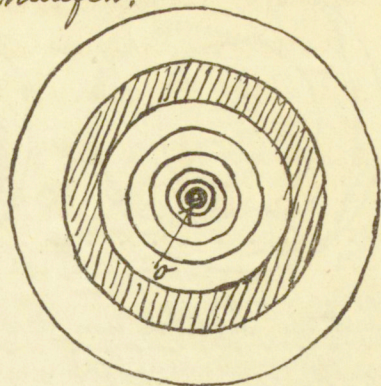
Raumring.



Die Zuordnung der beiden Enden des Rings in der  $\eta$ . Ebene sei einfach durch eine hyperbolische Substitution vermittelt, sagen wir etwa geradezu durch eine von  $O$  ausgehende Ähnlichkeits-Transformation. Den beiden Enden selbst möge dabei als Rückkehrschnitt auf dem Raumringe die äussere Äquatorcurve entsprechen die wir in der Fig. durch Strichelung besonders kenntlich gemacht haben. Wir vervielfältigen jetzt den Ring der  $\eta$ . Ebene beliebig oft durch die zugehörige Ähnlichkeits-Transformation, worauf schliesslich

die ganze  $\eta$ . Ebene in unendlich viele concentrische Rin-  
ge getheilt sein wird, die sich um  $O$  häufen:

Man mache sich klar, wie die,  
sen neben einander liegenden  
Ringen der  $\eta$ . Ebene eine immer fort-  
schreitende Umwicklung des Raum-  
ringes mit einem unbegrenzt wach-  
senden Flächensdichte entspricht. Nach  
diesen Vorbereitungen wird man mit  
Leichtigkeit die Frage beantworten,



die wir nun aufwerfen, welche Curven nämlich auf dem  
Raumringe den verschiedenen Kreislinien der  $\eta$ . Ebene ent-  
sprechen, insbesondere, wie sich der ursprüngliche Rückkehr-  
schnitt des Raumringes modificiert, wenn man den äusseren  
Gränzkreis des Ringes der  $\eta$ . Ebene vielleicht von links her im-  
mer mehr auf den Pct  $O$  hinzieht, bis er durch  $O$  hindurch-  
geht. Man vergleiche die verschiedenen Kreise 1, 2, 3, 4 der  
folgenden Fig:



Die Antwort ist offenbar diese: Dem  
Kreise 1 entspricht der Rückkehrschnitt  
unserer anfänglichen Fig. Dem Krei-  
se 2 wird eine Curve auf unserem Raum-  
ringe entsprechen welche rechts den alten  
Rückkehrschnitt berührt, deren linker  
Scheitel aber nach vorne um den Ring  
sich herumschiebt.

Geht nun diese Herumschiebung des  
Scheitels links weiter vor sich, so bleibt doch  
die Krümmung am linken Scheitel stets  
endlich. Die Windungen welche aber  
doch die Curve zwischen dem rechten u.

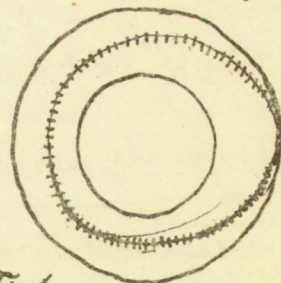
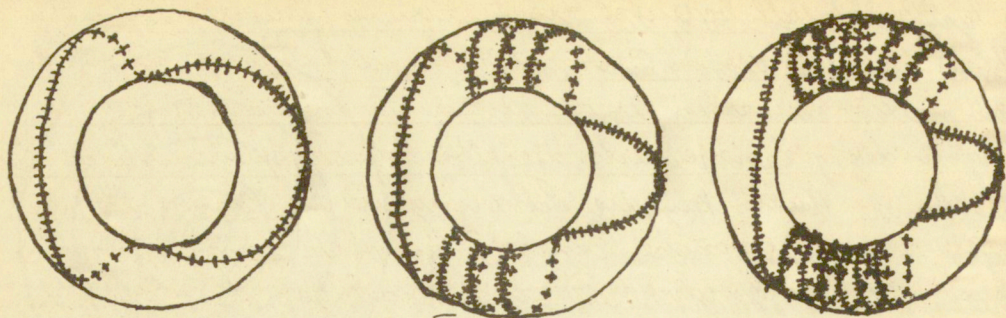


Fig 1.



linken Scheitel um den Ring herum nach u. nach bilden muss, müssen sich daher, da auch rechts die Krümmung endlich bleibt, am oberen u. unteren Teile des Ringes drängen, wie die aufeinanderfolgenden Figuren 1) bis 4) veranschaulichen. Beim Kreise 4) ist dieser Umwicklungsprocess ins Unendliche fortgeschritten, so dass unsere Curve  $\infty$  oft um den oberen wie den unteren Theil des Ringes herumgeschlagen ist!

Und nun sieht man deutlich, was entsteht, wenn man diese Gränzkurve für die Zerschneidung des Ringes als Rückkehrschnitt benutzen will. Indem der Schnitt vermöge seiner unendlich dicht werdenden Windungen auf der oberen wie auf der unteren Hälfte unseres Ringes sich sozusagen selbst abschnürt, zerfällt der Ring bei der Zerschneidung in 2 Theile. Und das wird dann die Bedeutung des Poincaréschen Gränzfalles (der hyperbolischen Doppelsichel sein), dass er nicht mehr den vollen Raumring, sondern nur den einen dieser beiden Theile, also sozusagen nur ein offenes Ringsstück, abbildet!

Offenbar können wir so sagen, - u. damit treffen wir jedenfalls auch die Bedeutung der anderen auf p. 135 oben angeführten Gränzfälle unserer  $M_3$ . - : der Poincaré,



sche Gränzfalle bedeutet nicht etwa ein Ausarten oder Unbestimmtwerden der in Betracht kommenden Riemann'schen Fl., sondern ein Ausarten der auf dieser Fl. anzuwendenden Zerschneidung, vermöge deren dieselbe sozusagen illusorisch wird.

Und eben darin lag die Schwierigkeit des Gränzfalles, die durch die so gewöhnene Einsicht gehoben sein dürfte, dass man an die Möglichkeit einer derartigen Ausartung der Zerschneidung als solcher nicht gedacht hatte. —

Wie aber wollen wir uns nun nehmen, nachdem wir diese Möglichkeit erkannt haben? Offenbar drifft Poincaré das Richtige, indem er davon abgeht, die Mannigfaltigkeiten  $M_n$  u. ( $M'_n$ ) in ihrer ganzen Ausdehnung zu vergleichen, sich vielmehr nur auf gewisse Teile derselben beschränkt, in die man allemal durch geschickte Wahl der Gränzkreise, bez. Rückkehrstrecke hineingelangen kann, u. die dann an die Gränzfälle 2. Art nicht heranreichen. Wie dies im Einzelnen auszuführen ist, muß natürlich überlegt werden. Im Uebrigen können wir, indem wir eine in der Zahlentheorie übliche Ausdrucksweise aufnehmen, uns so aussprechen: Poincaré beschränkt sich darauf, nur solche Ringe der  $\eta$ . Ebene, bez. nur solche zerschmittene Riemann'sche Flächen zu betrachten, deren Begrenzung, resp. Zerschneidung man als „reduciert“ bezeichnen darf.

Von hier ab gliedert sich nun der Continuitätsbeweis gerade wie früher. Wir werden zuerst wieder das Lemma beweisen, dass jedem Pkte von ( $M'_n$ ) nicht mehr als ein Pkt. der  $M_n$  entsprechen kann, etc. etc. —

Machen wir zum Schlusse noch darauf aufmerksam, dass die Gränzfälle 2. Art bei dem Ansatz, den wir für die symmetrischen Fälle in Anwendung brachten, in der

That nicht auftreten können. Einmal nämlich ist die Ferscheidung der symmetrischen  $\sigma$ . Flächen für uns ja von vornherein gegeben (längs der reellen Axe), u. kann darum nicht ausarten. Andererseits, wenn eine Kreisschneide durch Zusammenrücken zweier Verzweigungspole einen Gipfel bekommt, u. wir reproduciren sie nun durch Symmetrie, so wird sich der Gipfel als Fixpunkt einer parabolischen Substitution, niemals aber als Fixpunkt einer hyperbolischen Substitution erweisen.

S. 18. Juli

Wir schliessen unsere Theorie des Kreisschneiden - 1891. u. des hyperbolischen Theorems, indem wir noch einige lose Bemerkungen hinzufügen, bei denen wir uns der Kürze halber auf denjenigen Fall des hyperbolischen Theorems beschränken wollen, bei welchem alle  $\lambda_i = \frac{1}{2}$  (d. h. auf den allgemeinen Laméschen Fall).

### 1. Zur Herstellung der $\eta$ -Function.

Der linearen Differentialgleichg. 2. Ordg. der Laméschen Functionen haben wir früher die Normalform ertheilt:  $(\Pi, f_n)_2 = \varphi_{n-4} \Pi$ , wo  $f_n = \mathcal{E} \Pi(x_1 - \rho_1, x_2)$   ~~$(x_1 - \rho_1, x_2)$~~  gleich Null gesetzt die  $e_i$  zu Wurzeln hat u. die Coefficienten der Form  $\varphi_{n-4}$  die accessorischen Parameter sind. Setzt man die Herstellung des hyperbolischen  $\eta$  (welches die Halbebene  $x$  auf ein reelles hyperbolisches Polygon abbildet) jedenfalls so in Angriff nehmen, dass man verlangt, die Coefficienten des zugehörigen  $\varphi$  zu bestimmen. - In dieser Richtung bietet sich nun für Denjenigen, der die moderne Anwendung der Invariantentheorie bei sonstigen transcendenden Functionen, z. B. im Falle der Abel'schen Functionen, kennt (cf. Math.

An. 36, 1889), wie von selbst eine Schlussweise dar, die in ihrer Einfachheit zunächst merkwürdig zwingend erscheint, sich dann aber bei näherer Ueberlegung als falsch erweist. Ich wünsche Beides hier darzulegen, insofern es sich dabei um einen principiel wichtigen Pct handelt.

Zunächst ist klar:

- die Coefficienten von  $\varphi$  sind in den Coefficienten von  $f$  von der + 1 ten Dimension,
- sie hängen von den Coefficienten von  $f$  eindeutig u. ganz ab,
- $\varphi$  selbst kann als Covariante von  $f$  bezeichnet werden.

Man möchte nun aus b) schliessen, dass  $\varphi$  eine rationale ganze Covariante von  $f$  ist. Dann gibt a) sofort, dass  $\varphi$  identisch Null sein muss, denn es gibt keine andere rationale ganze Covariante von  $f$  ersten Grades in den Coefficienten. Und das Resultat, dass die von uns gesuchte Gleichg. einfach  $(\Pi, f)_x = 0$  sein möch.,  $\mathbb{Q}$ , erscheint um so plausibler, als doch diese einfache Gleichg. jedenfalls etwas Specificisches bedeutet u. eine anderweitige Bedeutung derselben nicht bekannt sein dürfte. —

Dem gegenüber zeigt nun leider ein Beispiel, dass dies Resultat nicht richtig sein kann. Wir lassen 2 Wurzeln von  $f$ ,  $e_i$  u.  $e_{i+1}$ , zusammenfallen. Das zugehörige hyperbolische Polygon erhält dann einen Winkel  $= 0$  (einen parabolischen Gipfel). Aber die Exponentendifferenz, welche  $(\Pi, f) = 0$  für die Doppelwurzel  $e_i = e_{i+1}$ , liefert, ist nach der allgemeinen auf pag. 131 der Winkertafelographie gegebenen Formel, keineswegs Null sondern:

$$\sqrt{\frac{1-n}{2n+2}}$$

Die beiden Angaben sind offenbar unvereinbar.

Demgegenüber wird es nun gelten, den Fehler der vorbezeichneten Schlussweise zu erkennen. Sei der einzelne Coefficient  $a$  von  $f$  folgendermassen in reellen u. imaginären Bestandtheil gespalten:  $a = a' + ia''$ . Ich erblicke den Fehler nun darin, dass man die durch  $f$  eindeutig bestimmten Coefficienten von  $\varphi$  keineswegs als Functionen der complexen Veränderlichen  $a' + ia''$  ansetzen darf, sondern nur als Functionen der Einzelbestandtheile  $a', a''$ .

Von diesen Functionen wissen wir dann freilich, dass sie eindeutig u. ganz für alle reellen Werthe des  $a', a''$  sind, aber hieraus allein kann man nicht etwa schliessen wollen, dass es rationale, ganze Functionen der  $a', a''$  sind! Unsere Fragestellung hat uns eben aus dem Gebiet der complexen Variablen  $a' + ia''$  in welchem wir uns sicher bewegen, hinausgeführt in das Gebiet der doppelt so zahlreichen reellen Variablen  $a', a''$ , in welchem uns keinerlei allgemeine Gesetze zur Verfügung stehen. Fast scheint es, als wenn etwas Ähnliches überall bei den jetzt von uns verfolgten Untersuchungen der Fall wäre, so dass wir durch neuen Verfolg der functionentheoretischen Fragen von selbst wieder aus dem Gebiet der Functionentheorie heraus in das Gebiet der reellen Variablen zurückgeführt sind, — nur dass die Zahl dieser Variablen dem elementaren Ansatz gegenüber verdoppelt erscheint.

2. Zur allgemeinen Classification der linearen Differentialgleichungen u. über die Einordnung unseres hyperbolischen Falles in dieselbe.

Das Classificationsprincip, welches ich hier im Linearen habe, kommt darauf zurück, dass ich jeder linearen Dif.

ferentialgleichg. beliebiger Ordg. welche  $y$  als Function von  $x$  bestimmt, eine gewisse continuirliche Transformationsgruppe zugeordnet. Es wird genügen, wenn ich das hier für die beiden Lösungen  $y_1, y_2$  einer linearen Differentialgleichg.

2. Ordg. auseinandersetze, oder gleich für deren Quotienten  $\eta = y_1/y_2$ . Die Sache stellt sich da folgendermassen:

Macht  $x$  in seiner Ebene beliebige Umläufe, so erleidet  $y$  gewisse lineare Substitutionen  $\eta' = \frac{a_i \eta + b_i}{c_i \eta + d_i}$ , die in ihrer Gesamtheit eine discontinuirliche Gruppe bilden. Ich werde nun als die zur Gleichg. gehörige continuirliche Gruppe diejenige kleinste continuirliche Gruppe linearer Substitutionen bezeichnen, in welcher die genannte discontinuirliche Gruppe enthalten ist. In der That wird man der Differentialgleichg. für  $\eta$  je nach der Art dieser continuirlichen Gruppe eine andere u. andere Ges. dald ertheilen können, indem ja ohne Weiteres klar ist, dass die Differentialinvarianten der in Rede stehenden Gruppe von  $x$  jeweils sindeutig abhängen.

Ich führe dies hier ein wenig für diejenigen continuirlichen Untergruppen der Gesamtgruppe  $\eta' = \frac{\alpha \eta + \beta}{\gamma \eta + \delta}$  aus, die man gewöhnlich aufzählt. Es sind dies:

Eingliedrige Gruppe I:  $\eta' = \eta + \beta,$

Eingliedrige Gruppe II:  $\eta' = \alpha \eta,$

Zweigliedrige Gruppe III:  $\eta' = \alpha \eta + \beta,$

Dreigliedrige Gruppe IV:  $\eta' = \frac{\alpha \eta + \beta}{\gamma \eta + \delta}.$

Für jede dieser Gruppen gibt es eine einfachste Differentialinvariante, aus der sich alle anderen Differentialinvarianten ableiten. es sind dies beziehungsweise:

für I:  $\eta'$ , für II:  $\frac{\eta'}{\eta}$ , für III:  $\frac{\eta''}{\eta'}$ , für IV:  $\frac{\eta'''}{\eta'}$  -  $\frac{1}{2} \left( \frac{\eta''}{\eta'} \right)^2.$

Die zugehörigen Differentialgleichgen werden natürlich so zu bilden sein, dass man die eine oder andere dieser

Invarianten einer Function  $f(x)$  gleichsätz. Da sieht man deutlich, dass jede dieser Gleichgen ein eigenartiges Integrationsproblem vorstellt. Nr. I erledigt sich durch dasjenige Verfahren, welches man in den Elementen der Integralrechnung kennen lernt u. als Quadratur bezeichnet:

$$\eta = \int f(x) dx. \text{ Aber auch II u. III können auf Quadraturen zurückgeführt werden, man hat einfach } \eta = e^{\int f(x) dx}, \text{ beziehungsweise } \eta = \int e^{\int f(x) dx} dx.$$

Es hängt das offenbar damit zusammen, dass II mit I ähnlich ist, während III eine zusammengesetzte Gruppe ist, die aus einer Gruppe I u. aus einer II durch Ineinanderbeschreibung aufgebaut werden kann. Auf der anderen Seite ist IV eine einfache Gruppe u. ebenfalls nicht auf Quadraturen reducierbar. Ich habe in Bd. 23 der math. Annalen (1883) versucht, eine nähere Vorstellung von dem Gränzprocess zu geben, den man bei der Integration von Gleichg. IV zu verfolgen hat; die entsprechenden Entwicklungen für die allgemeinen linearen Gleichgen  $n$ ter Ordg. gibt Hr. Volterra in Bd. 6 der Memorie di Napoli (1887)\*. Augenscheinlich wird jede einfache Gruppe linearer Substitutionen bei einer beliebigen Zahl von Veränderlichem jedesmal in entsprechendem Sinne einen bestimmten Gränzprocess definieren, u. man könnte sich eine Anordnung der Integralrechnung denken, bei welcher man nach Festlegung des Begriffs der „Quadratur“ der Reihe nach alle die hier in Betracht kommenden Gränzprocesses discutirte. —

Nun erweitert sich aber das hiermit Gesagte noch durch einen Umstand, den wir schon früher bei Gelegenheit hervorgehoben haben. Wir bemerken nämlich (p. 63), dass die Gruppen I-IV nur dann die einzigen continuirlichen Untergruppen der linearen Gruppe sind, wenn man alle vorkommenden Parameter, wie man dies gewöhnlich stillschweigend thut, als beliebiger complexer Werthe fähig ansieht will. Damit aber eine Untergruppe const.

\* vgl. Memoire der Societa Italiana dei XL: „Sui fondamentali della teoria delle equazioni differenziali lineari“ I  
<http://rcin.org.pl>

wirklich sei, genügt es, dass die Parameter als reelle Grössen angesehen werden. Dann sind also (indem man die complexen Grössen für 2 reelle rechnet) I u. II zweigliedrige Untergruppen, III ist viergliedrig, IV sechsgliedrig. Neben ihnen aber gibt es u. A. die 3gliedrigen Untergruppen:

$$\left. \begin{array}{l} V: y' = \frac{ay+b}{cy+d} \\ VI: \eta' = \frac{(a+id)\eta+(b+ic)}{(-b+ic)\eta+(a-id)} \end{array} \right\} \text{ wo die } a, b, c, d \text{ reell.}$$

Offenbar müssen wir jetzt auch ihnen entsprechende Differentialprobleme aufstellen, u. dabei wird der Fall V für uns um so wichtiger sein, als sich unter ihm das Problem des reducirten hyperbolischen Polygons wird untergreifen lassen müssen.

Welches aber werden die Differentialinvarianten z. B. der Gruppe V sein? Augenscheinlich wird man, um dieselben zu gewinnen, wieder die reellen u. imaginären Bestandteile trennen müssen.

Wir setzen  $\eta = y + iz$ ,  $x = y + iz$ , und haben dann zunächst die Differentialquotienten 1. Ordg.:  $\frac{\partial \eta}{\partial y} = \frac{\partial \theta}{\partial y}$ ,  $\frac{\partial \theta}{\partial y} = -\frac{\partial \bar{\eta}}{\partial \bar{y}}$ , dann entsprechende Differentialquotienten 2. Ordg. etc. Aus ihnen werden sich 2 einfachste Differentialinvarianten  $I_1$  u.  $I_2$  zusammensetzen lassen müssen (die ich mir leider nie wirklich berechnete) u. indem wir sie eindeutigen Functionen von  $y$  und  $z$  gleichsetzen: V.  $I_1 = f_1(y, z)$ ,  $I_2 = f_2(y, z)$ , haben wir diejenigen Differentialprobleme vor uns, welche der Gruppe V entsprechen, u. deren Integration uns wieder als Definition einer neuen Art von Grenzprocess erscheinen muss.

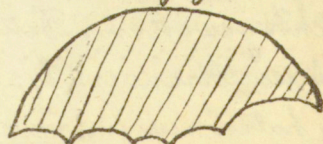
Für unser hyperbolisches Theorem aber bedeutet dieser Satz, dass bei ihm die accessorischen Parameter (die Coefficienten von  $\varphi$ ) so bestimmt werden müssen, dass die zugehörige Differentialgleichg., also etwa  $(\Pi, f) = \varphi \cdot \Pi$ , auf ein Differentialproblem V zurückkommt. Praktisch ist damit feilich zunächst gar Nichts gewonnen. Denn es ist wieder keineswegs sicher, dass die da bei resultirenden  $f_1, f_2$  rationale Functionen von  $y, z$  sein sollen: sie haben nur für reelle  $y, z$  eindeutig zu sein. Zweitens aber werden wir eben nun sehen, dass neben der einen Gleichg., die

das reducirte hyperbolische Polygon liefert, unter den Gleichgen  $(\Pi, f) = \pi$  noch unendlich viele andere auftreten, welche gleichfalls hyperbolische Polygone ergeben, u. also ebenso auf Differentialprobleme V reducirbar sein müssen.

3. Verallgemeinerung des hyperbolischen Theorems. Mi. 4. d. Juli 1881

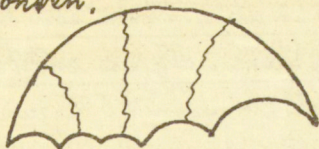
Die Fragestellung, von der wir vor Pfingsten aus gegangen sind, wardie gewesen: dem Polygone der  $\eta$ . Ebene solche Bedingungen aufzuerlegen, durch welche die in der Differentialgleichg. noch unbestimm. (auf accessorischen) Parameter eindeutig festgelegt wurden. Das hyperbolische Theorem, wie das Kreisscheibentheorem, mittels, wenn wir uns seitdem so lange beschäftigt haben, sollten nur je ein Beispiel für eine derartige Festlegung sein. Das besondere Interesse dieser Beispiele, dem wir dann ausführlich Rechnung getragen haben, lag in ihrer Beziehung zur Theorie der automorphen Functionen. Eben darum sind diese Beispiele in der Literatur vielfach behandelt worden. Aber im Sinne unserer ursprünglichen Fragestellung ist diese Beziehung gleichgültig, u. in der That möchte ich jetzt Verallgemeinerungen des hyperbolischen Theorems (wie des Kreisscheibentheorems) zur Sprache bringen, bei welchen keinerlei Beziehung zur Theorie der automorphen Functionen mehr besteht. Ich habe übrigens die Zulässigkeit dieser Verallgemeinerungen bis jetzt in keiner Weise bewiesen; dieselben erscheinen mir nur plausibel, u. ich frage sie hier nur vor, um unserer sonst zu verschwommenen allgemeinen Fragestellung die Richtung auf concrete Ziele zu geben.

Sei hier zunächst ein reducirtes hyperbolisches beth gezeichnet. So haben wir früher gelernt, dass wir dasselbe durch Anhängung von Kreisringen in verschiedener Weise erweitern kann. Wir hätten zu dem Zwecke zunächst 3, Transver.

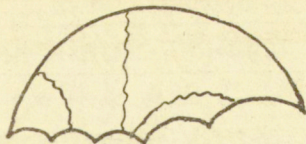




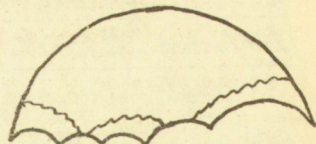
salen im Beck zu ziehen, die selbst in mannigfacher Art angeordnet sein können:



I

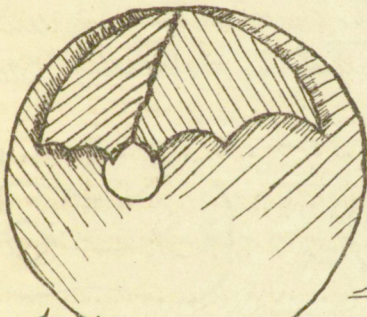


II

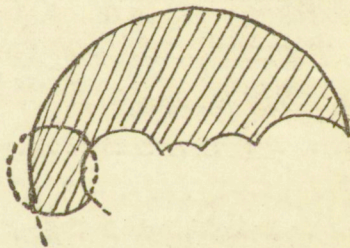


III

Dabei wolle man jetzt noch einen Unterschied machen zwischen Transversalen, welche mit einer Seite parallel sind (d. h. durch Verschiebung mit einer Seite zur Deckung gebracht werden können), u. solchen, die es nicht sind: bei I u. II sind nur 2 der Transversalen mit einer Seite parallel, bei III alle 3 Transversalen. Die Sache ist dann die, dass wir unser Beck „erweitern können, indem wir an jede der Transversalen eine beliebige Anzahl kreisförmiger Vollringe anhängen, oder auch, wenn es sich um eine Transversale handelt, die einer Seite parallel sind, eine beliebige Anzahl kreisförmiger Halbringe.



Anhängung eines Vollrings an die Mitteldiagonale bei I

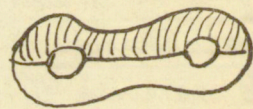


Anhängung eines Halbrings an die Seitendiagonale linker Hand.

Auf diese Weise entsteht dann aus unserem „reducirten“ Sechseck eine unendliche Zahl neuer „Typen“ erweiterter hyperbolischer Sechseck. Und unsere Behauptung ist, dass wir bei irgend vorgegebener Halbebene  $\chi$  mit 6 auf ihrem Rande befindlichen sin-

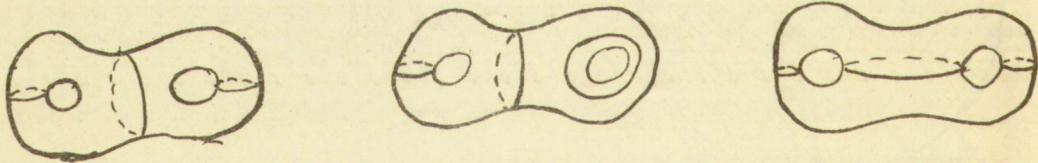
gularären Seiten  $e, \dots, e_6$  die accessorischen Parameter der Differentialgleichg. immer u. nur auf eine Weise so bestimmen können, dass in der  $\eta$ . Ebene ein hyperbolisches Sechseck von irgend welchem vorgegebenen Typus entsteht.

Es liegt mir daran, diesen Satz von der Halbebene mit 6 Verzweigungspeten auf die zugehörige zblättrige Fl. mit 6 Verzweigungspeten zu übertragen, um ihn dann auf beliebige, auch unsymmetrische Fl., deren  $p = 2$  verallgemeinern zu können. Den in I, II, III gezeichneten Transversalen des Sech's entsprechen auf der  $x$  Ebene Linienzüge, die wir nach dem Princip der Symmetrie so fortsetzen mögen, dass sie uns auf der zblättrigen Fl. gewisse „Rückkehrschnitte“ liefern. Art u. Lage dieser Rückkehrschnitte werden wir am leichtesten übersehen, wenn wir statt der 2 blättrigen Fläche gleich den „Doppelring im Räume“ setzen, auf welchen man jene zblättrige Fl. behändlich abbilden kann:



Unsere Halbebene, oder auch das Sech der  $\eta$ -Ebene entspricht dabei in leicht ersichtlicher

Weise der in der Fig. schraffirten oberen Hälfte der uns zugekehrten Vorderhälfte der Ringfl.. Auf dieser Ringfl. werden wir nun den Figuren I, II, III entsprechende, folgende Tripel „symmetrischer“ Rückkehrschnitte haben:

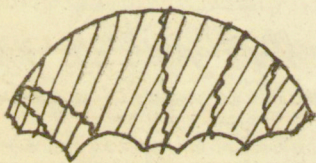


Ersichtlich haben die 3 Figuren folgende Eigentümlichkeit gemein: Man verführe (wie Möbius das seiner Zeit that) unter einer „Elementarform“ eine von 3 Randcurven begrenzte 3fach zusammenhängende Fl. Bei sämtlichen 3 Figuren erweist sich der Doppelring  $p = 2$  nach Ausführung der Rückkehrschnitte in 2 Elementarformen zerlegt.

Nun können wir Systeme von 3 Rückkehrschnitten, welche eine solche Zerlegung bewirken, natürlich auf jeder geschlossenen Fl.  $p=2$ , nicht nur auf den symmetrischen Fl. der hier betrachteten Art, construiren. Wir können sie also auch auf jedem irgendwie gegebenen reducirten hyperbolischen Fundamentallbereiche der  $\eta$ . Ebene, der das Geschlecht 2 aufweist, construiren. Und nun wird offenbar der Erweiterung unseres Sectors durch Anhängung von Vollringen oder Halb-, ringen hier beim allgemeinen Fundamentallbereich  $p=2$  ent-, sprechen, dass wir ihm längs der genannten Rückkehrschnitte je beliebig viele kreisförmige Vollringe einfügen. So stellen sich den neben den „reducirten“ hyperbolischen Bereich des Geschlechtes  $p=2$  unendlich viele Typen „erweiterter“ hyperbolischer Bereiche des, selben Geschlechtes. Wir werden den einzelnen Typus zu bezeich-, nen haben, indem wir auf einem Bereiche des reducirten Typus 3 Rückkehrschnitte zeichnen u. ihnen 3 ganze Zahlen  $\nu_1, \nu_2, \nu_3$  zusetzen. Und wie wird das zugehörige „erweiterte“ hyperbolische Theorem lauten? Es soll irgendwelche hyperelliptische Fl.  $p=2$  ge-, geben sein. Auf ihr werden wir dann zunächst ebenfalls irgend-, wie ein geeignetes System von 3 Rückkehrschnitten aussuchen u. diesem 3 ganze Zahlen  $\nu_1, \nu_2, \nu_3$  beifügen; — wir werden das fernerhin kurz als die Festlegung eines Charakteristikensystems für die auf der Fl. existirende  $\eta$ . Function bezeichnen (insfern wir ja mit „Charakteristik“ die Anzahl von Knoten meinen, dass sich ein Kreisbogen oder Kreisring der  $\eta$ . Ebene selbst überschleigt). Wir betrachten jetzt eine auf der Fl.  $p=2$  unverzweigte  $\eta$ . Function. Und da wird der Satz der sein müssen: dass wir die accessori-, schen Parameter in der Differentialglg. des  $\eta$  inner u. nur auf eine Weise so werden bestimmen können, dass das  $\eta$  die solcher-, weise präparirte Fl. auf einen hyperbolischen Bereich des ent-, wickelten Typus abbildet.

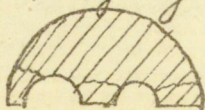
Ich habe das nur erst für  $p=2$  auseinandergesetzt; wie wird

es bei grösseren Werten von  $p$  sein? Damit eine Halbebene mit  $n$  Verzweigungspeten vervierfacht auf eine blättrige Fl. vom Ge-  
schlechte  $p$  führt, müssen wir  $n = 2p + 2$  nehmen. Auf dem  $n$ . Eck  
der  $n$ . Ebene können wir dann nach früheren Angaben  $n - 3 = 2p - 1$   
Transversalen nebeneinander ziehen. Andererseits beweist man,  
dass zur Zerlegung einer Ri. Fl. vom Geschlechte  $p$  in Elementar-  
formen  $3p - 3$  Rückkehrschnitte erforderlich sind (vermöge deren  
dann die Fl. in  $\frac{2-3p-3}{3} = 2p - 2$  Elementarformen zerlegt wird).  
Wie werden diese beiden Zahlenangaben, die für  $p > 2$  verschie-  
den scheinen, dennoch mit einander verträglich sein? Die  
folgende Fig. für  $p = 3$  mag in dieser Hinsicht die erforder-  
liche Erläuterung geben. Wir haben da erstlich auf einem  
Eck fünf Transversalen, dann aber auf der nebenstehen-  
den symmetrischen Fl.  $p = 3$  6 entsprechende, symmetrisch an-  
geordnete Rückkehrschnitte:



(von denen oben einer das allein mit dem Polygon in Vergleich stehen,  
da schraffierte Stück der Fl.  $p = 3$  nicht durchsetzt). —

— Der hier mit besprochenen Erweiterung des hyperbolischen  
Theorems entspricht eine ganz ähnliche Erweiterung des „Kreis-  
scheibentheorems“, über die ich hier nur kurze Andeutung  
machen will. Auf einer Kreisscheibe vom  $n = 2p + 2$  Seiten  
wird man wieder Systeme von  $n - 3 = 2p - 1$  Transversalen con-  
struieren können, die man dann zur „Erweiterung“ der Kreis-  
scheibe durch Anhängung von Vollringen u. Halbringen be-  
nutzen kann:



Solcherweise entstehen aus  
der „reducirten“ Kreisscheibe

unendlich viele Typen, „erweiterter“ Kreisschreiben. Die Behauptung wird sein, dass man eine irgendwie vorgegebene Halbebene  $x$  jeweils durch eine u. nur eine zugehörige  $\eta$ . Function auf eine Kreisschreibe von irgend welchem vorgegebenen Typus abbilden kann. —

Aber noch eine andere Erweiterung des hyperbolischen Theorem's werden wir hier zur Sprache bringen. Wir wollen wieder ein reducirtes Polygon zu Grunde legen. Die Winkel desselben dachten wir letzthin als rechte Winkel, immer aber haben wir sie, um Fühlung mit den automorphen Functionen zu halten in der Form  $\frac{\pi}{l_i}$  vorausgesetzt, wo die  $l_i$  ganze Zahlen. Nun ist aber geometrisch dafür, dass ein reducirtes hyperbolisches Polygon construirt werden kann, die hiermit eingeführte Beschränkung gar nicht nöthig. Vielmehr wird man die Winkelgrößen  $\lambda_i \pi$  nur diesen Bedingungen zu unterwerfen haben:

$$\lambda_i < 1, \quad \sum \lambda_i < n - 2.$$

Ich behaupte nun: dass man bei gegebener Halbebene  $x$ , wenn die den singulären Punkten  $e_i$  beigelegten  $\lambda_i$  nur vorstehende Ungleichheiten befriedigen, allemal auch die accessoirischen Parameter der für das zugehörige  $\eta$  geltenden Differentialgleichg. so bestimmen kann, u. nur auf eine Weise so bestimmen kann, dass in der  $\eta$ . Ebene ein reducirtes hyperbolisches Polygon entsteht. —

So viel von diesen Verallgemeinerungen. Ich hoffe zum Schluss der Vorlesung noch auf sie zurück kommen u. dann ein ganz allgemeines Theorem formulieren zu können, welches sie u. die aus dem Oscillationstheorem hervorgehenden Sätze gleichförmig umfasst. Ich werde mich nun endlich zu den auf letzteres Theorem bezüglichen Betrachtungen.

152.  
Vom Oscillationstheorem.

Das Theorem, welches ich als Oscillationstheorem bezeichne, ist ursprünglich aus physikalischen Betrachtungen erwachsen, hier wird vor allen Dingen seine functionentheoretische Bedeutung darzulegen sein, wobei die Variablen, die beim physikalischen Ansatz natürlich nur reeller Werthe fähig sind, beliebig complex genommen werden können. Ich darf wegen der physikalischen Betrachtungen einmal auf meine Vorlesung über Lamé'sche Functionen von Winter 1889-90 verweisen, dann auf die Preisarbeit von Böcher, die eben nun gedruckt ist u. in der die Bedeutung des Theorems für die Reihenentwicklungen der Potentialtheorie ausführlich entwickelt wird, endlich auf das Buch von Pochels über  $\Delta u + K^2 u = 0$ , wo selbiges in der Theorie der Eigenschwingungen elastischer Körper zur Geltung gelangt.

Die hier zu gebenden Erläuterungen fasse ich unter einer Reihe von Kernern zusammen:

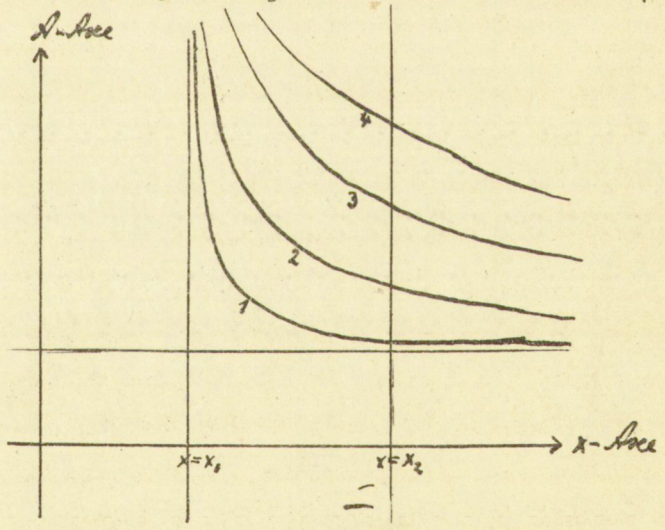
1. Die ursprüngliche Form des Theorems, wie dieselbe der Hauptsache noch schon bei Sturm in Liouville's Journal II (1836) vorliegt. — Das Oscillationstheorem wird überhaupt darauf ausgehen, irgendwelche in einer linearen Gleichg. 2. Ordg. linear vorkommende Constante (accessorische Parameter, oder auch Exponentendifferenzen der singulären Pkte.) dadurch festzulegen, dass man von geeigneten Particularlösungen der Gleichg. Oscillationseigenschaften in geeigneten Intervallen der  $x$ . Axe verlangt. Die ursprüngliche Form des Theorems bezieht sich darauf, dass nur ein Parameter in solcher Weise festgelegt werden soll. Es sei eine Gleichg. vorgelegt

$$\frac{d^2y}{dx^2} = (Au + v)y'$$

wo  $u, v$  Functionen von  $x$  sind, die in einem zu betrach-  
tenden Intervalle der  $x$ -Axe

endlich u. stetig sind, u. von denen  $u$  noch die Eigenschaft  
haben soll, im ganzen Intervalle ein festes Vorzeichen zu be-  
sitzen. Es gibt dann sicher eine Particularlösung  $y_1(x)$ , wel-  
che für  $x = x_1$  verschwindet. Wir verfolgen den weiteren Ver-  
lauf der Functionen  $y_1(x)$  in unserem Intervalle, in-  
dem wir denselben vielleicht durch eine Curve  $y = y_1(x)$   
versinnlichen. Das Oscillationstheorem behauptet dann,  
dass man den Parameter  $A$  der Differentialglg. ge-  
rade auf eine Weise so festlegen kann, dass  $y_1(x)$  nicht  
nur im anderen Endpote des Intervalls, bei  $x = x_2$ , eben-  
falls verschwindet, sondern auch zwischen  $x_1$  und  $x_2$  eine  
vorgegebene Zahl, sagen wir  $r$ , Nullstellen hat. Wir kön-  
nen dies noch deutlicher machen, indem wir uns über  
der Ebene  $(x, A)$  die Fl.  $y = y_1(x, A)$  construirt denken, u.

deren Schnitt  
mit der Ebene  
 $(x, A)$  hier zeich-  
nen. Dieser  
Schnitt besteht,  
wie die Fig. auf-  
weist, aus einer  
Reihenfolge von  
perlsardiger Züge  
1, 2, 3, 4, ... u. un-  
ser Theorem ruht



darauf dass die Ordinate  $x = x_2$  einen jeden dieser Züge nothwen-  
dig einmal u. nur einmal schneidet.

Bei der Anwendung des Oscillations-Theorems, welche Sturm l. c. zunächst im Lineare hat, kommt neben der Randbedingung:  $y = 0$  auch die andere:  $y' = 0$ , oder die noch allgemeinere:  $\frac{y'}{y} =$  gegebene Grösse, in Betracht (wobei die letztere die beiden ersteren als specielle Fälle in sich schliesst); dabei gilt wieder, dass bei irgendwelchen für  $x_1, x_2$  geltenden Randbedingungen der Parameter  $A$  der Differentialgleichg. durch die Zahl der zwischen  $x_1$  und  $x_2$  fallenden Nullstellen eindeutig bestimmt ist. Unsere Fig. gestattet uns, allgemein anzugeben, welche Randbedingungen  $f(y, y') = C$  in diesem Sinne, mit dem Oscillations-Theorem verträglich sind. Offenbar ist dazu erforderlich u. hinreichend, dass  $f(y, y') = C$  innerhalb der Ebene  $\pi$ ,  $A$  eine Curve liefert, die aus unendlich vielen Lügen besteht, von denen immer immer innerhalb eines jeden der Pöreifen liegt, in welche die Ebene durch die Curve  $y = 0$  zertheilt wird, u. dass jeder dieser Lüge, zum mindesten für das Intervall, welches man in Betracht ziehen will, als eindeutige Function von  $x$  definiert. Doch dieses nur beiläufig.

2. Die Erweiterung des Theorems auf den Fall mehrerer linear vorkommender Parameter  $A, B, \dots$ , die dadurch eindeutig festgelegt werden, dass man für mehrere Intervalle Oscillationsbedingungen vorschreibt. Ich will in dieser Hinsicht ad a) den Fall anführen, den ich ursprünglich in Math. An. 18 behandelt habe. Es handelt sich dort um die gewöhnliche Lamésche Gleichg:  $\frac{d^2 y}{dt^2} = (A + Bx) y$ , wot  $t = \int \frac{dx}{\sqrt{x - e_1} \cdot x - e_2 \cdot x - e_3}$ ;  $A$  u.  $B$  sind zunächst beide unbestimmt. Die Gleichg. hat 3 singuläre Pöte im Endlichen, nämlich  $x = e_1, e_2, e_3$ , je mit den Exponenten  $\{ \frac{1}{2} \}$ . Ausserdem hat sie einen singulären Pöte bei  $x = \infty$ , dessen Exponenten  $\vartheta', \vartheta''$  durch die Bedingungen gegeben sind:  $\vartheta' + \vartheta'' = \frac{1}{2}, \vartheta' \vartheta'' = A$ . Hiernach

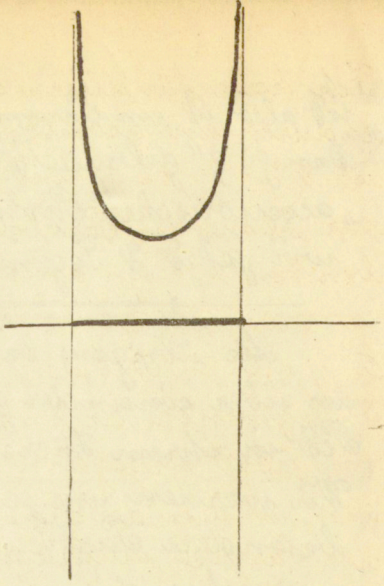


ist also  $A$  ein Parameter, der zur Bestimmung der Exponenten „ $\beta'$ ,  $\beta''$ “ gebraucht wird; nur  $B$  ist im engeren Sinne ein „accessorischer“ Parameter. Um  $A$  u.  $B$  festzulegen, werden wir jetzt 2 Segmente der  $X$ -Axe in Betracht ziehen:

Die übrigen beliebig gewählt sein mögen, aber we, der über einander greifen sollen, noch einen singulären Pkt in ihrem Inneren oder als Endpkt enthalten sollen. Wir werden uns jetzt für jedes unserer Intervalle eine besondere Particularlösung unserer Differentialgleichg. aussuchen, die wir (was ja wohl keine Verwechslung mit sich bringen wird)  $y'$  und  $y''$  nennen wollen. Die Lösung  $y'$  soll für  $x = x_1'$ ,  $y''$  für  $x = x_2''$  verschwinden. Wir verlangen dann, dass  $y'$  auch für  $x = x_1'$ ,  $y''$  entsprechend für  $x = x_2''$  verschwinden soll, so zwar, dass beim  $y'$   $r_1'$  beim  $y''$   $r_2''$  Nullstellen im Inneren des zugehörigen Segmentes auftreten. Und nun behaupten wir, dass durch diese Forderung die beiden Parameter  $A, B$  gerade eindeutig festgelegt werden.

Ich habe das damals in der Art bewiesen, dass ich zunächst den Ausdruck  $Ax + B$  durch eine „Hilfsgerade“  $y = Ax + B$  versinnlichte u. nun nach den verschiedenen Lagen fragte, welche diese Hilfsgerade annehmen wird, wenn man zunächst nur für das eine der beiden Intervalle Erfüllung des vorgeschriebenen Bedingungssystems verlangt. Es ergab sich, dass dieselbe dann eine Curve, eine „Küllcurve“, berühren muss, welche nach Art der vorstehenden Figur in den Streifen, der von den Linien  $x = x_1, x = x_2$  begrenzt wird, asymptotisch eingezwängt ist, u. die kein Paar paralleler Tangenten u. darum auch keinen Wendepkt besitzt. (Wegen der Einzelheiten darf

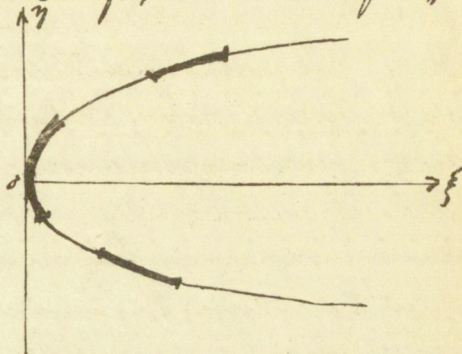
ich schon hier auf die Darstellung von  
 Bocher in seiner Preisschrift verweisen).  
 Und nun beruht das zugehörige Oscilla-  
 tionstheorem einfach darauf, dass die  
 beiden zu unseren 2 Segmenten in die,  
 sem Lini zugehörigen Hüllkurven ver-  
 möge ihrer Gestalt & Lage nothwendig  
 eine u. nur eine gemeinsame Tangen-  
 te besitzen. Es ist das, wie Sie bemer-  
 ken, sozusagen ein Satz der Analysis  
 situs. Zu seiner Begründung beruht  
 ich nicht auf die unmittelbare Evidenz,  
 ohne zu verkennen, dass eine genauere Beweisführung in ana-  
 lytischer Form hier wie anderwärts wünschenswerth wäre. —  
 Ich nenne nun ferner ad b) die etwas allgemeinere Diffe-  
 rentialgleichg.:  $\frac{d^2 y}{dx^2} = (Ax + B - f\left(\frac{x}{l_0}\right)) y$ , welche in Bocher's Preis-  
 schrift zu Grunde gelegt ist. Hier ist  $f(x) = (x - l_1) \dots$   
 $(x - l_2) \dots (x - l_n)$   $t = \int \frac{dx}{x}$ ; wir haben also jetzt 5 singuläre  
 Punkte  $e_1, \dots, e_5$  im Endlichen (denen wieder die Exponenten  $1/2, 0$   
 zukommen) u. ausserdem bei  $x = \infty$  einen sog. scheinbar singulä-  
 ren Pkt, d.h. einen singulären Pkt, dessen Exponenten ( $5/4$  u.  $1/4$ )  
 um die Einheit differiren u. in dessen Nähe trotzdem keine  
 Logarithmen auftreten. Vementopreikens sind jetzt beide Pa-  
 rameter  $A, B$  eigentliche accessoirische Parameter. Der Be-  
 weis des Oscillationstheorems ist jetzt aber gegen den Beweis  
ad a) nur dadurch abzuändern, dass die Hüllkurve des ein-  
 zelnen Segmentes unter Berücksichtigung der Curve 2. Ordg.  
 $y = -f\left(\frac{x}{l_0}\right)$  zu construction ist. Vgl. Alles Weitere bei Bocher.



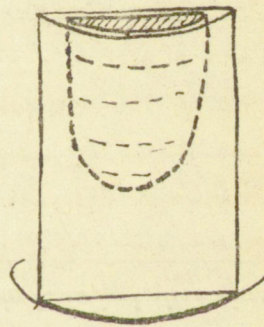
ad c) ziehen wir nunmehr den Fall einer Differentialgleichg.  
 in Betracht:  $\frac{d^2 y}{dx^2} = (Ax^2 + Bx + C) y$ , wo wieder (bei beliebiger  
 Zahl der singulären Pkte  $e_1, e_2, \dots$ ),  $t = \int \sqrt{(x - l_1)(x - l_2) \dots}$

Ich habe für diesen Fall mir in der Wintervorlesung 189-90 da durch eine geometrische Hilfsvorstellung gebildet, dass ich  $x^2 = \xi$ ,  $x = \eta$  setzte, — so dass also der Pkt  $\xi, \eta$  in einer Ebene die Parabel  $\xi = \eta^2$  durchläuft, die wie auf me,

bestehender Fig. andeuten, u. nun die Ebene  $\zeta = A\xi + B\eta + C$  in Betracht zog. Die 3 Segmente der X. Achse, welche von jetzt vorgegeben sein werden, sind in der Fig. bereits auf die Parabel übertragen. Welche Hüllfläche wird unsere Ebene



berühren, wenn wir von unserer Differentialgleichg. nichts An., deren verlangen, als dass sie betreffs eines der Segmente die in Betracht kommende Oscillationsbestimmung befriedige? Ich finde durch eine geometrische Betrachtung, deren genaue Controlirung wie sehr erwünscht sein würde, dass es sich dabei um eine Fl. handelt, welche eine sackartige Gestalt besitzt u. in den cylinderförmigen Raum asymptotisch hinein gezwängt ist, der sich über dem Decke der  $\xi\eta$ . Ebene, welches einerseits vom Parabelsegmente, andererseits



von der zugehörigen geraden gen Sehne umgränzt ist, vertical erhebt. Diese „Hüllfl.“ hat wieder die Eigenschaft, kein Paar paralleler Tangentialebenen zuzulassen, u. eben darum besitzen die 3 Hüllflächen, welche den 3 neben einander in Betracht kommenden Parabelsegmenten entsprechen, notwendig eine u. nur eine gemeinsame Tangentialebene - Eben dies aber ist die Behauptung des Oscillationstheorems.

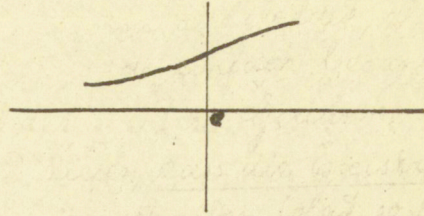
Ad d) wird man endlich Glgcn  $\frac{d^2y}{dt^2} = (Ax^{n-4} + Bx^{n-5} + \dots)y$

mit einer beliebigen Zahl linear vorkommender Parameter in  $\xi, \eta$ ,  
 tracht ziehen u. natürlich die Behauptung aufstellen, dass  $\xi, \eta$ ,  
 eindeutig bestimmt sind, sobald man für eine endsparende Zahl  
 von Intervallen Oscillationsbedingungen der früheren Art vor,  
 schreibt. Den Beweis denke ich mir dann ganz ähnlich, wie  
 bei c), nur dass Constructionen in einem höheren Raum  
 auszuführen sind. Statt der Ebene  $\xi, \eta$  werden wir einen  
 $(n-4)$  fach ausgedehnten Raum zu trachten müssen, in wel-  
 chem die parabelartige Curve  $\xi = x^{n-4}, \eta = x^{n-5}, \dots$  verläuft, auf  
 der wir unsere  $(n-3)$  Segmente abtragen, um dann über ihnen  
 zunächst cylinderartige Raumstücke des  $\mathcal{R}_{n-3}$  abzugrängen, etc. etc.  
 Das ist, wie Sie ohne Weiteres sehen, Alles sehr plausibel, aber aller-  
 dings macht sich hier, um die eindeutige Bestimmtheit der  $\xi, \eta$ ,  
 durch die auf die  $(n-3)$  Segmente bezüglichen Oscillationsbedingun-  
 gen darzuthun, in erhöhtem Maasse das Bedürfniss nach  
 einer genauen analytischen Formulirung des nur in unbe-  
 stimmter Allgemeinheit angedeuteten geometrischen Beweisgan-  
 zes doppelt fühlbar.

3. Fernere Erweiterungen des Theorems, wie sie sich bei den  
 physikalischen Anwendungen von selbst darbieten (vergl.  
 auch hier die Darlegungen in Korn. Böcher's Preisschrift).

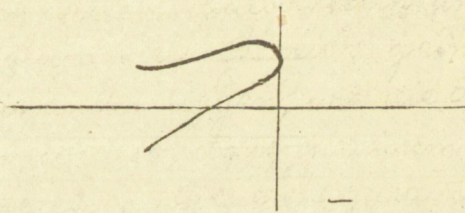
Wir haben vorstehend durchweg mit solchen Differentialgleichungen  
 zu thun, deren im Endlichen gelegene singuläre Pkte als Ex-  
 ponenden  $\frac{1}{x}$  u.  $0$  haben. Hierin liegt, dass wir unser Oscillations-  
 Theorem nicht nur auf Segmente ausdehnen dürfen, welche sich  
an die singulären Pkte heranziehen, sondern auch auf Seg-  
 mente, welche in den singulären Pkten umliegen. Was wir da-  
 bei meinen, wird sofort klar sein, wenn wir untersuchen, wie die  
 Integralcurven unserer Differentialgleichg. auf der einen Seite  
 eines singulären Pktes  $x = \xi$  verlaufen. Wir werden da vor allen  
 Dingen die beiden Fundamentallösungen der Gleichg. arzu-

schreiben haben, die zum Punkte  $x = e$  gehören; ich wähle dieselben so:  $y_1 = \sqrt{e-x}$ ,  $y_2 = \sqrt[3]{e-x}$ ,  $y_3 = \sqrt[4]{e-x}$  (unter  $\sqrt{\quad}$ ,  $\sqrt[3]{\quad}$ ,  $\sqrt[4]{\quad}$  in üblicher Weise Potenzreihen verstanden). Die Curven  $y = y_1(x)$   $y = y_2(x)$  haben dabei folgende Gestalt:




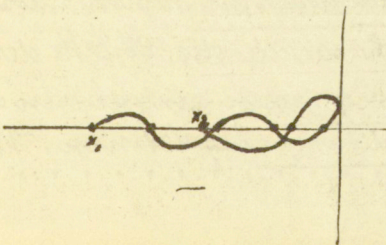
In Folge dessen wird die Curve, welche der allgemeinen Lösung unserer Differentialgleichg entspricht:  $y = a_1 y_1(x) + a_2 y_2(x)$ , so lange  $a_1, a_2$  reell sind, links von  $e$  liegen u. bei  $x = e$  umbiegen:

u. man kann in diese Regel, sogar die Curve  $y = y_2(x)$  einbegreifen, wenn man sich vorstellen will, dass ihr links von  $x = e$  liegender Theil aus den



beiden Zweigen einer parabelartig umbiegenden Curve durch Zusammenrücken der beiden Zweige entstanden ist, während der rechts von  $x = e$  liegender Theil durch entsprechende Vereinigung zweier imaginärer Bestandtheile hervorkommt. — In der That wird nun sofort klar sein, was wir meinen, wenn wir folgendes Segment  $x_1, x_2$  zeichnen

 u. nun verlangen, dass eine zugehörige Particularlösung  $y(x)$  bei  $x_1$  und  $x_2$  verschwindet u. im Inneren des Segmentes 5 Nullstellen hat. Wir meinen einen Verlauf der Curve  $y = y(x)$  von folgender Art:



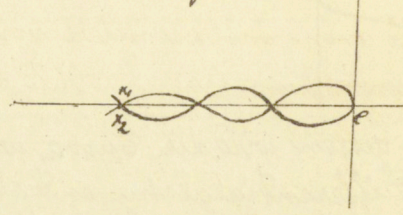
5 Nullstellen  
im Intervalle.

Für solche erweiterte Intervalle wird dann das Oscillationstheorem, wie ich schon in Math. Fr. 18

bemerkte, ungedändert weiterbestehen.

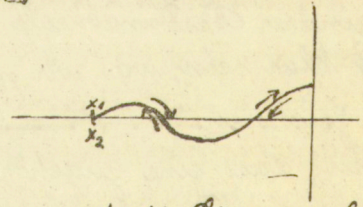
Nun muß besonders hervorgehoben werden, dass die so verallgemeinerte Art von Bedingungen  $\Sigma$  besonders einfache Specialfälle enthält. Dieselben treten ein, sobald  $x_1$  mit  $x_2$  auf der  $X$ -Axe zusammenfällt. Ist dann für das Segment  $x_1, x_2$  eine ungerade Zahl von Nullstellen vorgeschrieben, so wird man folgenden Curvenverlauf haben:

wir brauchen dann offenbar nur von dem einfachen Segment  $x_1 = x_2 = e$  zu reden, in der Art, dass wir verlangen, die Particularlösung  $y_1$ , welche bei  $x_1 = -x_2$  verschwindet, solle auch bei  $x = e$  verschwinden u. zwischendurch eine vorgegebene Zahl von Nullstellen darbieten. Wir drücken das dann kurz so aus, dass wir sagen, unsere Lösung solle bei  $x_1 = -x_2$  verschwinden u. bei  $x = e$  sich wie die Fundamentallösung  $y_1$  verhalten.



Nun mag aber für das in  $x = e$  umbiegende Intervall  $x_1, x_2$  eine gerade Zahl von Nullstellen vorgeschrieben sein. Dann ist die Sache offenbar die, dass es sich um eine doppeltzählende Curve handelt, welche bei  $x = e$  einfach umkehrt:

Nehmen wir nun auch da statt des Segmentes  $x_1, x_2$  das einfache Stück der  $X$ -Axe von  $x_1 = -x_2$  bis  $x = e$  in Betracht, so haben wir offenbar bei  $x = e$  die neue Randbedingung, dass sich die Lösung  $y$  bei  $x = e$  wie die Fundamentallösung  $y_2$  verhalten solle.



Alle die hiermit berührten Möglichkeiten können natürlich in Combination auftreten. Ich werde die Stücke der  $X$ -Axe, welche von den aufeinanderfolgenden singulären Stellen begrenzt werden, als Intervalle der  $X$ -Axe bezeichnen. Wir

können dann „Segmente“ der  $X$ -Axe in Betracht ziehen, welche sich um ein Intervall mehrfach herumwinden, u. wenn ein solches Segment in einem Endpunkt des Intervalls selber seinen Abschluss findet, so können wir immer noch nach Belieben festsetzen, ob die zugehörige Lösung  $y$  sich dort wie die Fundamentallösung  $y_1$  oder wie die Fundamentallösung  $y_2$  verhalten solle. Ich will nun insbesondere von einem ausgezeichneten Bedingungenssysteme reden, sobald alle  $n-2$  in Betracht zu ziehenden Segmente ausgezeichnete Segmente sind, d. h. Segmente, welche beiderseits ihren Abschluss in einem singulären Pkt finden. Die Differentialgleichungen aber, welche durch ein derartiges ausgezeichnetes Bedingungenystem im Sinne des Oscillationstheorems festgelegt werden, nenne ich ausgezeichnete Differentialgleichungen. Mit ihnen werden wir uns in der Folge ganz besonders beschäftigen.

#### 4. Neue Erweiterungen des Oscillationstheorems.

Mi. 29. Juli

u. Erinnern wir uns zuvörderst, dass es 2 Umänderungen einer Differentialgleichg. 2. Ordg. gibt, welche dieselbe nur unwesentlich beeinflussen. Die 1. besteht darin, dass wir das  $y$  der Gleichg. mit irgend einem Factor  $M(x)$  multipliciren (der sich aus dem Quotienten  $\eta = \frac{y_1}{y_2}$  wieder heraushebt), die andere darin, dass wir für  $x$  irgend ein  $\frac{y_1}{y_2} = \frac{\alpha x + \beta}{\gamma x + \delta}$  einführen. Unser Oscillationstheorem bleibt unabhängig von diesen Modificationen bestehen, sofern wir nur solche Nullstellen, welche für  $y_1$  und  $y_2$  gemeinsam in dem zu betrachtenden Segmente durch Verschwinden des  $M(x)$  entstehen (scheinbar singuläre Pkte), nicht mitzählen. In der linearen Transformation des  $x$  liegt insbesondere das Mittel, auch solche Segmente dem Oscillationstheorem zugänglich zu machen, welche sich sonst ins Unendliche erstrecken, oder auch, wenn  $x = \infty$  ein dazu geeigneter singulärer Pkt ist, im Unendlichen umliegen. Man würde übrigens jede solche auf dem Pkt.

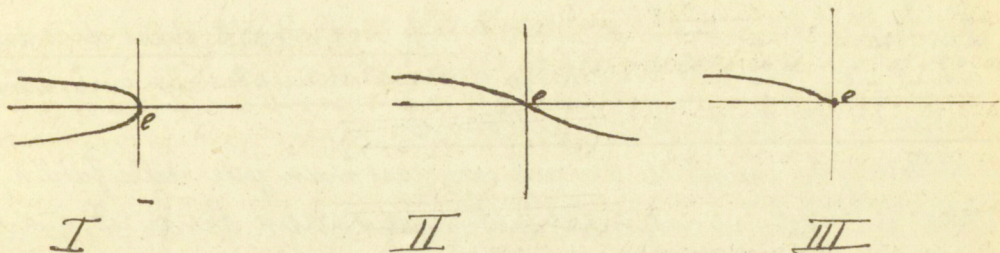
$x = \infty$  bezügliche Specialdiscussion von vorneherein vermeiden können, wenn man sich entschliessen wollte, überall statt der „Funktionen“  $y(x)$  „Formen“  $\Pi(x, x_2)$  zu betrachten, (wo man den statt der Schnittpuncte der Curve  $y$  mit der  $x$ . Axc die Verschwindungspuncte der  $\Pi$  abzählen müsste).

b. Wichtig ist es zu fragen, ob man die bisher dergleichen Theorie von der gewöhnlichen Laméschen Glchg. (deren sämtliche singuläre Puncte, soweit sie im Endlichen liegen, die Exponentendifferenz  $\frac{1}{2}$  aufweisen) auf allgemeinere lineare Differentialgleichgen 2. Ordg. übertragen kann. Für Segmente, welche nicht an singuläre Puncte heranreichen, ist dies sicher ohne Weiteres der Fall. Aber natürlich interessieren wir uns gerade für Segmente, welche an singuläre Puncte heranreichen. Ich will hier zunächst annehmen, dass der in Betracht zu ziehende singuläre Punct ein regulärer Punct sein soll, dem eine reelle, nicht ganzzahlige Exponentendifferenz  $\lambda$  zugehört, welche wir (ohne damit eine Einschränkung einzuführen) als positiv voraussetzen wollen. Ich will mir ferner die zugehörige Differentialgleichg. 2. Ordg. so normirt denken, dass ihre beiden zum singulären Puncte gehörigen Exponenten  $\lambda$  und  $0$  sind. Dann hat man also in der Umgebung des singulären Punctes folgende 2 Fundamentalsystemen:  $y_1 = (e-x)^{\lambda} \cdot \int_0 (e-x)$ ,  $y_2 = \int_0 (e-x)$ . Wir betrachten vor allen Dingen den Verlauf der beiden Curven  $y = y_1(x)$  und  $y = y_2(x)$  in der Nähe des singulären Punctes. Ueber die Curve  $y_2$  ist dabei nichts Besonderes zu sagen: sie zieht einfach durch die Ordinate  $x = e$  hindurch, welchen Werth auch  $\lambda$  haben möge.

Ganz anders ist es mit der Curve  $y_1$ . Hier müssen wir unterscheiden, ob  $\lambda$  eine rationale Zahl  $\frac{m}{n}$  mit geradem Nenner ist, oder eine rationale Zahl mit ungeradem Nenner, oder



endlich eine irrationale Zahl. Im ersten Falle wird die Curve  $y$ , so wie wir es von der Laméschen Gleichg. können bei  $x = e$  umbiegen, im 2. die Ordinate  $x = e$  einfach durchsetzen im 3. Falle bei  $x = e$  überhaupt abbrechen:



I

II

III

In Folge dessen wird man nur im Falle I alle die Betrachtungen wiederholen können, die wir bei der Laméschen Gleichg. über Segmente ausstellten, die bei  $x = e$  umbiegen. Es scheint aber auch keinerlei Schwierigkeit vorzuliegen, die Betrachtungen dann gerade so durchzuführen u. dem Oscillations-Theorem also dieselbe Tragweite zu ertheilen, wie im Laméschen Falle. Insbesondere werden wir also von „ausgezeichneten“ Segmenten sprechen dürfen, die beiderseits in einem singulären Pkte endigen, u. bei jedem solchen ausgezeichneten Segmente das eine von 4 „ausgezeichneten“ Bedingungenssystemen einführen dürfen, nämlich dass sich die von uns in Betracht zu ziehende Particularlösung der Differentialgleichg. in den beiden singulären Endpunkten des Segmentes je nachdem wie die zugehörige Fundamentallösung  $y_1$  oder wie  $y_2$  verhalten soll. Ganz anders aber liegt es in den Fällen II und III. Da kann von Segmenten, die im singulären Pkte  $e$  umbiegen, überhaupt nicht die Rede sein, u. wenn wir annehmen, dass  $e$  auf der  $X$ -Achse auf einanderfolgende singuläre Pkte  $e_i$  u.  $e_{i+1}$ , beide einer dieser Kategorien II oder III angehören, so kommt als „ausgezeichnetes“ Segment bei einer solchen Differentialgleichg. nur dasjenige in Betracht, welches

sich von  $e_i$  bis  $e_{i+1}$  längs der  $X$ . Axe einfach hinzieht.  
 Werden wir nun wenigstens ein solches einfaches Segment  
 mit einem der 4 zugehörigen „ausgezeichneten“ Bedin-  
 gungssysteme ganz in früherer Weise beim Oscillations-  
 Theoreme benützen dürfen? Ich behaupte, dass dies in der  
 That der Fall ist, u. stütze diese Behauptung auf eine be-  
 sondere Freiheitsbetrachtung.

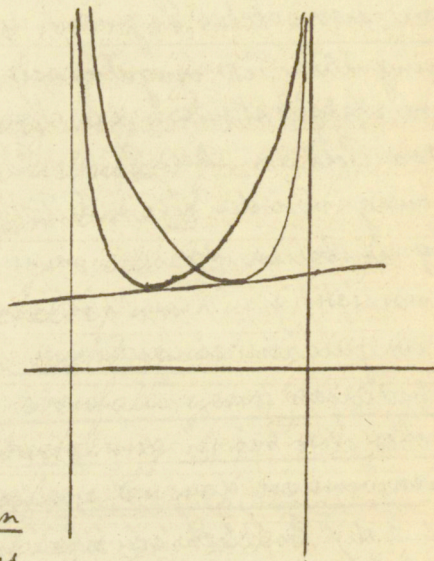
Ich gehe nämlich darauf aus, dass man jede reelle Zahl  $\lambda$ , wel-  
 che selbst keine rationale Zahl mit geradem Nenner ist, zwischen  
 2 andere rationale Zahlen mit geradem Nenner:  $\lambda_1$  u.  $\lambda_2$  beliebig  
 enge einschliessen kan. Nun wird für die Erstreckung des ein-  
 fachen Intervalls zwischen einer Function  $y$ , welche einer line-  
 aren Differentialgleichg mit den Exponenten  $\lambda$  und 0 und irgend  
 welchen vorgegebenen Werthen der accessorischen Parameter ge-  
 nügt, u. einer anderen Function, welche einer linearen Differen-  
 tialgleichg. mit denselben Werthen der accessorischen Parameter,  
 aber den Exponenten  $\lambda_1$  } beziehungsweise  $\lambda_2$  } genügt, nur  
 ein unmerklicher Unterschied sein. Bei letzterer Function aber  
 liefert das in Rede stehende ausgezeichnete Bedingungssystem  
 eine solche Einschränkung der accessorischen Parameter, wie  
 wir sie für das Oscillations Theorem gebrauchen können, also  
 schliesse ich, dass das auch bei der Differentialgleichg. mit den  
 Exponenten  $\lambda$  } der Fall ist. —

c) Ich betrachte noch kurz das etwaige Auftreten  
 anders gearteter singularer Pkte. Natürlich muss die Differen-  
 tialgleichg. bei welcher wir unsere Oscillationsbetrachtungen  
 anstellen, durchaus reelle Coefficienten haben. Wenn dann ein singu-  
 lärer Pkt regulär sein soll, so braucht darum seine Exponenten-  
 differenz nicht reell zu sein, sie kan auch (wie wir das schon  
 bei der hypergeometrischen Differentialgleichg. lernten) ein imagi-  
 när sein. Aber eben bei der hypergeometrischen Differential-

gleichg. haben wir auch gesehen, wie sich die Lösung  $y$  bei Annäherung an einen solchen singulären Pkt verhält: sie führt unendlich viele Oscillationen aus. Deshalb kann natürlich nicht davon die Rede sein, dass wir für ein Segment, welches sich bis an den singulären Pkt. heranzieht, eine bestimmte endliche Zahl von Nullstellen vorschreiben: es geht nicht an, das Oscillationstheorem auf ein solches Segment auszudehnen. — Wie aber ist es, wenn der singuläre Pkt. irregulär sein soll? Da liegen jedenfalls sehr verschiedene Möglichkeiten vor. Man denke nur, wie das bei dem irregulären Pkt. der Bessel'schen Differentialgleichg. ist, wo sich bei Annäherung von der einen Seite her unendlich viele Oscillationen des  $y$  einstellen, von der anderen Seite gar keine. Wir werden uns vorsichtiger Weise dahin aussprechen wollen, dass es im Falle eines irregulären singulären Punctes jeweils besonderer Untersuchung bedürfen wird, um zu entscheiden, ob man auf ein Segment, welches sich bis an den singulären Pkt. dehnt, das Oscillationstheorem anwenden darf oder nicht.

d) Endlich erwähne ich einer letzten Erweiterung des Oscillationstheorems. Wir unterwerfen unsere  $(n-3)$  Parameter ebensoviele auf  $(n-3)$  verschiedene Intervalle bezüglichen Bedingungen. Können wir nicht für einzelne Intervalle Doppelbedingungen in Betracht ziehen (wobei dann natürlich die Zahl der Intervalle entsprechend zu verkleinern wäre)? Ich denke daran, für „ausgezeichnete“ Segmente Doppelbedingungen in der Art einzuführen, dass ich verlange: nicht nur die Lösung, welche am linken Ende des Segmentes mit  $y_1$  übereinstimmt, soll am rechten Ende mit  $y_2$  stimmen, sondern auch soll die Lösung, die sich am linken Ende wie  $y_2$  verhält, sich am rechten Ende wie  $y_1$  verhalten. Natürlich wird man daneben für die beiden Lösungen innerhalb des Segmentes nur je die selbe Anzahl von Nullstellen vorschreiben dürfen, diese aber null.

kürzlich wählen können. Ich will an dem Beispiele einer Gleichg. mit nur 2 Parametern  $A, B$  dies noch näher ausführen. Wir haben da die Hilfsgerade  $y = Ax + B$  u. den beiden Hälften unserer Doppelbedingung entsprechend 2 Hüllcurven in Betracht zu ziehen. Ich denke mir nun, dass diese beiden Hüllcurven so gegeneinander liegen, wie in der nebenstehenden Fig., wo die eine an die Ordinate links, die andere an die Ordinate rechts näher asymptotisch herangedrängt ist. Die beiden Hüllcurven haben in einem solchen Falle in der That eine u. nur eine gemeinsame Tangente, so dass also eindeutige Bestimmtheit der  $A, B$ , d. h. Geltung des Oscillationsstheorems resultirt. —



5. Von der einfachsten analytischen Anwendung des Oscillationsstheorems,

nämlich von der Anwendung auf die Theorie der Laméschen Polynome.

Diese „einfachste“ analytische Anwendung soll die Einleitung zu ferneren functionentheoretischen Anwendungen bilden, auf die wir erst weiter unten zurückkommen.

Wir handeln zunächst von den Laméschen Polynomen im engeren Sinne u. recapitulieren zunächst die wesentlichen Resultate, die sich bezüglich derselben auf p. 162-177 der Winteraudographie abgeleitet finden. Wir gehen dabei von der Differentialgleichg. aus:  $\frac{d^2 y}{dt^2} = (Ax^{n-4} + Bx^{n-5} + \dots) y$ , wo  $t = \int \frac{1 dx}{\sqrt{(x-2_1) \dots (x-2_{n-2})}}$  d. h. von einer Differentialgleichg. mit  $n-2$  singulären Stellen im Endlichen, deren jeder die Exponenten  $0\frac{1}{2}$  besitzt. Für den ebenfalls singulären St.  $x = \infty$  kommen dann die Exponenten  $\rho', \rho''$ , wo  $\rho' + \rho'' = \frac{n-4}{2}$ ,  $\rho' \rho'' = A$ . Die Frage ist, ob man die  $n-3$  Parameter  $A, B, \dots$

so bestimmen kann, dass eine algebraische Particularlösung  $\mathcal{E}(x)$  der folgenden Form existiert:

$$\mathcal{E}(x) = \prod (x - e_i)^{\epsilon_i/2} \cdot \Phi_k(x).$$

Hier sollen die  $\epsilon_i$  je nachdem 0 oder 1 bedeuten; wir unterscheiden da nach verschiedene Typen Laméscher Polynome;  $\Phi_k(x)$  aber (das eigentliche Lamésche Polynom) soll eine rationale ganze Function  $k$ ten Grades von  $x$  bezeichnen. Wir haben dann gelernt, dass diese Frage bei beliebig vorgegebenen  $\epsilon_i$ ,  $k$  zu bejahen ist, u. dass jedesmal eine ganze Reihe verschiedener Lösungen existiren, für welche folgende Gesetze gelten:

1) Alle jeweils existirenden  $\Phi_k(x)$  sind reell, d. h. haben reelle Coefficienten,

2) Jedes  $\Phi_k(x) = 0$  ergibt  $k$  getrennte reelle Wurzeln, welche zwischen  $e_i$  und  $e_{i+1}$  liegen, ohne mit einem der intermediären  $e$  zu „sammenzufallen.“

3) Das einzelne  $\Phi_k(x)$  ist durch die Art u. Weise eindeutig charakterisirt, wie sich seine Wurzeln auf die  $(n-3)$  Intervalle  $e_1, e_2, e_3, \dots, e_{n-3} - e_{n-2}$  vertheilen, u. zwar correspondirt jeder möglichen Vertheilung, weise auch jedesmal ein zugehöriges  $\Phi_k(x)$ . —

Es wäre nun die Frage, wie weit dieses Resultat vom Oscillations Theorem aus zugänglich ist. Es ist leicht zu sehen, dass dies in der That der Fall ist bis auf einen einzigen später noch zu bezeichnenden Ext., dass aber dabei die Ueberlegungen gerade in umgekehrter Reihenfolge geordnet werden müssen, wie bei der gewöhnlichen Theorie.

Wir werden nämlich damit beginnen, dass wir die Existenz einer Particularlösung verlangen, welche sich in den  $n-2$  singulären Stellen  $e_i$  wie  $\prod (x - e_i)^{\epsilon_i/2}$  verhält u. innerhalb der  $n-3$  zwischen diesen Stellen einfach hinerstreckten Segmente je eine bestimmte Anzahl von Nullen, sagen wir  $\gamma$ , mal, verschwindet. Wir haben damit für jedes der  $n-3$  Segmente ein „ausgezeichnetes“ Bedingungs-system

vorgeschrieben, das Oscillationstheorem besagt also, dass damit die zugehörige Diff. gleichg. vollkommen bestimmt ist.

Wir schliessen jetzt ferner, dass das fragliche  $U(x) = \pi(x - e_i)^{\epsilon_i/2} \Phi_K(x)$  sein wird, unter  $\Phi_K(x)$  ein Polynom verstanden. Denn  $\Phi_K(x) = \frac{U(x)}{\pi(x - e_i)^{\epsilon_i/2}}$  wird, indem es unserer Diff. Gleichung genügt, für alle endlichen Werte von  $x$  stetig u. eindeutig sein, es wird sich überdies bei  $x = \infty$  insofern doch der Coefficient  $A$  durch unsere Oscillationsbedingungen als endliche Grösse festgelegt ist, wie eine algebraische Function verhalten.

Aber wie gross ist nun der Grad  $K$  dieses Polynoms? Hier ist der Pkt., wo die blosse Betrachtung des Oscillationstheorems nicht ausreicht, wo ergänzende Entwicklungen verlangt werden, denen wir sogleich Nr. 6 widmen wollen. Es ist nämlich zunächst nur zu sehen, dass  $K \geq \sum v$  sein muss, keineswegs aber, dass  $K = \sum v$  sein muss. In der That besagt uns das Oscillationstheorem gar nichts darüber, ob nicht  $\Phi_K(x)$  möglicherweise auch noch auf den beiden „äusseren“ Intervallen, die zwischen  $\infty$  u.  $e_1$ , bez. zwischen  $e_{n-2}$  u.  $\infty$  liegen, verschwindet, namentlich aber nichts darüber ob  $\Phi_K(x) = 0$  nicht möglicherweise complexe Wurzeln hat. Diese Frage nach dem  $K$ , die wir durch ergänzende Betrachtungen lösen müssen, können wir schliesslich als die Frage nach den Exponenten  $\beta', \beta''$  des singulären Punktes  $x = \infty$  bezeichnen. Wenn wir andererseits bestimmen, wie oft  $\Phi_K(x)$  noch auf den beiden äusseren Segmenten verschwindet, so wird damit die Frage nach den Charakteristiken  $\chi$ , die diesen Segmenten im Sinne des vorigen Semesters beizulegen sind, beantwortet sein.

Noch ein Pkt. bleibt bei dieser vom Oscillationstheo. S. 1. Aug. hem ausgehenden Definition der  $\Phi_K$  unerledigt. Wir construiren eine gewisse Zahl reeller  $\Phi_K$ , aber woher wissen wir, dass wir die Lamésche Gleichg. bei geeigneten Werten der  $A, B, \dots$  nicht auch durch  $E$ , resp.  $\Phi_K$  mit imaginären Coefficienten

befriedigen können? Es folgt dies natürlich sofort, wenn wir beachten, dass die Zahl der reellen  $\Phi_k$ , die wir construiren, mit dem Grade des algebraischen Problems, welches wir für die Coeff. ficienten von  $\Phi_k$  früher aufstellten, übereinstimmt. Jedenfalls aber bedarf das Oscillations-Theorem, bez. die von ihm ausgehende Entwicklung, auch in dieser Hinsicht der Ergänzung.

Wir erweitern jetzt die ganze Frage der Laméschen Polynome auf den Fall, wo als Exponenten der Pot.  $e_1, e_2, \dots, e_{n-2}$  nicht  $\frac{1}{2}$  u. 0 vorgeschrieben sind, sondern beziehungsweise  $\lambda_i$  u. 0, wo die  $\lambda_i$  irgend welche reelle Grössen sein sollen, die wir unbeschadet der Allgemeinheit als positiv voraussetzen können. Wir schränken die  $\lambda_i$  nur insofern ein, als wir voraussetzen wollen, dass sie nicht ganzzahlig sind; doch geschieht dies nur der Kürze halber, um nicht von dem Auftreten logarithmischer Terme sprechen zu müssen, eine wirkliche Schwierigkeit wird das Auftreten ganzzahliger  $\lambda_i$  wohl nicht mit sich bringen. Unsere Diff. gleich. enthält auch jetzt  $n-3$  linear vorkommende Parameter  $A, B, \dots$  wird es möglich sein, dieselben so festzulegen, dass es eine Particularlösung der Form  $E = \Pi (x - e_i)^{\epsilon_i \lambda_i \Phi_k(x)}$  gibt. 2

Die hier auftretenden  $\epsilon_i$ , die beliebig gegeben werden sollen, bedeuten wieder 0 oder 1. —

In dieser Hinsicht liegen nun 2 Ansätze vor:

1) Der Ansatz von Stieltjes, über den in der Winterautogra. phie p. 175-182 berichtet ist. Derselbe ist nicht allgemein, sondern bezieht sich nur auf solche Fälle, bei denen  $\epsilon_i \lambda_i < 1$ . Für diese Fälle findet Stieltjes genau dieselbe Zahl der  $\Phi_k$  u. dieselben Theoreme über ihre u. ihrer Wurzeln Realität, wie wir sie vorher hatten, als alle  $\lambda_i = \frac{1}{2}$  waren. Wird dies Resultat nun auch bleiben, wenn nicht mehr alle  $\epsilon_i \lambda_i < 1$ ? Aus den Betrachtungen von Stieltjes scheint hervorzugehen, dass es dann nicht weiter bestehen kann, doch hat Stieltjes selbst diesen P.D nicht klar gestellt.

2) Der vom Oscillationstheorem ausgehende Ansatz. Das scheint es, dass wir ganz unabhängig von den  $\varepsilon \lambda_i$  vorgehen können. In dem wir  $E = \prod (x - \varepsilon_i)^{\lambda_i}$ .  $\Phi_n(x)$  setzen u. nun für  $\Phi_n$  im Intervalle  $e_1, e_2$  als Zahl der Nullstellen  $v_1$  im Intervalle  $e_2, e_3$  als Zahl der Nullstellen  $v_2$  . . . vorschreiben, wird dadurch, wie früher, über die Parameter der Differentialgleichg. eindeutig bestimmt, u. man schließt wieder, dass  $\Phi_n(x)$  ein Polynom sein muss.

Aber wie lassen sich diese beiden Ansätze, sobald ein  $\varepsilon \lambda_i > 1$ , mit einander vereinigen? Der Ausgleich muss darin liegen, dass wir vom Oscillationstheorem aus nur schliessen können, dass der Grad  $K$  des Polynoms  $\Phi(x) \geq \sum v$  ist, während er sich im Falle von Heiljes direct  $= \sum v$  erweist. Ich vermuthe also, dass  $K$ , sobald nur ein  $\varepsilon \lambda_i > 1$  wird,  $> \sum v$  wird, u. dementsprechend dann  $\Phi_n(x) = 0$  entweder noch weitere reelle Wurzeln in den beiden „dusseren“ Intervallen  $e_{n-1}, \infty, \infty, e$ , oder aber complexe Wurzeln bekommt. Hierüber kann uns das Oscillationstheorem als solches keine Antwort geben; wir werden wieder ergänzende Betrachtungen verlangen müssen. Da muss sich den nicht nur zeigen, wie bei gegebenen  $K$  es um die Realität der Wurzeln der zugehörigen reellen  $\Phi_n$  u. um die Vertheilung der Wurzeln auf die verschiedenen Intervalle bestellt ist, sondern auch, ob es (bei gegebenem  $K$ ) nur reelle  $\Phi_n$  gibt, ob nicht der algebraische Ansatz, durch den wir  $\Phi_n$  definiren können, einige complexe  $\Phi_n$  liefert. —

Nun noch eine letzte Erweiterung unserer Fragestellung. Statt der  $n-1$  Verzweigungsstellen  $e_1, \dots, e_{n-1}, \infty$  von denen die letzte unbestimmte Exponenten besass, denken wir uns jetzt  $n$  Verzweigungsstellen  $e_1, \dots, e_n$ , alle mit bestimmten Exponenten  $\lambda_i, 0$  gegeben, wo die  $\lambda_i$  wieder beliebige, reelle, positive, nicht ganzzahlige Grössen vorstellen sollen). Natürlich werden wir, wenn wir unser dieser einfachen Vorschrift an-



schliessen wollen, ohne noch bei  $x = \infty$  oder sonstwo einen scheinbar singulären Pkt. in Kauf zu nehmen, uns der formentheoretischen Formulierung bedienen müssen. Sei es inzwischen der Kürze halber gestattet, uns trotzdem, etwas ungenau, wie früher auszudrücken. Wir haben in unserer Differentialgleichg. jetzt  $n-3$  eigentliche accessorische Parameter. Wäre es möglich sein, dieselben so festzulegen, dass eine Particularlösung  $E$  unserer Differentialgleichg. von folgender Form existiert:  $E = \prod_{i=1}^{n-3} (x-e_i)^{e_i} \cdot F(x)$ , unter  $F(x)$  eine Function verstanden, die bei  $e_1, \dots, e_{n-3}$  unverzweigt u. von Null verschieden ist, sofern wir noch vorschreiben, dass  $F$  im Intervalle  $e_1, e_2$   $\nu$ mal im Intervalle  $e_2, e_3$   $\nu''$ mal,  $\dots$  verschwinden soll? Das Oscillationstheorem besagt, dass das in der That u. nur auf eine Weise möglich ist. Aber darüber hinaus werden wir über  $F(x)$  Weiteres wissen wollen.  $F(x)$  ist jetzt natürlich kein Polynom, nicht einmal eine eindeutige Function von  $x$ , sondern (allgemein zu reden) bei  $e_{n-1}$  u.  $e_n$  verzweigt. Um einen bestimmten Funktionszweig  $F(x)$  zu isoliren, werden wir jetzt von  $e_{n-1} - e_n$  einen Querschnitt führen, längs dessen übrigens unser  $F(x)$  gar nicht reell zu sein braucht. Wir werden vor allen Dingen fragen, wie oft  $F(x)$  noch in den Intervallen  $e_{n-2} \sim e_{n-1}$  und  $e_n \sim e_1$  (in denen es noch reell ist, verschwindet, u. wie oft es übrigens in der complexen Ebene verschwindet? Andererseits werden wir fragen, welches dann die Charakteristikk  $X$  der Differentialgleichg. für das letzte Intervall sein wird? Diese Charakteristikk  $X$  tritt, wie wir bemerken, an Stelle des Exponenten  $-k$ , den wir vorher für den singulären Pkt.  $s$  (in den damals das Intervall  $e_{n-1} \sim e_n$  zusammengeschrunpft war) suchten. Die hierin liegende Vergleichg. wird uns später, wie wir hier vorab bemerken, in noch viel prägnanterer Weise entgegen treten, indem wir mit der Exponentendifferenz eines singulären Pkt.

d. h. der Grösse eines Winkels in unserem  $\eta$ . Polygon, gradezu die Euklidische Länge einer Polygonsseite parallelisieren, also nicht nur die Zahl der Selbstüberschlagungen des Winkels mit der Zahl der Selbstüberschlagungen der Seite.

6). Verwendung des  $\eta$ . Polygon's zur Aufstellung der an-  
zustrebenden Ergänzungstheoreme.

Was Formulierung u. Beweis der unter 5) verlangten Ergänzungstheoreme angeht, so bietet sich uns naturgemäss die Idee, hierfür jetzt die Polygone der  $\eta$  Ebene heranzuziehen.

In der That haben sich die  $\eta$ . Polygone uns schon imal in diesem Sinne als nützlich erwiesen: Das h. Mal bei der hypergeometrischen Diff. gleichg. ( $n=3$ ), indem wir durch Betrachtung des Kreisbogendreiecks mit den Winkeln  $\lambda, \pi, \lambda, \pi, \lambda, \pi$  die Charakteristiken  $\chi$  der 3 Intervalle  $e, e_1, e_2, e_3, e$ , explicit festlegten (Sommer 1890, Annalen 37). Dann wieder bei der Lamé'schen Gleichg.  $n=4$ , beider  $x = \infty$  noch unbestimmten Exponenten hatte: wir haben auf p. 211ff. der Winderautographie entwickelt, wie der zu  $x = \infty$  gehörige Winkel des  $\eta$ . Polygons u. die Selbstüberschlagungen der Seiten des bez. Kreisbogenvierecks unter einander verknüpft sind u. damit in geometrischer Form die sämtlichen Ergänzungstheoreme festgelegt.

So nun werden wir auch hier die  $\eta$ . Polygone benutzen wollen.

Ich handele zunächst von dem allgemeinen Falle mit  $(n-1)$  Verzweigungsstellen  $e_1, e_2, \dots, e_{n-2}, \infty$ . Ausgehend von der besondern Particularlösung, die da existieren soll:

$$E = \prod (x - e_i)^{c_i \lambda_i} \cdot \Phi_n(x),$$
 wählen wir  $\eta = \int \frac{dx}{\prod (x - e_i)^{1 - \lambda_i} \cdot \Phi_n(x)}$  und bemerken, dass dieses  $\eta$  die Halb-ebene  $x$  auf ein geradeiniges Polygon abbildet, für welches wir folgende Angaben haben:

- 1) Die Winkel, welche den  $n-2$  Ecken  $x = e_1, e_2, \dots, e_{n-2}$

zugehören, sind als  $\lambda_1, \pi, \dots, \lambda_{n-2}, \pi$  gegeben. dagegen ist der Winkel der letzten Ecke  $x = \infty$ , unbestimmt.

2) Aus der Formel für  $\eta$  folgt, dass alle diejenigen Ecken  $x = \varepsilon_i$  im Unendlichen liegen, für welche  $\varepsilon_i = 1$ ; die anderen liegen im Endlichen. Ebenso ist aus der Formel leicht abzulesen, ob die Ecke  $x = \infty$  in der  $\eta$ -Ebene im Endlichen oder Unendlichen liegt.

3) Die Seite  $e_1, e_2$  zieht  $v'$  mal, die Seite  $e_2, e_3$   $v''$  mal, ... durchs Unendliche.

Dem Oscillationstheorem als solchen entnehmen wir, dass es jedenfalls möglich sein muss, für beliebige Werthe der  $\varepsilon_i, \lambda_i, v$  ein geradliniges Polygon dieser Art zu construiren. Die geometrische Discussion aber soll uns darüber aufklären:

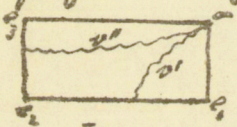
4) wie oft nun die beiden letzten Polygonsseiten  $e_{n-2}, \infty, e_{n-1}$

5) wie oft die „Fläche“ des Polygons durchs Unendliche zieht,  $\mu$ . 6) wie gross dementsprechend der in der Ecke  $x = \infty$  gelegene Winkel ist. Ich glaube nicht, dass es irgend schwer sein kann, diese Fragen allgemein zu beantworten, habe aber leider keine Zeit gehabt, mich hinreichend lange damit zu beschäftigen. —

Wir sprechen ferner von dem Falle, wo  $n$  Verzweigungspunkte  $e_1, e_2, \dots, e_n$  jeder mit einem zugehörigen  $\lambda_i$  gegeben sind. Wir setzen da natürlich  $\eta = \int \frac{dx}{(x-e_1)^{1+\lambda_1} (x-e_2)^{1+\lambda_2} \dots (x-e_n)^{1+\lambda_n}}$  u. fragen wieder nach der Art des in der  $\eta$ -Ebene gelegenen Polygons. Wir setzen vor allen Dingen, dass  $(n-1)$  der  $n$  Seiten dieses Polygons, — diejenigen nämlich, welche den Intervallen  $e_1, e_2, e_3, \dots, e_{n-3}, e_{n-2}, e_{n-1}, e_n$  der  $x$ -Axe entsprechen — auch wieder gerade Linien sind, die  $n$  te Seite aber, — die dem Intervalle  $e_{n-1}, e_n$  der  $x$ -Axe

entspricht —, allgemein zu reden ein Kreis ist. Uebri-  
gens denke ich mir, dass es nicht schwer sein wird, die  
Gestalt dieses Polygons durch eine Art Continuitäts-  
verfahren festzulegen, indem man von dem soeben  
bestimmten geradlinigen  $(n-1)$  Eck ausgeht. Ein Bei-  
spiel wird diesen Gedanken genauer festlegen:

Wir beginnen mit dem geradlinigen Viereck, welches dem  
Schema  $e_1, v', e_2, \infty$  entspricht (diese Bezeich-  
 $\frac{1}{2}, \frac{1}{2}, \frac{1}{2}, \frac{1}{2}$  nungsweise wird an sich  
verständlich sein). Wir bekommen dasselbe, wenn wir von sei-  
nem gewöhnlichen Rechteck ausgehen, u. diesem von der  
einen Ecke aus  $v'+v''$  Halbebenen polar anhängen, vergl.  
die folgende Fig.:



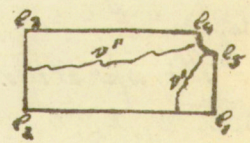
(worauf dann der Winkel in der Ecke  $x = \infty$   
den Betrag  $\frac{\pi}{2} + 2\pi(v'+v'')$  haben wird).  
Von hieraus gehen wir nun folgender-

massen zu dem Polygon:

$e_1, v', e_2, e_3, e_4, e_5$   
 $\frac{1}{2}, \frac{1}{2}, \frac{1}{2}, \frac{1}{2}, \frac{1}{2}$

Wir schneiden die Ecke  $x = \infty$  un-  
seres Rechtecks durch einen klei-

nen Kreis ab u. bezeichnen die beiden neu dabei entste-  
henden Ecken mit  $e_4$  und  $e_5$ :



Dann aber hängen wir längs der bei-  
den in der Fig. bereits markirten Trans-  
versalen  $v'$ , bez.  $v''$  volle Kreisringe an die,  
ses reducirt Fünfeck an.

Wir erkennen: Weder die Seite  $e_2, e_4$ , noch  $e_5, e_1$ , noch die  
Fl. des so entstandenen Fünfecks geht durch's Unendli-  
che. Die Seite  $e_4, e_5$  aber hat die Nichteuclidische Länge  
 $(2v' + 2v'' + \frac{1}{2})\pi$  (dieselbe Zahl, welche wir vorher für den  
Winkel  $x = \infty$  fanden). Das heisst dann, rückwärts auf die  
Diff. gleichg. übertragen:

$F(x)$  verschwindet weder im Intervall  $e_2, e_n$ , noch im Intervall  $e_1, e_1$  (der  $x$ -Achse); gleichzeitig ist die Charakteristik  $X$  der  $F_n$  „Intervalls  $e_n - e_1$  gleich  $(\sqrt{+1})$ .

7) Von der allgemeinen functionentheoretischen Be. „Mi. 5. Aug. 91.“  
deutung des Oscillationstheorems.

Nachdem wir in 5), 6) nur erst specielle Fälle des Oscillationstheorems functionentheoretisch interpretiert u. entwickelt haben, wird die Frage nach der allgemeinen functionentheoretischen Bedeutung des Theorems, d. h. nach seiner allgemeinen Bedeutung für das  $\eta$ . Polygon entstehen.

Schreiben wir zunächst bei der ursprünglichen Fassung des Theorems, wo  $n-3$  Segmente  $x'x''$  der  $x$ -Achse in Betracht gezogen sind, für deren jedes eine Particularlösung  $y$  existiert, die an beiden Enden des Segmentes verschwindet u. im Inneren je eine vorgeschriebene Anzahl Nullstellen besitzt. Keines dieser Segmente wird sich an einem singulären Pkt der  $x$ -Achse anschließen. Wir wissen, das daß  $n-3$  Abschnitte der Polygonseiten der  $\eta$ . Ebene, ein jeder eine bestimmte Anzahl voller Kreisperipherien umspannen muß. Und das Oscillationstheorem behauptet, das s bei gegebenen  $e_1, e_2, \dots, e_n$  der  $x$ . Ebene das  $\eta$ . Polygon durch das hiermit bezeichnete Verhalten der  $(n-3)$  Abschnitte eindeutig festgelegt ist. Offenbar ist hiermit aber direct nicht viel anzufangen, weil die Abschnitte zu den Polygonseiten selbst in keiner direct erkennbaren geometrischen Beziehung stehen. Wir verweilen daher nicht länger bei dieser allgemeinen Formulierung, sondern wenden uns gleich zu den Fällen „ausgezeichneter“ Bedingungssysteme, d. h. solcher Segmente, welche je ein Intervall der  $x$ -Achse einfach oder mehrfach vollständig überdecken. Wir müssen dabei die Fälle einfacher Überdeckung vorweg nehmen; die anderen folgen erst hinterher.

8) Von den ausgezeichneten Bedingungssystemen für den Fall einfacher Endintervalle.

Unter den  $n$  Intervallen  $e_1, e_2, e_3, \dots, e_n$ , denken wir uns irgend  $(n-3)$  herausgegriffen. Für jedes einzelne derselben werden wir dann nach Früherem 4 Bedingungssysteme in Betracht ziehen dürfen. Für jeden der beiden Endpunkte  $e_i, e_{i+1}$  eines solchen Intervalls können wir nämlich verlangen, dass die von uns im Intervall in Betracht zu ziehende Particularlösung  $y$  sich dort wie die eine zugehörige Fundamentallösung  $y_1 = (x - e_i)^{\lambda_i} \varphi_1(x - e_i)$  verhalten soll, oder wie die andere zugehörige Fundamentallösung. Wir werden die 4 solcherweise entstehenden Möglichkeiten kurzweg mit  $y_1, y_2, y_3, y_4$  bezeichnen. Ausserdem wird natürlich die Zahl der Nullstellen,  $\nu$ , vorgeschrieben die  $y$  im Intervalle haben soll. Indem wir für jedes von  $n-3$  Intervallen solcherweise ein bestimmtes Bedingungssystem aufstellen, wird die zugehörige Diff. gleichg. vollkommen bestimmt sein, u. es ist nun die Frage, wie so hier, mit das zugehörige  $\eta$ . Polygon bestimmt ist.

Bemerken wir zunächst, dass in diesem Ansatz die unter 5) benützte Bestimmungsweise als particularer Fall enthalten ist. Wir hatten damals das Vorhandensein einer Lösung verlangt:

$$E = \prod_{i=1}^{n-3} (x - e_i)^{\epsilon_i} \cdot F(x).$$

Da haben wir in der That für jedes der  $n-3$  Intervalle  $e_1, e_2, e_3, \dots, e_{n-3}, e_{n-2}$  eines der hier in Betracht kommenden Bedingungssysteme vor uns. Aber die Particularisation liegt darin, dass wie 1) die betr.  $(n-3)$  Intervalle consecutiv genommen haben u. dass wir 4) für jeden End.  $e_1, \dots, e_{n-3}$  ein u. dasselbe

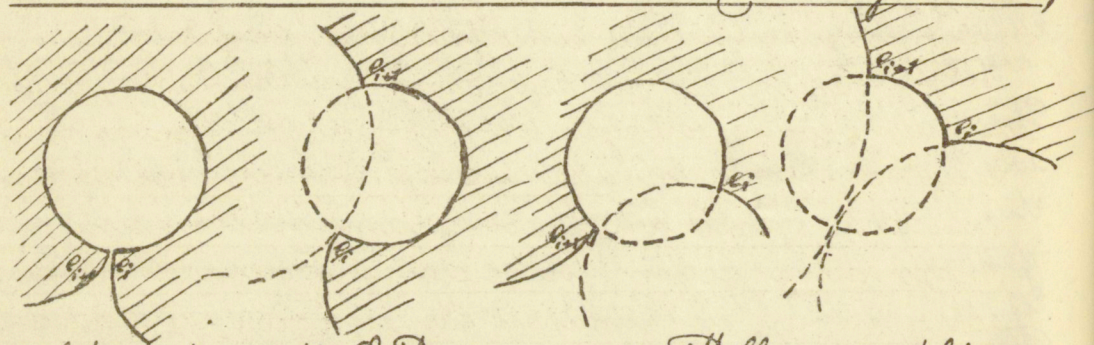
Verhalten der von uns in Betracht zu ziehenden Parti-  
 cularlösung angenommen haben, mögen wir von links oder  
 von rechts an den Pct  $e_i$  herangehen. Eben in letzterem  
 Umstande ist es natürlich begründet, dass hier ein u.  
dieselbe Particularlösung  $E$  in sämtlichen  $n-3$  Intervall-  
 en die vorzuschreibenden Oscillationsbedingungen be-  
 friedigt, während im Allgemeinen bei unserem jetzigen  
 Ansatz in jedem der  $n-3$  Intervalle eine eigene Parti-  
 cularlösung in Betracht kommt.

Uebrigens verfahren wir jetzt ganz ähnlich, wie in 5).  
 Um zu verstehen, was die Oscillationsbedingung, die  
 wir dem Intervall  $e_i, e_{i+1}$  auferlegt haben mögen, für  
 das Polygon der  $\eta$ . Ebene besagt, nehmen wir die zu-  
 gehörige Particularlösung  $y$  und bilden uns ihr ent-  
 sprechend das besondere  $\eta$ :  $\eta = \int \frac{dx}{\pi(x-e_k)^2 - \lambda_k \cdot y^2}$ .  
 Da ist ersichtlich, dass im zugehörigen  $\eta$ . Polygon  
 nicht nur dem Intervalle  $e_i, e_{i+1}$ , sondern auch dem  
 vorausgehenden u. dem nachfolgenden Intervalle je  
 eine geradlinige Seite entsprechen wird (ganz dem  
 entsprechend, dass in Chr. 6 die  $n-1$  Seiten  $e_1, e_2, \dots, e_{n-3}$   
 $e_{n-2}$  alle geradlinig wurden). Ferner sieht man,  
 dass die Ecken  $x = e_i, e_{i+1}$  in der  $\eta$ . Ebene im Unendli-  
chen oder im Endlichen liegen werden, je nachdem bei  
 $e_i$ , resp.  $e_{i+1}$  die Bedingung  $y$ , oder die Bedingung  
 $\frac{1}{y}$  vorgeschrieben ist. Endlich ist klar, dass sich die  
 Seite  $e_i - e_{i+1}$  noch  $v$ . mal durch's Unendliche hindurch  
 ziehen wird.

Wir dürfen aber jetzt bei diesen Formulierungen nicht  
 stehen bleiben, weil ja nicht dasselbe particuläre  $\eta$  für  
 alle Intervalle benutzt werden kann. Vielmehr müssen  
 wir aussprechen, wie sich die vorstehenden Sätze für

ein beliebiges  $\eta$  gestalten, d. h. wie sich dieselben modifizieren, wenn wir die geradlinige Fig. einer beliebigen Transformation durch reciproke Radien unterwerfen. Ich will  $\lambda_i = \lambda_{i+1} = \frac{1}{2}$  der Einfachheit halber setzen u. zunächst  $v=0$  nehmen. Dann ergeben sich den 4 Fällen  $\overline{y_1 y_1}$ ,  $\overline{y_1 y_2}$ ,  $\overline{y_2 y_1}$ ,  $\overline{y_2 y_2}$  entsprechend offenbar folgende 4 Figuren:

Beidemale berühren sich die beiden Kreisbogenseiten,



welche sich an die Seite  $e_i e_{i+1}$  unmittelbar anschliessen  
ab aber die Ecke  $e_i$ , resp.  $e_{i+1}$ , in diesen Berührungsp. d.  
oder in den 2den Schnittp. d. bet. Kreislinie mit dem  
Kreise  $e_i e_{i+1}$ , fällt, das hängt davon ab, ob für  $e_i$ , resp.  
 $e_{i+1}$ , die Bedingung  $y_1$ , oder die Bedingung  $y_2$ , vorgeschrie-  
ben ist. — Will man diese Figuren auf den Fall eines belie-

bigen  $v$  überdragen, hat man denselben nur noch  $v$  mal die Peripherie des Kreises  $e_i e_{i+1}$  hinzuzufügen. (Nebenbei bemerkt erkennen wir hier, was die Doppelbe-

dingung  $(\overline{y_1 y_1}, v)$ ;  $(\overline{y_2 y_2}, v+1)$  resp. die Doppelbe-

dingung  $(\overline{y_1 y_2}, v)$ ;  $(\overline{y_2 y_1}, v)$  für unser  $\eta$  Poly-

gon besagt. Es folgt nämlich im Falle einer solchen

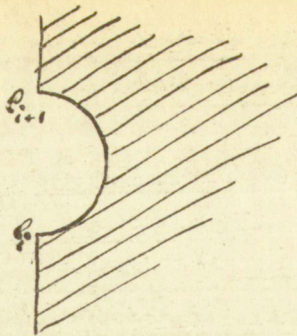
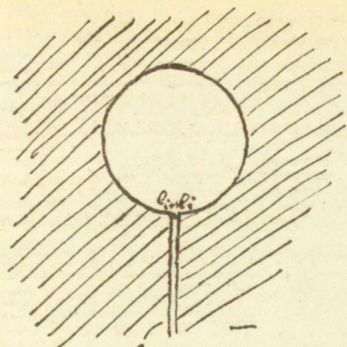
Doppelbedingung, dass sich die beiden an  $e_i e_{i+1}$  an-

schliessenden Kreise in 2 Pkten berühren müssen, d. h.

dass sie identisch sein müssen. Daher sehen die Figu-

ren, wenn wir zunächst  $v=0$  setzen, so aus:





worauf man wieder durch Zuführung von  $\gamma$  vollen Kreis, peripherien zum Falle eines beliebigen  $\gamma$  aufsteigt).

Doch kehren wir zur Bedeutung des Oscillationstheorems für den bei uns vorliegenden Fall zurück. Offenbar ruht dieselbe jetzt darin, dass unser  $n$ . Polygon vollkommen bestimmt sein wird, sobald wir für  $n-3$  seiner Seiten eine solche Anordnung gegen die beiden anstossenden Seiten vor,  
schreiben, wie sie (zunächst für den Fall  $\gamma=0$ ) durch die 4  
Figuren der vorstehenden pag. vorgestellt wird.

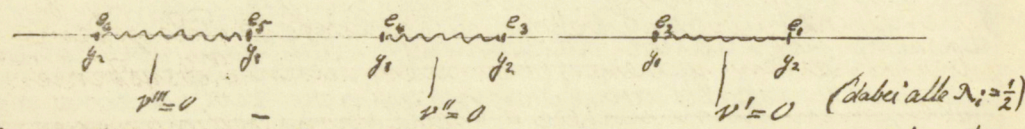
Suche der geometrischen Betrachtung wird es wie, der sein, hierzu nun die ergänzenden Theoreme zu liefern, welche sich auf die Länge  $u$ . insbesondere die Zahl der Selbstüberschlagungen der  $3$  noch un., behandelten Polygonseiten etc. beziehen.

Ich habe dieses Theorem bereits im Winter 89-90 (in der Vorlesung über Laméschen Functionen) entwickelt u. dañ in den Göttinger Nachrichten, März 1890 (p. 85 ff.) veröffentlicht. Zugleich gedachte ich damals, indem ich mich auf den Fall  $n=6$  u. die ursprüngliche Form des Kreisschreibentheorems beschränkte, seines Zusammenhangs mit eben diesem Kreisschreibentheorem. Indem ich mich dazu wende, diesen Zusammenhang hier ausführlicher darzulegen, stelle ich die zu beweisenden Behauptungen voran:

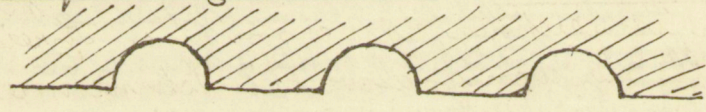
Sofern man sich auf den Fall  $n = 6$  beschränkt, ergibt sich das Kreisscheibentheorem sowohl in seiner ursprünglichen als in seiner erweiterten Form als specieller Fall der hier entwickelten Deutung des Oscillations-Theorems.

Will man aber auch für  $n > 6$  die Kreisscheibentheoreme in entsprechender Weise ableiten, so wird man bei Aufstellung des Oscillations-Theorems Doppelbedingungen zu Grunde legen müssen.

a) Um bei  $n = 6$  das einfache Kreisscheibentheorem zu gewinnen, führe ich die folgenden Oscillationsbedingungen ein:



Das entstehende Sechseck muß dann dreimal eine solche Anordnung seiner Kreisbogenseiten zeigen, wie sie uns von der 2., bez. 3. Fig. der p. 178. bekannt ist. Und nun behauptet ich: ein solches Sechseck hat notwendig die Gestalt der einfachen Kreisscheibe:



Dies implicirt natürlich, dass für die Intervalle  $e_1, e_2, e_3, e_4, e_5, e_6$  ex ipso die complementären Bedingungen zu den zunächst vorgeschriebenen, also  $\bar{y}_1, \bar{y}_2, \bar{y}_3, \bar{y}_4$ , erfüllt sein sollen, u. dass die Charakteristiken  $x$  der anderen Intervalle  $e_2, e_3, e_4, e_5, e_6$ , gleichfalls Null sind.

Um dies in widerspruchsfreier Weise abzuleiten, begünstigen wir wohl am besten so, dass wir uns eine Kreisscheibe gegeben denken, die wir auf eine Halbebene

mit den singulären Stellen  $e_1, \dots, e_5$  abbilden. Wenn wir dann bei dieser Halbebene die vorgeschriebenen 3 Oscillationsbedingungen einführen, kommen wir natürlich zur Kreisscheibe zurück: denn die Oscillationsbedingungen sollen doch ein  $\eta$ . Polygon eindeutig festlegen u. sind in der That bei der Kreisscheibe, von der wir ausgehen, erfüllt. Es gibt also jedenfalls  $P$ -Systeme  $e_1, \dots, e_5$ , bei denen unsere Oscillationsbedingungen eine Kreisscheibe liefern.

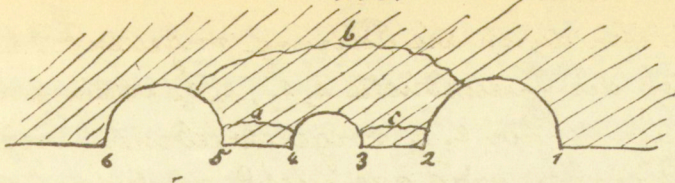
Aber aus dem  $P$ -System  $e_1, \dots, e_5$  kann jedes andere  $e_1, \dots, e_5$  continuirlich abgeleitet werden, ohne dass zweisichendurch irgendwelche ausgeartete  $P$ -Systeme zu überschreiten wären. Bei allen diesen  $P$ -Systemen, also man nun unsere 3 Oscillationsbedingungen fest, So ist offenbar nur folgendes zu beweisen: Wenn bei  $e_1, \dots, e_5$  unsere Bedingungen zur Kreisscheibe führen, u. wir ändern dann die  $e_1, \dots, e_5$  unendlich wenig ab, so führen unsere Bedingungen gleichfalls wieder zur Kreisscheibe. In der That dürfen wir jetzt letzteres Polygon so zeichnen, dass es von einer Kreisscheibe jedenfalls nur wenig abweicht. Ich nehme dabei  $e_1, e_5$  geradlinig durch's Unendliche gehend an, was keine Particularisation ist. Auch müssen dann, wegen unserer Bedingungen,  $e_1, e_2, e_4, e_5$  genaue Halbkreise sein, die nicht über einander greifen, d. h.  $e_2$  u.  $e_4$  müssen auf der Verlängerung des geradlinigen Stückes  $e_1, e_5$  so liegen, wie vorstehende Fig. aufweist:



Kann bleibt für die 3 Kreisbogenstücke  $e_2, e_3, e_4$  ein

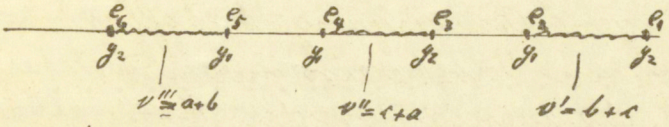
Linienzug, wie wir ihn durch die Pöthung angedeutet haben. Aber nun sollen sich die Kreisstücke  $e_2, e_3, e_4, e_5$  verlängerten Lote  $e_n$  berühren (wegen der für  $e_3, e_4$  vorgeschriebenen Oscillationsbedingung). Dies aber wird gar nicht anders möglich, als wenn  $e_2, e_3, e_4, e_5$  beide auch in die gerade Linien fallen, der bereits  $e_1, e_6$  angehört. Damit haben wir aber wieder die Kreisscheibe, w. z. b. w. —

Der so eingeschlagene Beweisgang hat offenbar den Vortheil, dass man von Vorneherein nur mit Polygonen zu thun hat, die wenig von der Kreisscheibe abweichen. Wollte man direct vorgehen, so würde man sich einer grossen Zahl schwer übersetzbarer Möglichkeiten gegenübersehen; man müsste proben, ob man unseren Oscillationsbedingungen nicht möglicherweise durch sechs gerecht werden könnte, bei denen sich die Strecken  $e_1, e_2, e_3, e_4, e_5$  mannigfach überschlagen, etc. Das angedeutete indirecte Verfahren wird wahrscheinlich auch bei allgemeineren Polygonuntersuchungen mit Vortheil gebraucht werden können. Man beginne also immer mit einem Beispiele der zu konstruirenden Polygone u. schliesse dann: da die darzustellenden Halbkreise  $e_1, \dots, e_n$  ein Continuum bilden, so müssen auch die zugehörigen Polygone aus einander durch Continuität hervorgehen. Jedenfalls beweisen wir auf diesem Wege für  $n=6$  sofort auch das erweiterte Kreisscheibentheorem. Wir bekommen die allgemeinste „erweiterte“ Kreisscheibe aus der „reducirten“, wenn wir an letztere längs 3 richtig gewählter Transversalen irgend  $a, b, c$  Krümmungen anhängen, wie dies in der Fig. angedeutet ist:



Indem wir eine solche Kreisscheibe auf eine Halbebene  $x$  abbilden,

finden wir, dass beispielsweise folgende 3 Oscillationsbedingungen befriedigt sind:



Umgekehrt schliessen wir jetzt: wenn die  $x$ . Ebene mit

ihren Verzweigungsstellen  $e, \dots, e_n$  beliebig gegeben ist u. wir schreiben die genannten Oscillationsbedingungen vor, so kann man wir in der  $\eta$ . Ebene notwendig zu einer Kreisscheibe von dem zunächst ins Auge gefassten Typus. —

Wollen wir noch bemerken, dass der hiermit für das erweiterte Kreisscheibentheorem geführte Beweis nicht nur formal sondern auch materiell einen Fortschritt vorstellt: den das erweiterte Theorem hatten wir früher, als wir es zuerst aufstellten, in keiner Weise bewiesen oder auch nur plausibel zu machen gesucht. —

Was jetzt die Fälle  $n > 6$  angeht, so sind die Oscillationsbedingungen, welche ich vorschreibe, um zur einfachen Kreis-scheibe zu gelangen, diese (wobei man beachte, dass  $n$  natürlich als gerade Zahl vorausgesetzt ist):

Für  $e_1, e_2, e_3, e_4, e_5, e_6$  nehme ich wie vorkin  $y_2, y_1, y_3, y_2, y_4, y_3$  und übrigen  $v=0$ , dann aber für die  $\frac{n-6}{2}$  weiteren Indizes  $e_7, e_8, e_9, e_{10}, \dots, e_{n-1}, e_n$  die Doppelbedingungen  $\{y_1, y_2, y_3, y_4\}$  mit  $v=0$ . Das sind insgesamt  $n-3$  Bedingungen, die sicher erfüllt sind, wenn man von einer einfachen Kreisscheibe des betr.  $n$  ausgeht. Alles Weitere folgt nun wie bei  $n=6$ . Auch wird die Betrachtung der erweiterten Kreis-

schreibe keine neue Schwierigkeit verursachen. Es ist nur zu prüfen, wie weit unser Oscillationstheorem auch noch für den Fall von Doppelbedingungen zuverlässig ist, wie wir oben über diesen Pkt wohl zu rasch hinweggegangen.

9.) Von den ausgezeichneten Bedingungssystemen für  
mehrfache Intervalle. Fr. 6.

Wir nehmen bei den folgenden Betrachtungen die  $\lambda_i$  vor, ab alle =  $\frac{1}{2}$ . Sei jetzt ein Segment gegeben, welches das Intervall  $e_i, e_{i+2}$   $\lambda$ -fach überdeckt (wo dann natürlich der Anfangspkt mit dem Endpkte zusammenfällt, so, bald  $\lambda$  eine gerade Zahl ist).

Für ein solches Segment werden wir wieder die beiden Randbedingungen  $y, y_1, y, y_2, y_2 y, y_2 y_2$  vorschreiben wollen, - daneben dann die Zahl  $\nu$  der Nullstellen der zugehörigen Particularlösung  $y$  im Inneren des Segmentes.

Da ist zunächst klar, dass, wenn wir doch einmal die Idee der mehrfachen Ueberdeckung eines Intervalls aufnehmen, die Bedingungssysteme  $y, y_2$  u.  $y_2 y$ , ihre selbständige Bedeutung verlieren. In der That brauchen wir das Intervall  $\lambda$  mal zu durchlaufen, um je nach der Wahl des Ausgangspktes das Bedingungssystem  $(y, y_2, \nu)$  oder  $(y_2 y_2, \nu+1)$  vor Augen zu haben.

Wollen wir uns nun zunächst auf das Bedingungssystem  $y, y_1$  beschränken, wir werden bald sehen, dass damit das Bedingungssystem  $y_2 y_2$  von selber mit erledigt wird.

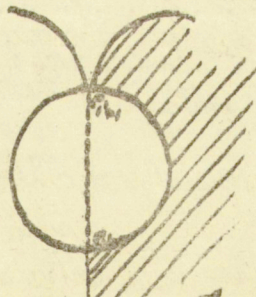
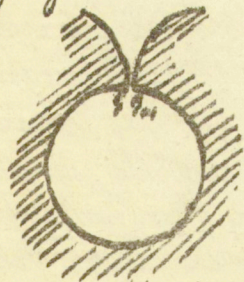
Im Übrigen aber überlege man: Durchlaufen wir unser Intervall nicht  $\lambda$  mal (wobei wir im Inneren der durchlaufenen Strecke auf  $\nu$  Nullstellen des zugehörigen  $y$  stossen, die zu den beiden Nullstellen am Anfang u.

Ende der Strecke hinzutreten), sondern  $m \cdot g$  mal, so haben wir wieder das Bedingungs-system  $\bar{y}, y$ , vor uns, nun aber im Inneren des Segmentes  $m \cdot r + m - 1$  Nullstellen. Die Bedingung  $\bar{y}, y, r, g$  ist also dasselbe wie die Bedingung  $\bar{y}, y, m \cdot r + m - 1, m \cdot g$ . Aber augenscheinlich können wir den Satz auch umkehren. Daher werden wir, um bei unseren Betrachtungen nicht immer wieder bereits erledigte Fälle behandeln zu wissen, verabreden, dass wir nur solche Zahlenpaare  $r, g$  in Betracht ziehen wollen, bei denen  $r+1$  u.  $g$  relativ prim sind.

Auf Grund dieser Verabredung lassen sich denn diejenigen Fälle, welche durch eine Bedingung  $\bar{y}, y$ , festgelegt werden können, einfach als die Fälle mit geradem  $g$  charakterisieren.

Die Fälle aber, welche wir unter  $g$ ) behandeln (die Fälle „einfacher Intervalle“) sind einfach die Fälle  $g=1$  u.  $g=2$ . Für unsere neuen Betrachtungen wird also  $g$  immer  $> 2$  vorausgesetzt sein.

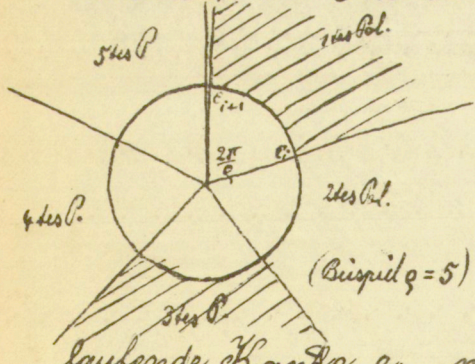
Nach diesen Vorbemerkungen untersuchen wir die geometrische Bedeutung des Bedingungs-systems  $(\bar{y}, y, r, g)$  für das  $n$ -Polygon zunächst im Falle  $r=0$ . Wäre  $g=1$  oder  $2$ , so wissen wir, dass die Gestalt des Polygons die folgende ist:



Das eine Mal fällt Anfangsp.  $a_i$  u. Endsp.  $a_{i+1}$ , der

in Betracht kommenden Kreisbogenseite direct zusammen,  
 das 2. Mal fällt der Endpct  $e_{i+1}$ , mit dem entsprechenden  
 Pcte des an der Seite  $e_i$  genommenen Spiegelbildes zusammen.  
 Ist nun  $g > 2$ , so werden wir jedenfalls auch so beginnen  
 müssen (den  $g$  Umlaufungen des Intervalls  $e_i$   $e_{i+2}$  der  $x$ .  
 Axe entsprechend), dass wir neben das ursprüngliche Po-  
 lygon eine Reihe von  $g-1$  Spiegelbildern setzen, die da-  
 durch entstehen, dass wir das ursprüngliche Polygon ab-  
 wechselnd an den Kanten  $e_i, e_{i+1}$  spiegeln. Wir haben  
 so eine Kette von  $g$  Polygonen, ein jedes mit einer Kan-  
 te  $e_i, e_{i+1}$ . Die Bedingung ist, dass der 1. Eckpct des 1.  
Polygons mit dem letzten Eckpct des  $g$  ten Polygons zu-  
sammen fallen soll, u. zwar in der Weise, dass die  $g$  Kan-  
ten  $e_i, e_{i+1}$  zusammen genommen einen Linienzug vor-  
stellen, der sich keinmal selbst überschlägt.

Die geometrische Ueberlegung zeigt, dass diese Be-  
 dingung darauf hinauskommt, anzunehmen, dass sich  
 die Kanten  $e_i, e_{i+1}$  unseres Polygons verlängert unter  
 einem Winkel von  $\frac{2\pi}{g}$  schneiden. Wir dürfen diese  
 Kanten unbeschadet der Allgemeinheit als gerade  
 Linien zeichnen. Sobald  $g > 2$  liegt deren Schnittpct.  
 natürlich im Endlichen u. wir haben folgende Fig.:



Da ist nun das Merkwürdige  
 (den Fällen  $g=1, 2$  der vorigen Seite  
 gegenüber, dass nicht nur der 1.  
 Eckpct ( $e_{i+1}$ ) des 1ten Polygons mit  
 dem letzten Eckpct. des letzten  
 Polygons zusammenfällt, sondern  
 auch die von dem 1ten Eckpcte aus-  
 laufende Kante  $e_{i+1}$ , mit der bez. Kante des letzten Polygons.  
 Im Hinblick auf die Figuren der pag. 179, die den Doppel-



Bedingungen  $\bar{y}_1, \bar{y}_1, \bar{y}_2, \bar{y}_2$ , resp.  $\bar{y}_1, \bar{y}_2, \bar{y}_2, \bar{y}_1$ , entsprechen, werden wir schliessen, dass hier (für  $\varrho > 2$ ), die Bedingung  $(\bar{y}_1, \bar{y}_1, \nu = 0)$  von selber die Bedingung  $(\bar{y}_2, \bar{y}_2, \nu = 1)$  nach sich gezogen hat. In ganz entsprechender Weise wird für  $\varrho > 2$  ganz allgemein  $\bar{y}_0, \bar{y}_1, \nu$  nichts Anderes besagen, als  $\bar{y}_2, \bar{y}_2, \nu + 1$ , so dass die Randbedingung  $\bar{y}_2, \bar{y}_2$  hier ihre selbständige Bedeutung verliert. Eben darum haben wir uns nun von vornherein auf die Besprechung der Bedingung  $\bar{y}_1, \bar{y}_1$  beschränken dürfen.

Doch kehren wir zur unmittelbaren Betrachtung unserer Fig. zurück. Wir bemerken zunächst, dass wir dieselbe sofort auch für  $\nu > 0$  entwerfen können, wir müssen dann statt des Centriwinkels  $\frac{2\pi}{\varrho}$  einfach den Centriwinkel  $\frac{2\pi(\nu+1)}{\varrho}$  in Anwendung bringen (so dass sich die von den  $\varrho$  aufeinanderfolgenden Seiten  $e_i, e_{i+1}$  überdeckte Kreislinie  $\nu$ -fach überschlägt, ehe sie sich schliesst). Aber der Betrag dieses Centriwinkels ist doch zugleich ein Nicht-euklidischen Linie die Länge  $e\pi$  der Polygonseite  $e_i, e_{i+1}$  selbst. Daher werden wir uns folgendermassen äusseren dürfen:

Das geometrische Äquivalent des Bedingungssystems  $\bar{y}_1, \bar{y}_2, \nu, \varrho$  in der  $\eta$  Ebene ist für  $\varrho > 2$  dieses, dass die Nicht-euklidische Länge der Kreisbogenseite  $e_i, e_{i+1}$  durch folgende Formel gegeben sein soll:  $e\pi = \frac{2\pi(\nu+1)}{\varrho}$ .

Die Bedeutung des Oscillations Theorems aber, die sich einstellt, wenn wir besagtes Bedingungssystem für  $n-3$  Intervalle der  $X$ -Achse in Anwendung bringen, ist diese,

dass das  $\eta$  Polygon völlig festgelegt ist, sobald wir für  $n-3$  seiner Seiten die Nicht-euklidischen Maasszahlen vorschreiben:  $e_k = \frac{2(\nu_k+1)}{\varrho_k}$  ( $\varrho_k > 2$ ).

Hier sind die  $k_n$  zunächst rationale reelle Brüche; aber es ist klar, dass man auch irrationale Werte der  $k_n$  als Gränzfälle wird gelten lassen können. Nur ganzzahlige Werte der  $k_n$  bleiben ausgeschlossen, insofern wir für sie zu den Figuren der p. 185 zurückgeführt werden, bei denen zwar Anfangs- u. End- p. d. der Polygonreihe aber nicht Anfangs- u. End- kante zusammenfallen.

Jetzt wird es sich noch handeln, ob wir das schöne, hiermit erreichte Theorem noch von der Bedingung freimachen können, dass die Winkel  $\lambda_i \pi$  unseres Polygons rechte Winkel sein sollen. Ich finde gar keine Schwierigkeit, die Figuren u. die Schlussweise der p. 185/86 auf diejenigen Fälle zu übertragen, wo die  $\lambda_i$  reelle rationale Zahlen mit geradem Nenner sind. In der That können wir dann gerade so wie bei  $\lambda_i = \frac{1}{2}$  längs eines Intervalles  $e_i e_{i+1}$  der X. Axe  $g$  mal hin u. hergehen, wie wir dies früher auseinandersetzen. In der  $\eta$  Ebene aber müssen sich die  $g$  entsprechenden Kantenstücke  $e_i e_{i+1}$  eben auch wieder zu einem vollen Kreise zusammenreihen. Nur dies ist der Unterschied, dass der Winkel  $\epsilon \pi$ , den die Kanten  $e_i, e_{i+1}$  des Polygons verlängert gedacht jetzt mit einander einschliessen u. der nach unseren früheren Verabredungen das Nicht-Euklidische Maass der Kante  $e_i e_{i+1}$  selbst vorstellt, jetzt nicht mehr  $\frac{2\pi(r+1)}{r}$  son., dern ein anderer reeller Bruch ist, dessen Betrag sich trigonometrisch berechnen lässt. — Aber ich sage, dass unser Satz auch auf den Fall solcher  $\lambda_i$  übertragen werden kann, die rational mit ungeradem Nenner oder geradezu irrational sind. In der That ist ja in der Aussage des Satzes gar nicht von dem Hin u. Hergehen längs des Intervalles der X. Axe die Rede, wir gebrauchen das

letztere nur als ein Beweismittel. Es hat ebensogut einen Lin, den Betrag  $l_k$  einer Polygonsseite zu geben, wenn die  $\lambda_i$  der angränzenden Winkel rational mit geradem Nenner sind, als wenn sie es nicht sind. Dass aber auch unser Satz über die eindeutige Bestimmtheit des Polygons durch  $n-3$  Zahlen  $l_k$  dabei bestehen bleibt, schliesse ich wie früher wieder daraus, dass beliebige reelle  $\lambda_i$  durch solche  $\lambda_i$ , welche rational mit geradem Nenner sind, beliebig approximirt werden können. Nur die ganzzahligen  $\lambda_i$  bleiben ausgeschlossen, weil in den Figuren eine Unstetigkeit auftritt, sobald ein  $\lambda_i$  ganzzahlig wird. —

Fassen wir zusammen, so haben wir also den folgenden allgemeinen Satz gewonnen:

Ist die Halbebene  $\alpha$  mit ihren singulären Stellen  $e_1, \dots, e_n$  gegeben, u. werden die Maasszahlen  $\lambda_1, \dots, \lambda_n$  der Winkel des  $n$  Polygons irgendwie als reelle nicht ganzzahlige Grössen vorgeschrieben, so wird das Polygon eindeutig bestimmt sein, sobald man noch die Maasszahlen  $l_1, \dots, l_{n-3}$  von irgend  $n-3$  Polygonsseiten als reelle nicht ganzzahlige Grössen kennt.

Dieser Satz ist das allgemeinste Resultat, welches hier aus dem Oscillationstheorem abgeleitet werden sollte. Für  $n=3$  geht er in den alten Satz über, mit dem wir diese Vorlesungen begannen, dass das Kreisbogendreieck durch seine 3 Winkel  $\lambda, \pi, \lambda, \pi, \lambda, \pi$  allein völlig bestimmt ist, womit wir sozusagen einen Maassstab dafür haben, inswiefern wir im Laufe der Vorlesungen weiter gekommen sind. Vielleicht übrigens sollte man den Satz so fassen, dass man den Unterschied der  $\lambda$  u. der  $l$  ganz aufhebt, u. also davon spricht, dass irgend  $2n-3$  der  $2n$  Zahlen  $\lambda_i, l_k$  als reelle, nicht ganzzahlige Grössen gegeben sein sollen,

Doch bedarf dies noch der näheren Untersuchung. Man vergleiche hiermit in Beziehung stehende Entwicklungen der Arbeit von Böcher.

10) Rückblick u. Einordg. der erhaltenen Resultate in den Fr. 7. 91.  
Gesamtdedankgang dieser Vorlesung.

Wenn wir das so erhaltene Resultat mit den übrigen Entwicklungen dieser Vorlesung in Verbindung setzen wollen, so haben wir uns der fundamentalen Fragestellung zu erinnern, die wir auf p. 28 ff. entwickelt haben. Es ist eine Halbebene  $x$  mit den auf der reellen Axe befindlichen singulären Stellen  $e, \dots, e_n$  vorgelegt, so enthält die zugehörige Differentialgleichg. für  $y$  noch  $2n-3$  linear vorkommende Parameter (von denen  $n$  auf die Exponentendifferenzen  $\lambda_i$  der singulären Pole kommen). Die allgemeine Frage war, ob wir u. wie wir durch irgendwelche dem  $y$ . Polygon aufzuerlegende Bedingungen diese  $2n-3$  Parameter eindeutig festlegen können. In dieser Hinsicht lernten wir nun im Laufe der Vorlesung verschiedene Möglichkeiten kennen: das Kreisschreibentheorem u. das hyperbolische Theorem mit ihren Verallgemeinerungen, die geradlinigen Polygone, welche im Falle der Laméschen Polynome auftreten. Unser letztes Theorem bezeichnet eine neue in dieser Hinsicht vorliegende Möglichkeit.

Sollen wir einen gemeinsamen Charakter aller der so gefundenen Theoreme angeben, so ist es nützlich, sich an die früheren Erläuterungen zu erinnern (p. 28 ff.), welche dem  $y$ . Polygon seinen „Kern“ gegenüberstellen. Der Kern war durch  $3n$  Maasszahlen charakterisirt: seine  $n$  Seitenwinkel,  $n$  Seitenwinkel,  $n$  Seitenlängen, lauter Grössen, die nur mod.  $2\pi$  beim Kern in Betracht kommen, während beim zugehörigen Polygon die Seitenwinkel, resp. Seitenwinkel (die Eckwinkel u. Seitenlängen des Polygons) als absolut bestimmte Grössen erscheinen. Es ist nun für

alle unserer Theoreme charakteristisch, dass sie  $2n-3$  Bestimmungen für die Maasszahlen des Kerns enthalten u. dass immer noch  $2n-3$  ganzzahlige Elemente, die sich auf die absoluten Werthe der beim Polygon auftretenden Maasszahlen beziehen. Es wird überflüssig sein, dies noch ins Einzelne auszuführen. Während bei unserem letzten Theoreme neben den  $n$  Seitenwinkeln des Kerns  $n-3$  seiner Seitenwinkel als Bestimmungsstücke auftreten, sind es beim hyperbolischen Theorem  $n-3$  seiner Seitenlängen (die gleich Null gewählt werden, worauf die übrigen 3 Seitenlängen auch Null sind; vergl. p. 18). Man möchte fragen, ob es nicht auch Theoreme der hier gesuchten Art gibt, bei denen gleichzeitig Seitenwinkel, Seitenwinkel u. Seitenlängen des Kerns als Bestimmungsstücke in Betracht kommen. — Sollen wir dann noch einen Vorausblick auf die analogen Aufgaben werfen, die in Betracht kommen, wenn die singulären Punkte  $e_1, \dots, e_n$  nicht mehr auf der  $X$ . Axe, sondern beliebig in der  $K$ . Ebene liegen, oder wenn gar statt der  $X$ . Ebene irgend eine  $R$ . Fl.  $p > 0$  gesetzt ist, so werden wir etwa Folgendes zu bemerken haben:

Indem wir die  $R$ . Fläche u. die  $n$  singulären Stellen auf ihr, unseren sonstigen Ideen entsprechend, als gegeben ansehen, haben wir in der  $\eta$ . Diff. gleichg. wie wir schon bei Gelegenheit bemerkten,  $2n+3p-3$  linear vorkommende Parameter (von denen  $n$  auf die Exponentendifferenzen der singulären Punkte kommen). Dieser Diff. gleichg. tritt nun zur Seite: einerseits, dem bisher betrachteten Kern entsprechend, die Gruppe der linearen Substitutionen, welche  $\eta$  erfüllt, wenn man auf der Riemann'schen Fl. irgendwelche geschlossene Wege beschreibt, bez. der Begriff der bezüglichen erzeugenden Substitutionen;

andererseits, dem Polygon der früheren Betrachtungen correspondirt, der Bereich auf der  $\eta$ . Kugel, auf welchen die in

geeigneter Weise zerschnittene  $\mathbb{R}^2$  Fl. abgebildet er-  
scheint, ein Bereich, der den beiden Ufern des ein-  
zelnen Schnittes entsprechend jedesmal 2 Kantenn  
aufweist, die durch eine lineare Substitution der  
Gruppe zusammengeordnet sind.

Um nun die  $2n + 3p - 3$  Parameter der Differen-  
tialgleichg. auf transzendentem Wege festzulegen,  
wird man jedenfalls wieder zunächst  $2n + 3p - 3$   
Bedingungen für die Gruppe des  $\eta$  aufzählen wollen,  
und darüber hinaus dann noch  $2n + 3p - 3$  gan-  
ze Zahlen geben, welche den Bereich, der bei der  
Gruppe in Betracht kommen soll, näher charakteri-  
sieren.

In der That subsumiert sich hierunter, was  
früher über die Ausdehnung des Kreistreibentheo-  
rems, resp. des hyperbolischen Theorems auf die  
hier vorliegenden Fälle gesagt wurde.

Indem es natürlich scheint, überhaupt einmal alle  
die Entwicklungen, die wir für den symmetrischen  
Fall  $p = 0$  gemacht haben, auf die allgemeinen  
hier vorliegenden Voraussetzungen zu übertragen,  
bietet sich offenbar als 1. neue Frage diese dar:

Wie überträgt sich auf die Fl.  $(p, n)$  das Oscillati-  
onstheorem?

Dann aber insbesondere:

Wie

193.

Wie überträgt sich die Theorie der Lamé'schen Polynome?  
Und was ist das Analogon derjenigen Bedingungs-systeme,  
die wir im symmetrischen Falle  $p=0$  als „ausgezeichnete“  
bezeichnet haben?

Ich muss mich heute begnügen, diese Frage zu  
nennen; ihre Behandlung muss späteren Vorlesun-  
gen vorbehalten bleiben.

---

Im Uebrigen aber muss ich darauf hinweisen,  
dass es mir in dieser Sommervorlesung mehr um  
vorläufige Formulierung unbestimmter Forderungen,  
als um Entwicklung bestimmter Theoreme gehan-  
delt hat. Ich bin leider in keiner Weise in der  
Lage gewesen, die Probleme, die sich mir aufdräng-  
ten, bis zu Ende durchzudenken. Auch die Einzel-  
angaben, welche ich gemacht habe, bedürfen viel-  
fach noch der genaueren Controlle.

---





# Inhaltsangabe. -

pag.

## Einleitung.

Von den Dreiecksätzen des Wintersemester. Neues Beispiel: Die Skell-  
ellen der Kugelfunctionen zweiter Art. - - - - - 3.

Entsprechendes über Vierecke - - - - - 11.

## Zur geometrischen Theorie der allgemeinen Kreisbogenpolygone.

Allgemeine Festsetzungen. Nicht-Euklidische Maassbestimmung - - - - - 14.

Der Kern u. seine 3 n Maasszahlen. „Verwandte“ Polygone - - - - - 17.

Gewöhnliche polygonometrische Relationen u. Ergänzungstheoreme - - - - - 21.

Beispiele für reducirt Polygone u. die bei ihnen möglichen Erweiterungsprozesse. - - - - - 24.

## Übergang zu den Differentialgleichungen.

Die fundamentale Fragestellung, nur erst in particulärer Weise  
zu beantworten - - - - - 28.

Vorläufiges über das Kreisscheibentheorem für  $p \equiv 0$ . - - - - - 33.

Desgl. über das hyperbolische Theorem. - - - - - 38.

Desgl. über das Oscillationstheorem. - - - - - 42.

## Geometrische Ausführungen

### zum Kreisscheibentheorem, bez. hyperbolischen Theorem.

Zustandekommen der zugehörigen automorphen Gebiets ein-  
stellungen. - - - - - 45

Von den Fixpunkten der zugehörigen hyperbolischen Substitutions-  
koeffizienten - - - - - 51.

Arithmetisches Bildungsgesetz der Substitutionskoeffizienten - - - - - 54.

Verallgemeinerung der Figuren; Variirung der Polygone, Feinanz-  
derschreibung. - - - - - 55.

Raumeintheilungen nach Poincaré - - - - - 58.

Stellung zur Gruppentheorie; Continuirliche, discontinuirliche Gr. - - - - - 62.

### Zur Entwicklungsgeschichte der automorphen Functionen.

Poincaré's Terminologie - - - - - 66.

Die ältesten Beispiele automorpher Functionen. - - - - - 67.

Schwarz, Riemann, etc. - - - - - 70.

Meine eigenen älteren Arbeiten. - - - - - 75.

Arbeiten von Fuochs. Eingreifen von Poincaré. Meine Replik 77.

Automorphe Functionen mehrerer Variablen. Ansätze von Fuochs u. Picard 84.

## II.

Von der Bedeutung der automorphen Functionen u. von ihrem Bildungsgesetz.

$\eta$  als uniformisierende Variable. Verallgemeinerung von Hermite's Theorie der Laméschen Gleichung. --- 90.

Productdarstellungen für den Fall der Kreisscheibe (Weber u. Schottky). 95.

Ansätze für den hyperbolischen Fall. --- 99.

Von den Beweisen des Kreisscheiben- bez. des hyperbolischen Theorems.

Allgemeine Sachlage. --- 101.

Schwarz' Methode der conformen Abbildung. --- 103.

Weiterführung bei Poincaré, allgemeines dabei entstehendes Theorem. --- 104.

Ausführungen bei Schlesinger. --- 110.

Schwarz' Methode des constanten Krümmungsmaasses. Die Göttinger Preis- aufgabe; Picard. --- 113.

Referat über Poincaré's Arbeit in Acta. IV. --- 116.

Ansatz zum Continuitätsbeweis. --- 124.

Durchführung des Beweises im symmetrischen Falle. --- 124.

Vorbereitung zum Beweis im unsymmetrischen Falle. --- 132.

Erklärung der dabei auftretenden Schwierigkeit. --- 136.

Von der Diff. gleichg. des hyperbolischen Falles; Idee zur allge-  
meinen Classification der Differentialgleichgen. --- 140.

Verallgemeinerung der beiden Theoreme für  $p > 0$ . --- 146.

Vom Oscillationstheorem.

Das Theorem bei Sturm. Ausdehnung auf mehrere neben  
einander vorkommende Parameter. --- 152.

Segmente, die sich an die singulären Pcte heranziehen  
oder dort umbiegen. --- 157.

Neue Erweiterungen des Theorems (beliebige Werthe der  $\lambda_i$ ; Doppelbe-  
dingungen). --- 161.

Anwendung auf die Theorie der Laméschen Polynome nebst  
Verallgemeinerungen. --- 176.

Zugehörige Ergänzungstheoreme (vom  $\eta$ . Polygon aus). --- 179.

Allgemeinere functionentheoretische Deutung des Oscillationstheo-  
rems; der Fall einfacher Intervalle. --- 185.

Anwendungen auf das Kreisscheibentheorem  
Fall mehrfacher Intervalle. Inbetrachtungnahme der Nicht-euklidi-  
schen Längen der Polygonsseiten. --- 184.

Rückblick u. abschliessende Bemerkungen. --- 190-92.





GABINET MATEMATYCZNY  
Towarzystwa Naukowego Warszawskiego





